

# LICENCIATURA EN FISICA MEDICA

## BIOFISICA

### CAPITULO 11 – Parte 1

La Luz. La Electromagnética. La Optica.  
La Fotónica. Los Ojos y la Visión Humana

# CLASIFICACIONES DE LA ÓPTICA

## Clásica

Rayos de luz. Frentes de ondas. Propagación. Efecto Doppler. Reflexión. Refracción. Sistemas ópticos formadores de imágenes. Aberraciones ópticas. Polarización. Interferencia. Difracción. Fotografía. Fotometría. Colorimetría. Etc.

## Electromagnética

Sustento electromagnético de casi todos los temas de la Óptica Clásica. Sensores de radiación. Radiometría. Etc.

## Cuántica o Fotónica

Interacción de la radiación con la materia. Efecto fotoeléctrico. Emisión y absorción de radiación por átomos, moléculas, cristales, semiconductores, tejidos, etc. Emisión estimulada de radiación. Amplificación de la luz. Láser. Etc.

# OTRAS CLASIFICACIONES

## Óptica Pasiva

Fotosíntesis en las plantas. Absorción por el pigmento macular en la retina. Fototropismos de orientación lenta o rápida en las plantas. Etc.

## Óptica Activa

Objetivos, Microscopios, Telescopios, Cámaras fotográficas, Prismáticos, Fibras ópticas, Etc.

## Óptica Adaptiva

Función pupilar de adaptación a la intensidad de la luz. Función de acomodación del cristalino para el enfoque cercano o lejano. Corrección de aberraciones de orden superior. Corrección de las perturbaciones atmosféricas en grandes telescopios astronómicos. Etc.

# EL SISTEMA VISUAL HUMANO

## *Subsistema óptico:*

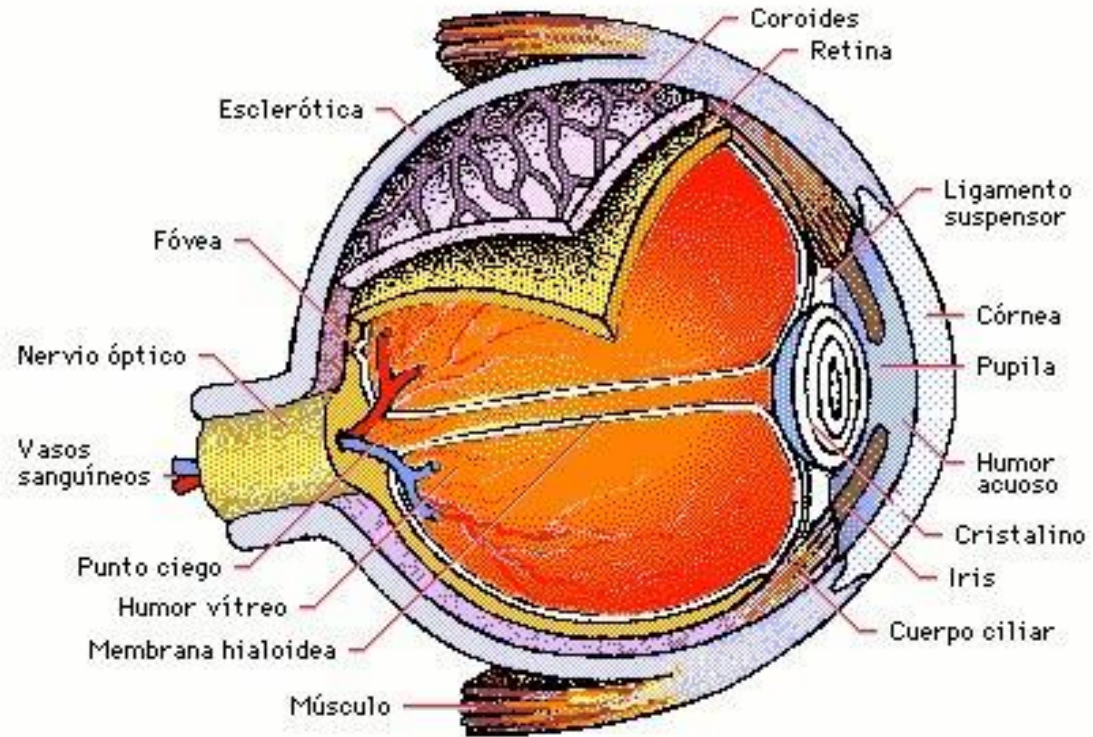
- Córnea
- Pupila
- Humor acuoso
- Cristalino
- Humor vítreo

## *Subsistema fotónico:*

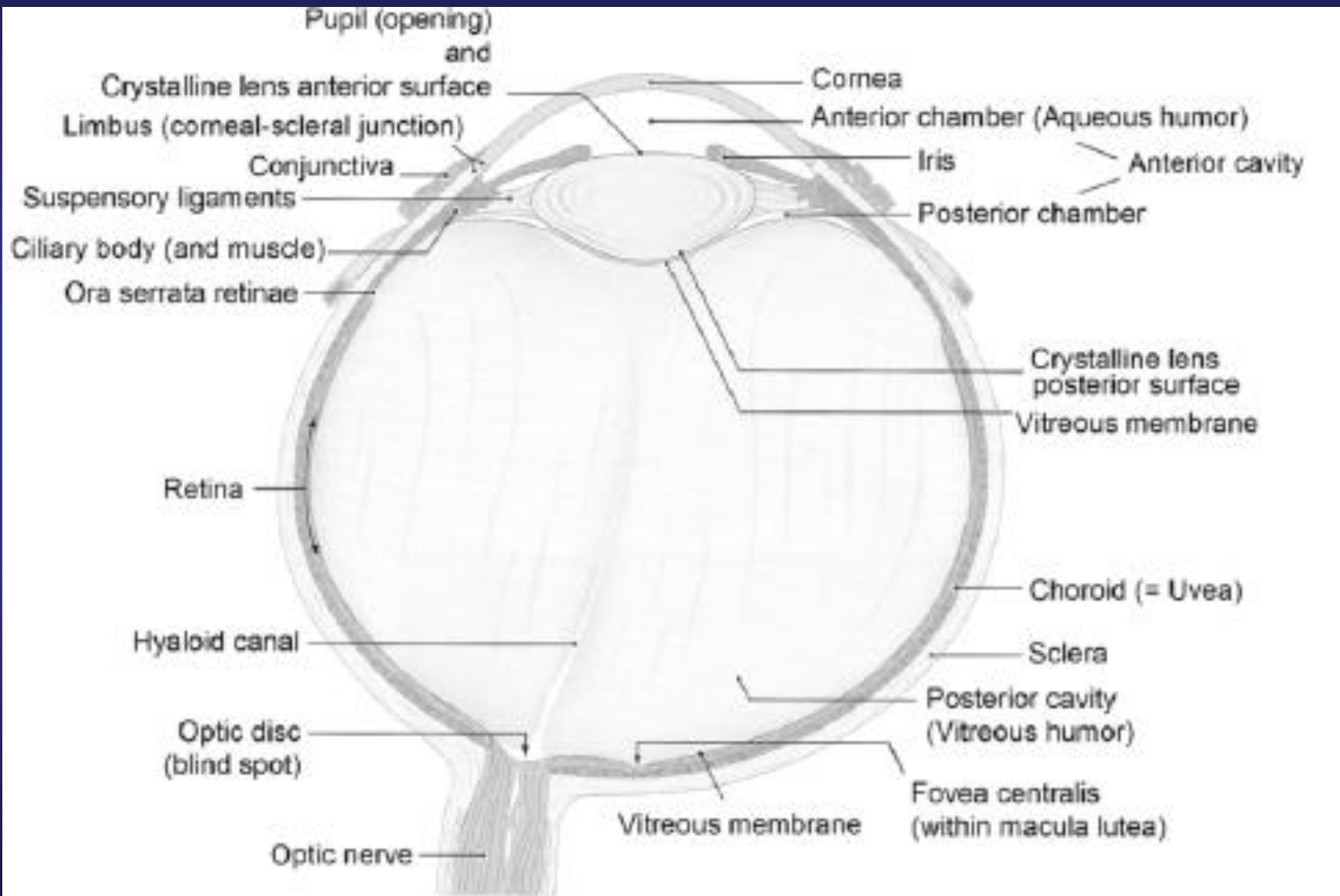
- Retina (Conos y bastones)

## *Sistema neural:*

- Retina (Completa)
- Nervio óptico
- Cerebro
- Cerebelo



# EL SISTEMA VISUAL HUMANO



# OJO DERECHO ANATOMICO

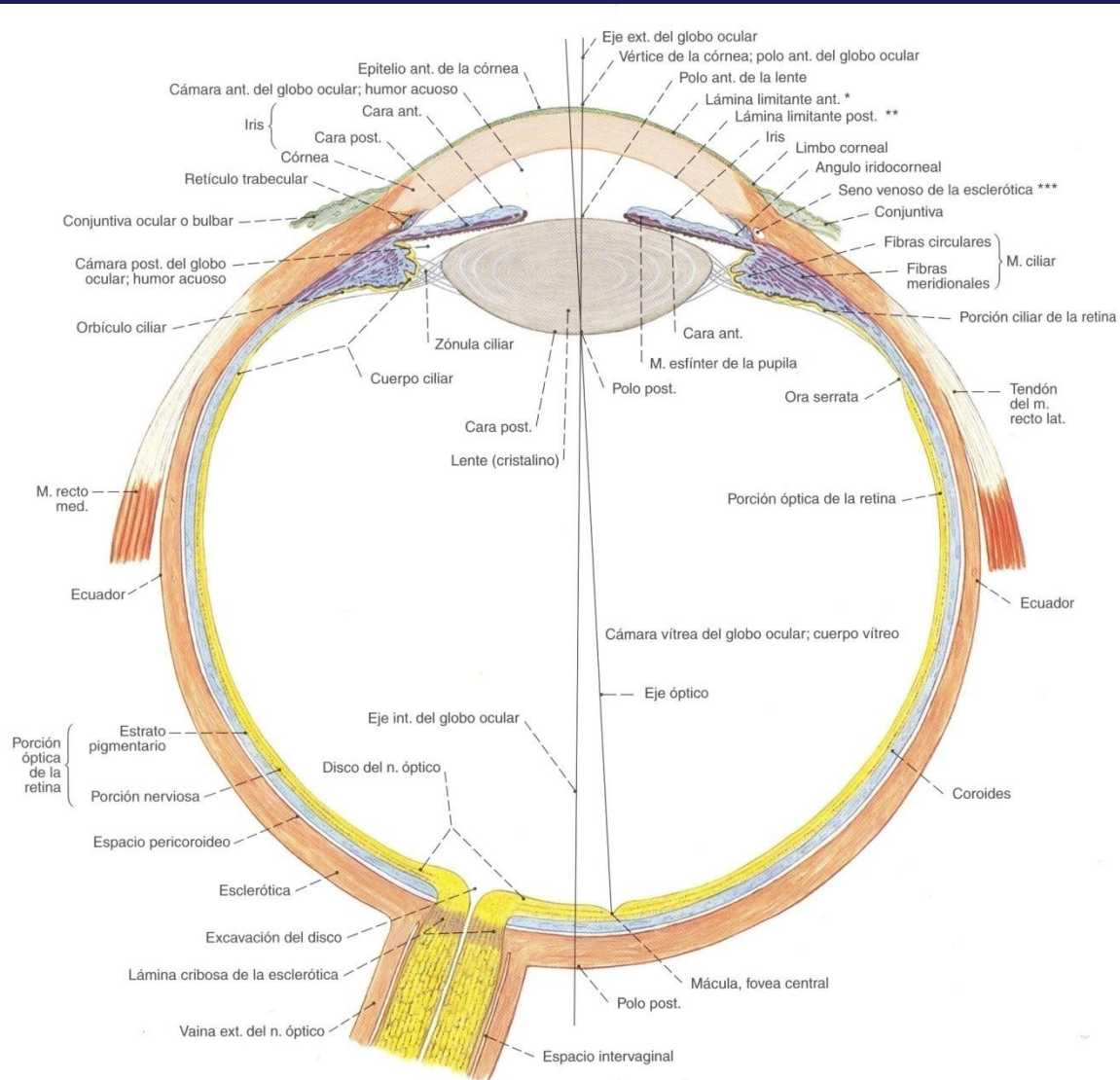


Fig. 633 Corte horizontal esquemático del globo ocular al nivel de la salida del nervio óptico.

\* Epónimo clínico: membrana de Bowman  
 \*\* Epónimo clínico: membrana de Descemet  
 \*\*\* Epónimo clínico: conducto de Schlemm



# DIFERENCIAS DIMENSIONALES DE OJOS HUMANO Y MONO RHESUS

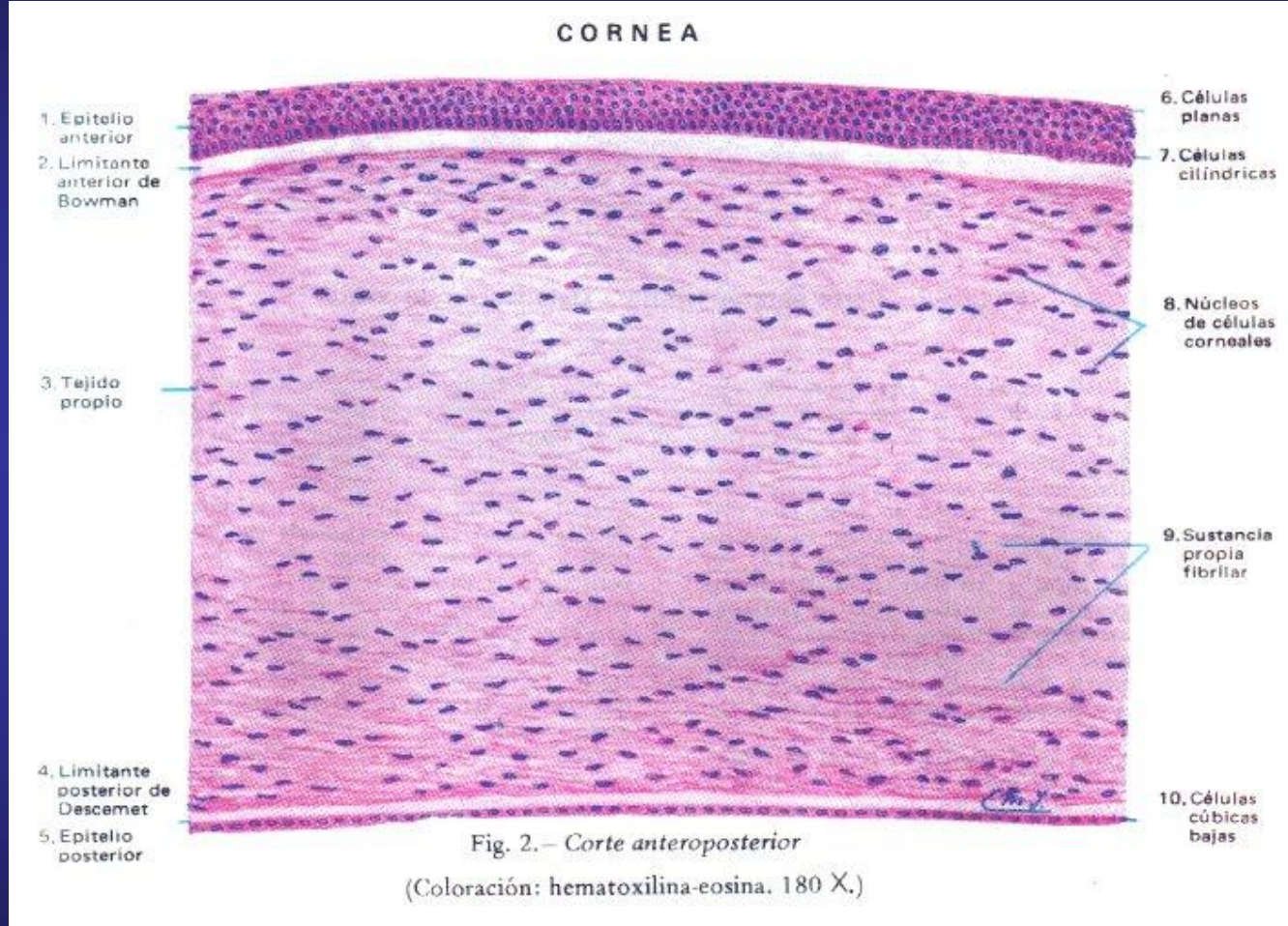
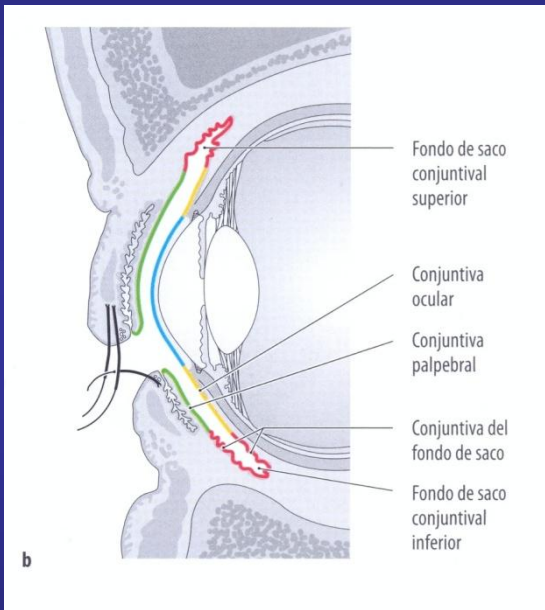
TABLE 3-1. Average Physical Dimensions of the Eye for Man and the Rhesus Monkey

<i>Structure</i>	<i>Rhesus Monkey</i>	<i>Man</i>
Thickness of:		
Tear Layer	6 $\mu\text{m}$	6 $\mu\text{m}$
Cornea	516 $\mu\text{m}$	600 $\mu\text{m}$
– epithelial layer	---	50 $\mu\text{m}$
– Bowman's membrane	---	10 $\mu\text{m}$
– stromal layer	---	530 $\mu\text{m}$
– Descemet's membrane	---	7 $\mu\text{m}$
– Endothelium	---	5 $\mu\text{m}$
Aqueous humor	2.9 mm	3.1 mm
Lens	3.5 mm	3.6 mm
Vitreous humor	11.57 mm	16.97 mm
Retina	300 $\mu\text{m}$	250 $\mu\text{m}$
– nerve fiber layer	19 $\mu\text{m}$	22 $\mu\text{m}$
– ganglion cell layer	56 $\mu\text{m}$	37 $\mu\text{m}$
– inner nuclear layer	65 $\mu\text{m}$	44 $\mu\text{m}$
– pigment epithelium	11 $\mu\text{m}$	13 $\mu\text{m}$
– choriocapillaris	10 $\mu\text{m}$	11.5 $\mu\text{m}$
– choroid	162 $\mu\text{m}$	125 $\mu\text{m}$
Diameter of optic disc	1.6 mm	2500 $\mu\text{m}$
Diameter of macula	1.5 mm	2500 $\mu\text{m}$
Diameter of foveola	275 $\mu\text{m}$	150 $\mu\text{m}$
Distance from edge of disc to margin of foveola	1578 $\mu\text{m}$	1723 $\mu\text{m}$

*The source for most of the above data was Coogan et al. (1974) and personal communications with W. T. Ham, Jr., and J. J. Ruffolo at the Medical College of Virginia, and D. Egbert, USAF School of Aerospace Medicine.*



# CORNEA I



# CORNEA II

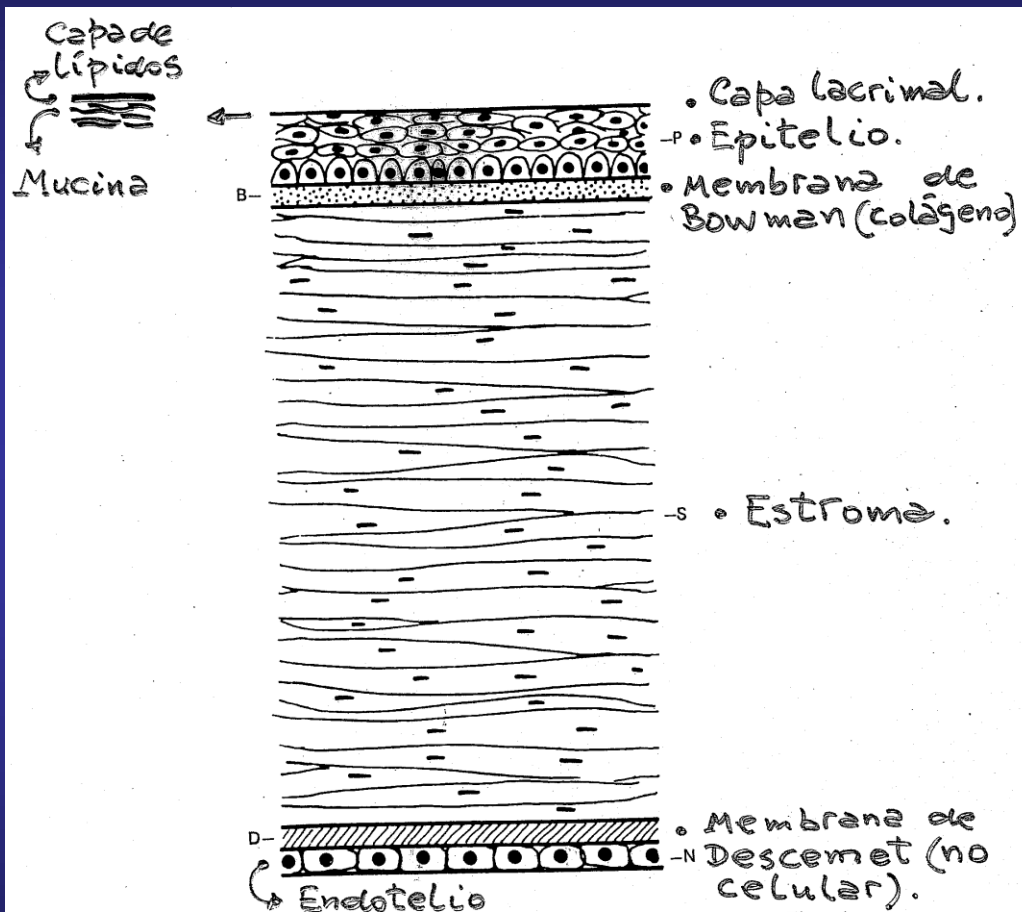


Figure 3-2. An artist's conception of the structure of different layers of the cornea. The epithelium (50-100  $\mu\text{m}$  thick) is the structure facing the environment (P); Bowman's membrane (B) is 8-14  $\mu\text{m}$  thick; stroma (S) is about 500  $\mu\text{m}$  in thickness near the visual axis; Descemet's membrane (D) is 5-10  $\mu\text{m}$  thick and the corneal endothelium (N) is about 5  $\mu\text{m}$  thick. Adapted from Duke-Elder (1937).

-Capa lacrimal (6-10  $\mu\text{m}$ ).

# CRISTALINO I

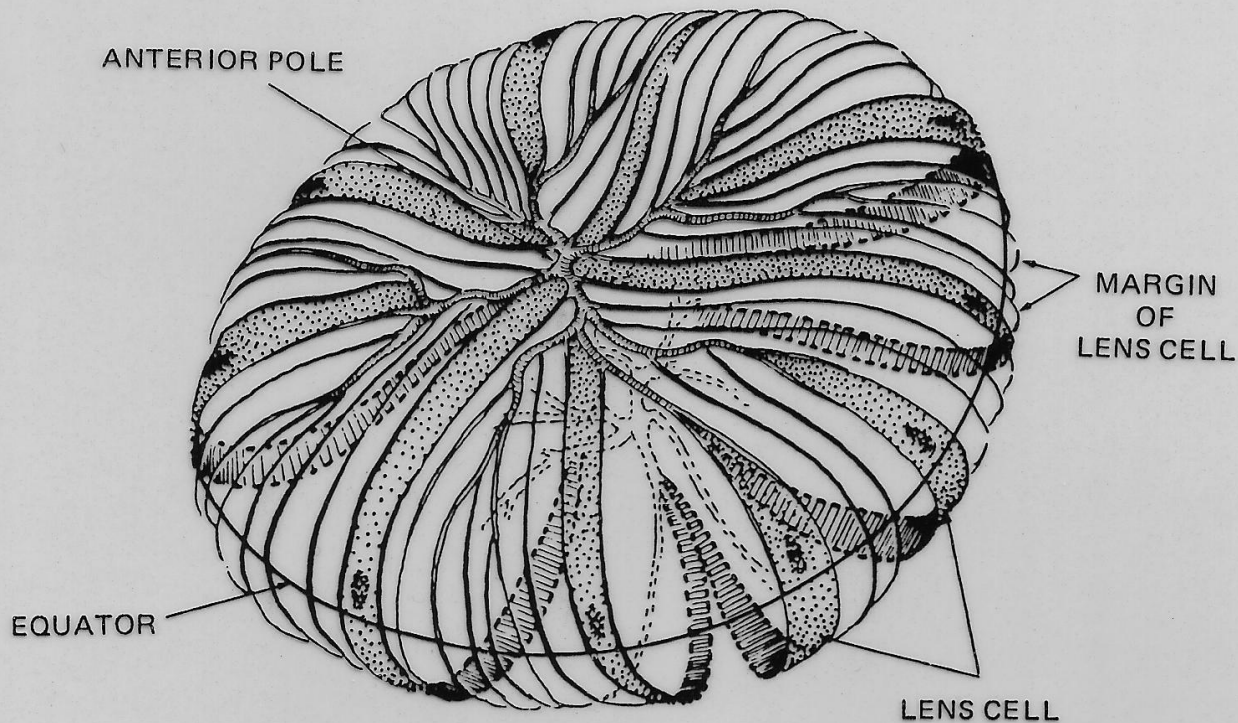
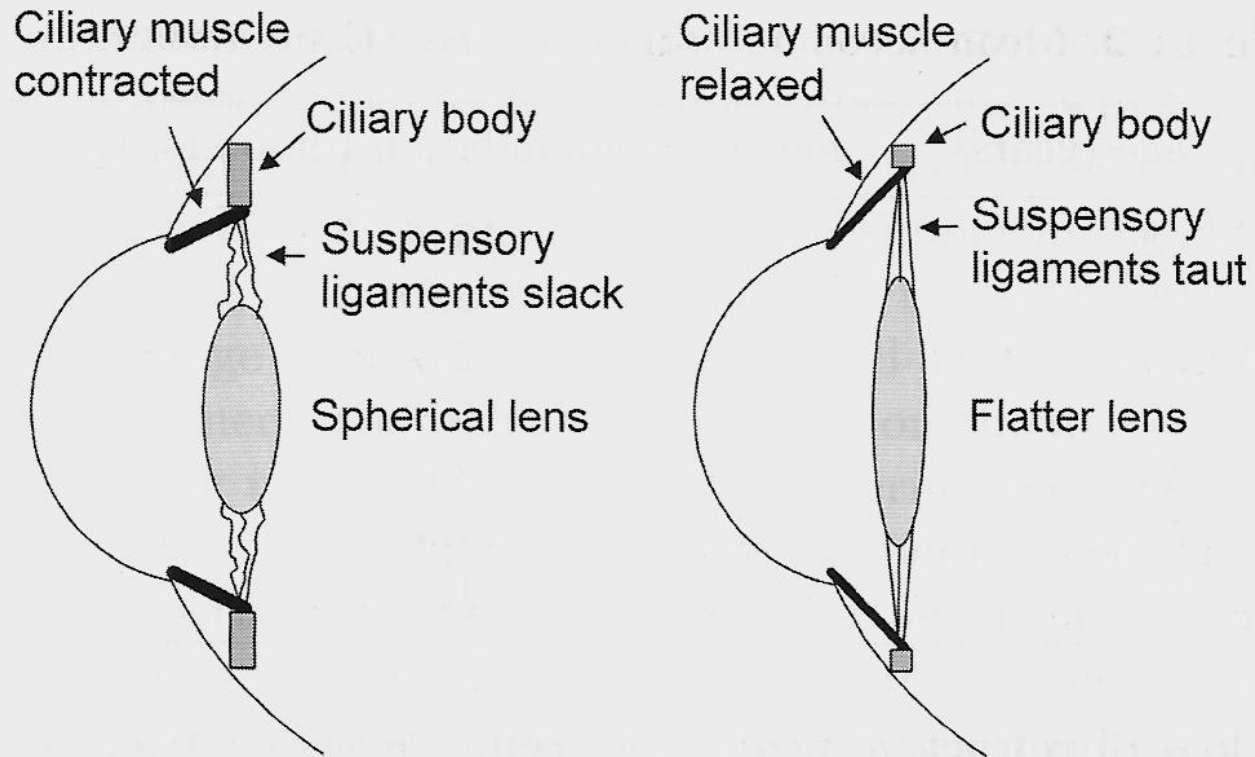
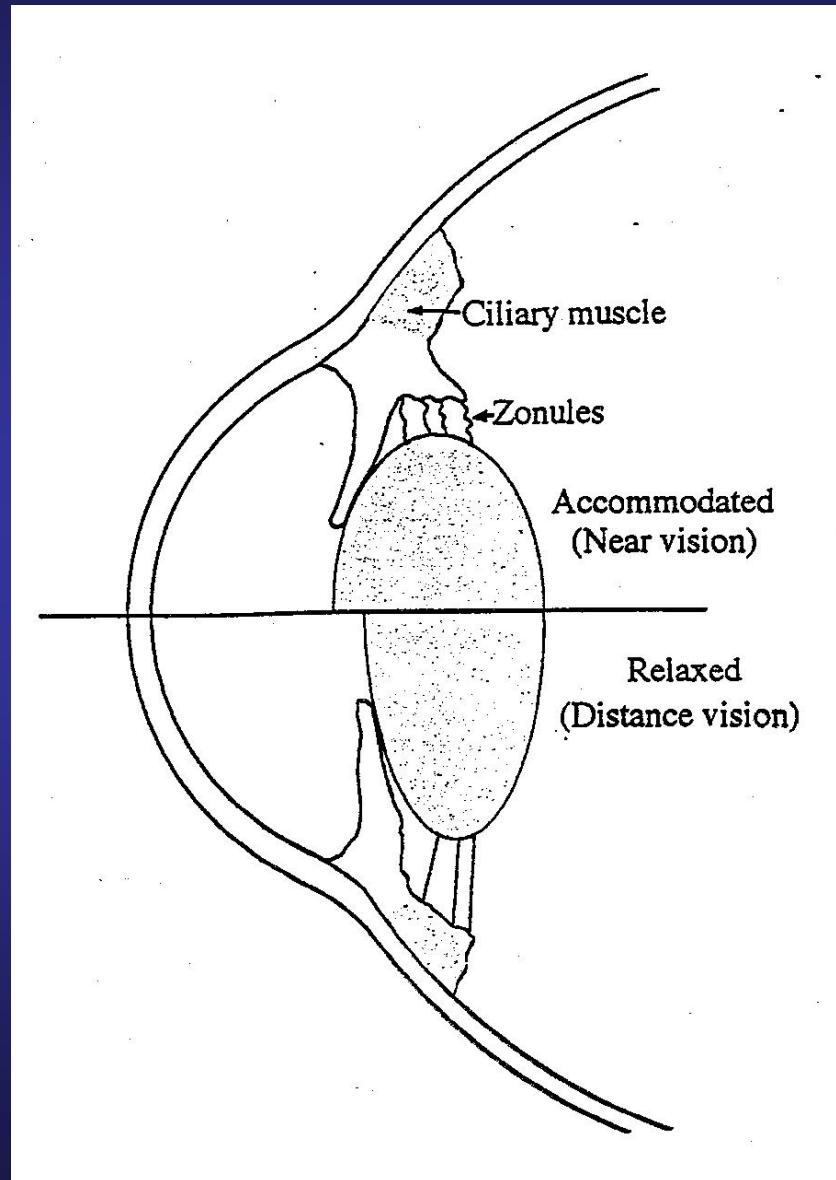


Figure 3-4. The human lens. Although the lens appears largely transparent, a very careful analysis reveals cells which stretch from the anterior to the posterior pole. Cell nuclei are generally located near the equator. Dissection of the lens reveals layers much like an onion, although the lens' layers grow from the inside out as opposed to those in an onion where the newer cells are located in the center. The center of the lens is known as the nucleus and the outer layer is the cortex. The membranous capsule surrounding the lens is attached to the outermost growing layer of lens cells. The capsule is attached to the suspensory ligaments which control accommodation (adapted from Hogan, Alvarado and Wedell, 1971).

# CRISTALINO II



# CRISTALINO III



# CRISTALINO IV

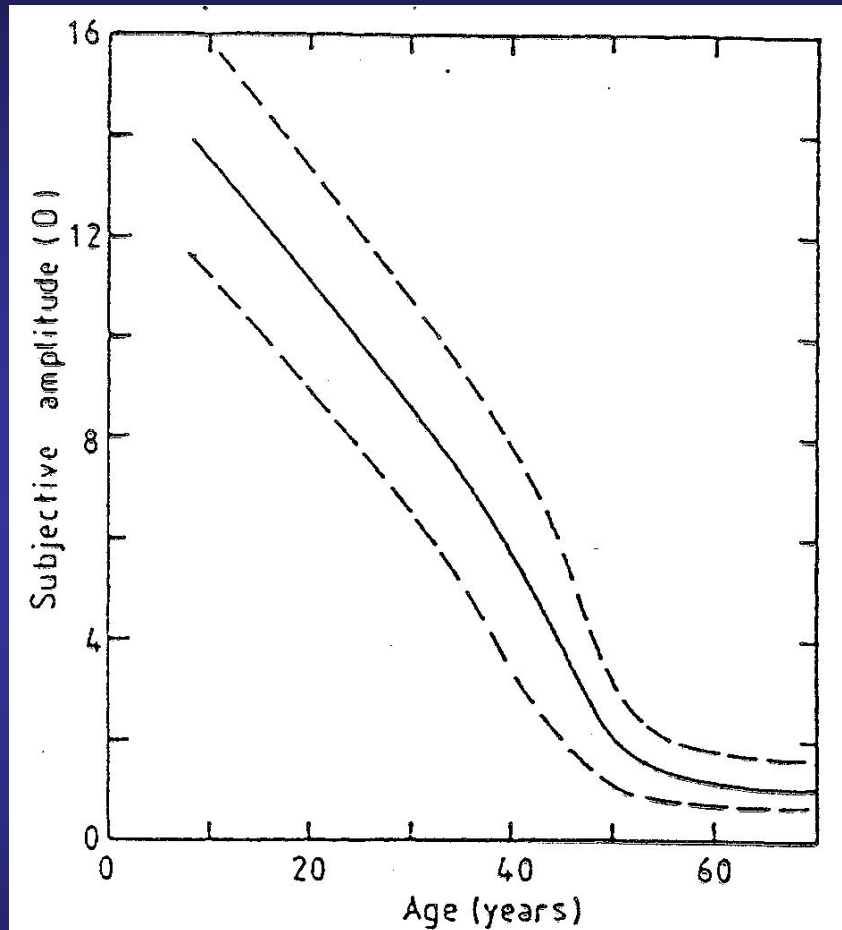


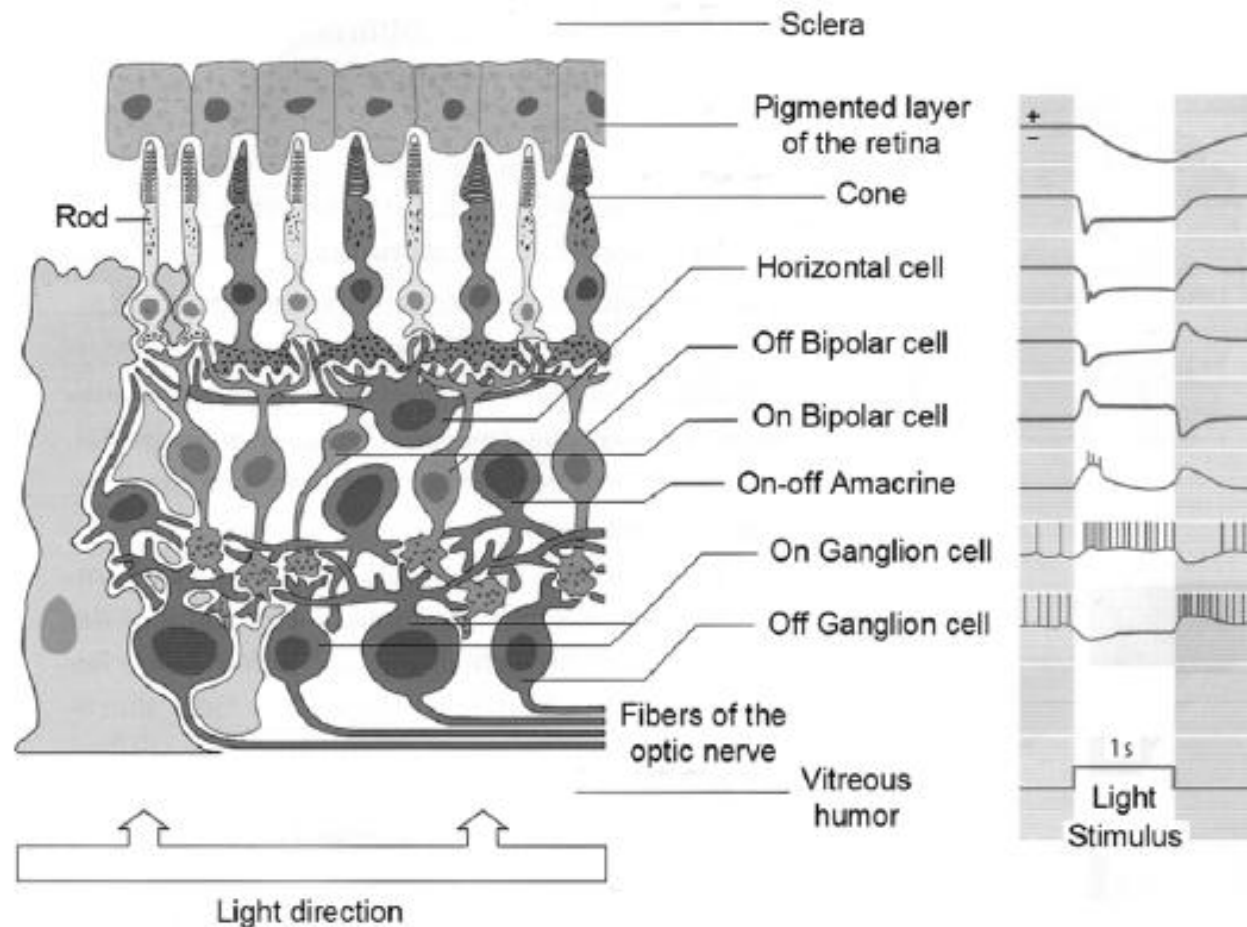
FIGURE 22 Changes in the subjective amplitude of accommodation with age (after Duane<sup>315</sup>): the dashed curves indicate the limits of the range found at each age. The data refer to 4200 eyes, amplitudes being measured at the spectacle point 14 mm anterior to the cornea.

# CRISTALINO V

**Table 11.2.** Mean accommodation vs. age. (Using data from [559])

age (years)	mean accommodation (diopters, D)
8	13.8
25	9.9
35	7.3
40	5.8
45	3.6
50	1.9
55	1.3

# EL SISTEMA VISUAL HUMANO



**Fig. 11.2.** Schematic of the retina in the eye, with the arrangement of rods and cones and other neurons, along with electrical excitation by the shown light stimulus. (From [551])



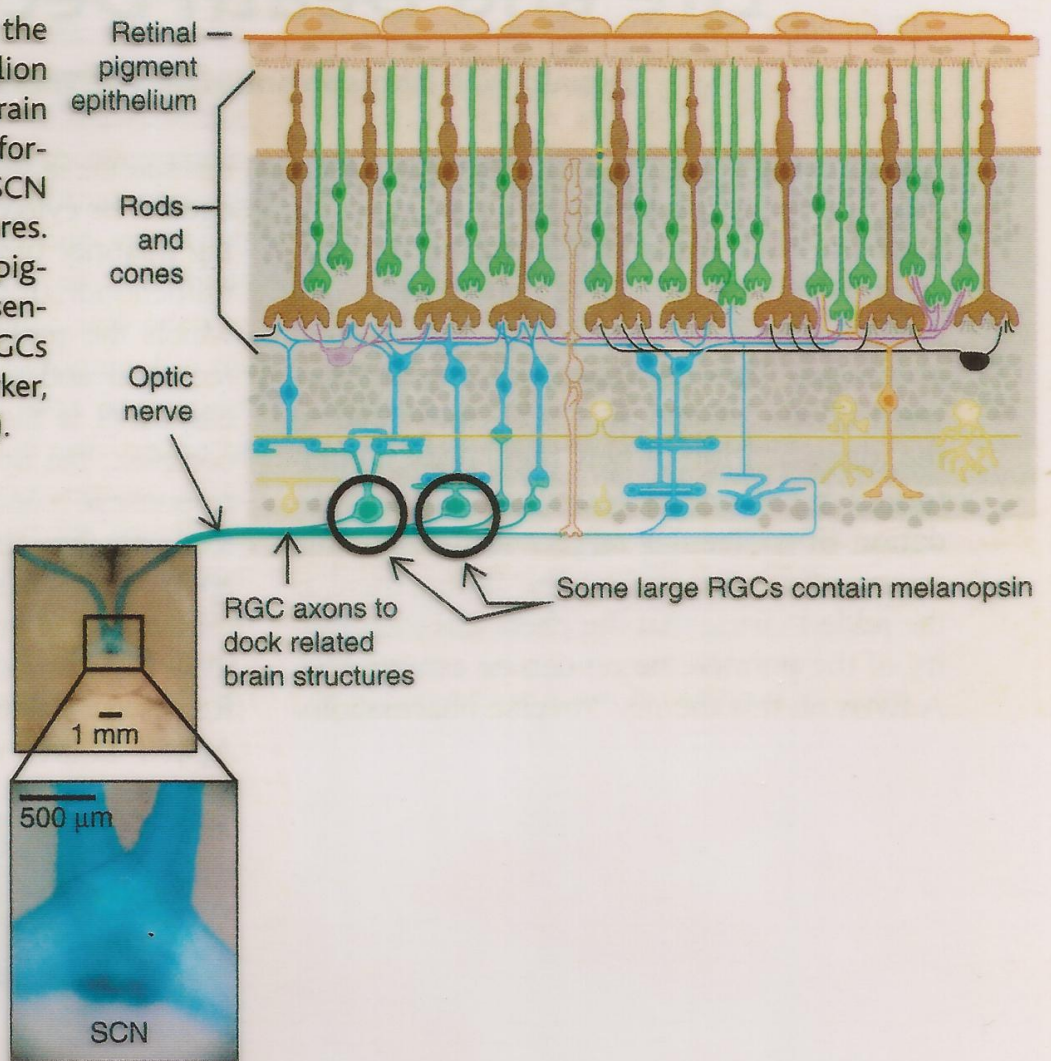
# Melanopsin-Containing Retinal Ganglion Cells: Architecture, Projections, and Intrinsic Photosensitivity

S. Hattar,<sup>1,2\*</sup> H.-W. Liao,<sup>2\*</sup> M. Takao,<sup>4</sup> D. M. Berson,<sup>4</sup>  
K.-W. Yau<sup>1,2,3†</sup>

The primary circadian pacemaker, in the suprachiasmatic nucleus (SCN) of the mammalian brain, is photoentrained by light signals from the eyes through the retinohypothalamic tract. Retinal rod and cone cells are not required for photoentrainment. Recent evidence suggests that the entraining photoreceptors are retinal ganglion cells (RGCs) that project to the SCN. The visual pigment for this photoreceptor may be melanopsin, an opsin-like protein whose coding messenger RNA is found in a subset of mammalian RGCs. By cloning rat melanopsin and generating specific antibodies, we show that melanopsin is present in cell bodies, dendrites, and proximal axonal segments of a subset of rat RGCs. In mice heterozygous for tau-lacZ targeted to the melanopsin gene locus,  $\beta$ -galactosidase-positive RGC axons projected to the SCN and other brain nuclei involved in circadian photoentrainment or the pupillary light reflex. Rat RGCs that exhibited intrinsic photosensitivity invariably expressed melanopsin. Hence, melanopsin is most likely the visual pigment of phototransducing RGCs that set the circadian clock and initiate other non-image-forming visual functions.

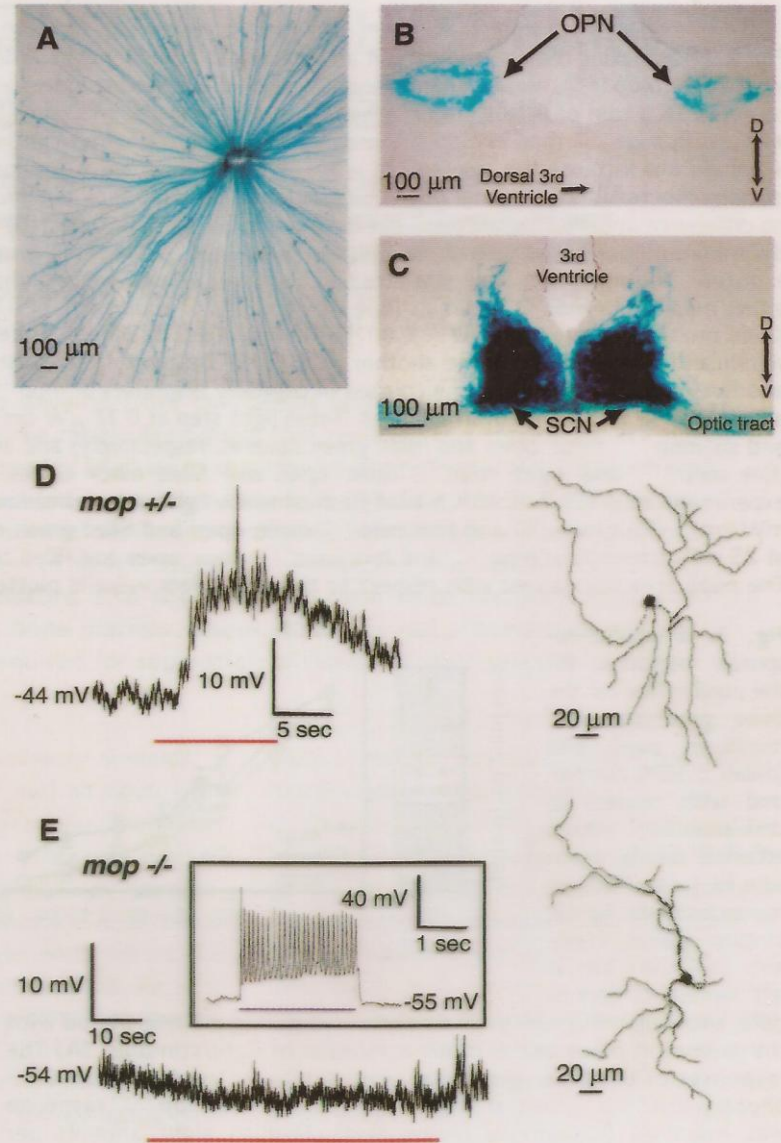
# CELULAS GANGLIONARES CON MELANOPSINA I

**The third eye.** Retinal connections with the suprachiasmatic nucleus (SCN). Retinal ganglion cells (RGCs) send their axons to several brain nuclei. Most are involved in carrying visual information, but a small subset innervates the SCN and other circadian clock-related structures. Only these RGCs contain the putative photopigment melanopsin and are intrinsically light sensitive. Inset shows melanopsin-containing RGCs and their axons, labeled with a tau-lacZ marker, connecting with the SCN in mouse brain (11).



# CELULAS GANGLIONARES CON MELANOPSINA II

**Fig. 1.** RGCs that would normally express melanopsin in wild-type and *mop*<sup>+/-</sup> mice are still present in *mop*<sup>-/-</sup> mice and project to the OPN and SCN but have lost their intrinsic photosensitivity. **(A)** Flat-mount view of a *mop*<sup>-/-</sup> retina stained with X-Gal (blue labeling). **(B and C)** Coronal sections of *mop*<sup>-/-</sup> mouse brains showing normal innervation of the OPN and the SCN by X-Gal-labeled axons. D, dorsal; V, ventral. **(D and E)** Intrinsic photosensitivity of SCN-projecting RGCs of *mop*<sup>+/-</sup> (D) but not *mop*<sup>-/-</sup> (E) mice. Left: Voltage responses to light stimuli (red line) of RGCs retrograde-labeled from the SCN. Recordings were made from an isolated, flat-mount retina in the presence of 2 mM CoCl<sub>2</sub> to block synaptic transmission. Right: Camera-lucida drawings of the cells recorded. Inset in (E): Depolarization and action potentials evoked by current injection (50 pA; blue line), demonstrating functional viability of this cell.



# VARIACION DEL DIAMETRO PUPILAR I

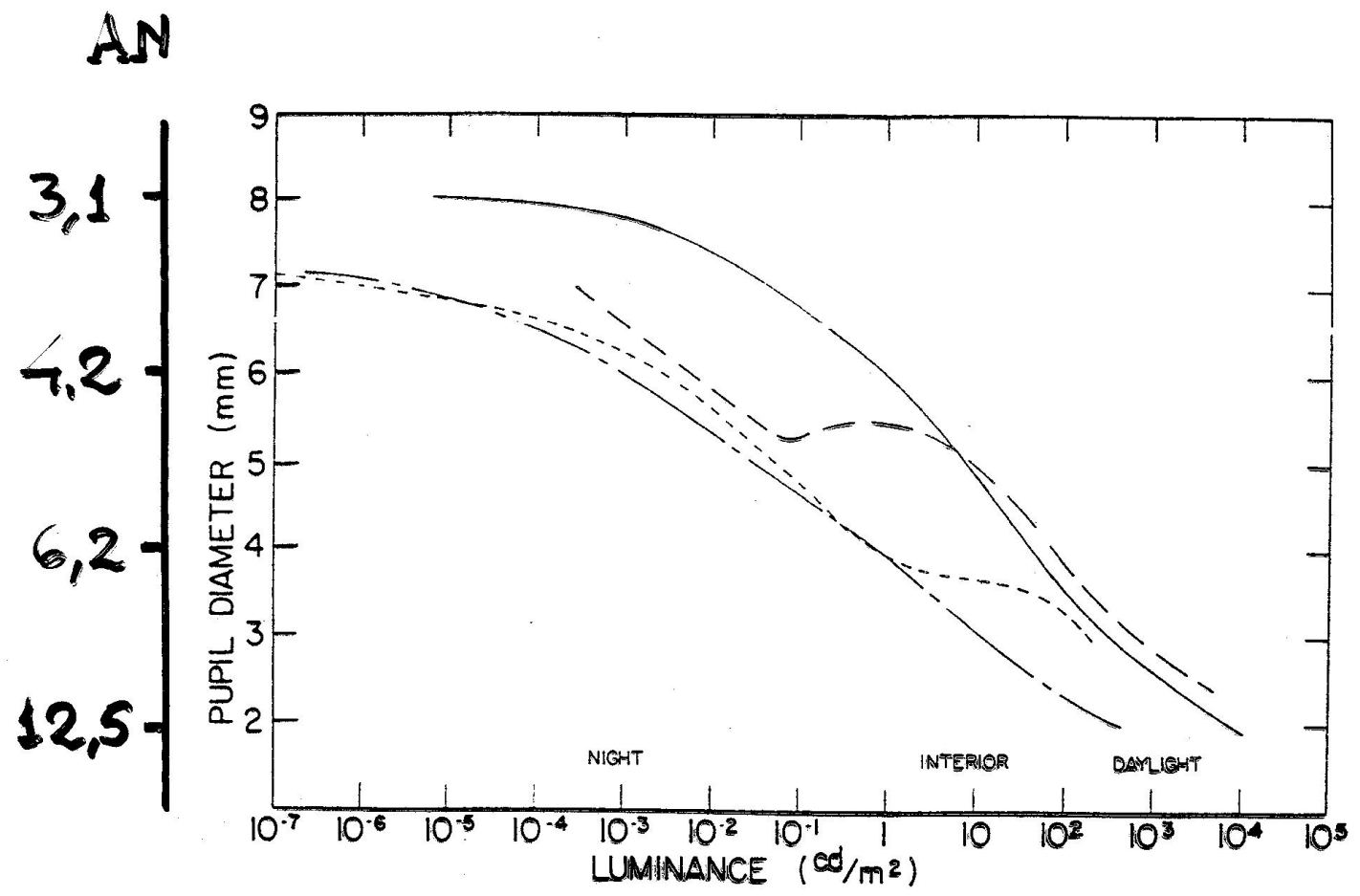


Figure 3-3. Variation of human pupil size with ambient light conditions. The abscissa provides the luminance of the adapting field with pupil diameter measured in 4 studies from Crawford (1936), ---; Reeves (1921), —; Flamant (1948), - - -; and the average of 8 studies by de Groot and Gebhard (1952), — — — — —, (from Sliney, 1971, with permission).

# VARIACION DEL DIAMETRO PUPILAR II

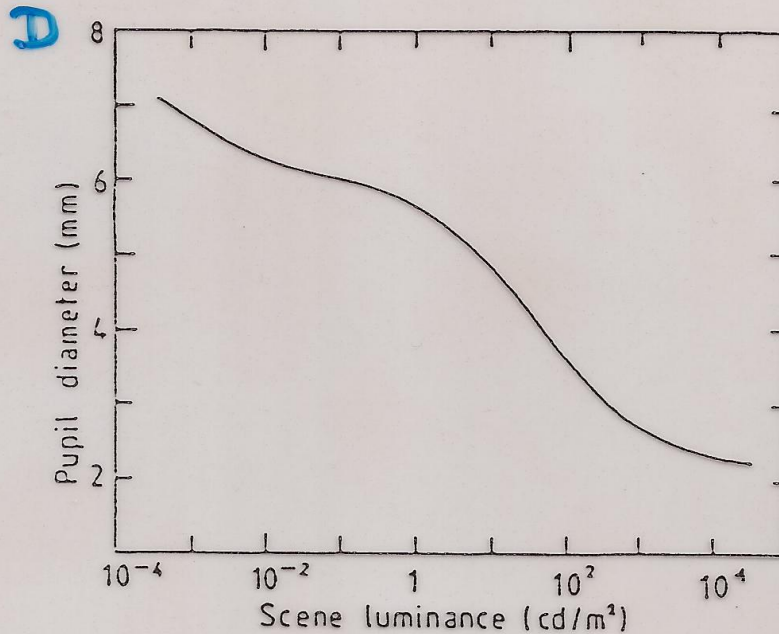
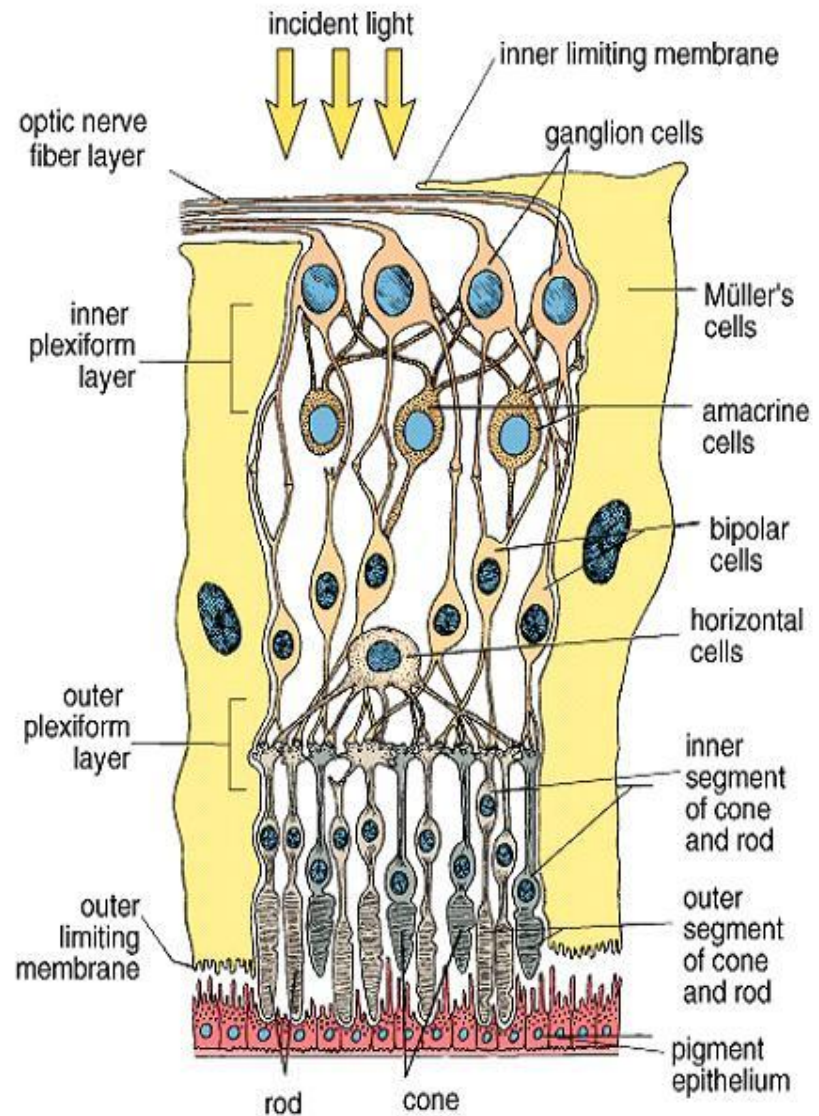
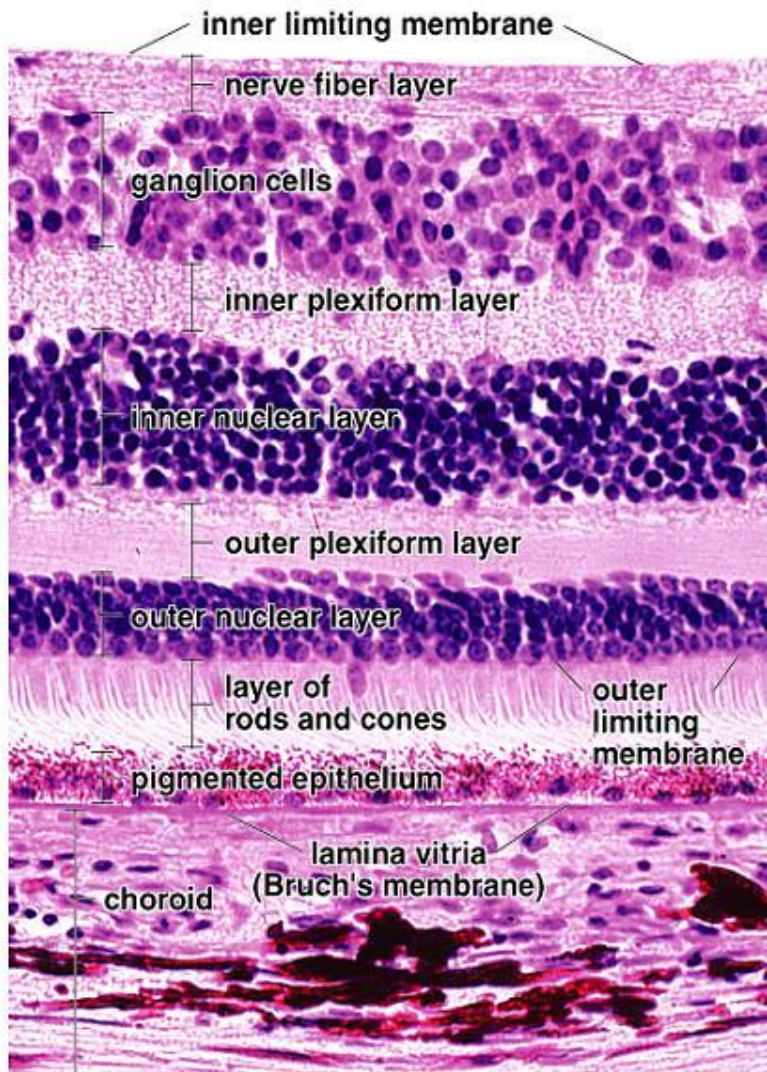


FIGURE 5 Entrance pupil diameter as a function of scene luminance for young adult observers: the curve is the weighted average of 6 studies (after Farrell and Booth<sup>50</sup>).

L  
luminance

$$\log_{10} D = 0,8558 - 4,01 \times 10^{-4} \left[ \left( \log_{10} L_{lum} \right) + 8,6 \right]^3$$

# ESTRUCTURA DE LA RETINA



# EL SISTEMA VISUAL HUMANO

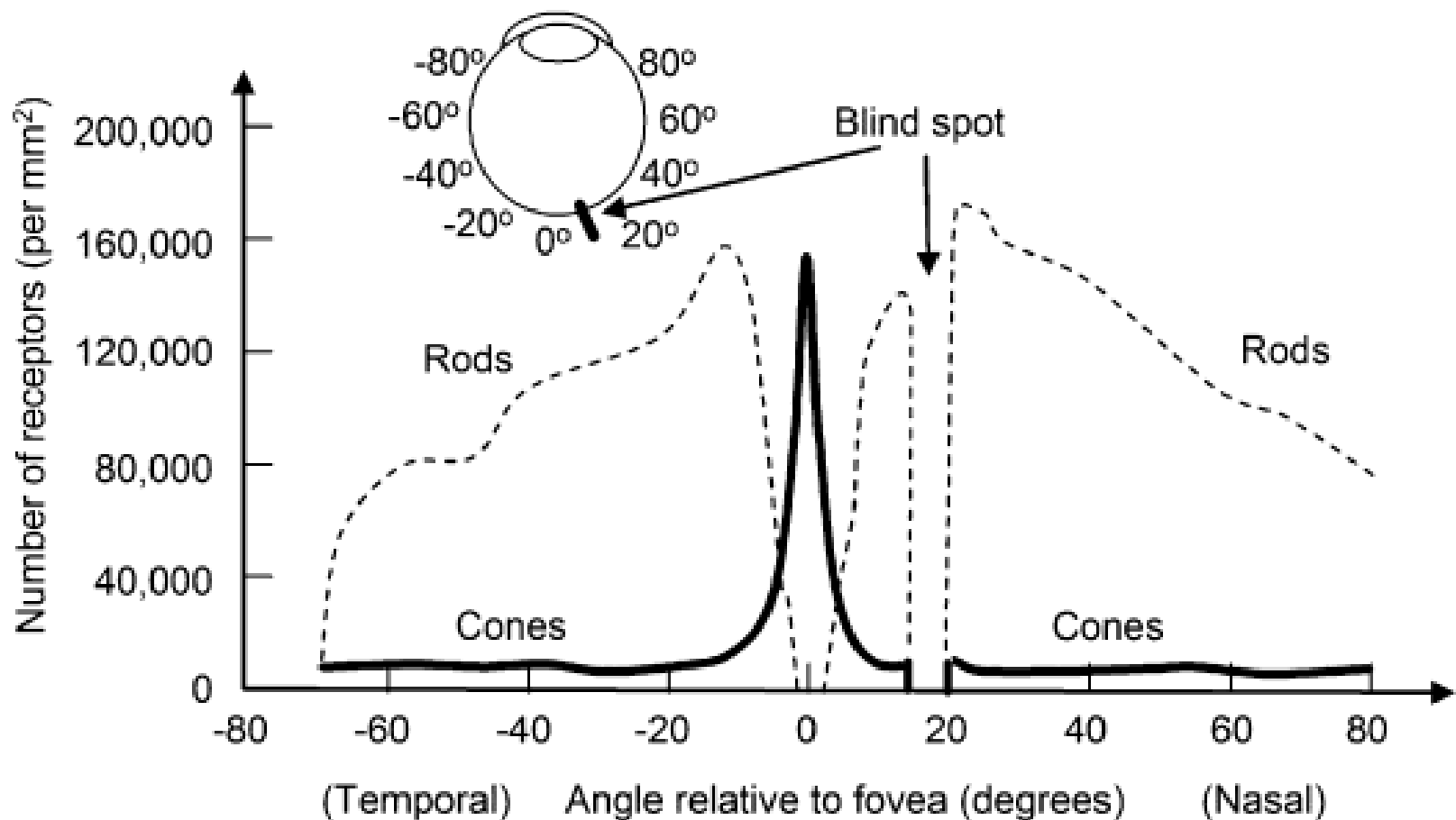
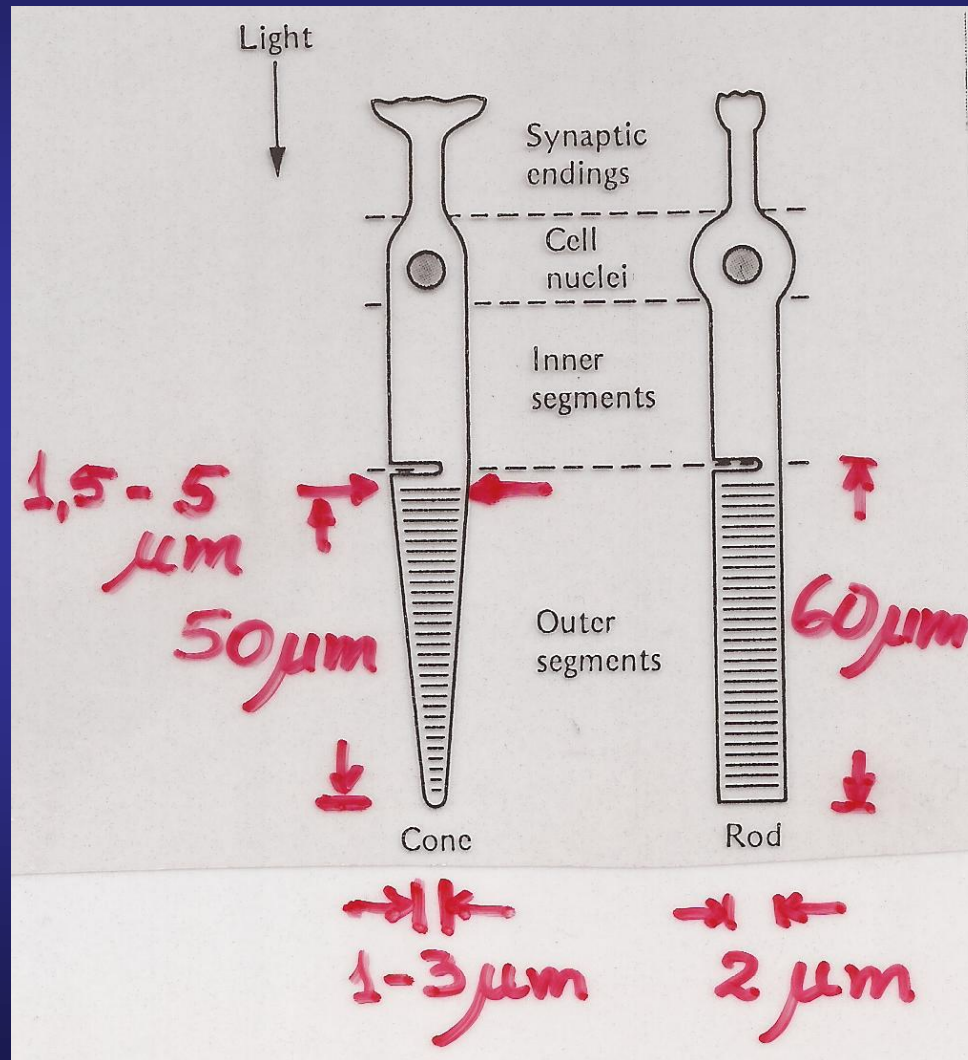


Fig. 11.3. Distribution of rods and cones on the retina, and the location of the blind spot. (Based on [523] and [560])

# DIMENSIONES TÍPICAS DE CONOS Y BASTONES I





# DIMENSIONES TÍPICAS DE CONOS Y BASTONES II

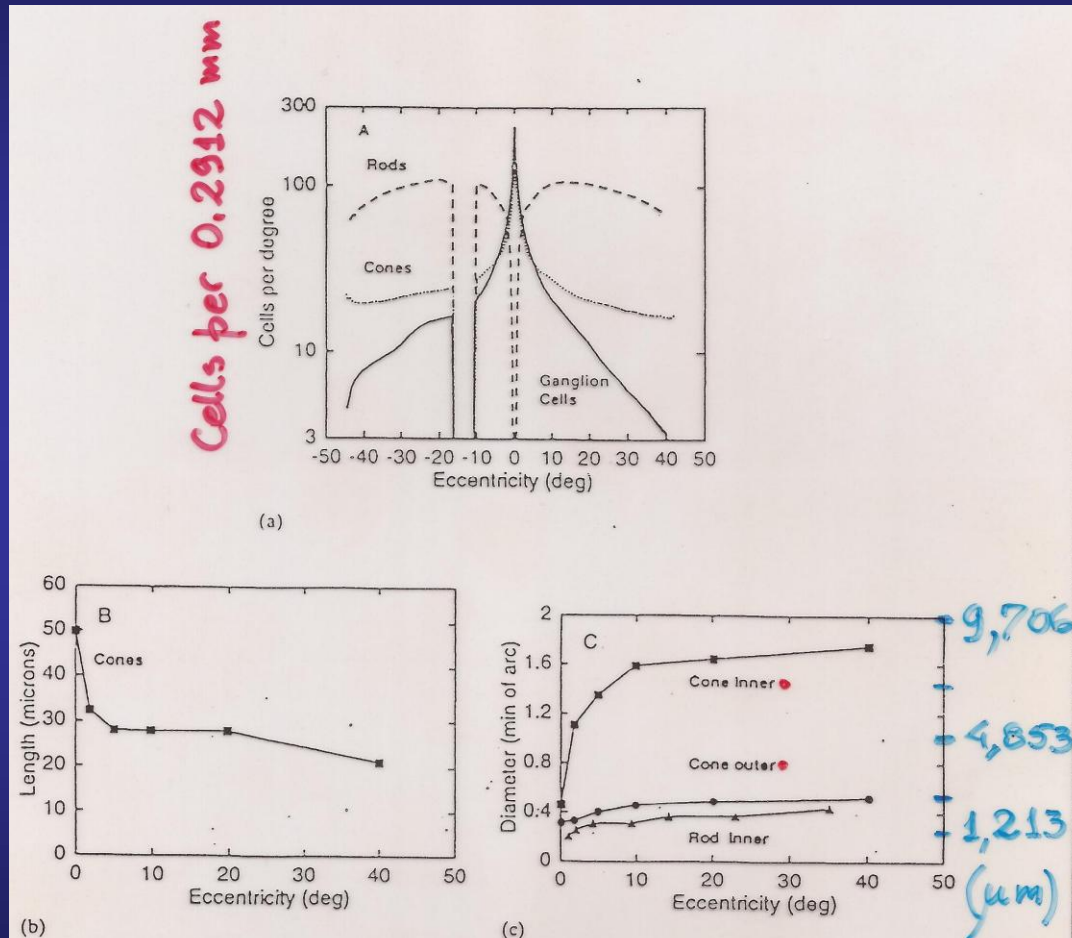
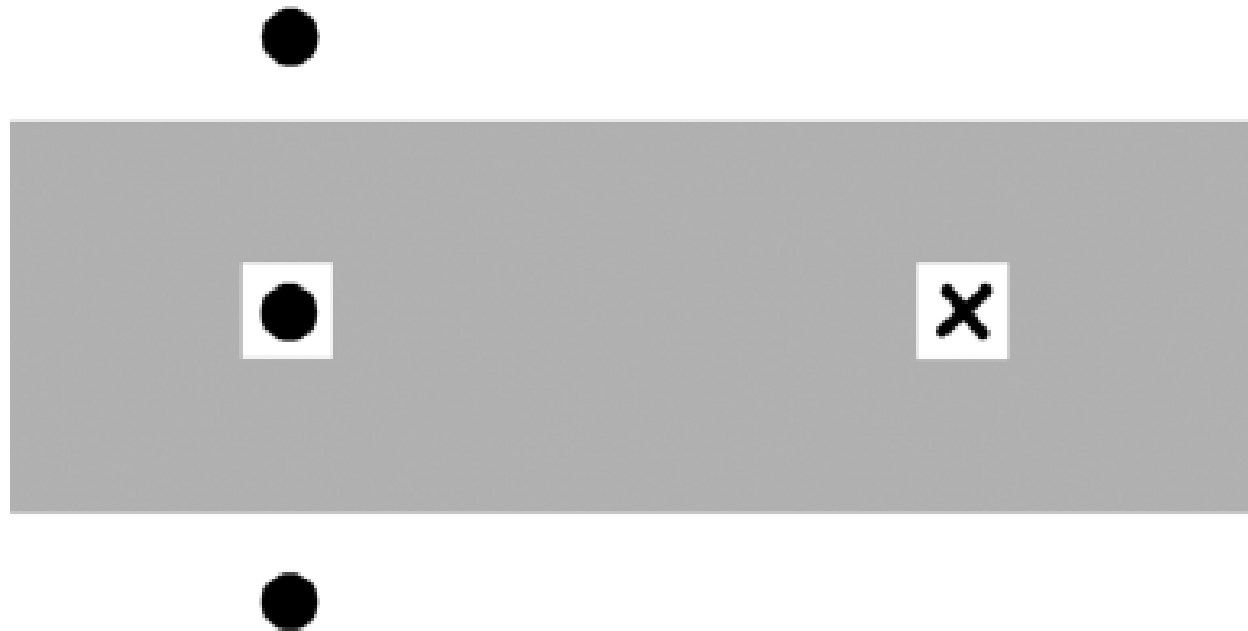
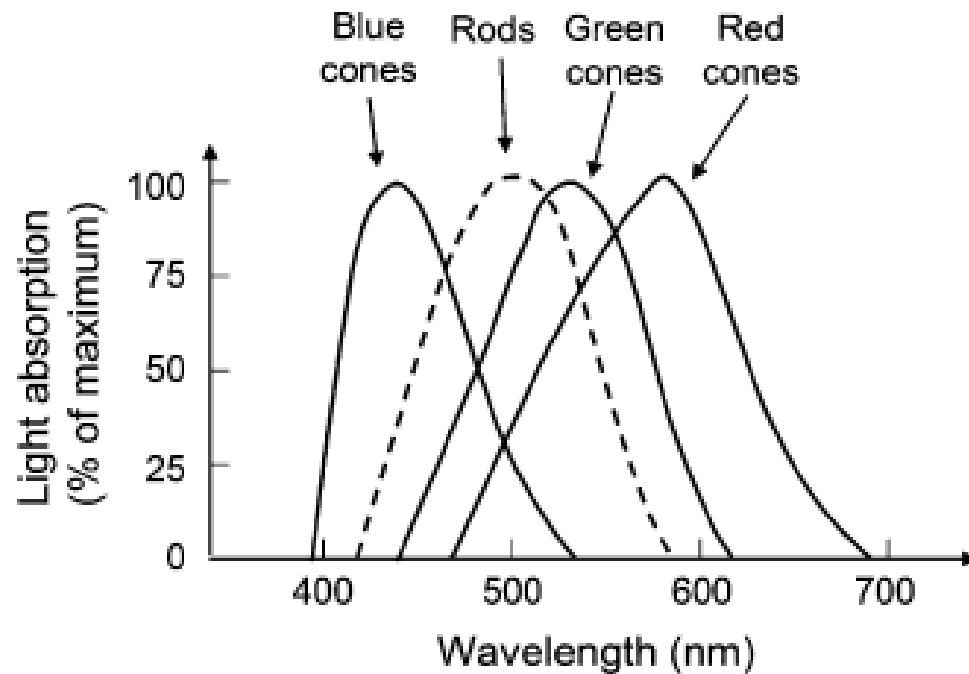


FIGURE 2 (a) Linear density of cones, rods, and ganglion cells as a function of eccentricity in the human retina. (The data were modified from Refs. 6 and 32.) Conversion from cells/mm<sup>2</sup> to cells/deg<sup>2</sup> was computed assuming a posterior nodal point 16.68 mm from the retina, and a retinal radius of curvature of 12.1 mm. Conversion to cells/deg was obtained by taking the square root of areal density. Ganglion cell density in the central 10 deg was derived assuming a 3:1 ratio of ganglion cells to cones in the fovea.<sup>32</sup> (b) Human cone outer segment length. (Modified from Ref. 125.) (c) Human cone inner segment, cone outer segment and rod diameter as a function of eccentricity. (Modified from Ref. 125.)

# TIPO Y CANTIDAD DE COMPONENTES EN LA RETINA

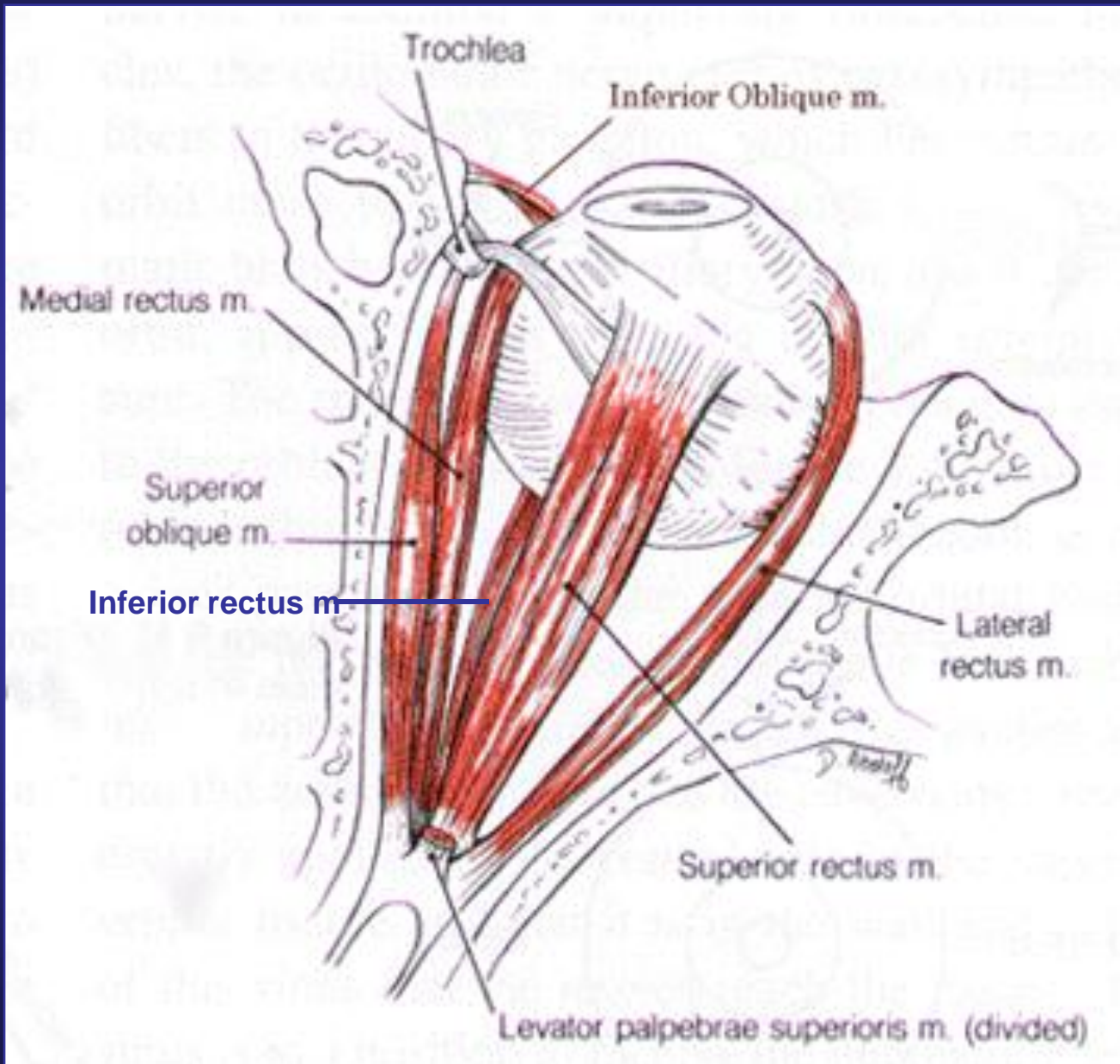


**Fig. 11.4.** Fixate on the x using your left eye, with your right eye closed. Keep the book about 10 cm from your left eye, and then move it back and forth until you do not see the central spot. This spot is then on the blind spot. The spots above and below it are still visible, but fuzzy because of the lower visual acuity outside the fovea. (Based on [560])

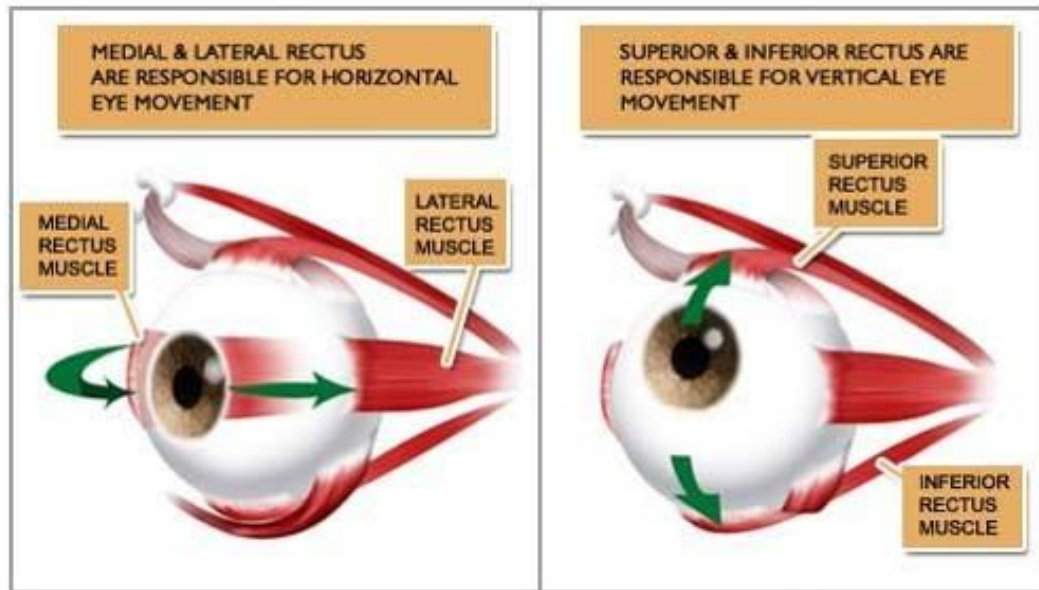


**Fig. 11.6.** Relative spectral sensitivity of rods and cones. The absolute sensitivity of rods is  $1,000\times$  larger than those of the cones. (Based on [515], [526], and [540])

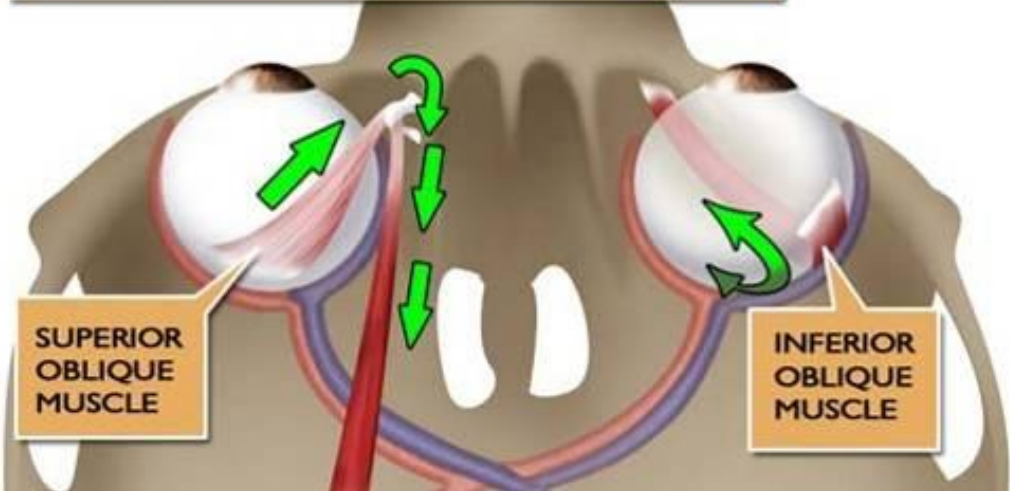
# MUSCULOS OCULARES II



# MOVIMIENTOS DEL OJO HUMANO



THE SUPERIOR AND INFERIOR OBLIQUE MUSCLES CONTROL THE ROTATION OF THE EYE



# ONDAS ELECTROMAGNÉTICAS I

## Ecuaciones de Maxwell

$$\nabla \cdot \vec{E} = \rho / \varepsilon$$

$$\nabla \cdot \vec{B} = 0$$

$$\nabla \otimes \vec{E} = -\frac{\partial \vec{B}}{\partial t}$$

$$\nabla \otimes \vec{B} = \mu\sigma\vec{E} + \mu\varepsilon\frac{\partial \vec{E}}{\partial t}$$

## Ecuaciones de onda en el vacío

$$\nabla^2 E = -\mu_0\varepsilon_0\frac{\partial^2 E}{\partial t^2}$$

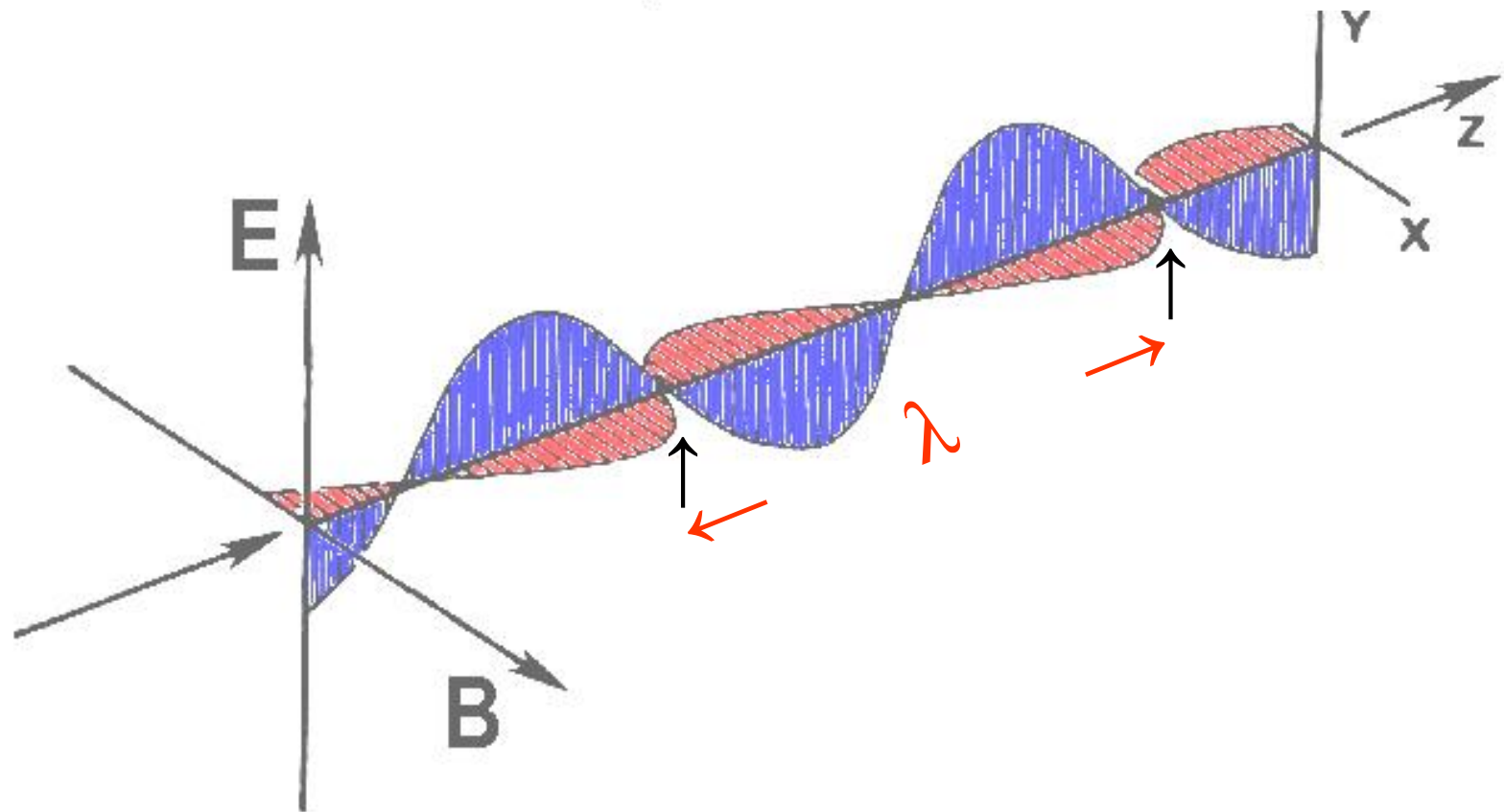
$$\nabla^2 B = -\mu_0\varepsilon_0\frac{\partial^2 B}{\partial t^2}$$

# ONDAS ELECTROMAGNÉTICAS II

Ondas planas:

$$E_y(z, t) = E_{0y} \cos \left[ \omega \left( t - \frac{z}{c} \right) + \varphi \right]$$

$$E_y = cB_x$$





# ONDAS ELECTROMAGNÉTICAS III

Ecuación diferencial escalar de onda:

$$\frac{\partial^2 \psi}{\partial x^2} + \frac{\partial^2 \psi}{\partial y^2} + \frac{\partial^2 \psi}{\partial z^2} = \frac{1}{v^2} \frac{\partial^2 \psi}{\partial t^2}$$

Velocidad en el vacío:

$$v = 1 / \sqrt{\mu_0 \epsilon_0}$$

$$\mu_0 \epsilon_0 \approx \left( 8,85 \times 10^{-12} \frac{s^2 C^2}{m^3 kg} \right) \left( 4\pi \times 10^{-7} \frac{mkg}{C^2} \right)$$

Valor adoptado:

$$c = 299792458 \frac{m}{s}, \text{ sin incertidumbre.}$$

(XVII Conferencia General de Pesas y Medidas el 21 de octubre de 1983)

# EL METRO (1960) Y EL SEGUNDO (1967)

El **metro** es igual a 1 650 763,73 longitudes de onda en el vacío de la radiación  $\lambda = 605,780\ 211\ \text{nm}$  emitida por el  $^{86}\text{Kr}$  ( $^{36}\text{p} + ^{50}\text{nKr}$ ), con calidad  $\Delta\lambda / \lambda = \pm 4 \times 10^{-9}$ , o  $\Delta\lambda / \lambda = 4:10^9$ . (XI CGPM, 1960).

El **segundo** es igual a la duración de 9 192 631 770 períodos de la radiación correspondiente a la transición entre dos niveles hiperfinos del estado fundamental del átomo de  $^{133}\text{Cs}$  ( $^{55}\text{p} + ^{78}\text{nCs}$ ), con calidad  $\Delta t / t = 1:10^{14}$ . (XIII CGPM, 1967).

# XVII CONFERENCIA GENERAL DE PESAS Y MEDIDAS (21-10-1983) I

## Definición:

*El metro es la longitud del camino recorrido en el vacío por la luz durante el intervalo de tiempo de 1/299 792 458 de segundo.*

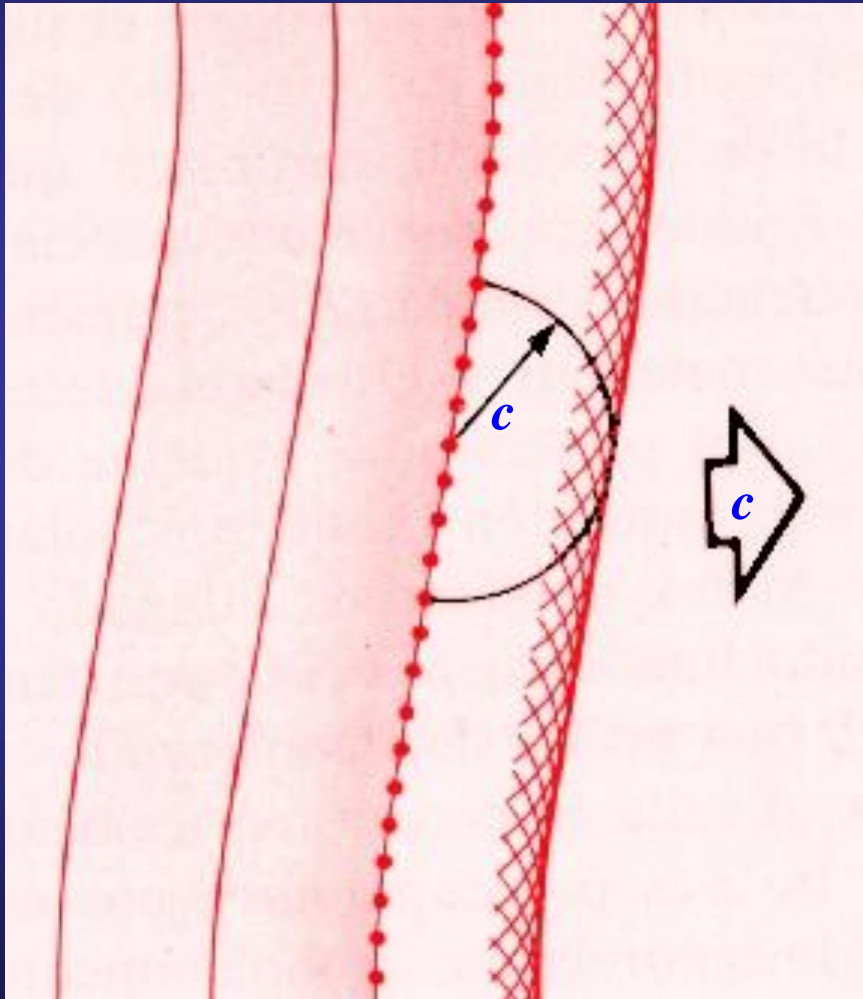
## Realización 1: Láser de He-Ne:CH<sub>4</sub>

$$\lambda_{\text{CH}_4} = 3\,392\,231\,397,0 \text{ fm} \quad (\Delta\lambda / \lambda = \pm 1,3 \times 10^{-10})$$

$$\nu_{\text{CH}_4} = 88\,376\,181\,608 \text{ kHz} \quad (\Delta\nu / \nu = \pm 1,3 \times 10^{-10})$$

$$c = \lambda_{\text{CH}_4} \nu_{\text{CH}_4} = 299\,792\,457,997\,63 \text{ m/s}$$

# ONDAS ELECTROMAGNÉTICAS IV



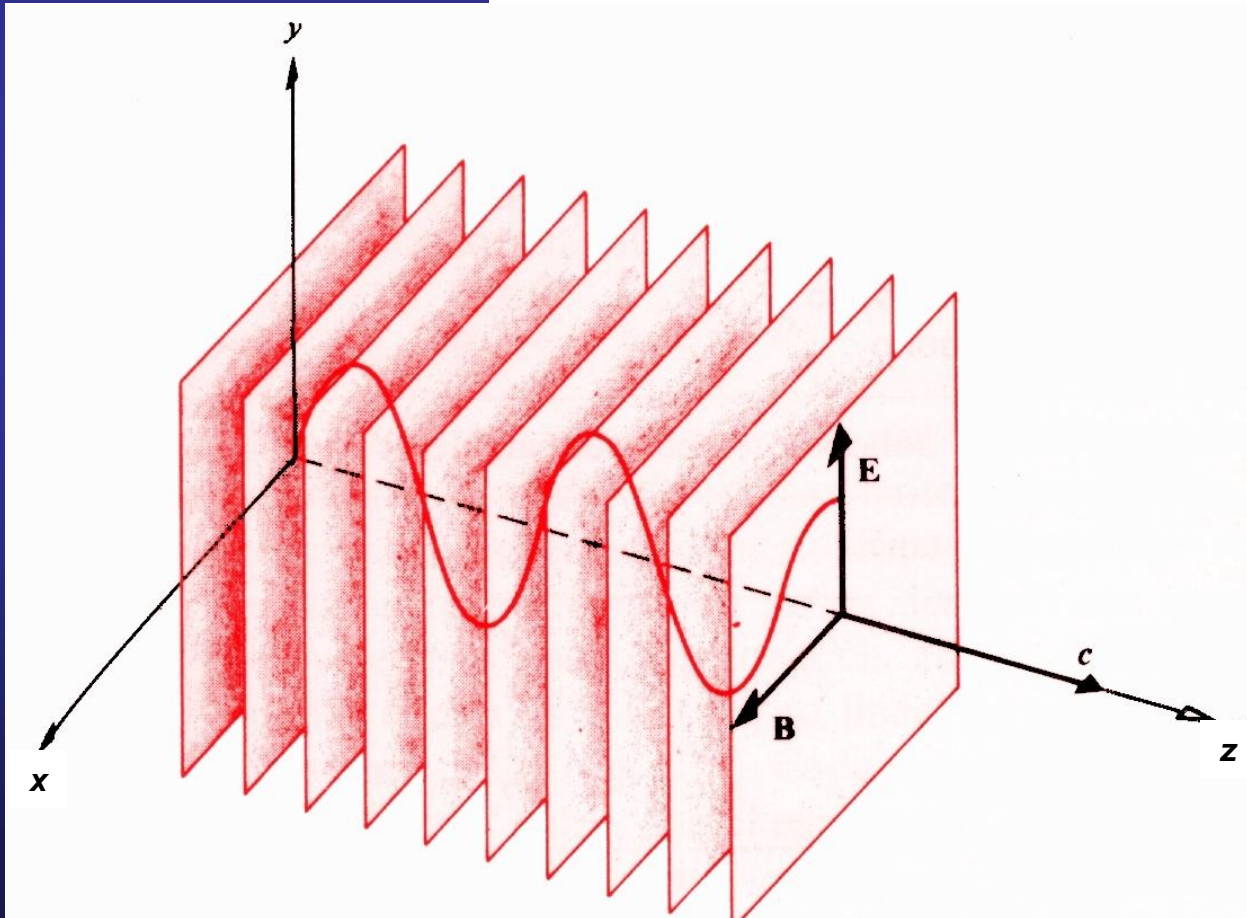
## PROPAGACIÓN DE LA LUZ

Principio de  
Huygens (1678)

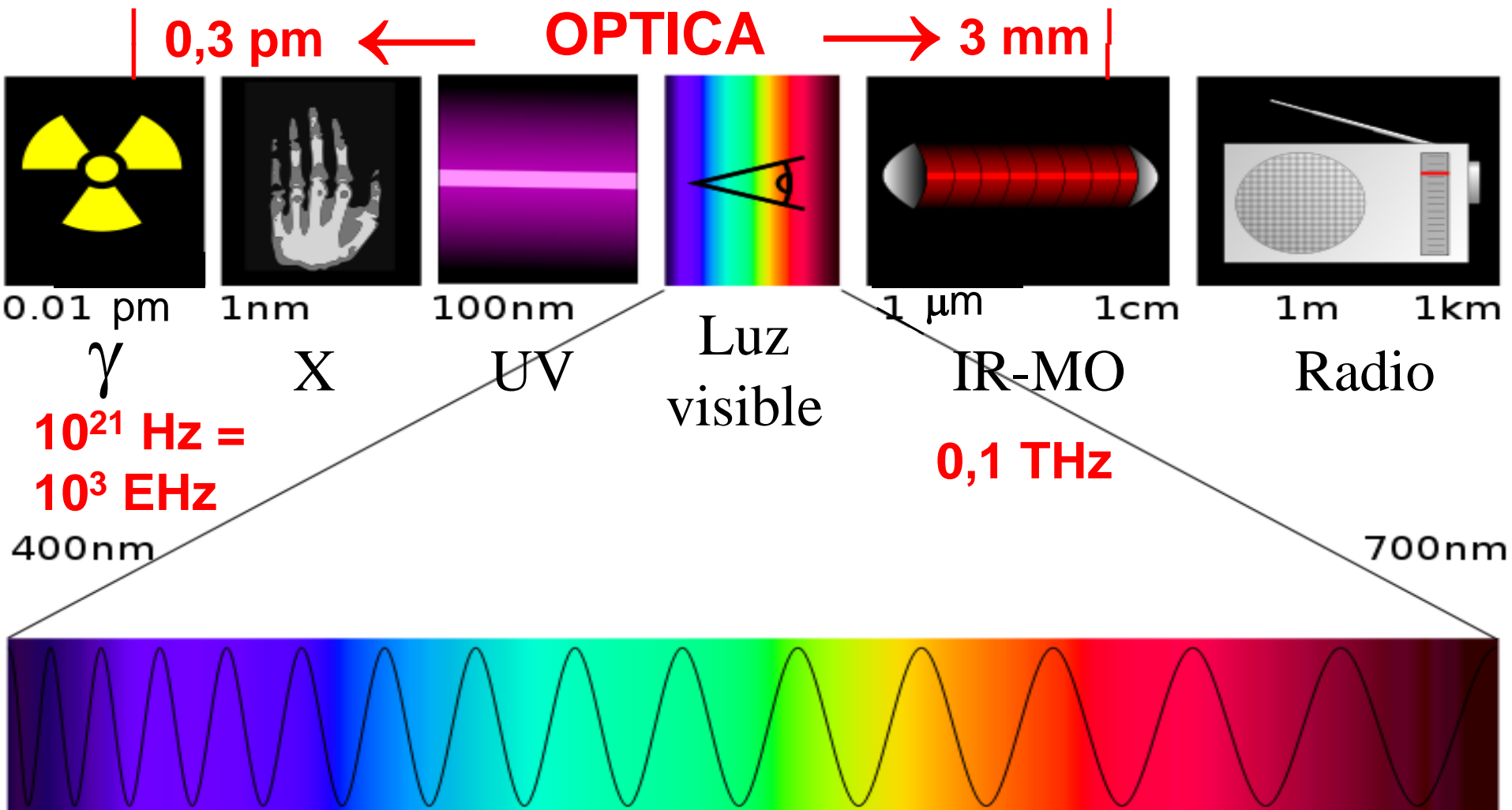
# ONDAS ELECTROMAGNÉTICAS V

Ondas planas:

$$E_y(z, t) = E_{0y} \cos \left[ \omega \left( t - \frac{z}{c} \right) + \varphi \right]$$



# ESPECTRO ELECTROMAGNETICO I

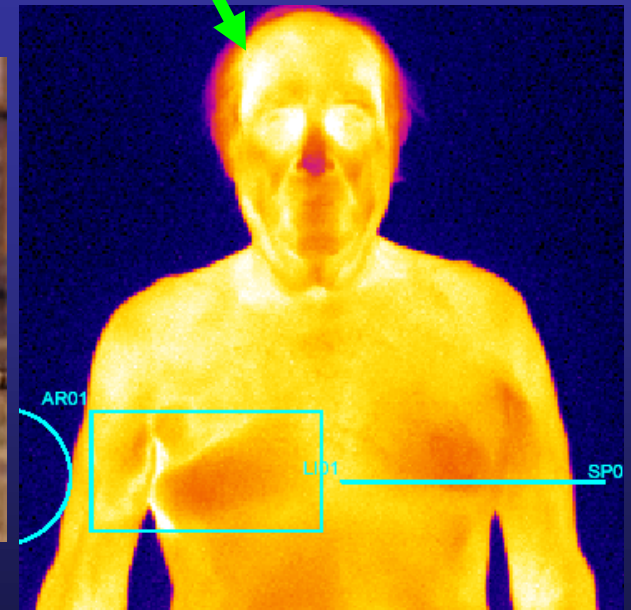


El prefijo E se lee Exa (6), y el T, Tera.

# ESPECTRO ELECTROMAGNETICO II

*Totalmente Invasivo*

*No Invasivo,  
pero ¡cuidado! No Invasivo*



# EL ESPECTRO ELECTROMAGNETICO III

Velocidad de la luz en el vacío

$$c = \nu \times \lambda$$

$$c = 299\,792\,458 \text{ m/s}$$

Energía de un fotón

$$E = h \times \nu$$

Constante de Planck

$$h = 6,6256 \times 10^{-34} \text{ Js}$$

**EJEMPLO:**

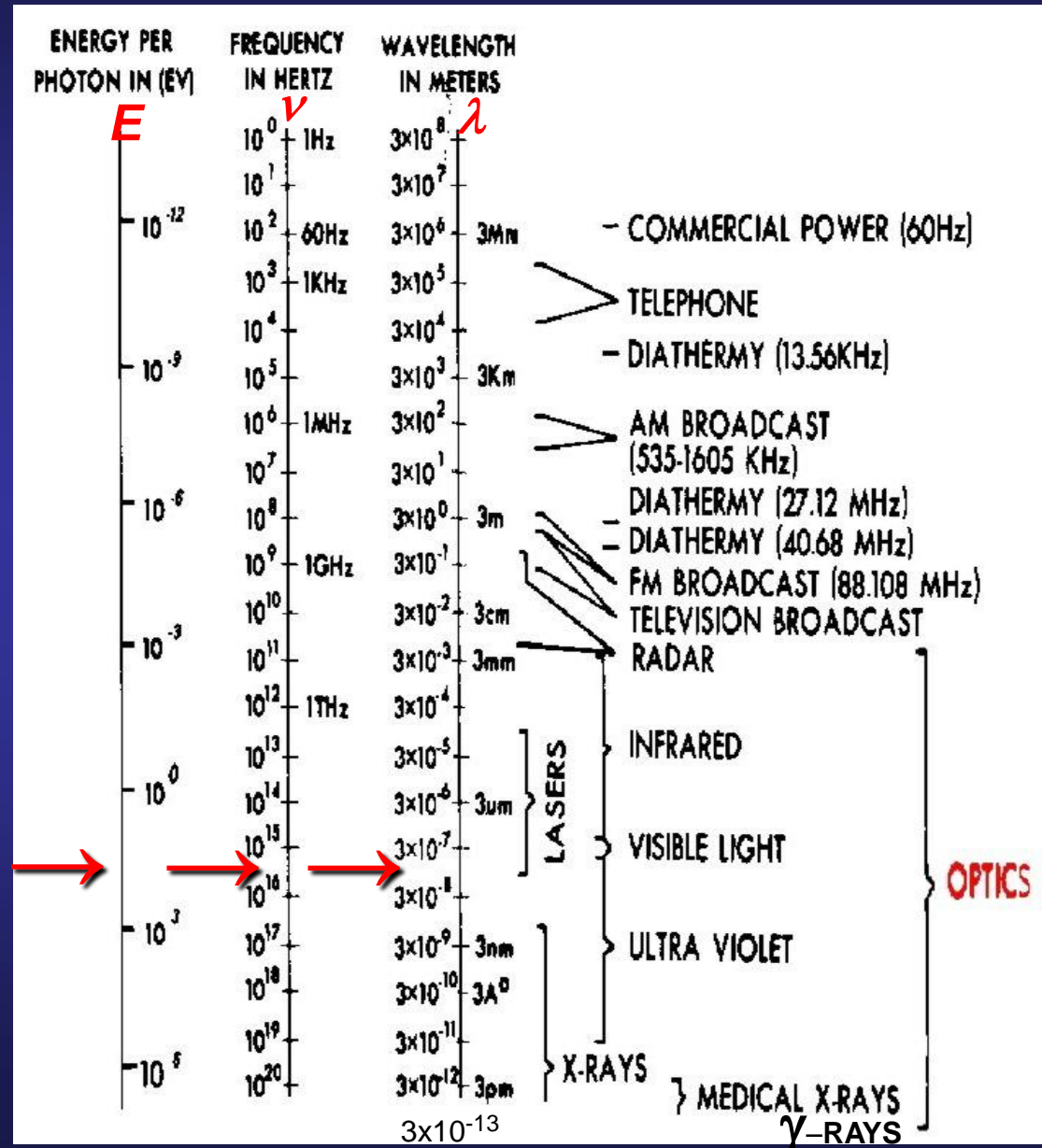
**Láser de EXCIMERO (Ar-F).**

$$\lambda = 193 \text{ nm}$$

$$\nu = 1,5 \times 10^{15} \text{ Hz} = 1,5 \text{ PHz}$$

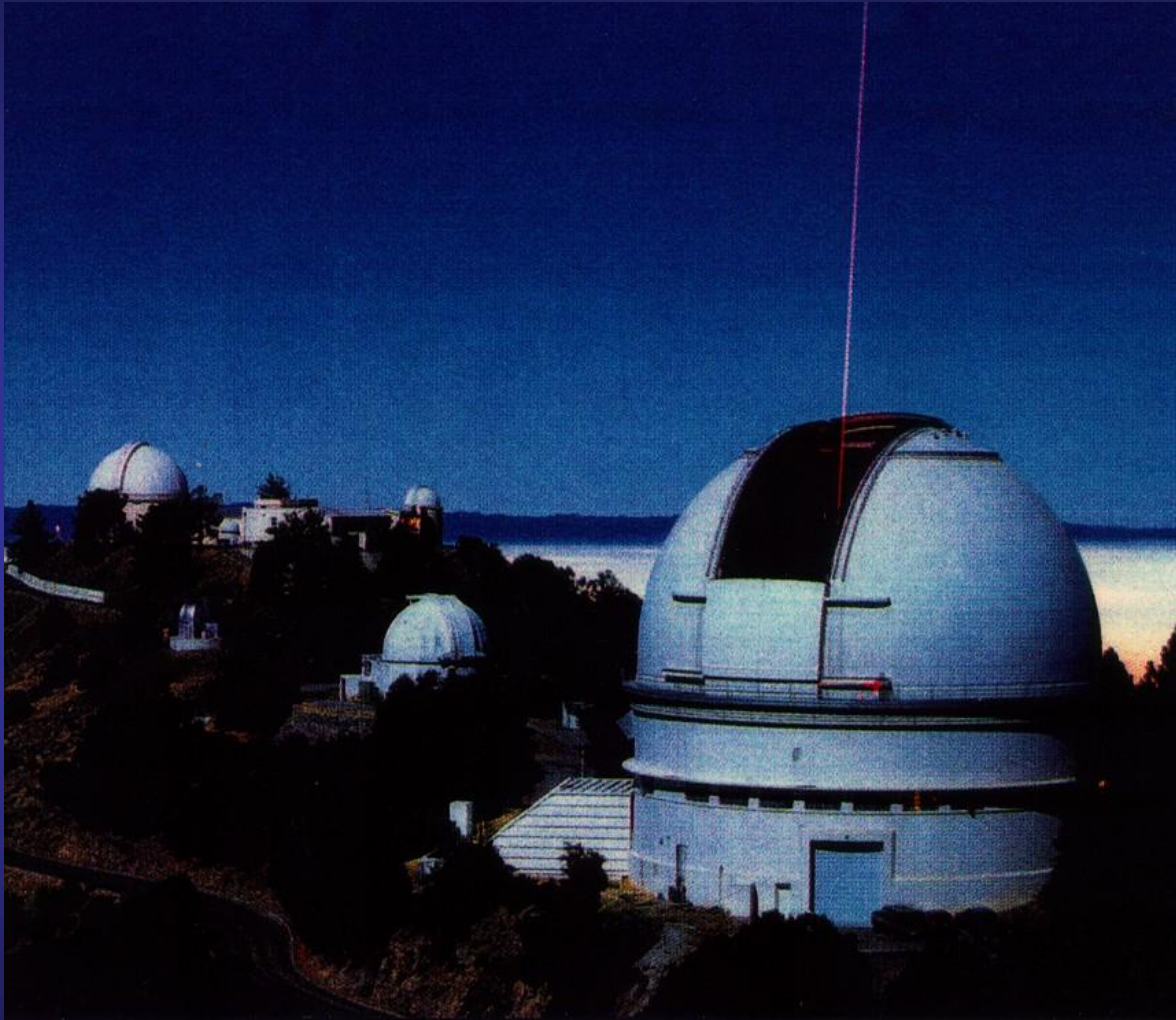
$$E_{\nu} = 1,03 \times 10^{-15} \text{ mJ} = 1,03 \text{ aJ}$$

P se lee Peta (5), y el a, atto (18).



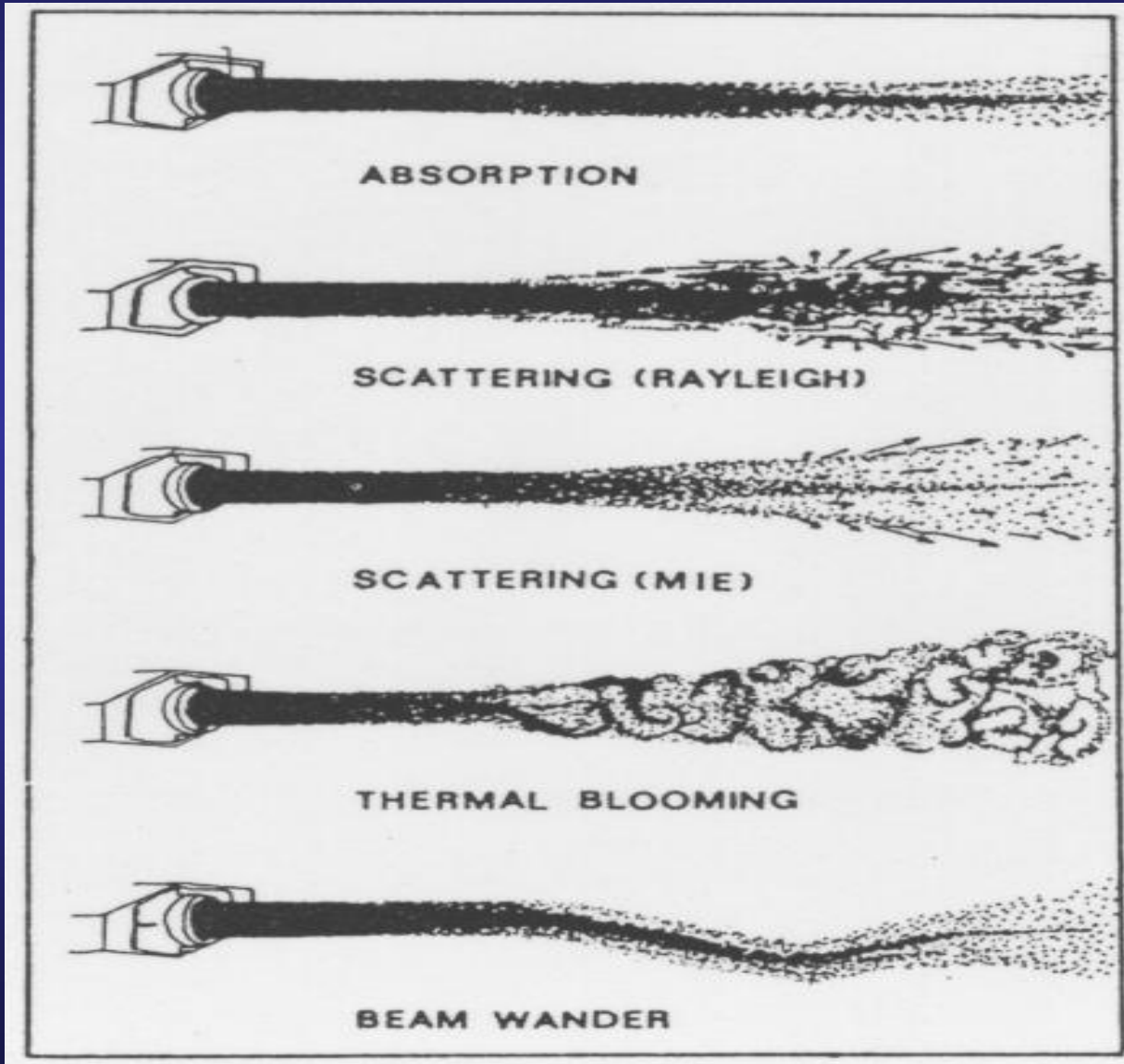


# PROPAGACION RECTILINEA DE LA LUZ



Haz láser para adaptar el enfoque de un gran telescopio (Lick Observatory, Estados Unidos de América del Norte).

# PROPAGACION DE UN HAZ LASER EN AIRE ESTACIONARIO Y TURBULENTO



*Atenuación del haz por absorción molecular*

*Dispersión del haz por moléculas*

*Dispersión del haz por partículas o aerosoles*

*Distorsión del haz por acción del calor*

*Bailoteo del haz por acción convectiva*

# INTENSIDAD DE LA LUZ DIVERGENTE DESDE UNA FUENTE PUNTUAL

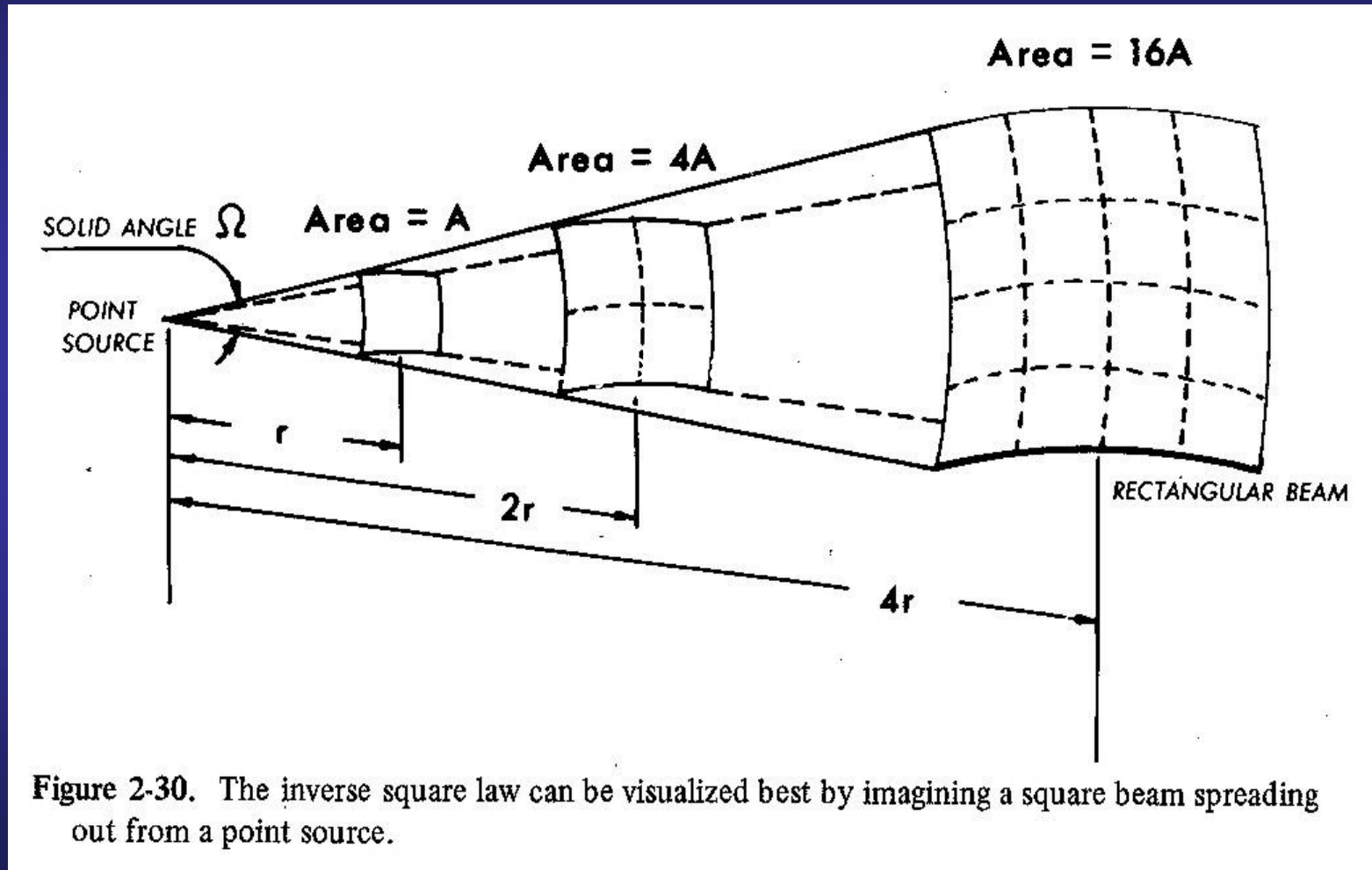


Figure 2-30. The inverse square law can be visualized best by imagining a square beam spreading out from a point source.

# SOMBRA Y PROYECCION DE FRANJAS O ILUMINACION ESTRUCTURADA



Proyección de franjas para caracterizar caras

# DETERMINACION DE LAS TOPOGRAFÍAS CORNEALES I

**Apice corneal:** Está en el eje del topógrafo cuando el paciente mira el punto de fijación O.

$(\Delta X, \Delta Y)$ : Distancia entre el centro pupilar y el ápice.

$(r, \phi)$ : Coordenadas polares en el topógrafo.

**Elipsoide:** La córnea puede aproximarse a un casquete elipsoidal de semieje mayor  $a$  según  $z$  y de semiejes menores  $b$  según  $x$  e  $y$ , tal que:

$$b/a = (1 - e^2)^{1/2},$$

siendo  $e$  la excentricidad.

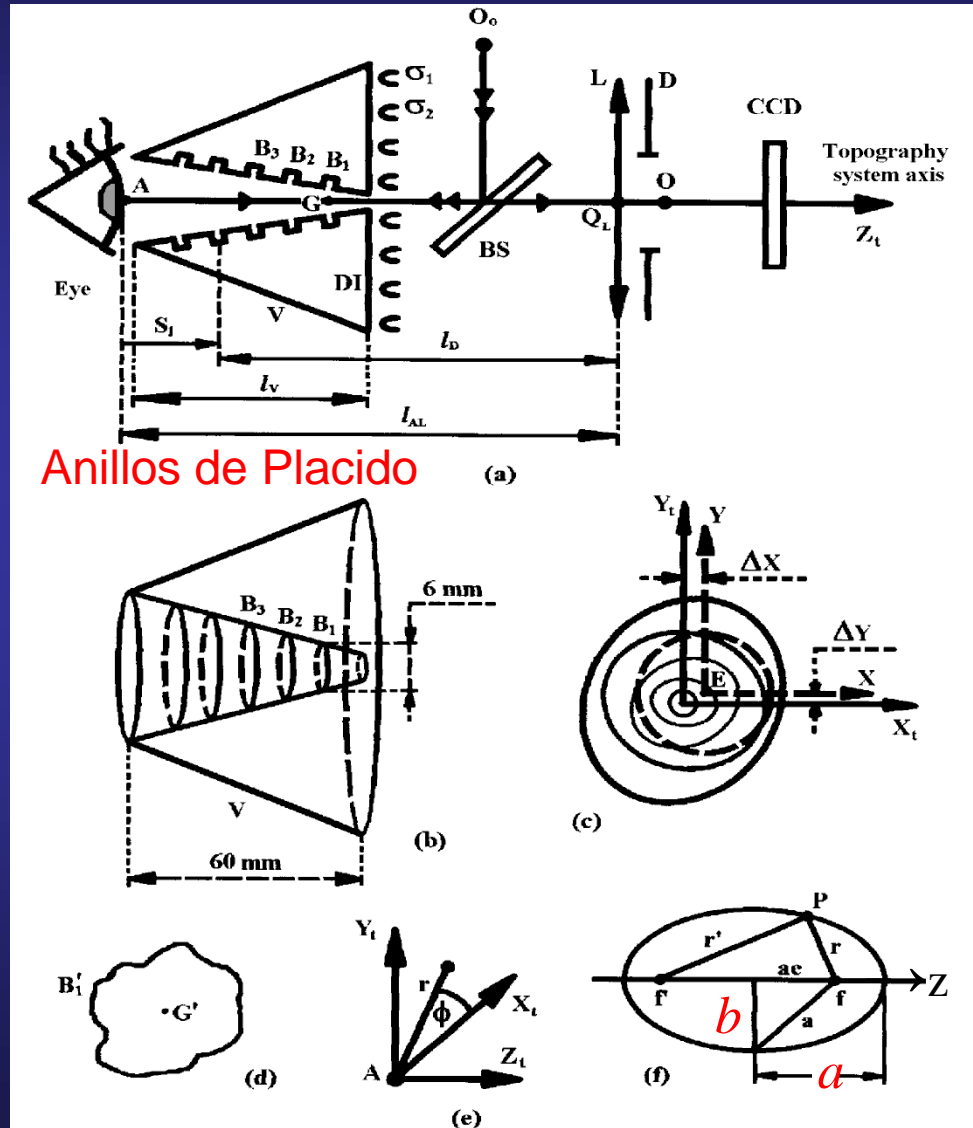
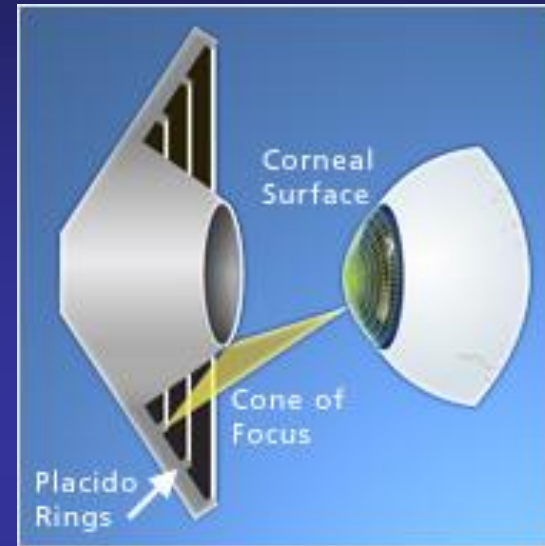
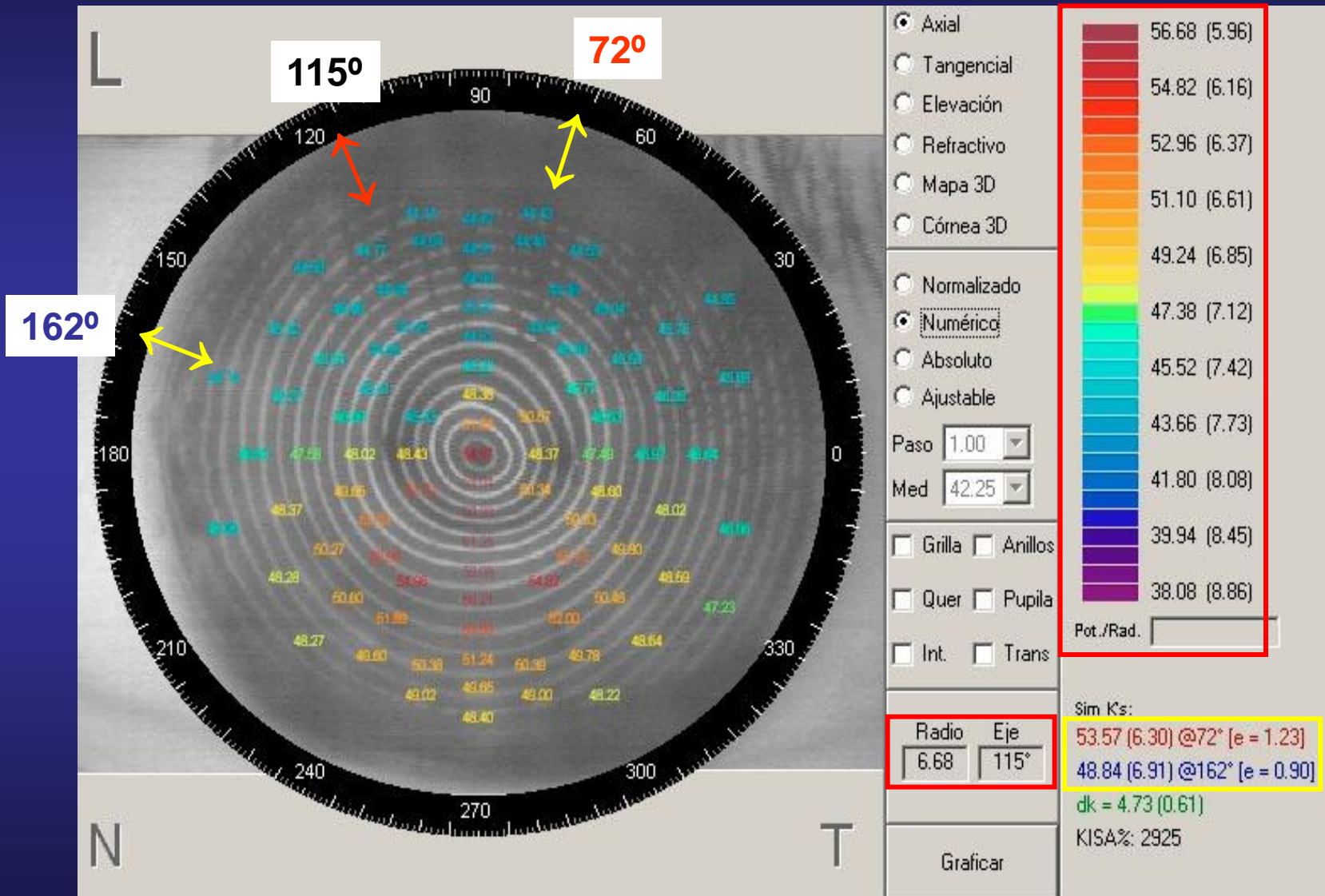


Figure 1 : Corneal Topographer

# DETERMINACION DE LAS TOPOGRAFÍAS CORNEALES II

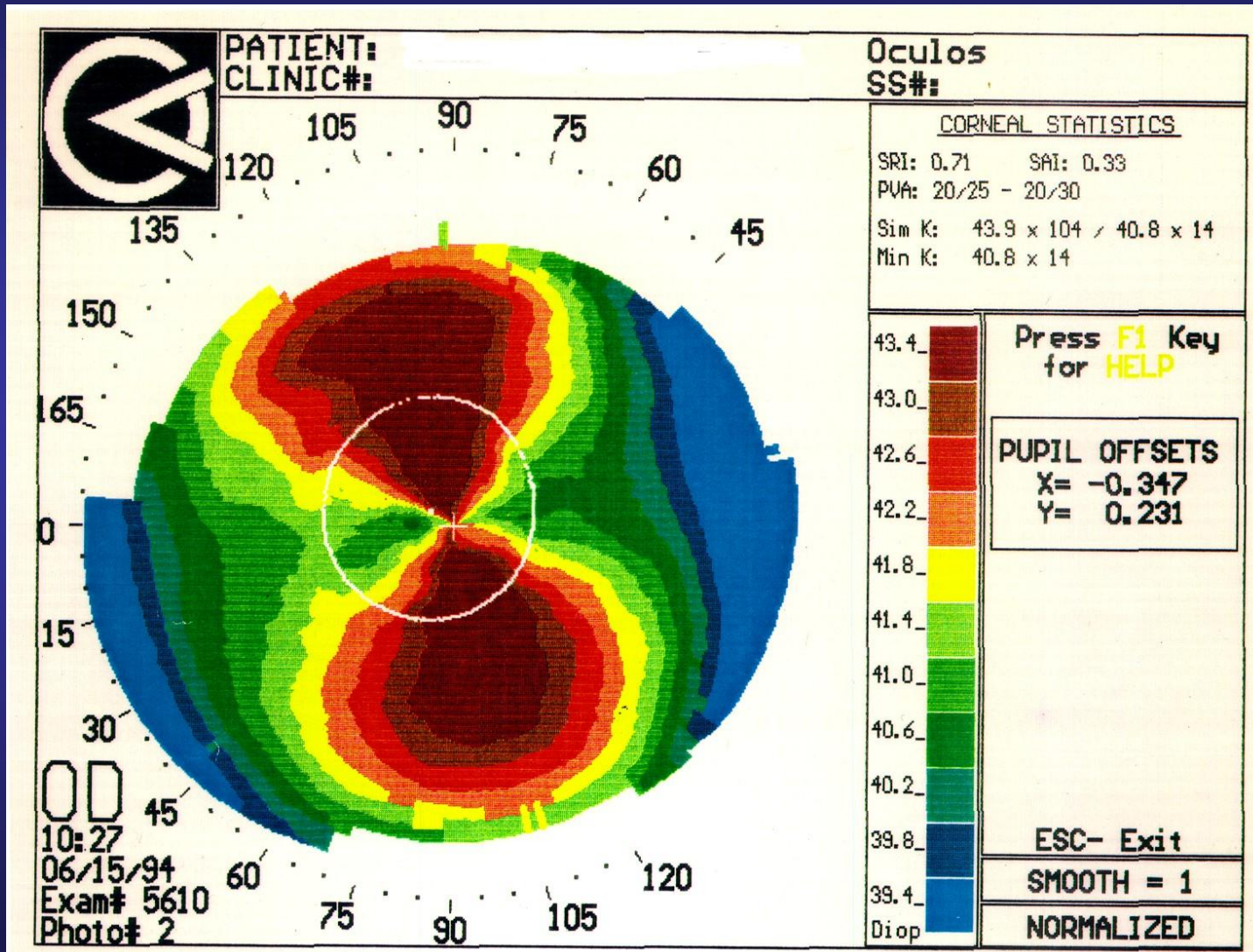


# DETERMINACION DE LAS TOPOGRAFÍAS CORNEALES III



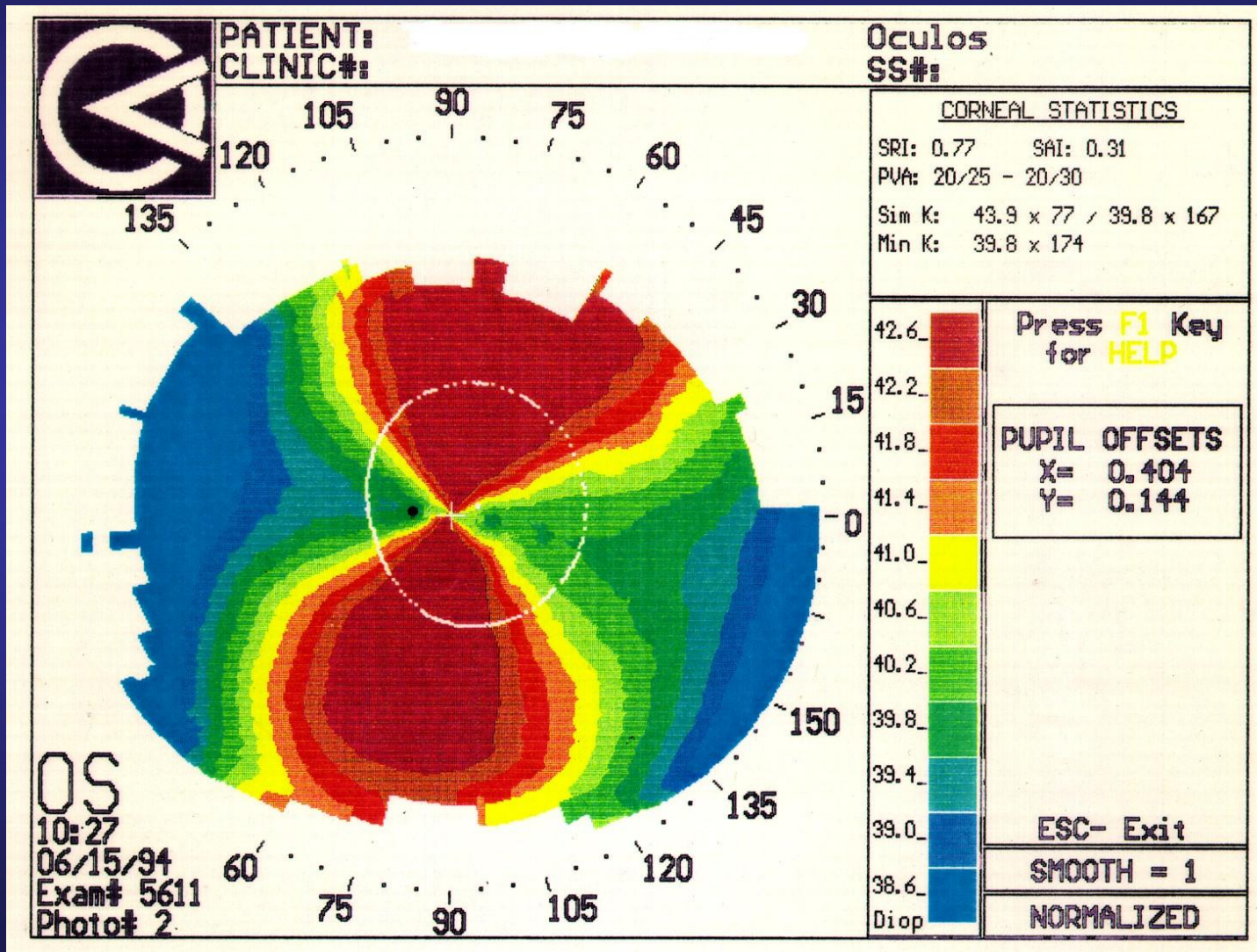
Aplicación del Sistema de Anillos de Placido

# DETERMINACION DE LAS TOPOGRAFÍAS CORNEALES IV

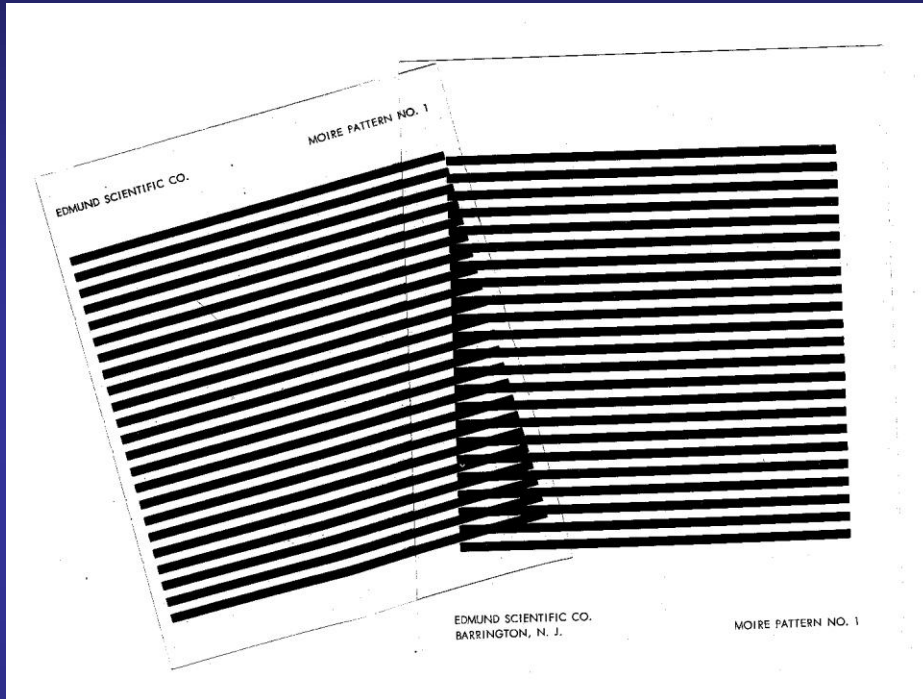




# DETERMINACION DE LAS TOPOGRAFÍAS CORNEALES V

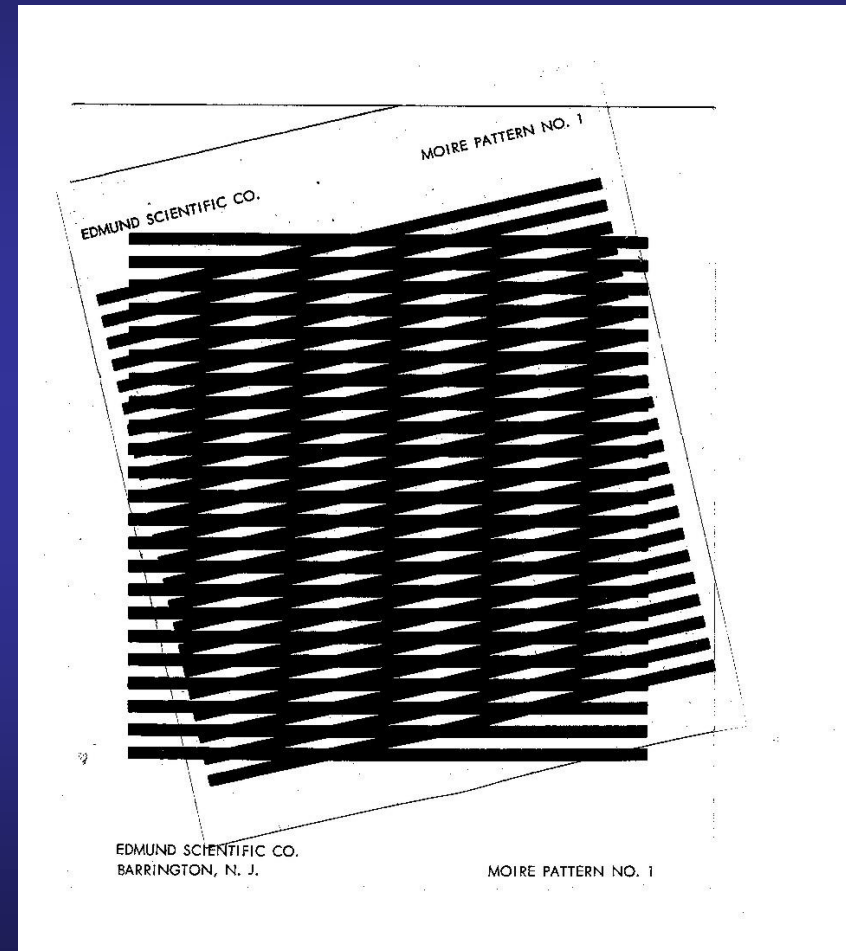


# EFEECTO *MOIRÉ* II

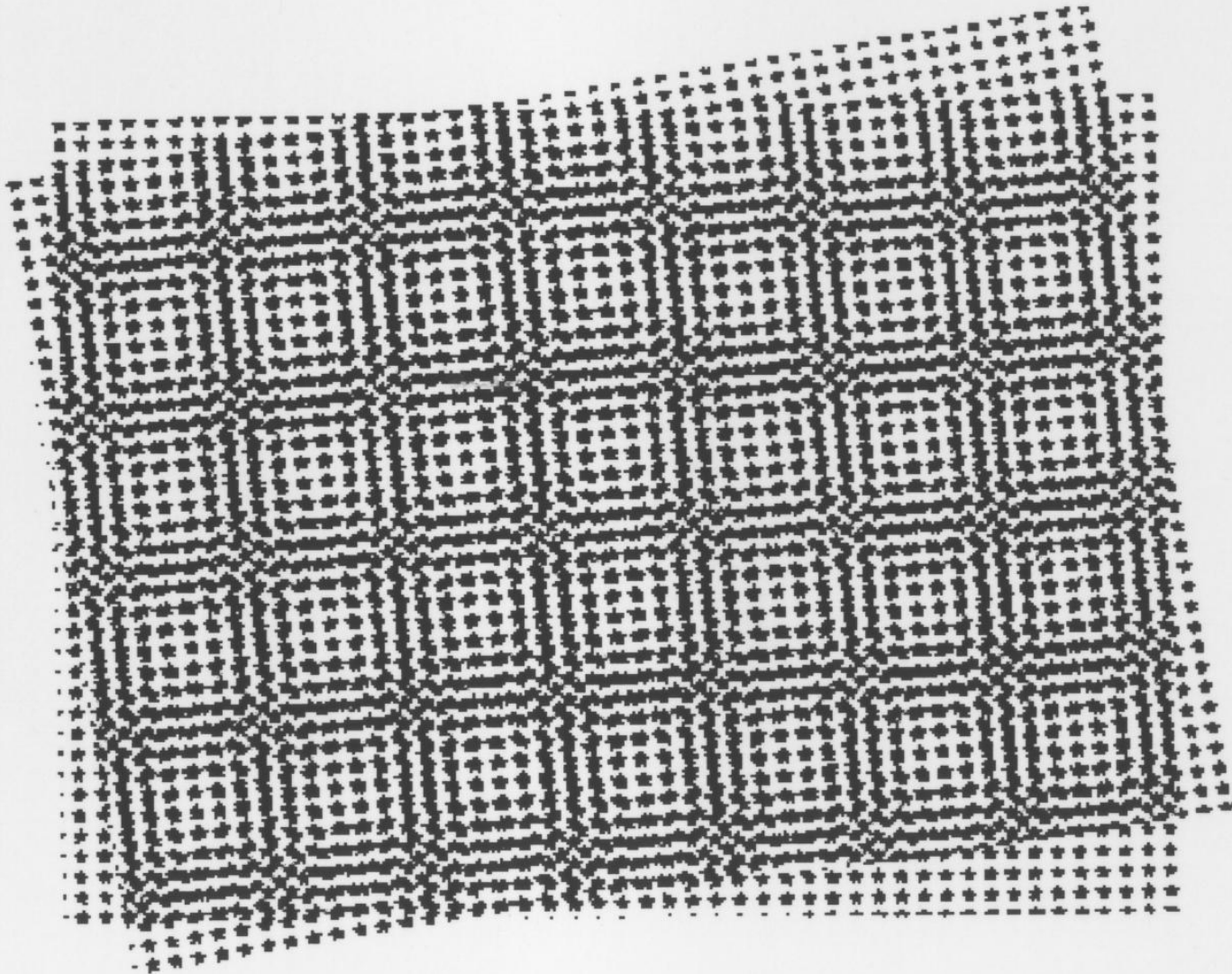


Grillas de Ronchi 1D de igual periodo superponiéndose

Franjas de *moiré* por superposición de grillas de Ronchi

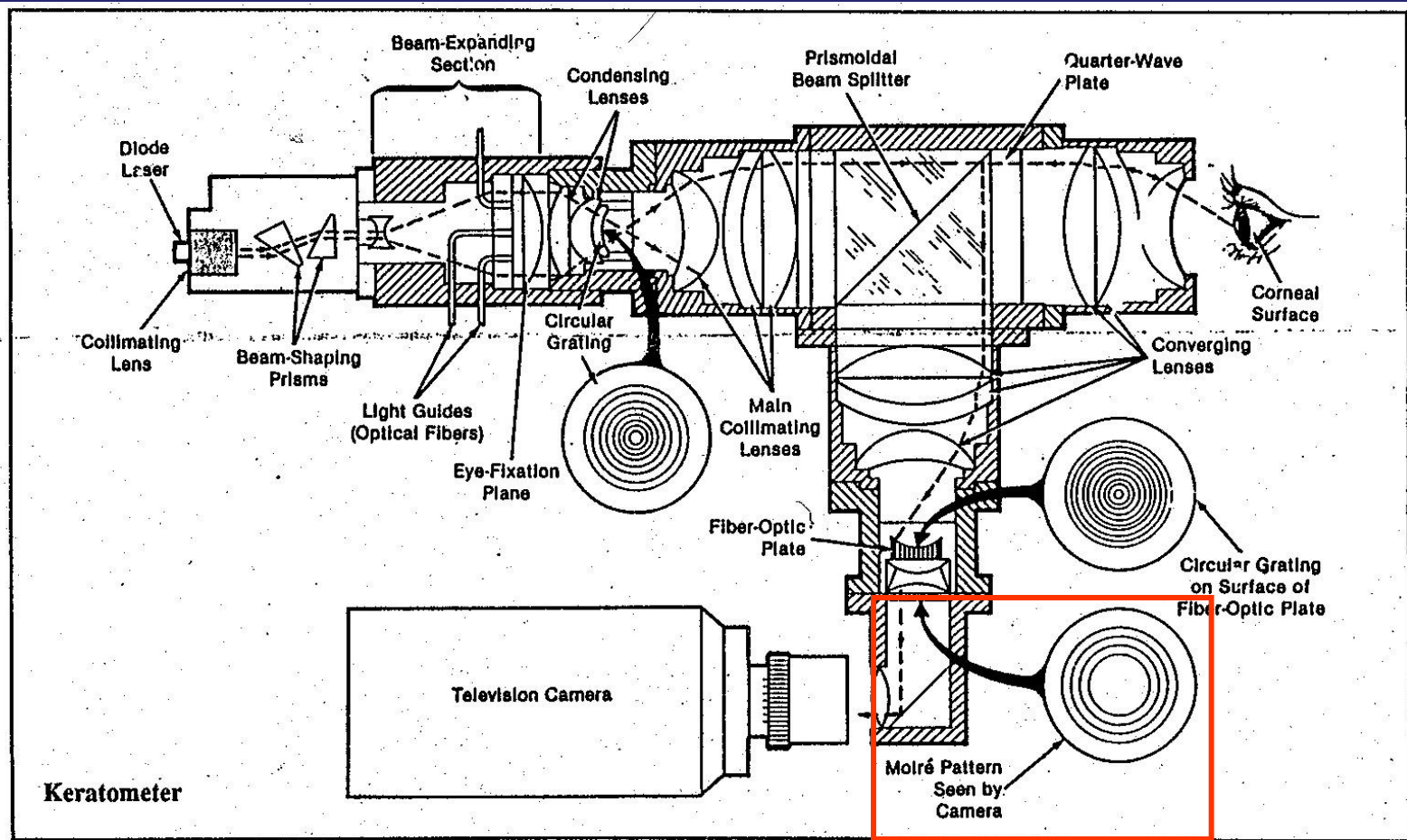


# EFECTO MOIRÉ III



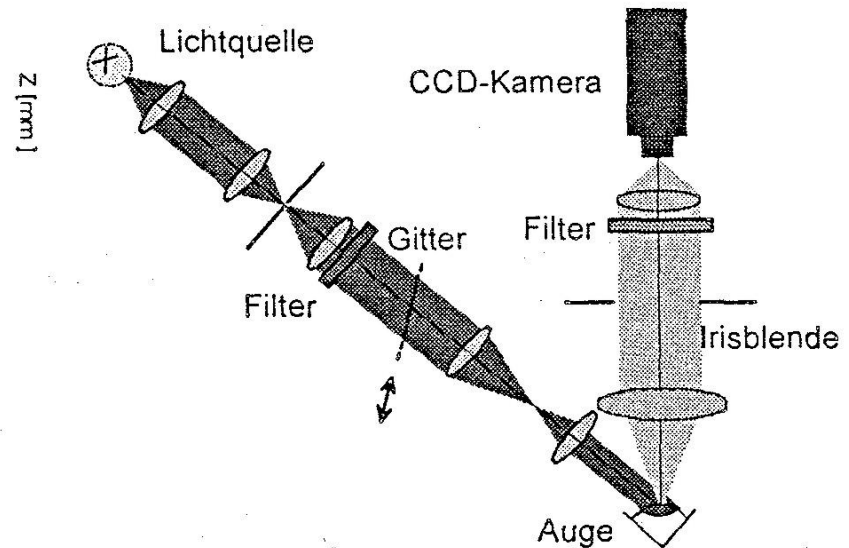
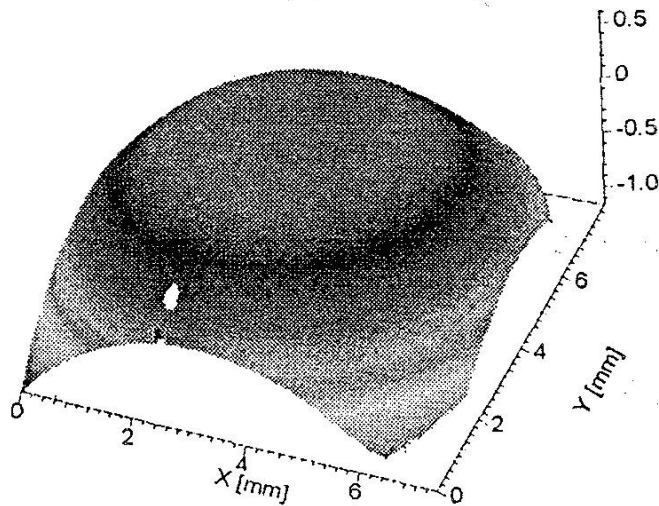
**Dos arreglos  
2D de puntos  
del mismo  
período  $p$ .**

# DETERMINACIÓN DE TOPOGRAFÍAS CORNEALES DE ASTRONAUTAS



J.P.L., Pasadena, 1.988.

# DETERMINACION CLINICA DE TOPOGRAFIAS CORNEALES I

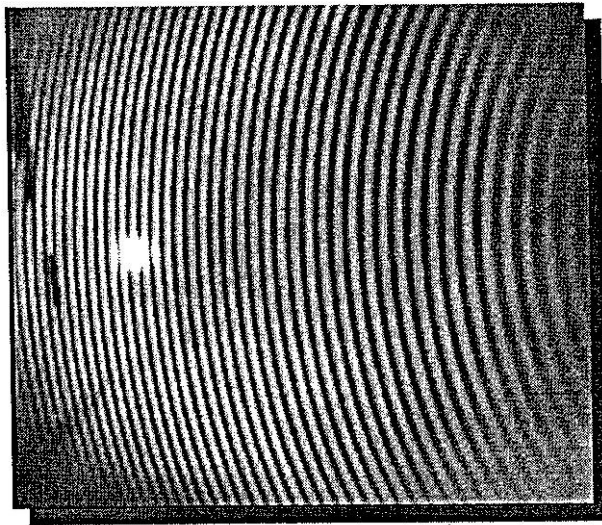


*Left: In vivo measured 3-D topography of the human cornea*

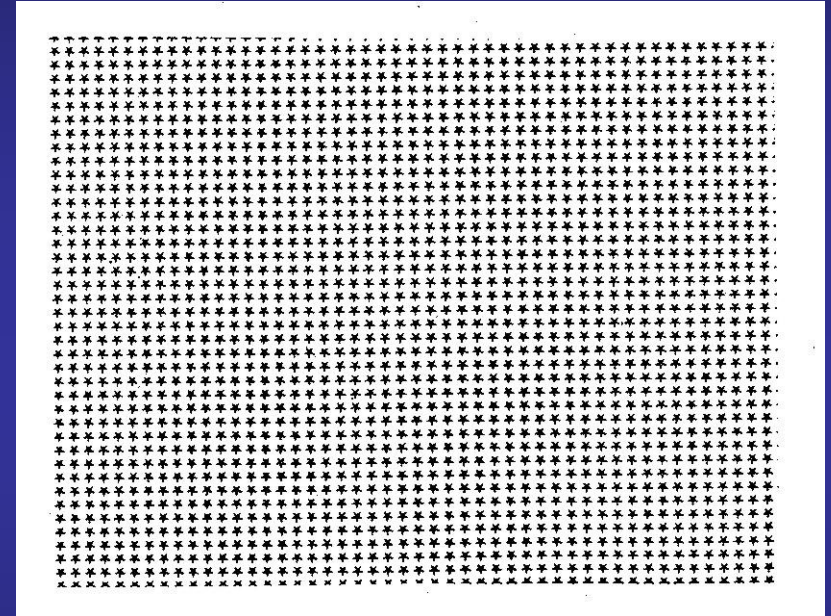
*Right: Schematic experimental setup using fringe projection technique*

# DETERMINACION CLINICA DE TOPOGRAFIAS CORNEALES II

May you have the right view for 1998



*Fringe pattern on the human corneae for 3-D metrology*

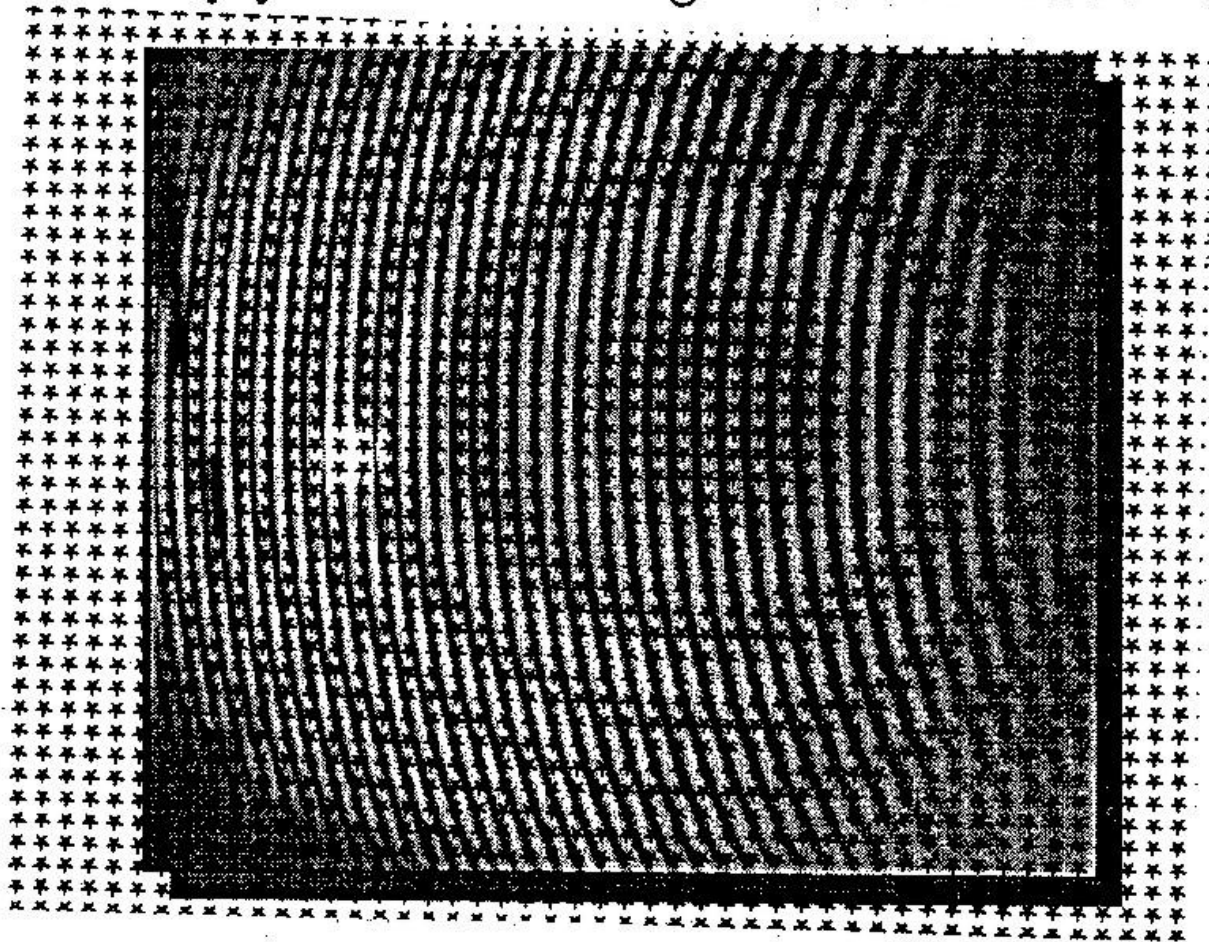


**Grillas bidimensional de puntos**

**Observación de las franjas proyectadas sobre la superficie de la córnea**

# DETERMINACION CLINICA DE TOPOGRAFIAS CORNEALES III

May you have the right view for 1998



*Fringe pattern on the human cornea for 3-D metrology*

# OJO DERECHO ANATOMICO

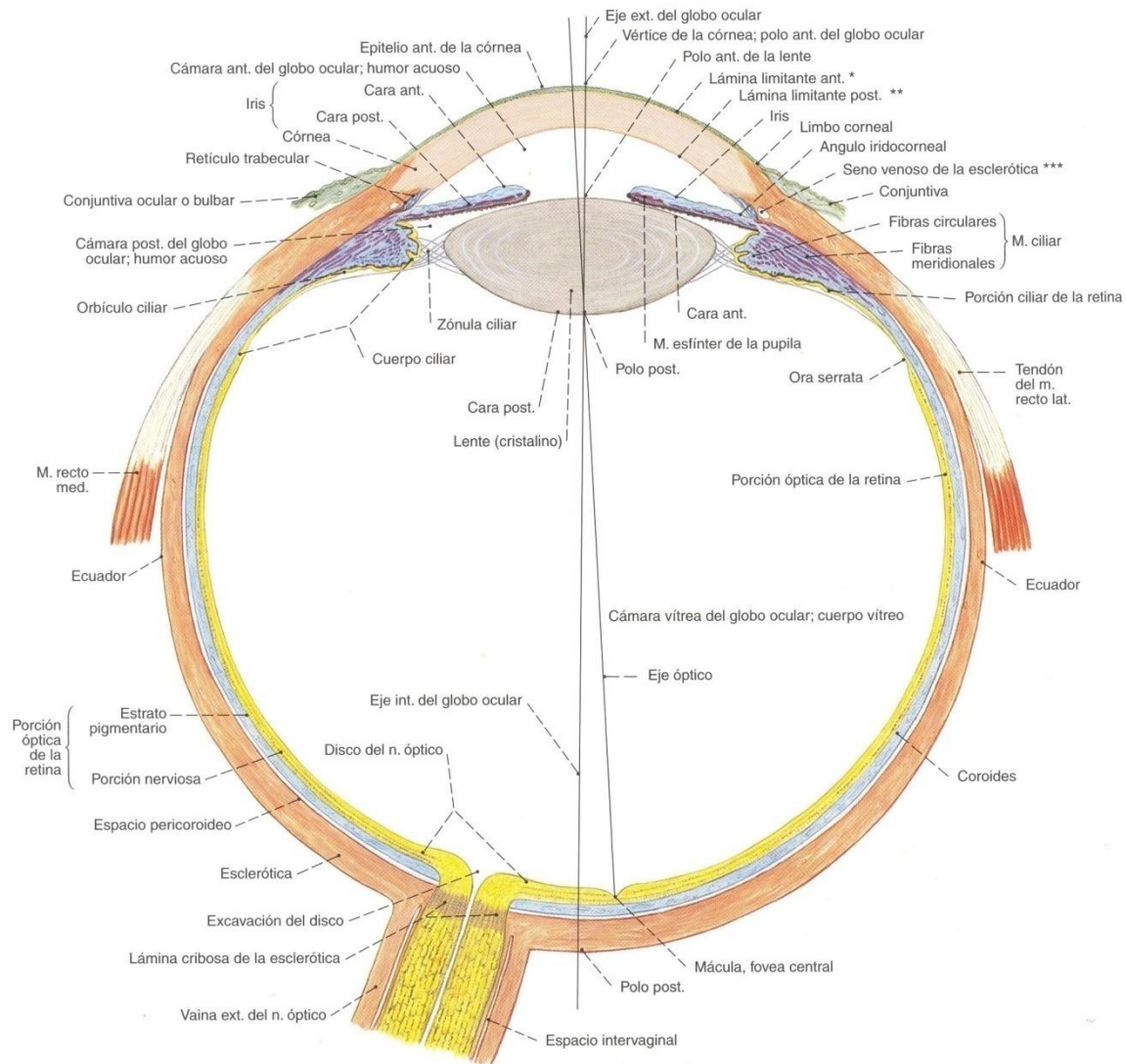
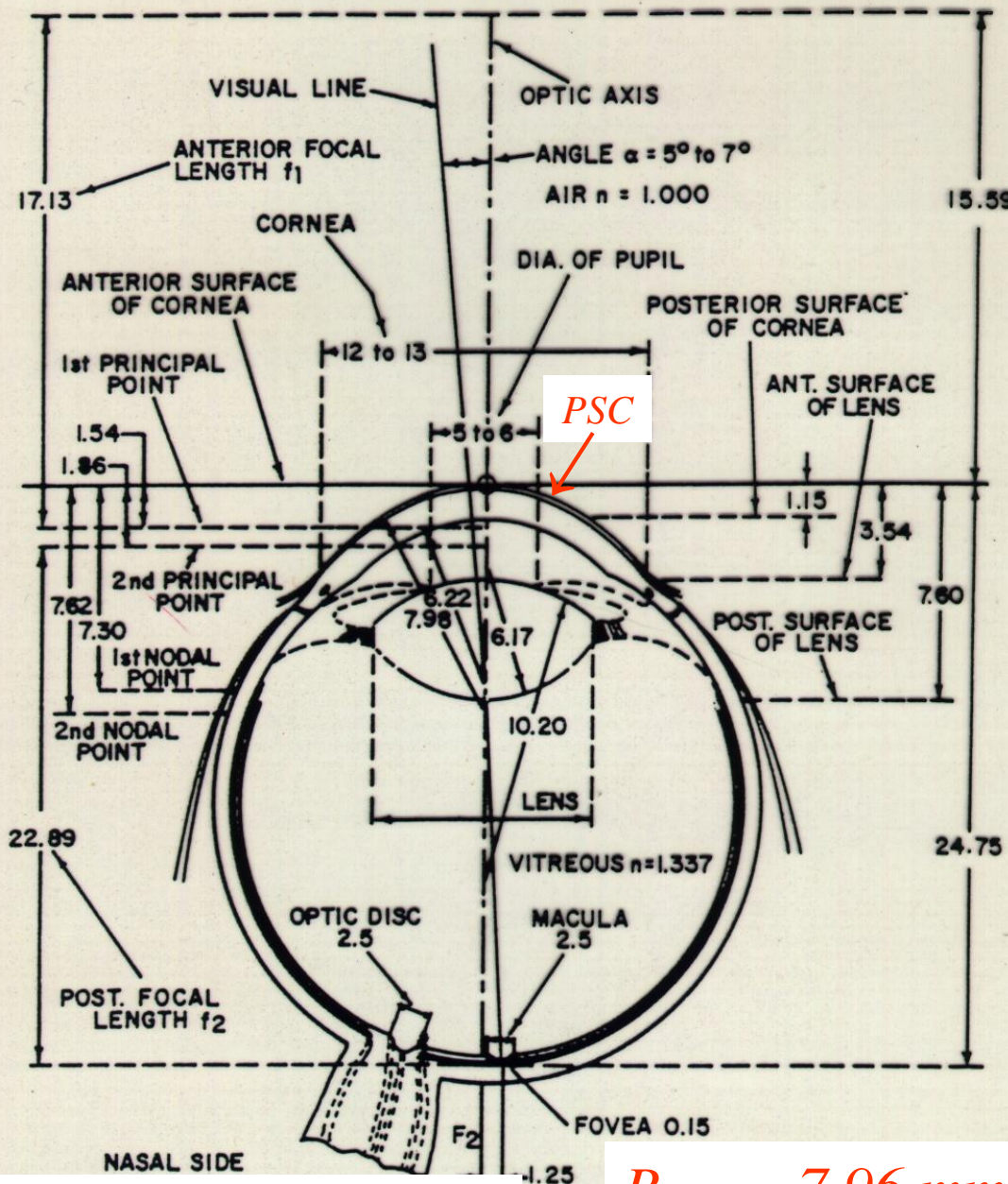


Fig. 633 Corte horizontal esquemático del globo ocular al nivel de la salida del nervio óptico.

\* Epónimo clínico: membrana de Bowman  
 \*\* Epónimo clínico: membrana de Descemet  
 \*\*\* Epónimo clínico: conducto de Schlemm



# Ojo Derecho Standard



$$n_{Aire} = 1,000$$

$$n_{Córnea} = 1,376$$

$$n_{H.A.} = 1,336$$

$$n_{C.Núcleo} = 1,406$$

$$n_{C.Polos} = 1,386$$

$$n_{C.Ecuador} = 1,375$$

$$n_{C.Cápsula} = 1,360$$

$$n_{H.V.} = 1,337$$

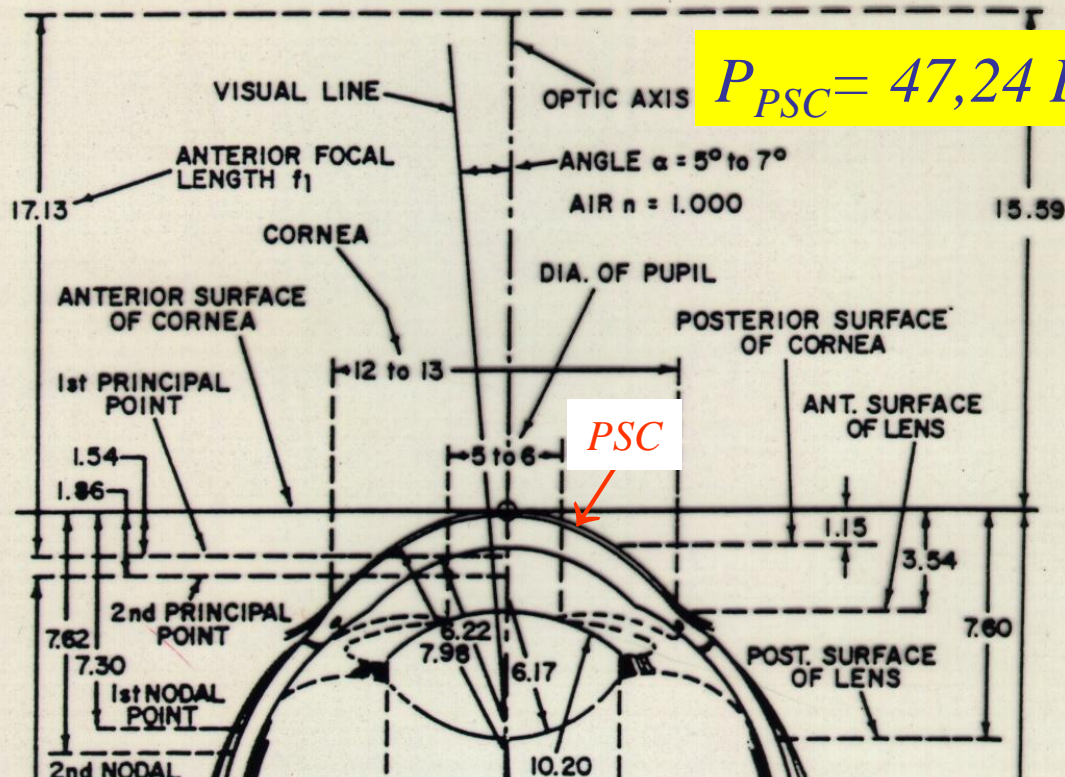
$$n_{agua} = 1,333$$

*PSC : Primera Superficie de la Cornea*

$$R_{PSC} = 7,96 \text{ mm}$$

Figure B-1. Optical Constants For A "Standard Right Eye." Adapted from "Optical Design," MIL-HDBK-141, US Defense Department, 5 October 1962.

# Ojo Derecho Standard



$$P_{PSC} = 47,24 D$$

PSC

$$\frac{1}{f_{PSC}} = P_{PSC} = (n_{Aire} - n_{Córnea}) \frac{1}{R_{PSC}} =$$

$$= (1,000 - 1,376) \frac{1}{-0,00796m} = 47,24D$$

$$n_{Aire} = 1,000$$

$$n_{Córnea} = 1,376$$

$$n_{H.A.} = 1,336$$

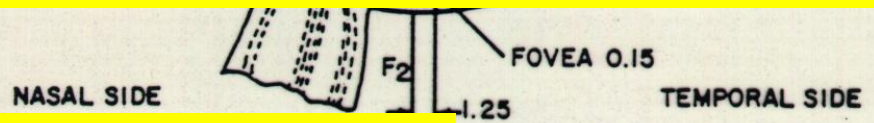
$$n_{C.Núcleo} = 1,406$$

$$n_{C.Polos} = 1,386$$

$$n_{C.Ecuador} = 1,375$$

$$n_{H.V.} = 1,337$$

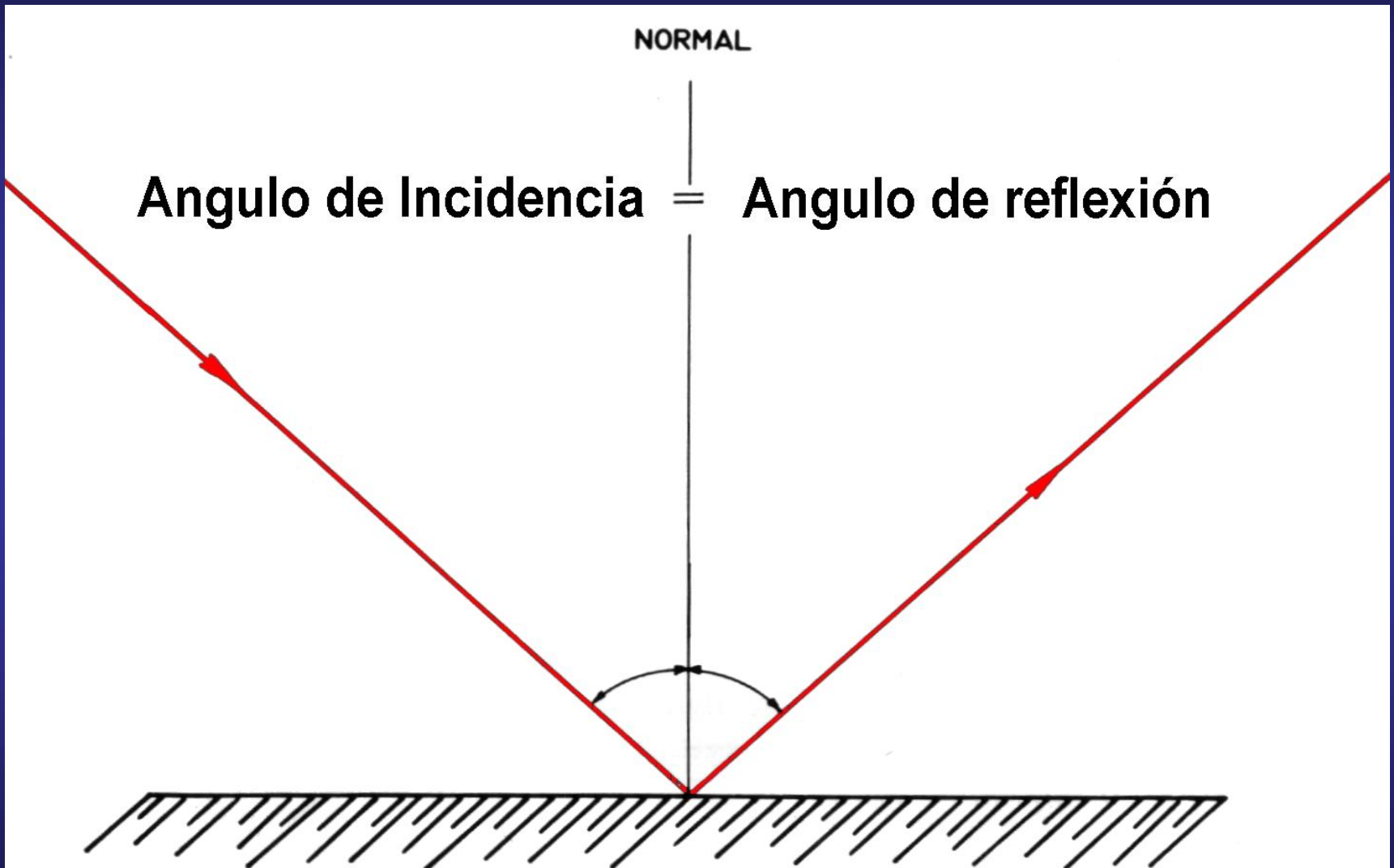
$$n_{agua} = 1,333$$



PSC : Primera Superficie de la Cornea

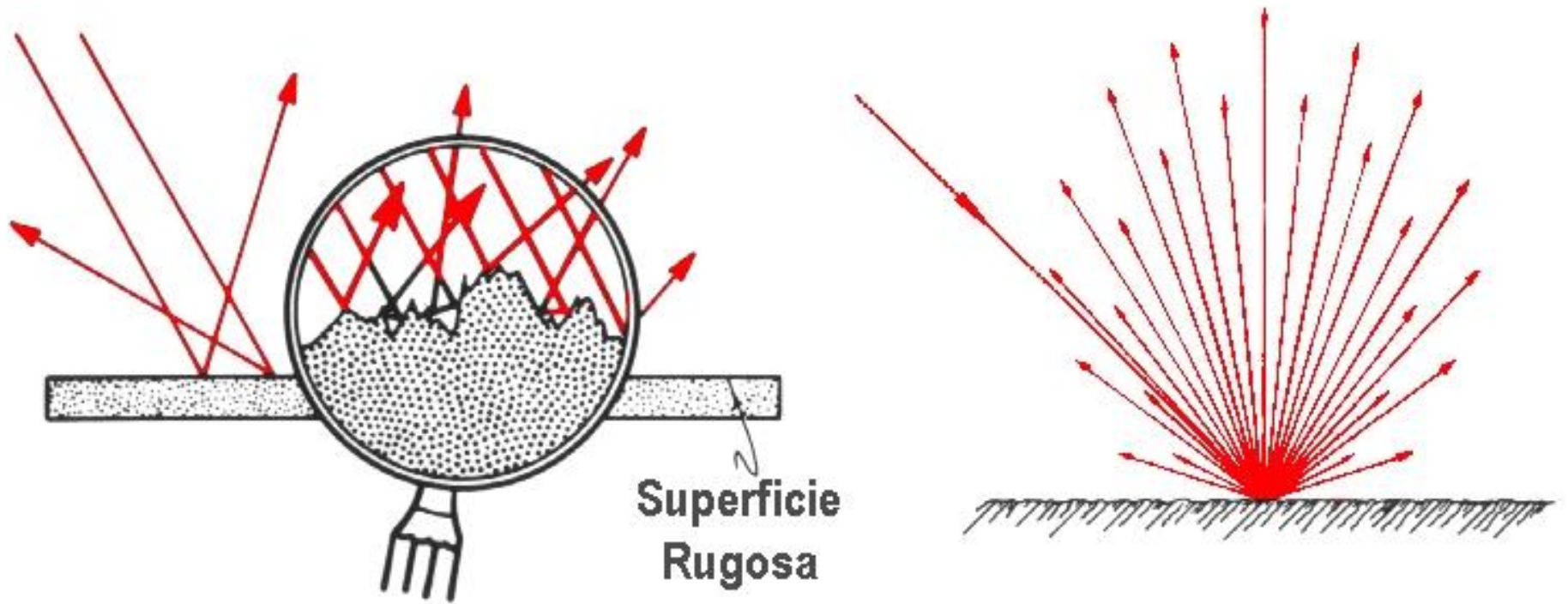
Figure B-1. Optical Constants For A "Standard Right Eye." Adapted from "Optical Design," MIL-HDBK-141, US Defense Department, 5 October 1962.

# REFLEXION DE LA LUZ I



Ley de la Reflexión Especular

# REFLEXION DE LA LUZ II



**Ley de la Reflexión Difusa o de Reflexión Especular Local**

# SUPERFICIES NATURALES DE ALTÍSIMA CALIDAD



Ruby Mica de alta calidad (Rugosidad media 0,073 nm). <sup>61</sup>

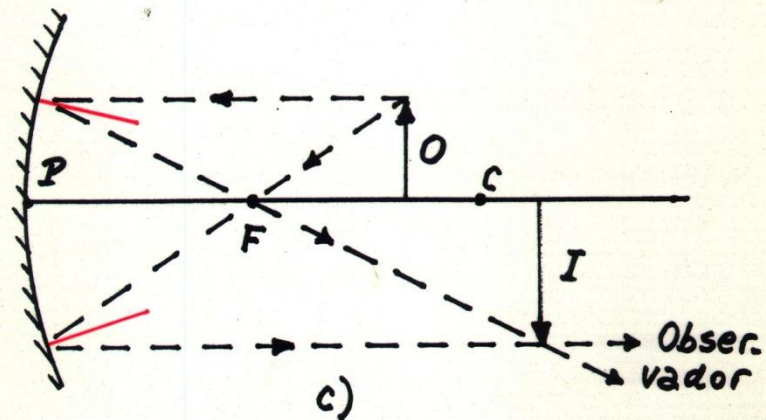
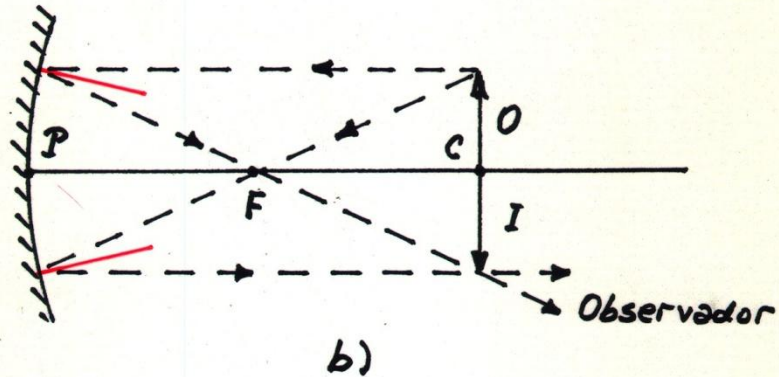
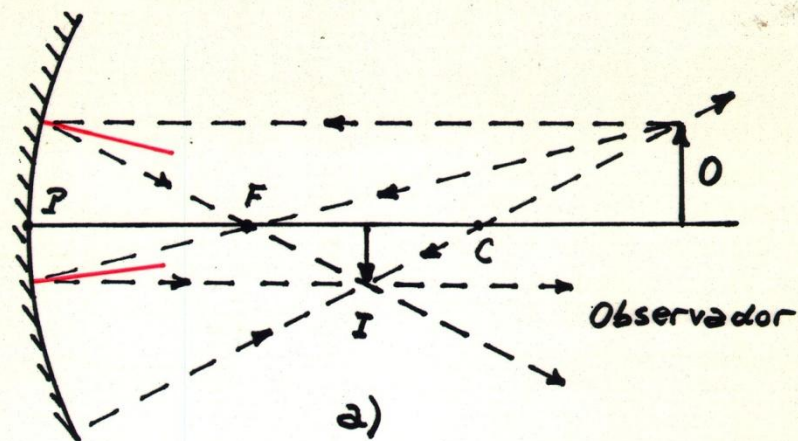


Figura 1

FORMACION DE  
IMAGENES POR  
UN ESPEJO  
CONCAVO.  
TODAS LAS  
IMAGENES  
SON REALES E  
INVERTIDAS.

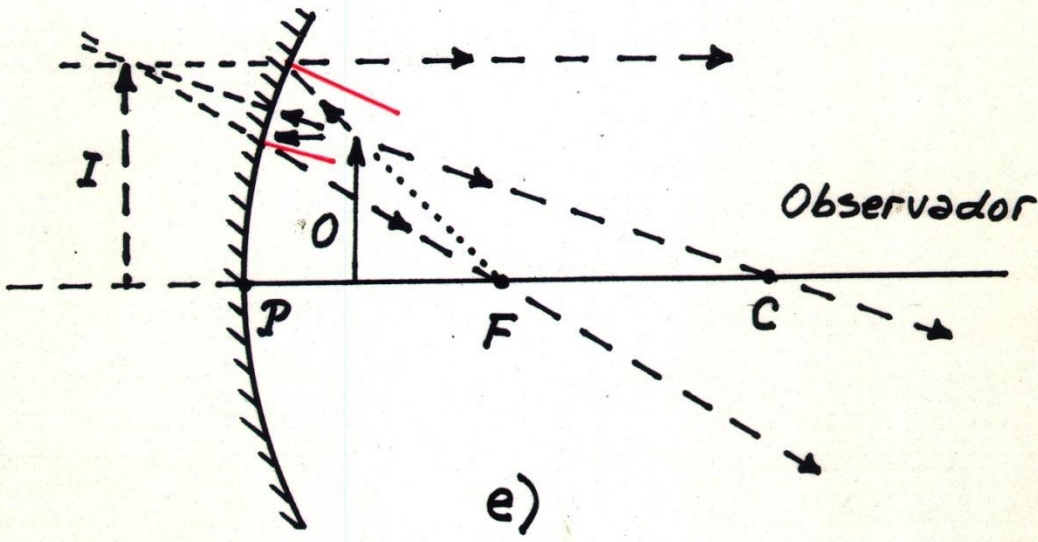
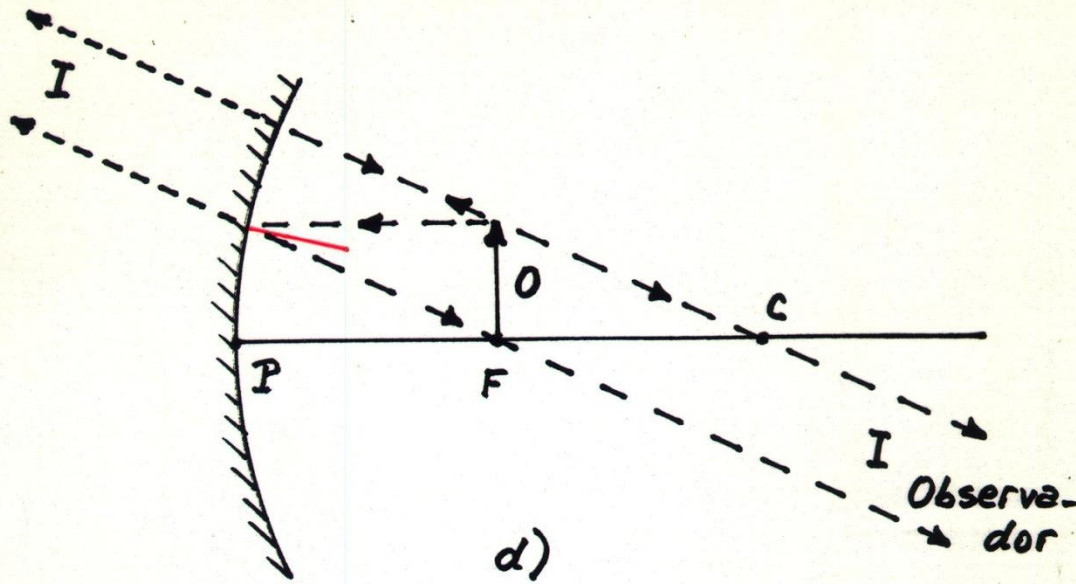
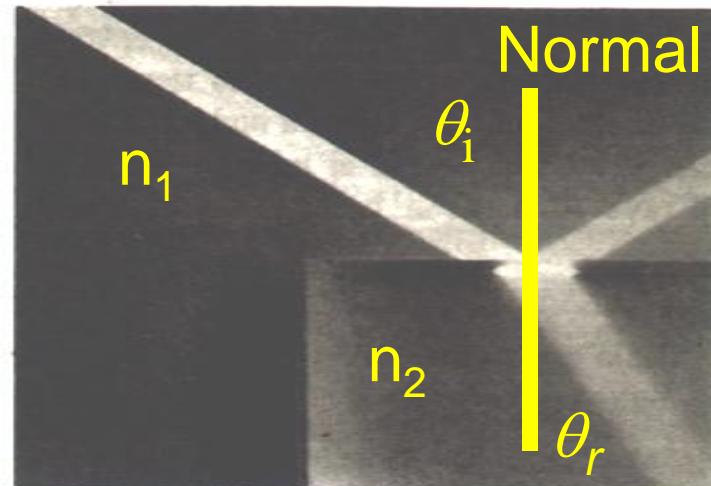
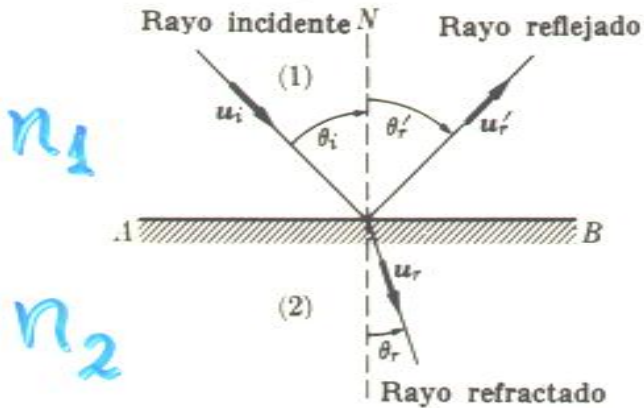


Figura 1

FORMACION DE  
 IMAGENES POR  
 UN ESPEJO  
 CONCAVO.  
 EN *d)* SE  
 SUPERPONE LA  
 IMAGEN REAL E  
 INVERTIDA CON  
 LA VIRTUAL Y  
 DERECHA. EN *e)*  
 LA IMAGEN ES  
 VIRTUAL Y  
 DERECHA.

# REFRACCION EN UNA INTERFAZ



(a)

(b)

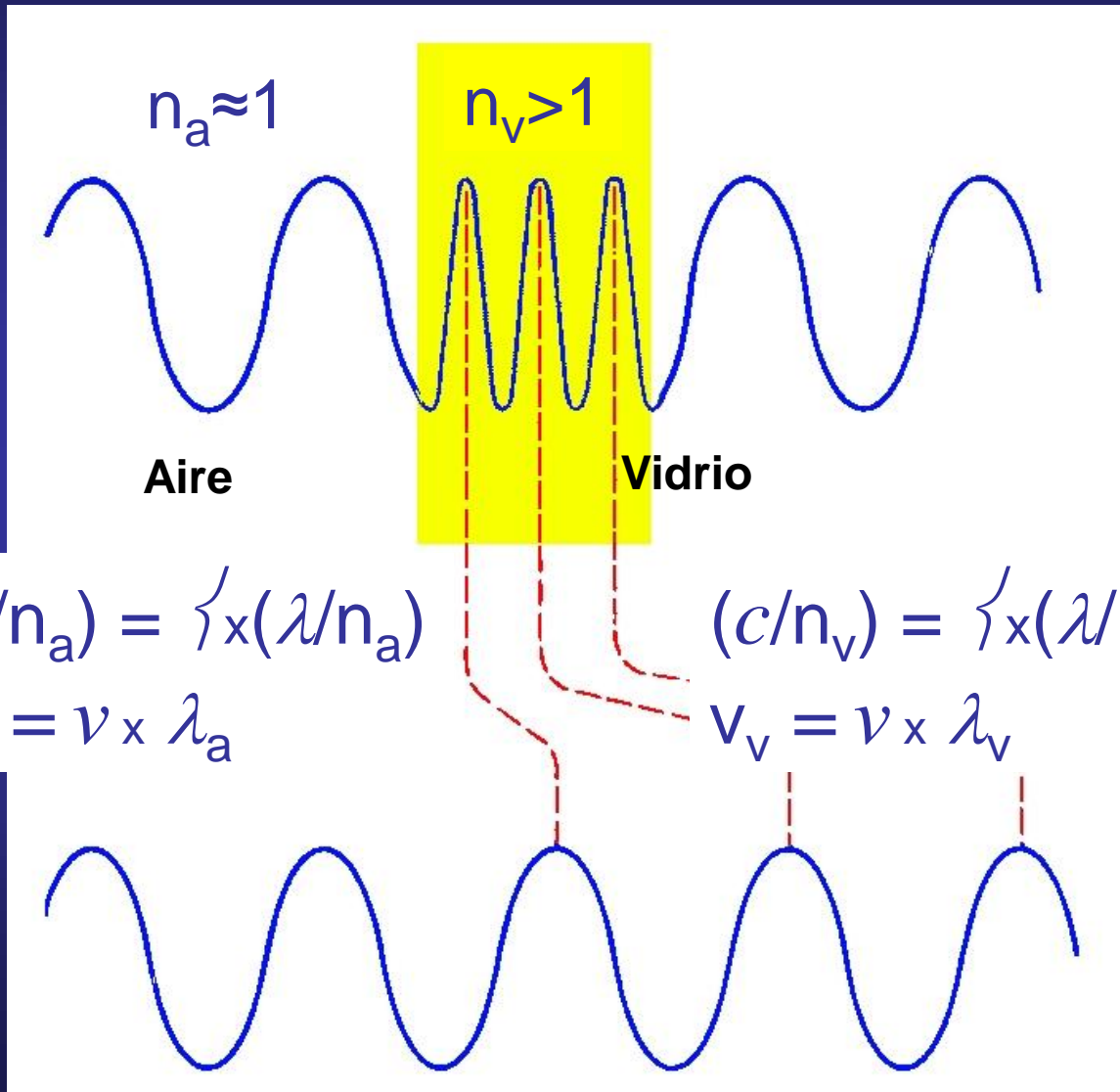
(a) Rayo incidente, reflejado y refractado. (b) Un haz de luz reflejado y refractado por un bloque de vidrio. (De: *Physics*, D.C. Heath, Boston, 1960.)

$$n_1 \text{ sen } \theta_i = n_2 \text{ sen } \theta_r$$

Ley de Snell



# PROPAGACIÓN EN MEDIOS MATERIALES

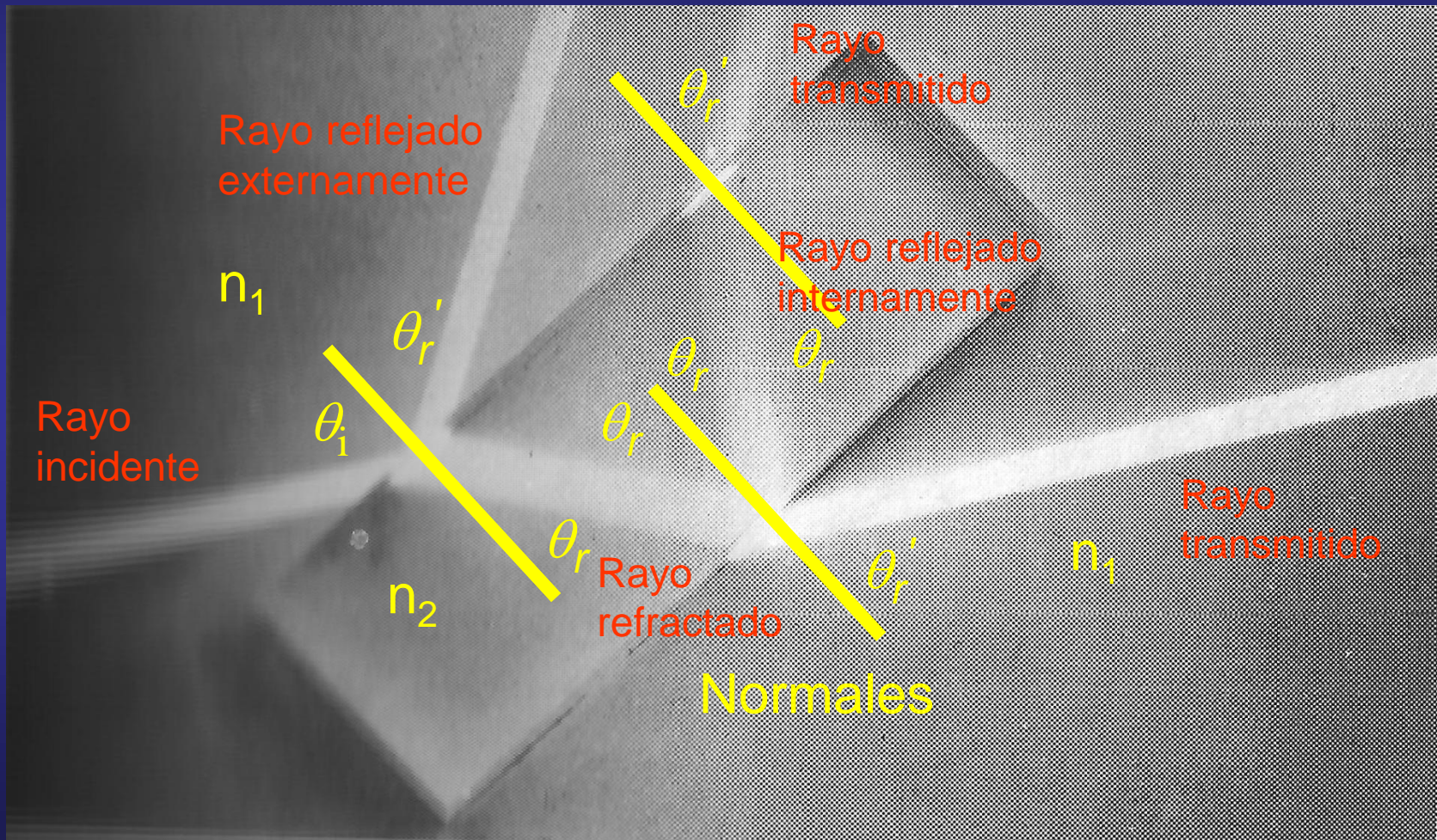


Velocidad de la luz en el vacío

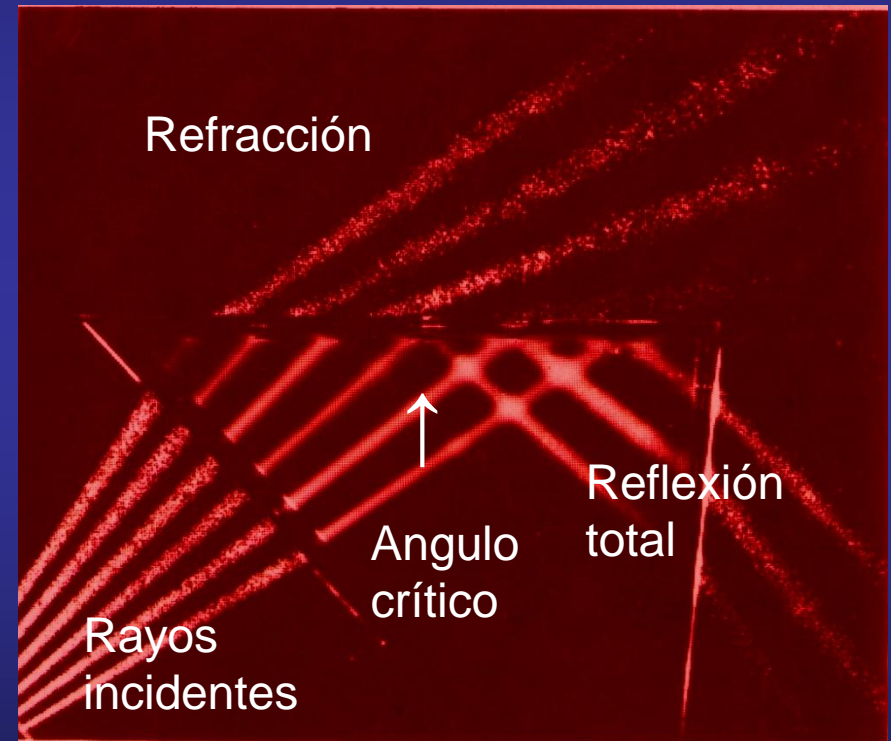
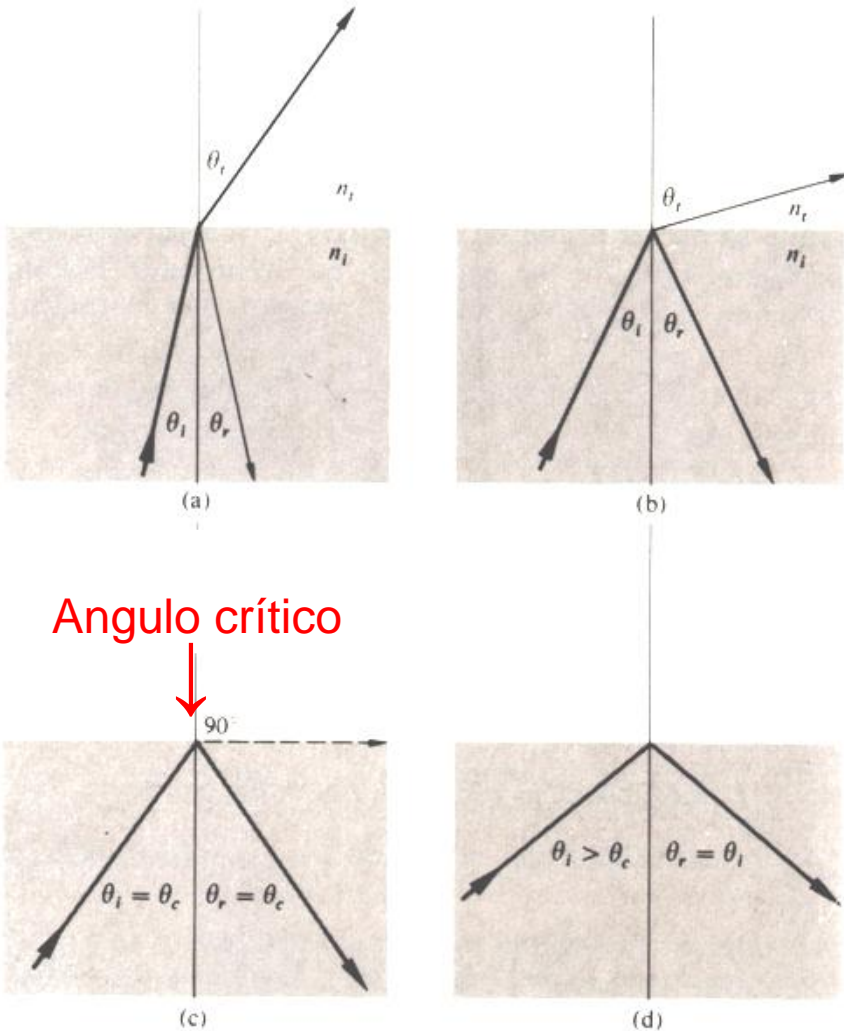
$$c = v \times \lambda$$

Cambio de longitud de onda  $\lambda$  al pasar por un medio con índice de refracción mayor.

# REFRACCION EN UNA PLACA DE CARAS PLANAS Y PARALELAS

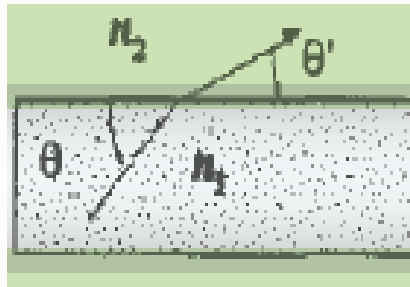


# REFRACCION Y REFLEXION TOTAL



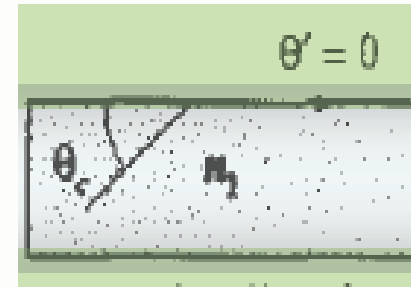
# REFLEXION TOTAL Y FIBRAS OPTICAS I

## Ángulo crítico

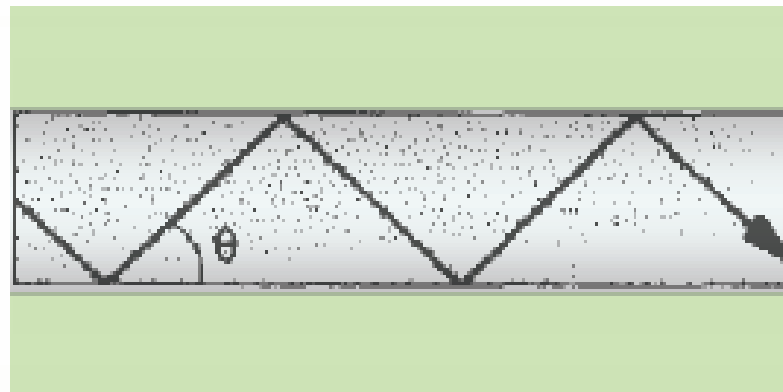


$$n_1 \cos \theta = n_2 \cos \theta' \quad (\text{Ley de Snell})$$

$$(n_2 < n_1)$$

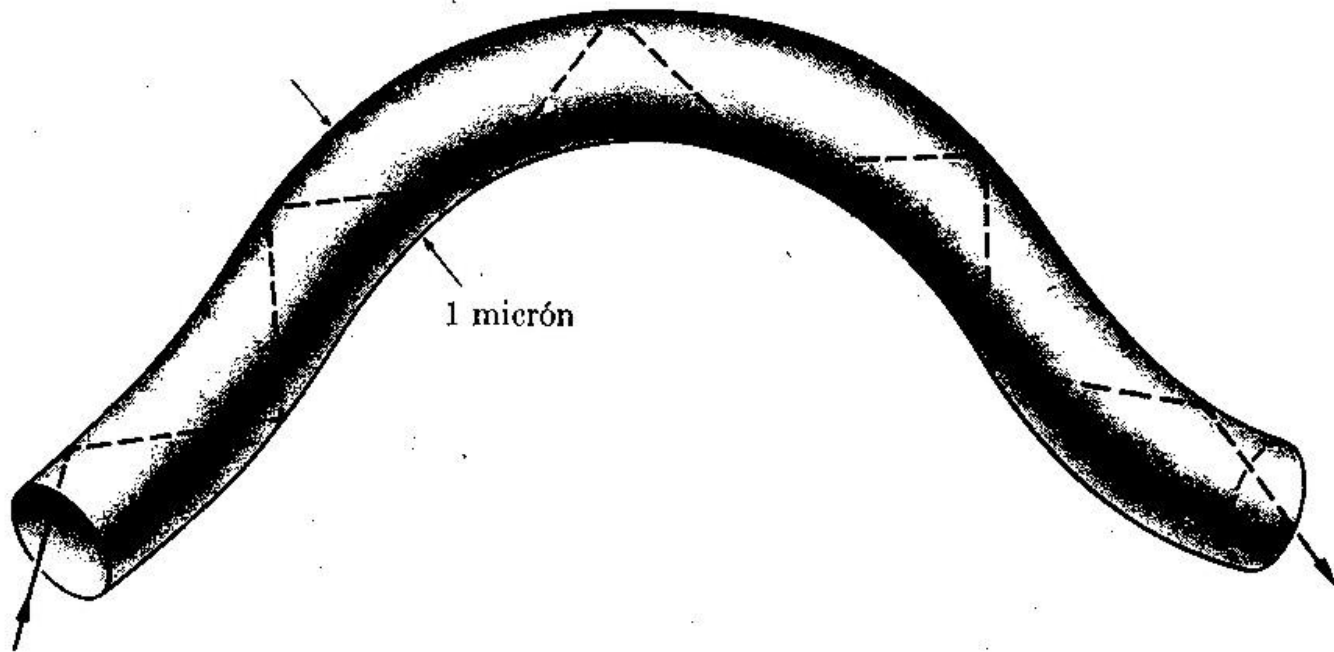


$$\cos \theta_c = n_2 / n_1 \quad (\text{ángulo crítico})$$



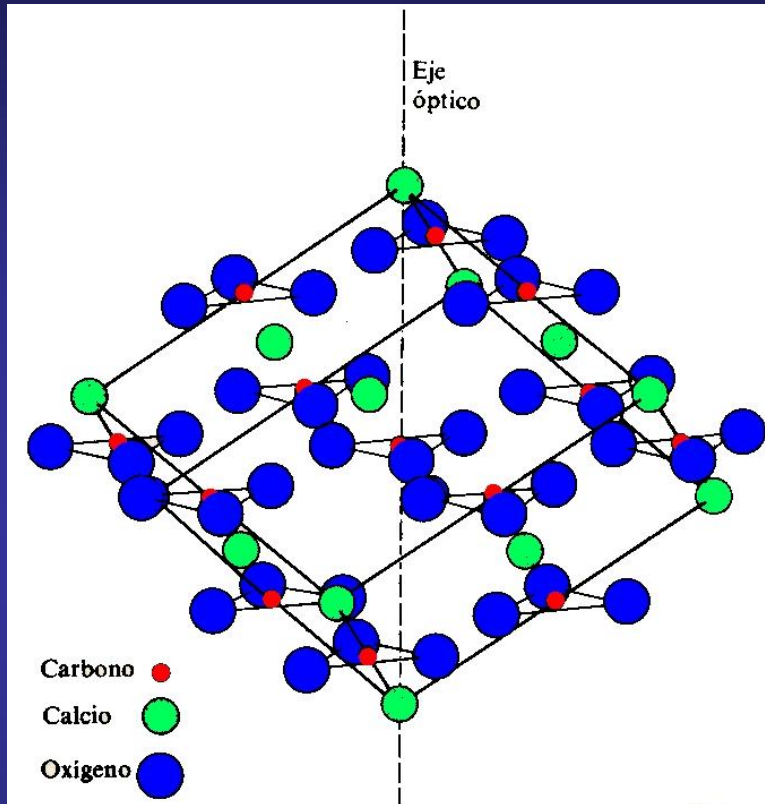
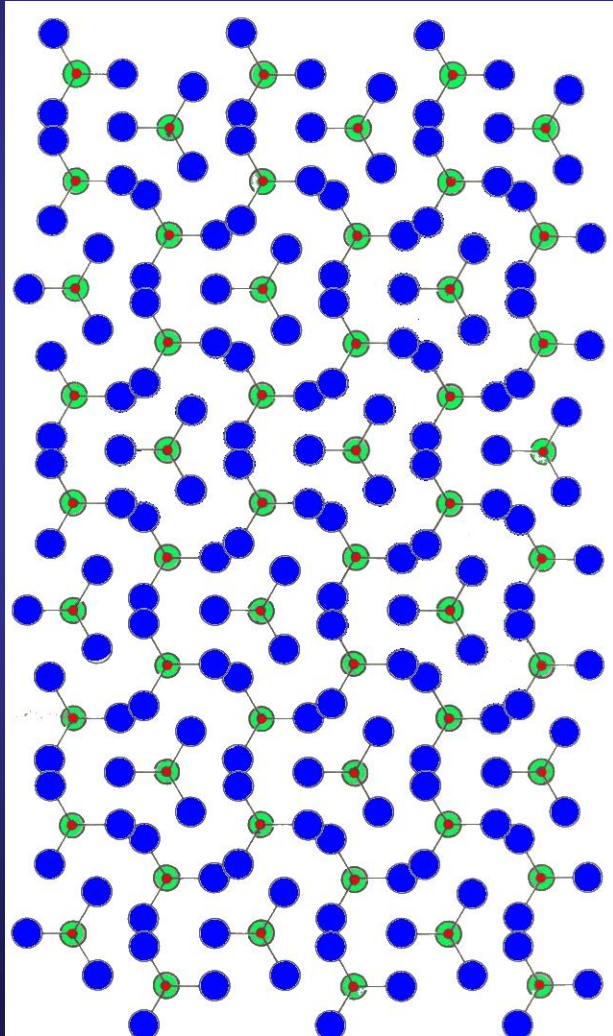
Si  $\theta < \theta_c$ , el rayo es totalmente reflejado

# REFLEXION TOTAL Y FIBRAS OPTICAS II

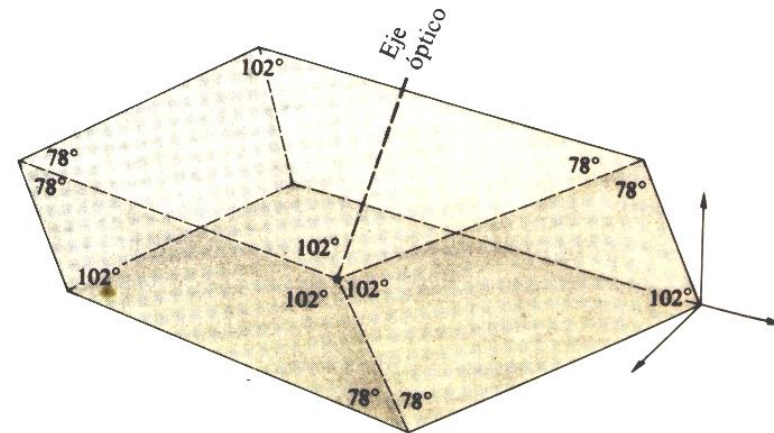


Las fibras ópticas actúan como guías de onda para la luz.

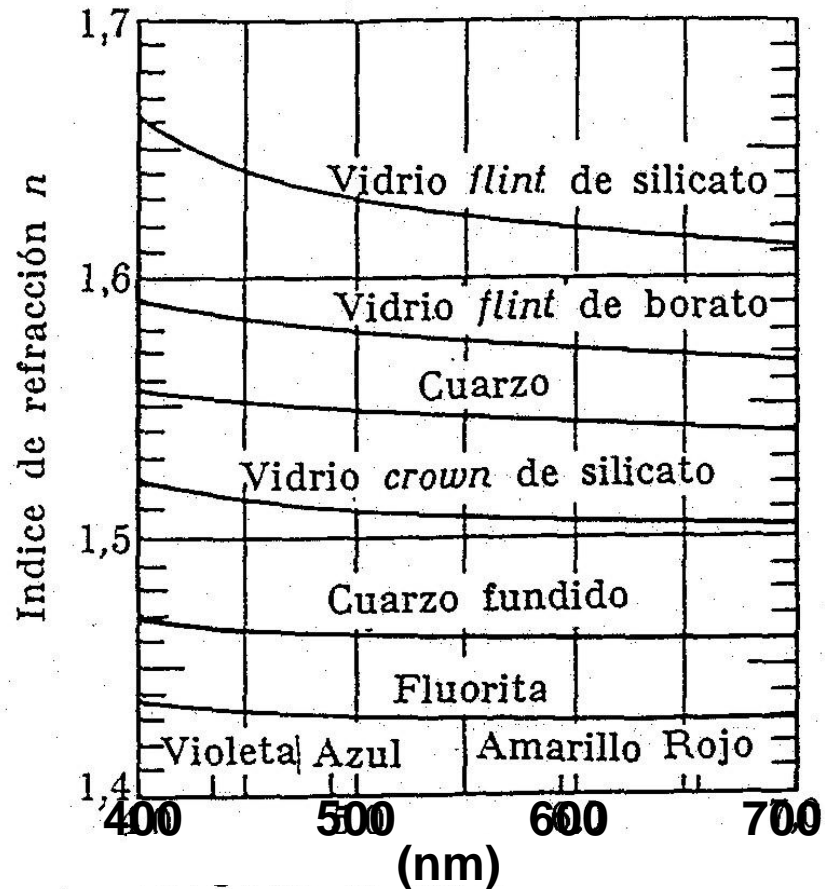
# POLARIZACIÓN Y BIRREFRINGENCIA



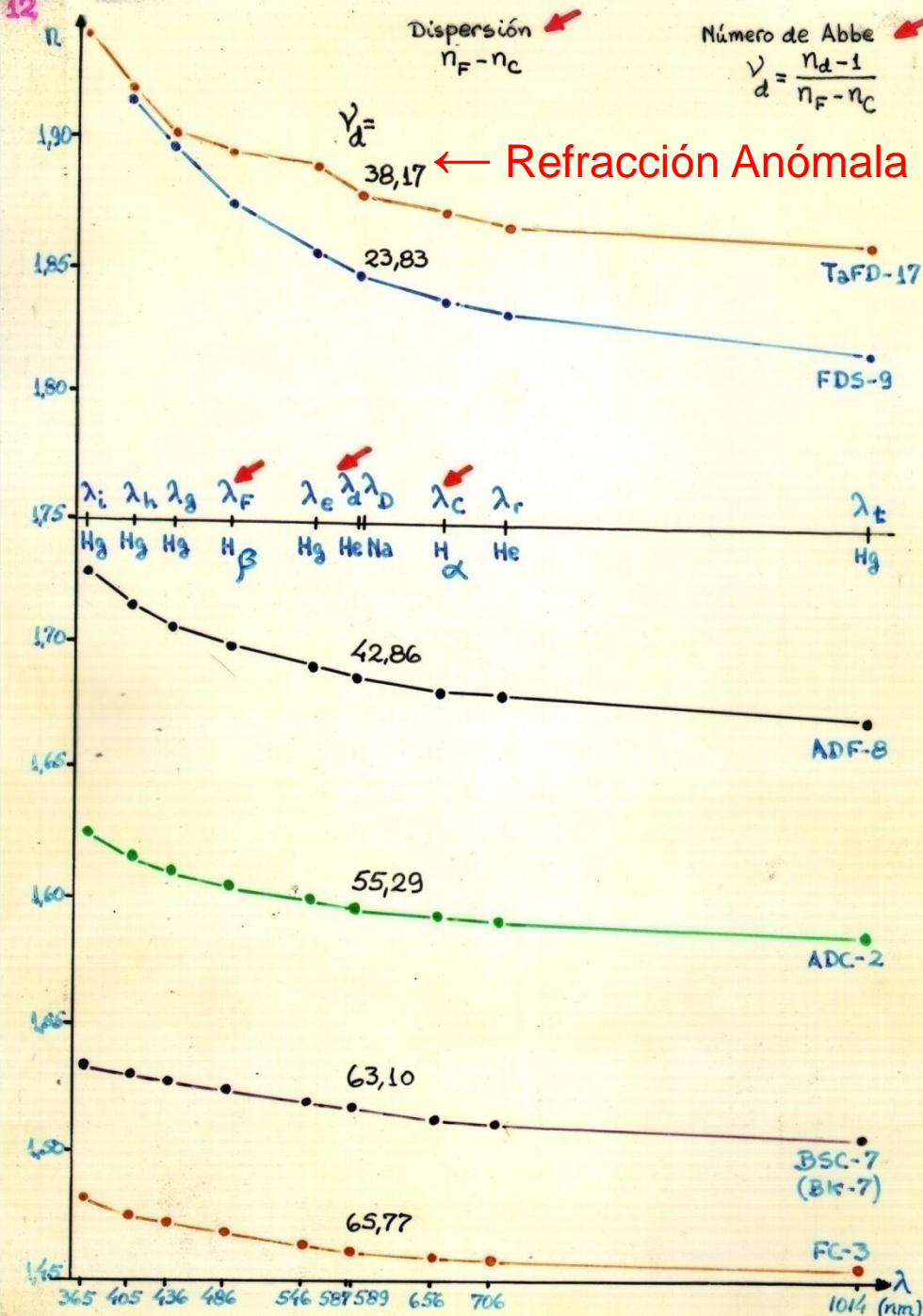
Calcita



# INDICE DE REFRACCION I



Variación del índice de refracción con la longitud de onda en la región visible, para algunos materiales.



# INDICE DE REFRACCION II

Indice de Refracción:  
 $n(\lambda)$

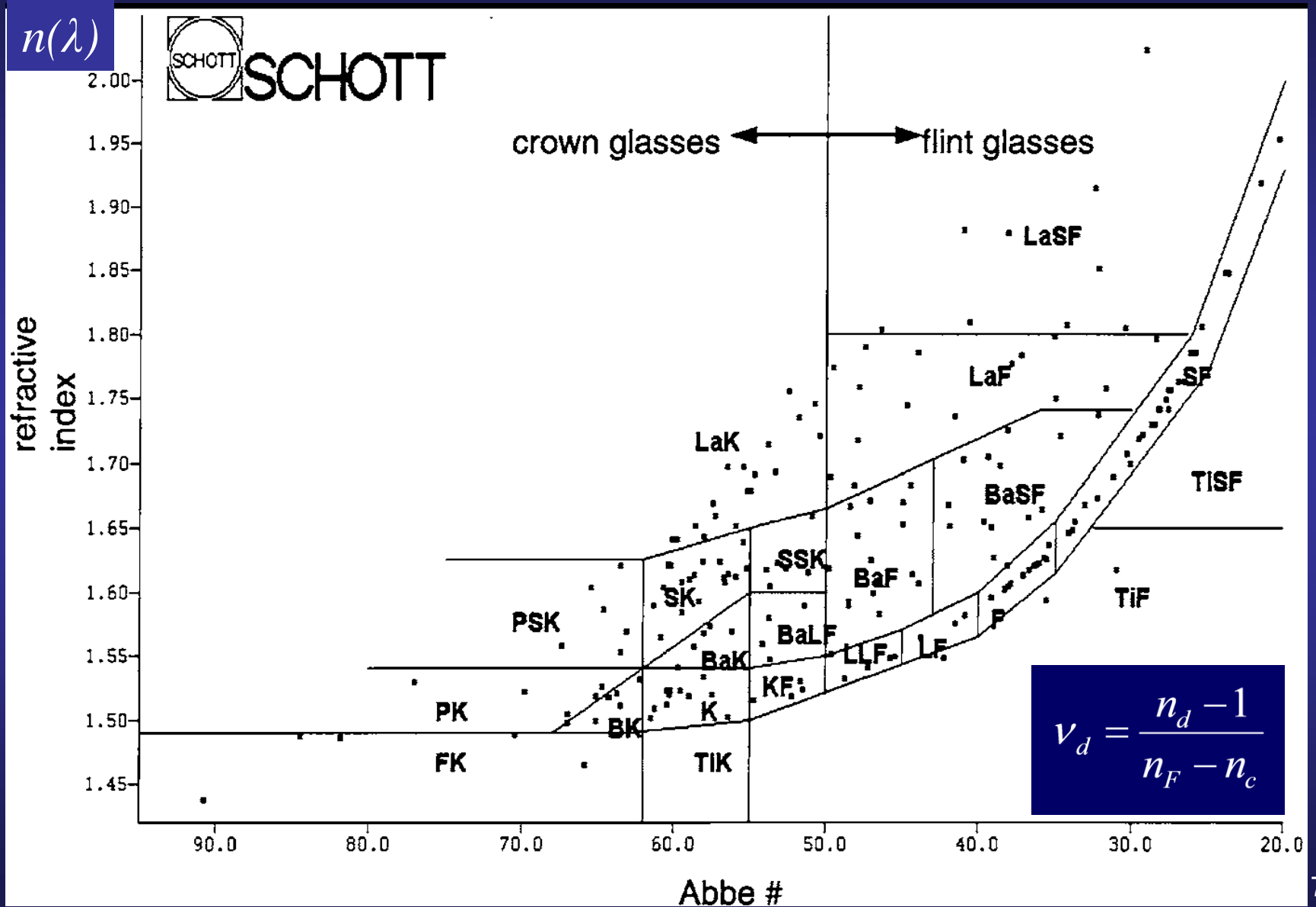
Dispersión:  
 $n_F - n_C$

y  
Número de Abbe:

$$V_d = \frac{n_d - 1}{n_F - n_C}$$



# INDICE DE REFRACCION III



# REFRACCION Y DISPERSION ESPECTRAL

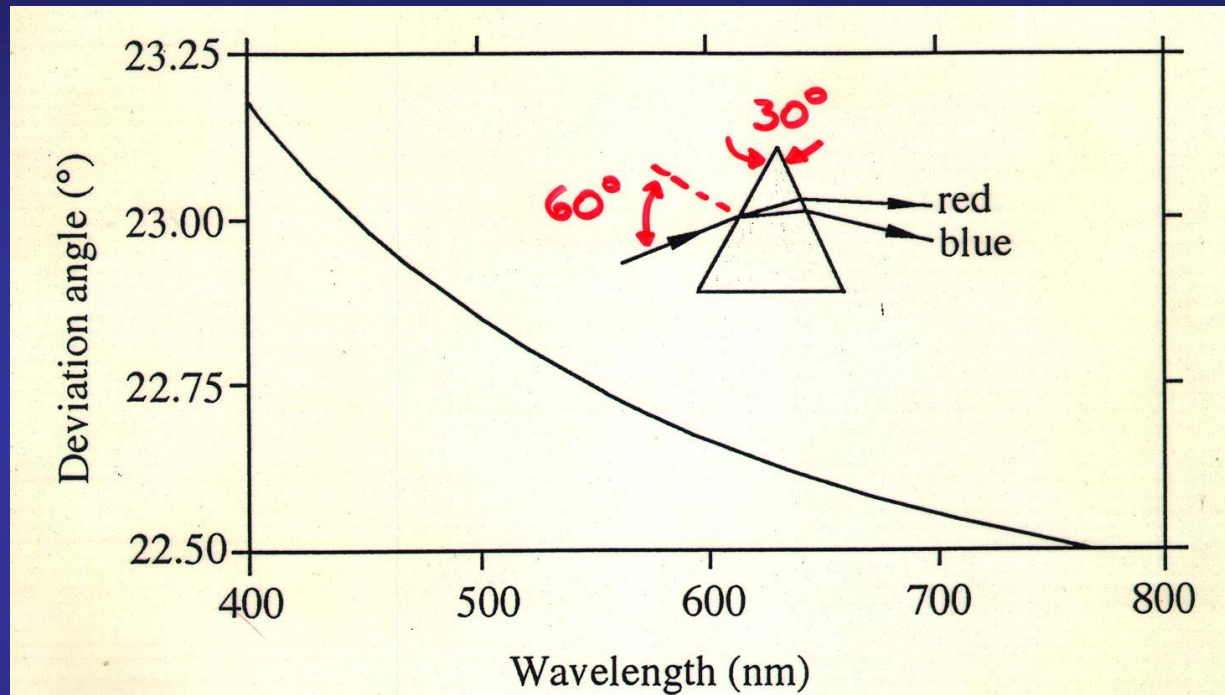


Fig. 8.5: Deviation angle  $\theta$  as a function of wavelength of a prism (dispersion) made with Schott BK7 glass. The apex angle is  $30^\circ$  and the angle of incidence is  $60^\circ$ .

# MEDIOS GRIN Y CRISTALINO I

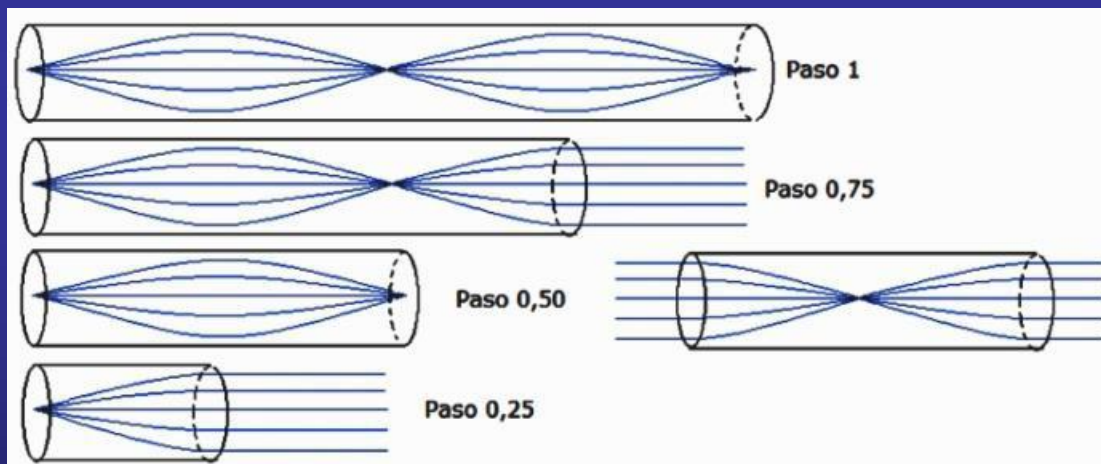
- $n_{\text{Aire}} = 1,000$
- $n_{\text{Córnea}} = 1,376$
- $n_{\text{H. Acuoso}} = 1,336$
- $n_{\text{C. Núcleo}} = 1,406$
- $n_{\text{C. Polos}} = 1,386$
- $n_{\text{C. Ecuador}} = 1,375$
- $n_{\text{C. Cápsula}} = 1,360$
- $n_{\text{H. Vítreo}} = 1,337$
- $n_{\text{Agua}} = 1,333$

Las determinaciones de la forma de la córnea y de los índices de refracción de los sucesivos medios del ojo propiciaron las propuestas de Lotmar (1971), de Drasdo y Fowler (1974), de Blaker (1980) y de Kooijmar (1980) de considerar al ojo como un sistema óptico **asférico**, mientras que en 1984 Rafael Navarro y sus colaboradores le agregaron su consideración de que sus medios son del tipo **GRIN**. GRIN significa “**G**radiente en el **I**ndice de refracción” (En castellano).

# MEDIOS GRIN Y CRISTALINO II

## Breve descripción de los Sistemas GRIN

Una lente de un material no homogéneo, que posee un GRadiente de INdice de refracción se conoce como lente GRIN. En un medio inhomogéneo de simetría cilíndrica el confinamiento de luz está relacionado con la variación del índice de refracción que ha de elegirse de tal modo que sea máximo en el centro y disminuya de forma suave y continua hacia su borde para que los rayos de luz describan trayectorias curvas, las que semejan las posiciones sucesivas de cuerdas vibrantes, pudiendo identificarse nodos y vientres.



*Esquemas de trayectorias de rayos a través de medios GRIN con perfil parabólico del índice de refracción para diferentes pasos.*



*Propagación de un rayo meridional a través de un medio GRIN.*

# MEDIOS GRIN Y CRISTALINO III

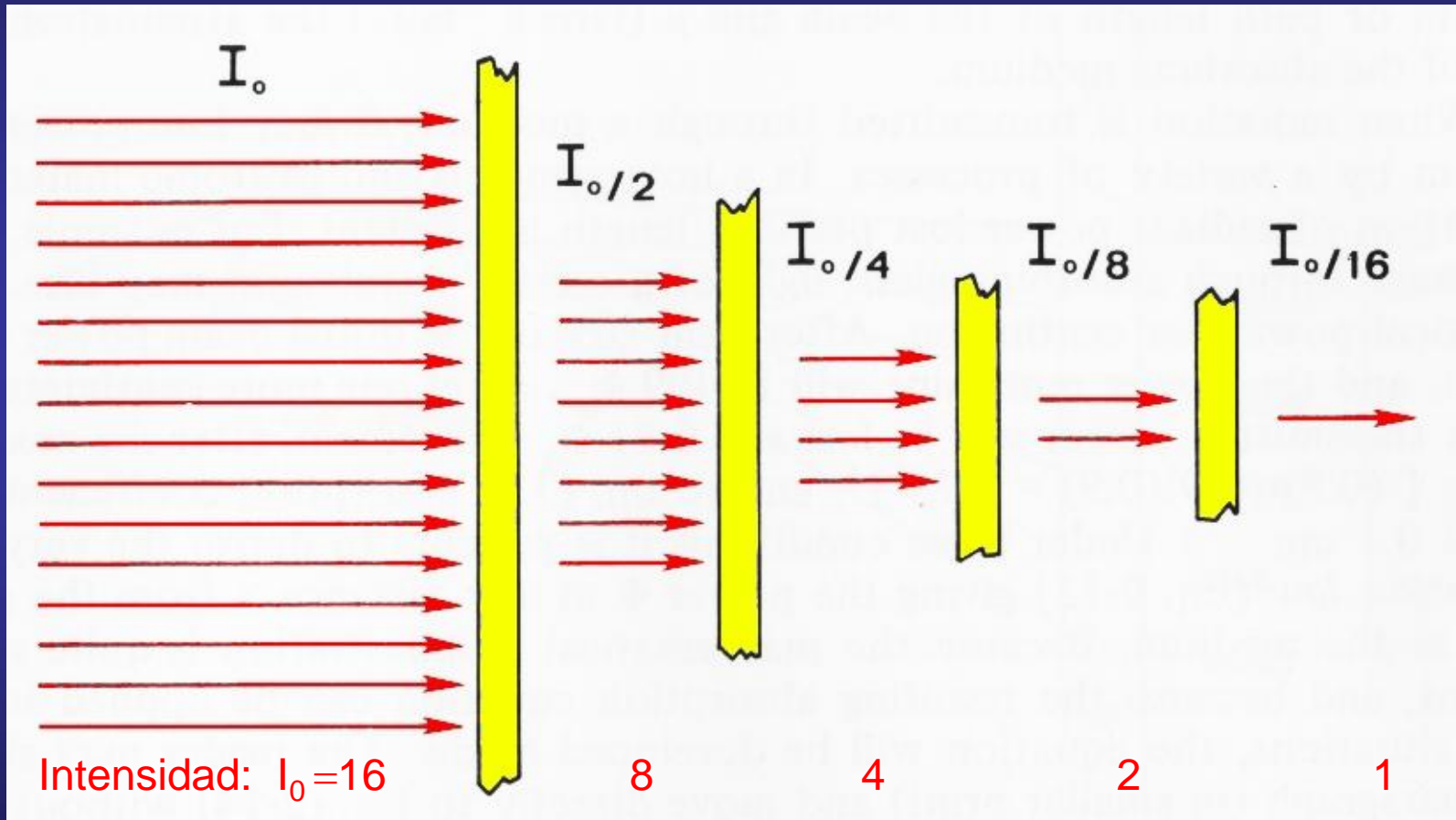


Figura 4

Tesina de la Lic. María Agustina Corti, 2013  
**Análisis de medios GRIN y su posible empleo en  
instrumentos médicos de observación**

*Estudio teórico y experimental de medios GRIN para caracterizarlos como componentes ópticos de “transferencia de imágenes” o “repetidor de imágenes”.*

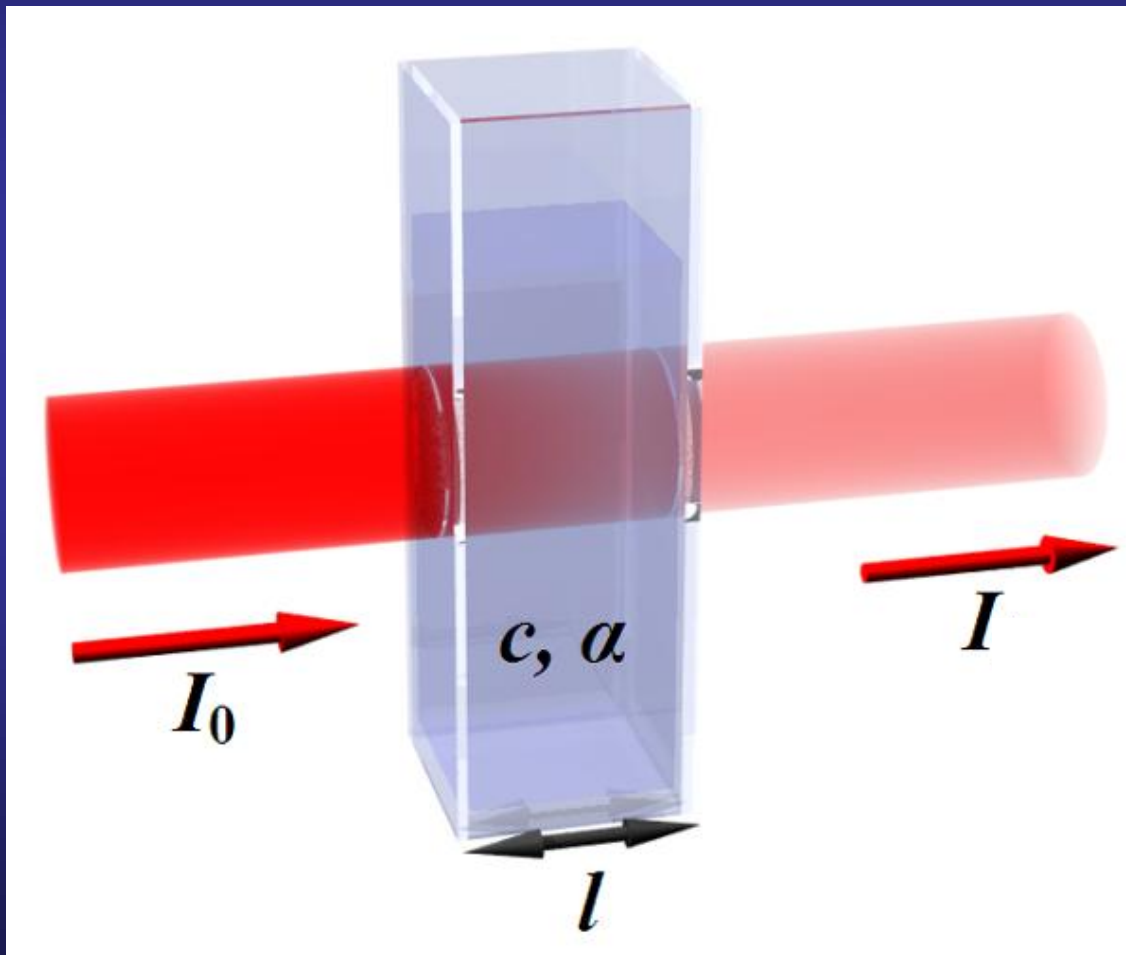
# ABSORCION DE LA LUZ: FILTROS NEUTROS Y DE COLORES



**Ley de Beer: Atenuación exponencial**

[Pierre Bouguer (1729), Johann Heinrich Lambert (1760), y August Beer (1852)]

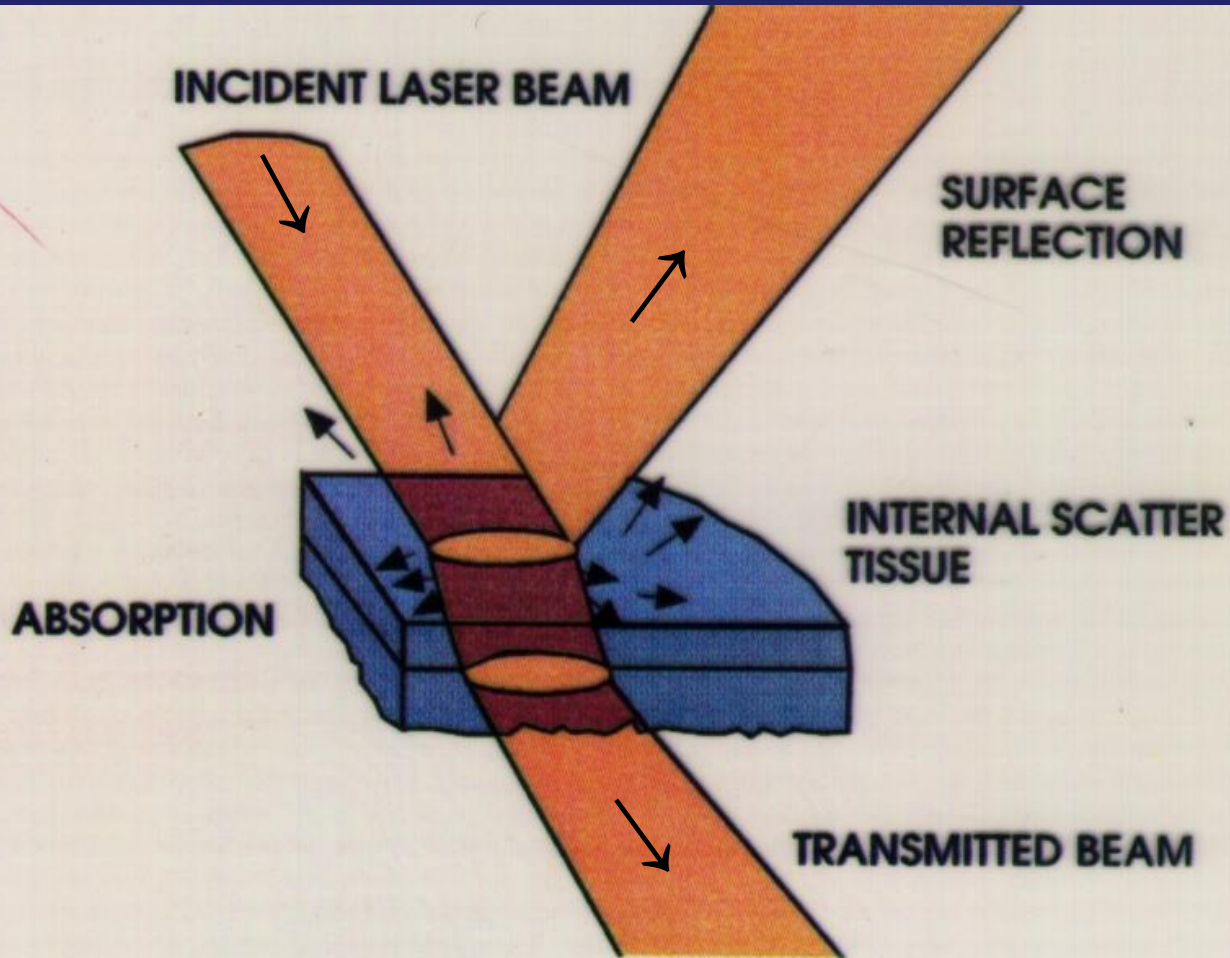
# ABSORCIÓN DE LA LUZ POR UNA SOLUCIÓN SEGÚN LA CONCENTRACIÓN $c$



$$T = \frac{I}{I_0} = 10^{-\alpha l} = 10^{-\epsilon l c}$$

$T$ : Transmisividad  
 $\alpha$ : Absortividad  
 $\epsilon$ : Absortividad molar o  
Coeficiente de  
extinción  
 $c$ : Concentración  
molar

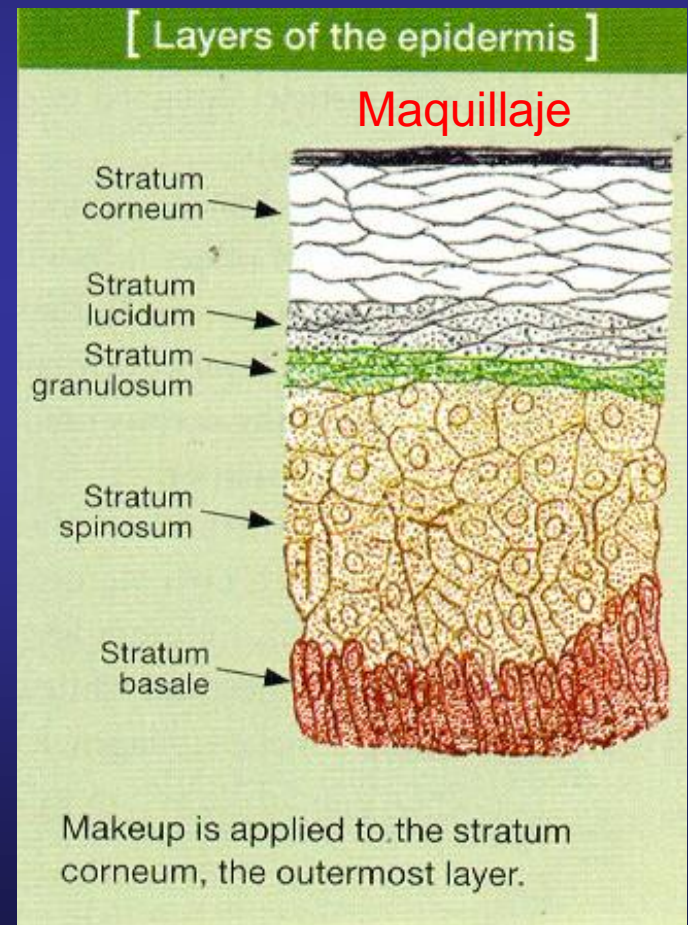
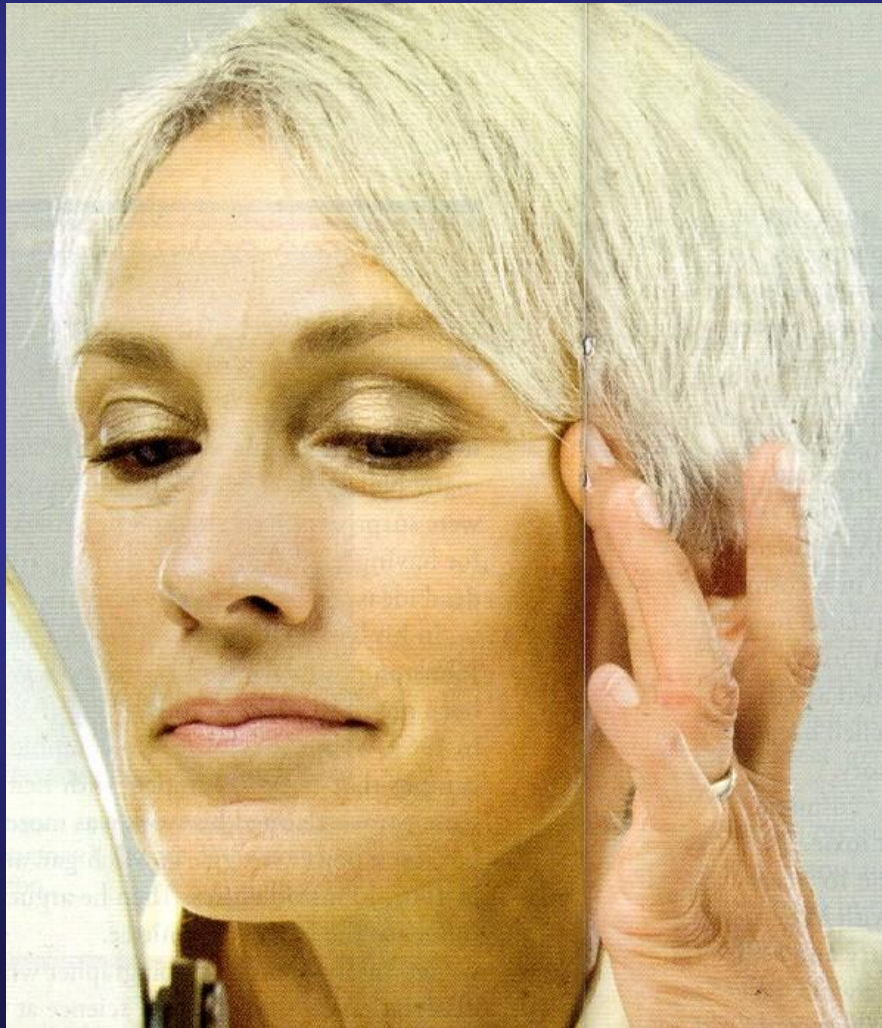
# REFLEXION, REFRACCION Y TRANSMISION EN LOS TEJIDOS



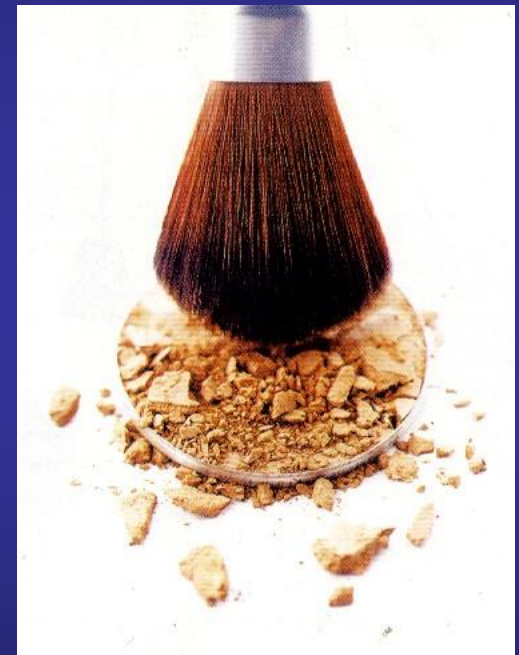
*The primary interactions of laser light with tissue.*



# REFLEXION, REFRACCION Y TRANSMISION: COSMÉTICA I

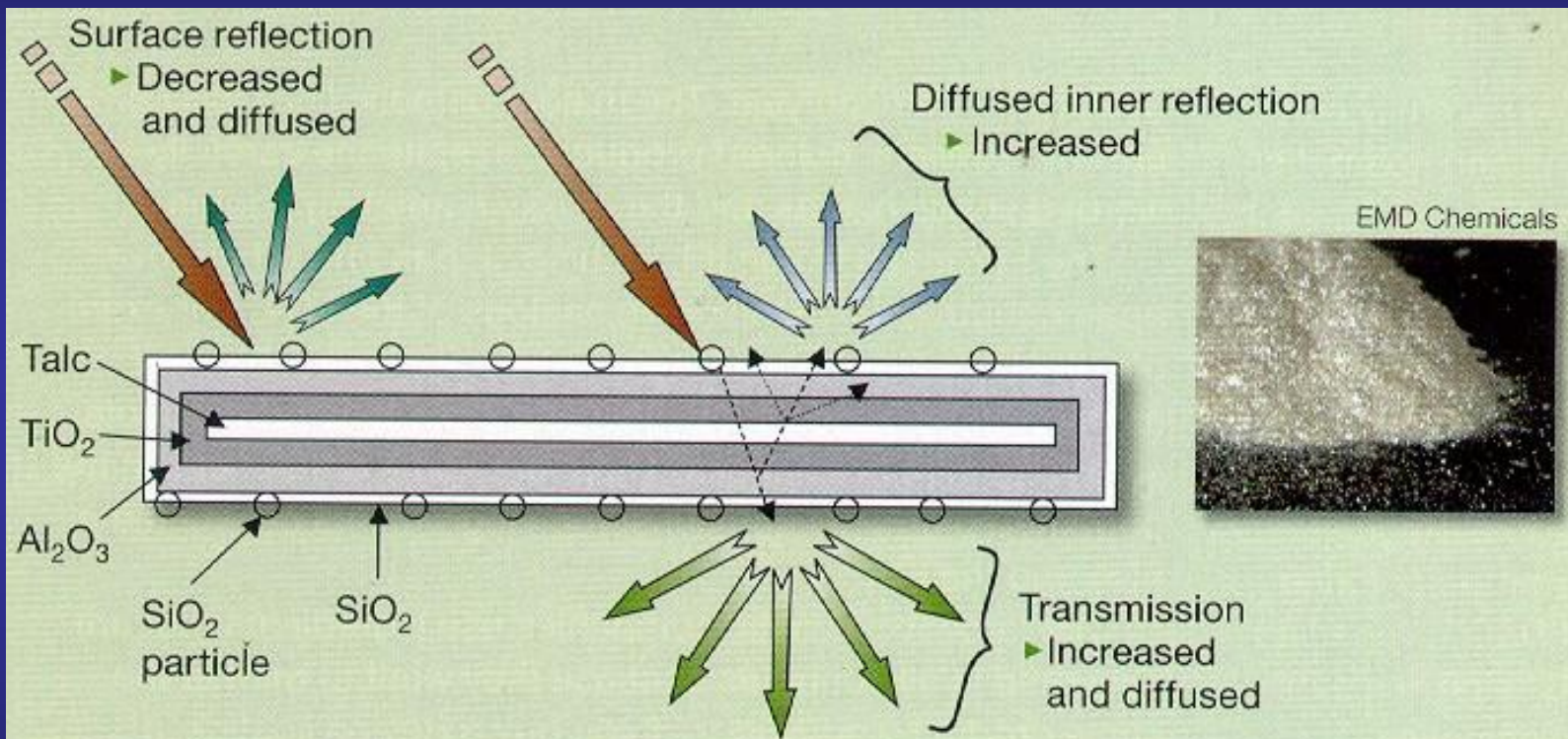


# REFLEXION, REFRACCION Y TRANSMISION: COSMÉTICA II



Parecen pigmentos, pero ...

# REFLEXION, REFRACCION Y TRANSMISION: COSMÉTICA III

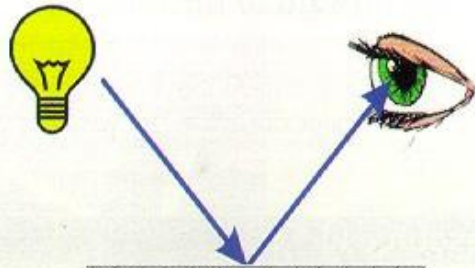


Cosmetics made of multilayered particles reflect and transmit diffuse light to conceal wrinkles or impart different colors to observers at different viewing angles. (Inset) Cosmetic-grade pigment of TiO<sub>2</sub>-coated mica particles.

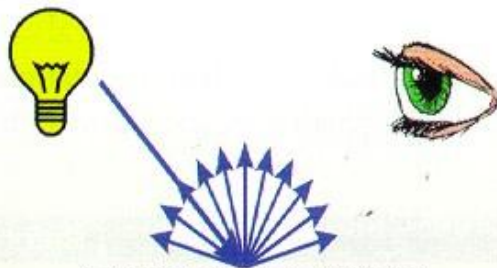
Nick Morante Cosmetic Consultants

... pero son estructuras complejas

# REFLEXION, REFRACCION Y TRANSMISION: COSMÉTICA IV



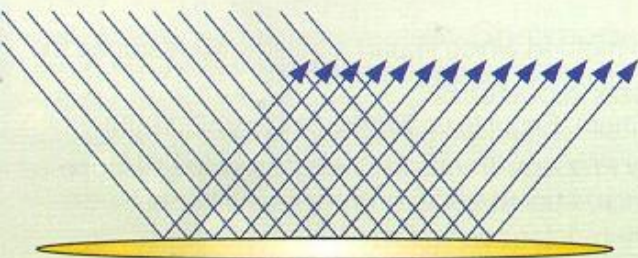
Ideal mirror: 100% directional reflection



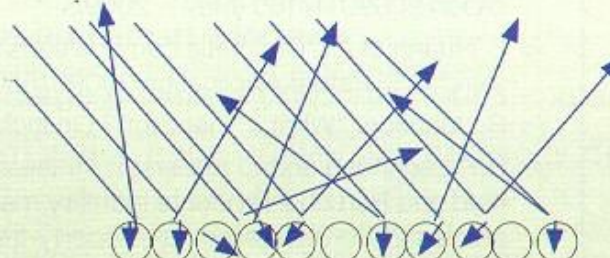
Ideal matte surface: 100% scattering



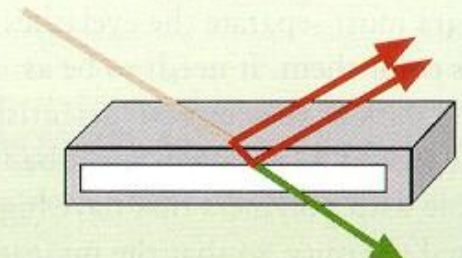
Directional reflection and scattering



Metallic gloss effect pigments



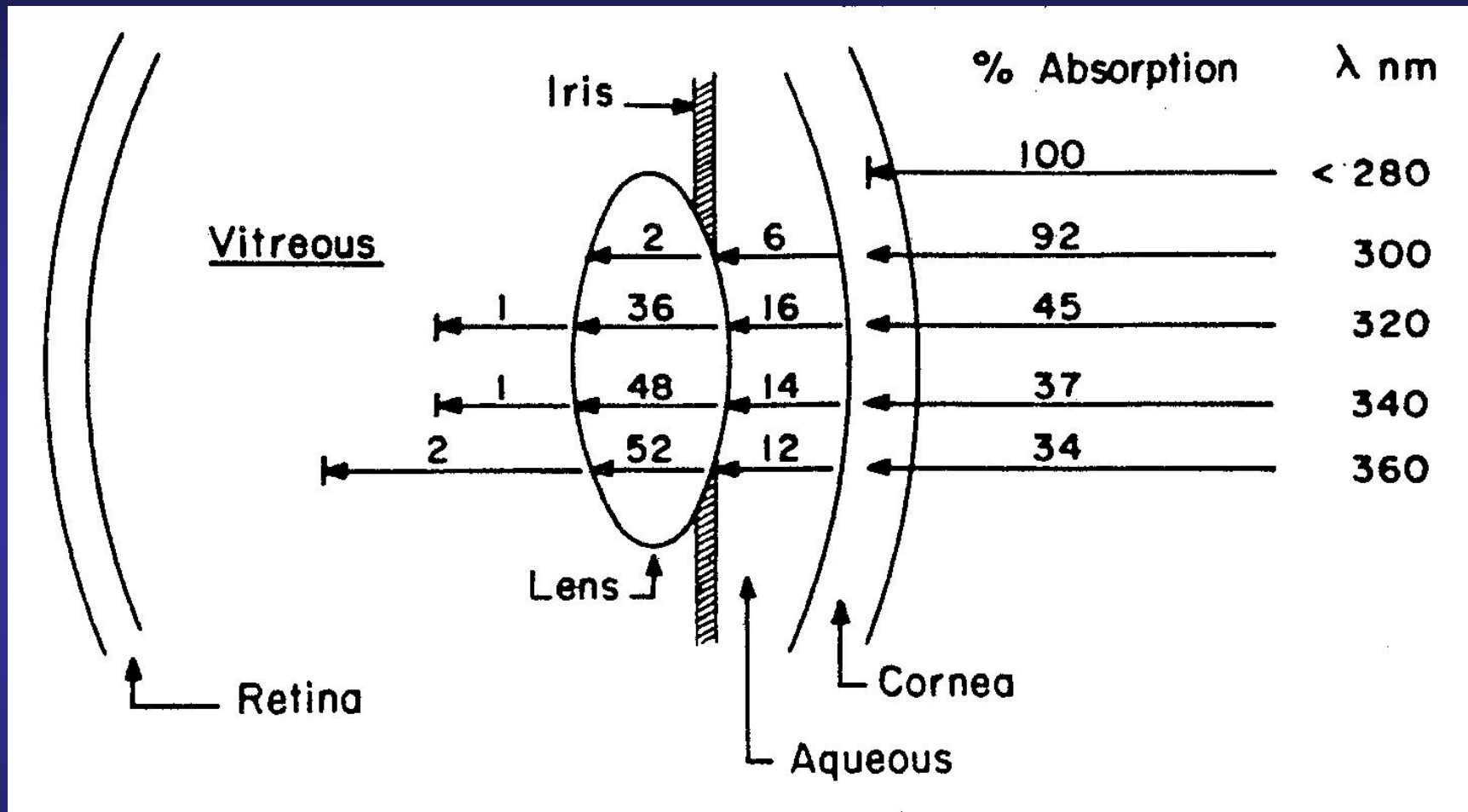
Absorption pigments



Pearlescent gloss effect pigments

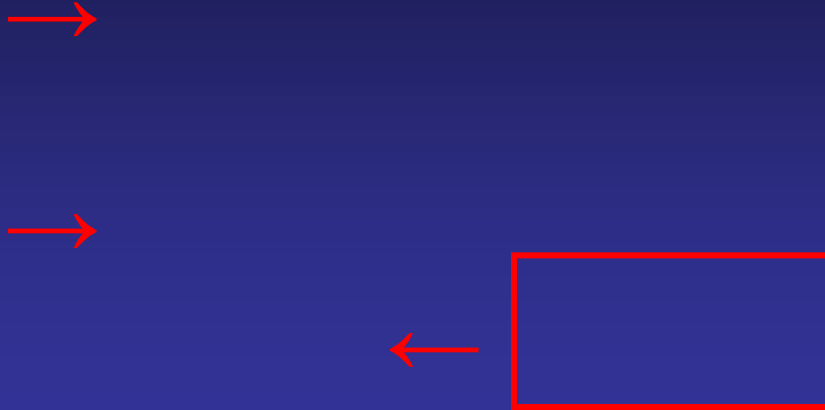
(Left) Metallic-effect pigments reflect light directionally, like a mirror. In cosmetics, their use is primarily in nail polish, and total reflectance is about 90 percent rather than the ideal 100 percent. (Center) Absorption pigments scatter light in all directions, resulting in an even matte look. (Right) Pearlescent pigments reflect only part of the white light that enters them, giving an appearance of color that depends on the location of the observer.

# PROTECCION DEL OJO AL UV



El espectro ultravioleta (UV) varía entre 100 y 400 nm y se subdivide en cuatro bandas: la región del Vacío (100 a 200 nm), la región UVC (200 a 280 nm), la región UVB (280 a 315 nm) y la región UVA (315 a 400 nm)

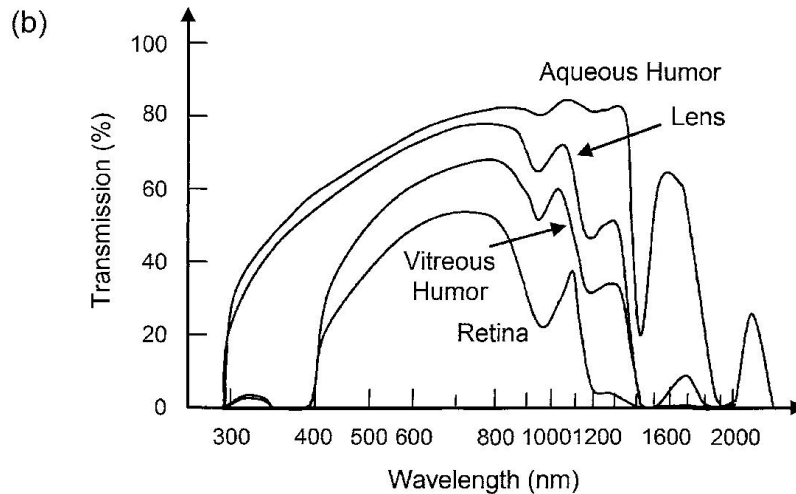
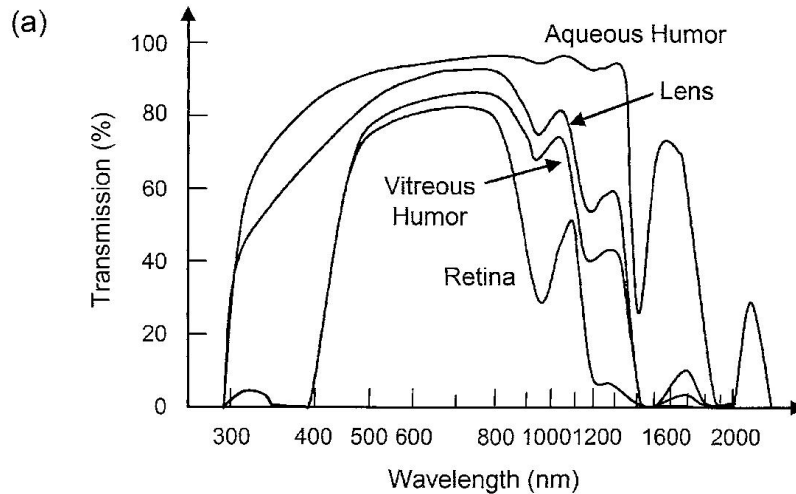
# IRRADIANCIAS RETINIANAS



La absorción de luz depende del tiempo involucrado en el proceso. En la retina compiten varios:

- Fotoquímico  
 $t > 10 \text{ s}$
- Coagulación térmica  
 $10 \mu\text{s} < t < 10 \text{ s}$
- Termoacústico  
 $t \approx 1 \text{ a } 5 \text{ ps}$
- Efectos no lineales  
 $1 \text{ fs} < t < 1 \text{ ps}$

# TRANSMISION DE LUZ EN EL OJO



**Fig. 11.18.** Transmission of near-ultraviolet, visible, and near-infrared light through the eye up to the labeled part of the eye. In (a) only transmission losses due to absorption are included, while in (b) all transmission losses are accounted for, including those due to absorption and scattering. (Based on [514] and [527])

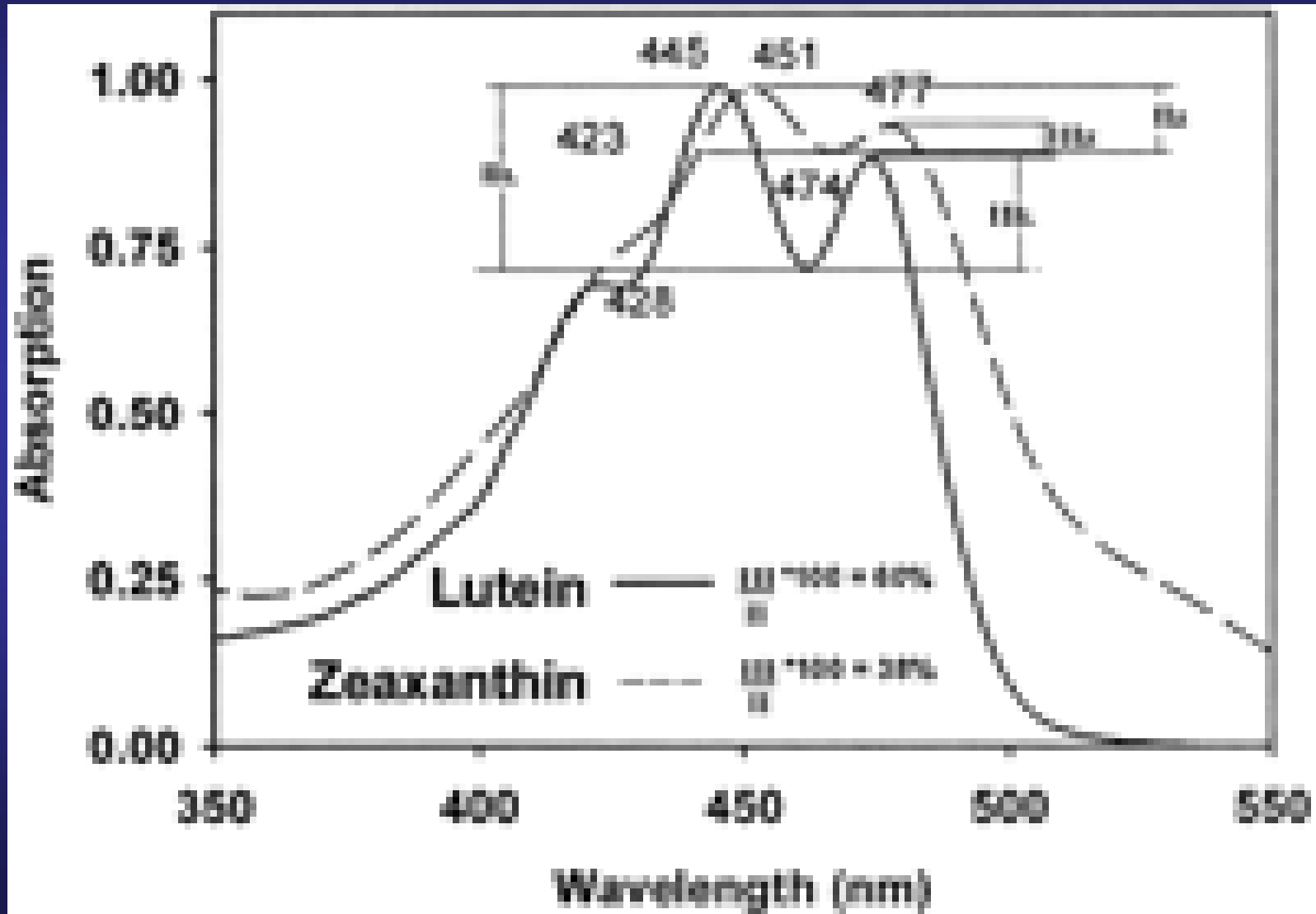
$$R = \left( \frac{n_2 - n_1}{n_2 + n_1} \right)^2$$

$$I(z) = I(z=0) \exp(-\alpha_{\text{Absorción}} z)$$

$$I(z) = I(z=0) \exp(-\alpha_{\text{Scattering}} z)$$

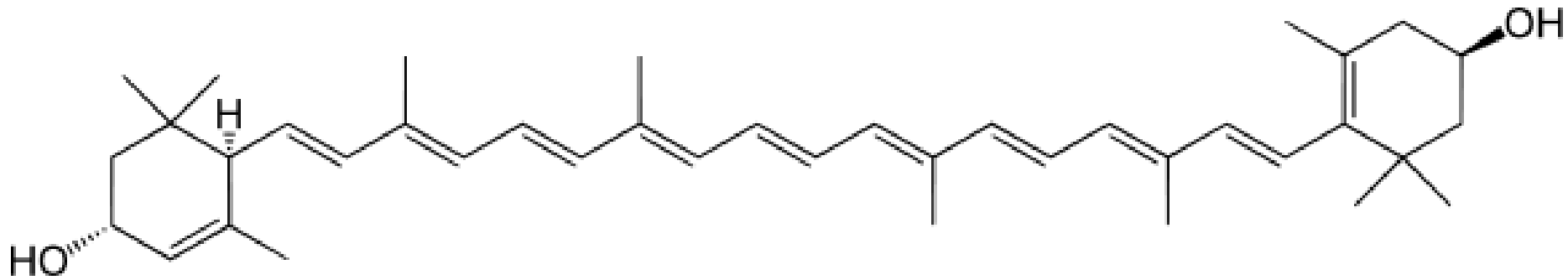
$$\alpha_{\text{Scattering}} = \frac{8\pi^4}{3} \frac{ND^4}{\lambda^4} \left( \frac{n_p^2 - n_a^2}{n_p^2 + 2n_a^2} \right)^2$$

# ABSORCION POR LA LUTEINA, EL PIGMENTO MACULAR





# $\beta,\epsilon$ -carotene-3,3'-diol : LUTEINA



# REFRACCION SEGUN LA GEOMETRIA

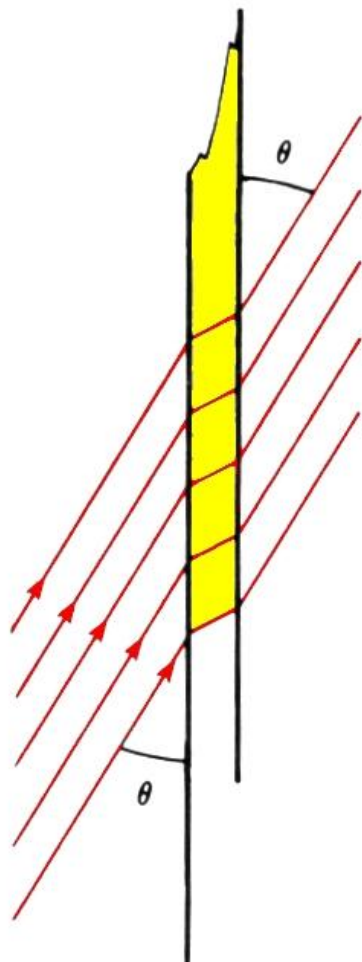
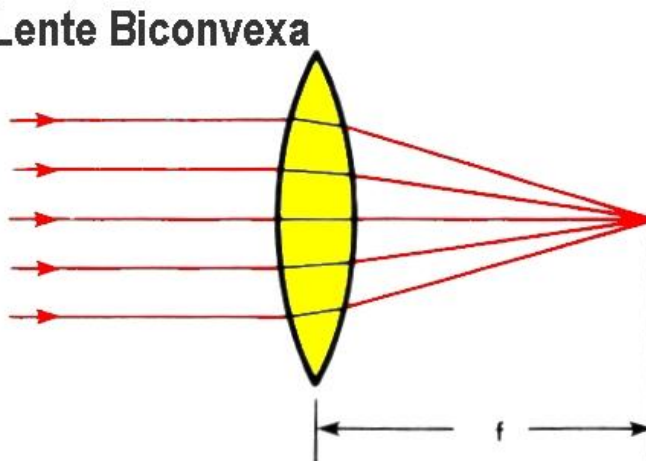
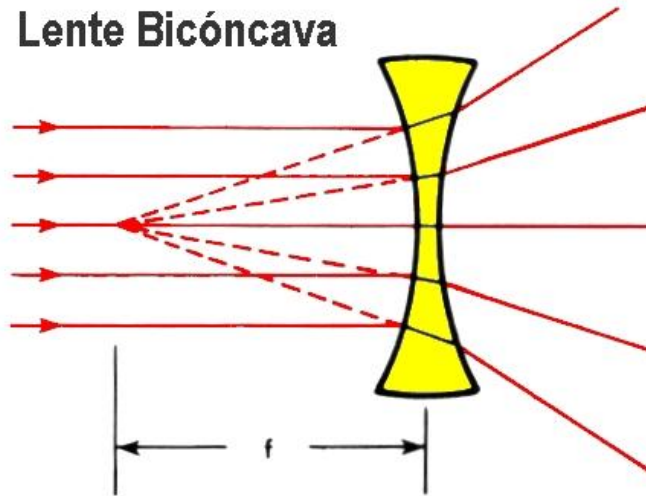
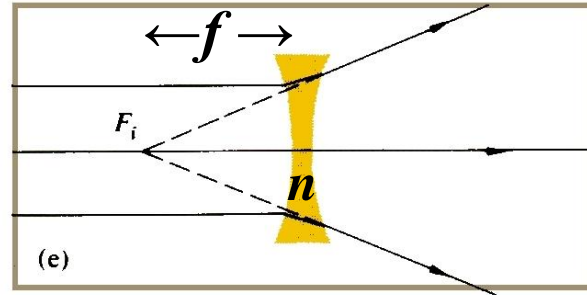
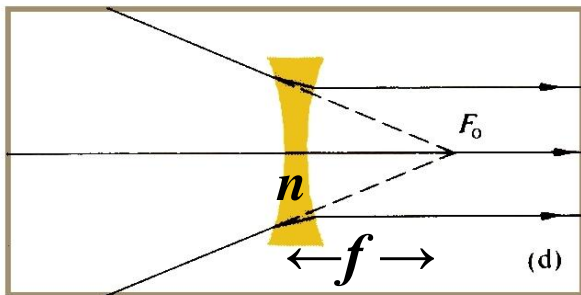
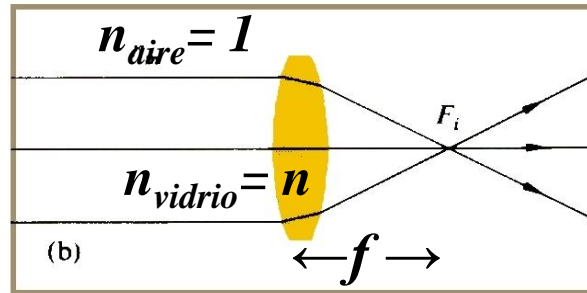
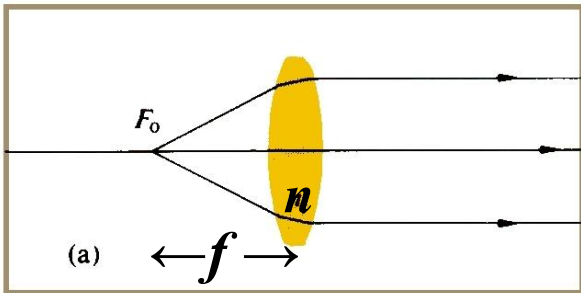


Lámina planoparalela



# FORMULA DE LAS LENTES ESFERICAS



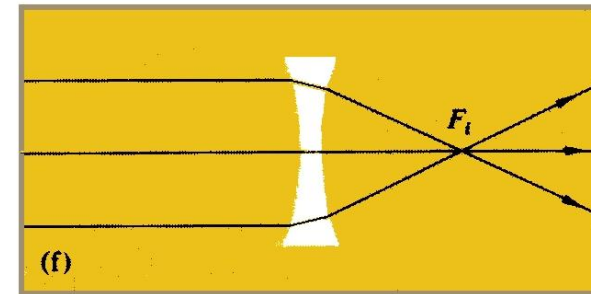
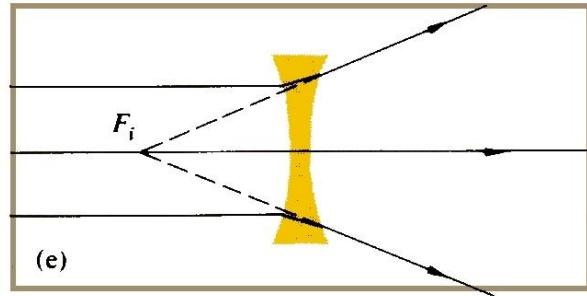
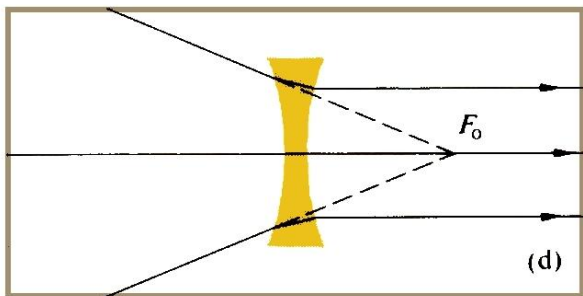
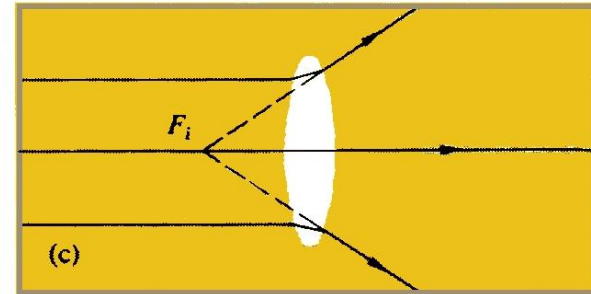
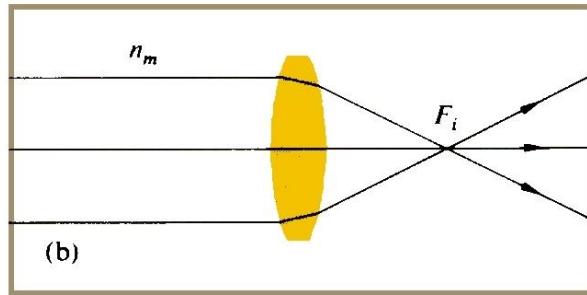
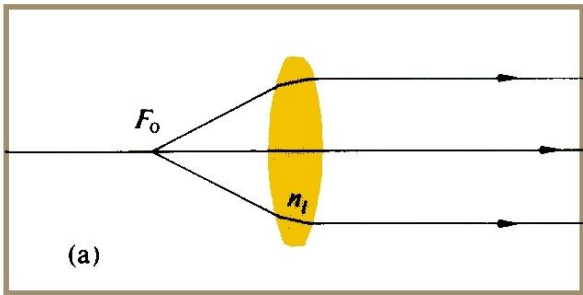
#

$$\frac{1}{f} = (n - 1) \left[ \frac{1}{R_1} - \frac{1}{R_2} \right]$$

‡

- # Lentes convergentes para mitigar la hipermetropía
- ‡ Lentes divergentes para mitigar la miopía

¿Y?

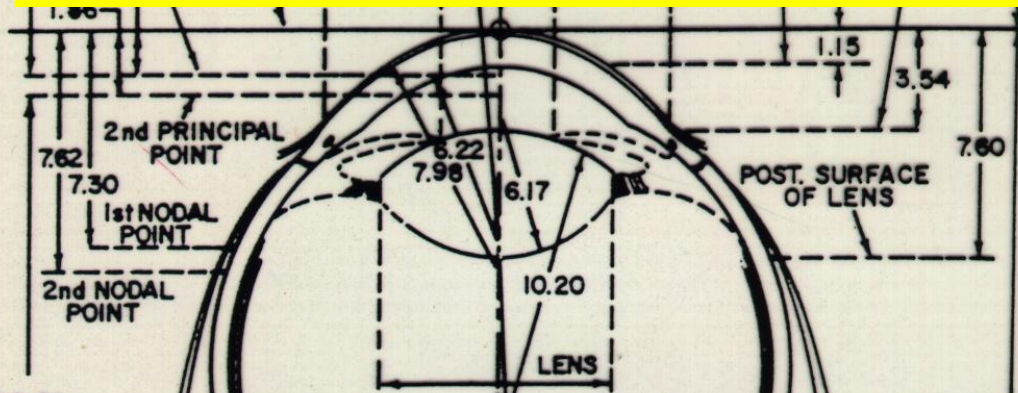


# Ojo

## Derecho Standard

$$P_{Córnea} = 40,81 D$$

$$\frac{1}{f_{PSC}} = P_{PSC} = (n_{Aire} - n_{Córnea}) \frac{1}{R_{PSC}} =$$
$$= (1,000 - 1,376) \frac{1}{-0,00796m} = 47,24D$$



$$\frac{1}{f_{SSC}} = P_{SSC} = (n_{Córnea} - n_{Acuoso}) \frac{1}{R_{SSC}} =$$
$$= (1,376 - 1,336) \frac{1}{-0,00622m} = -6,43D$$

$$n_{Aire} = 1,000$$

$$n_{Córnea} = 1,376$$

$$n_{H.A.} = 1,336$$

$$n_{C.Núcleo} = 1,406$$

$$n_{C.Polos} = 1,386$$

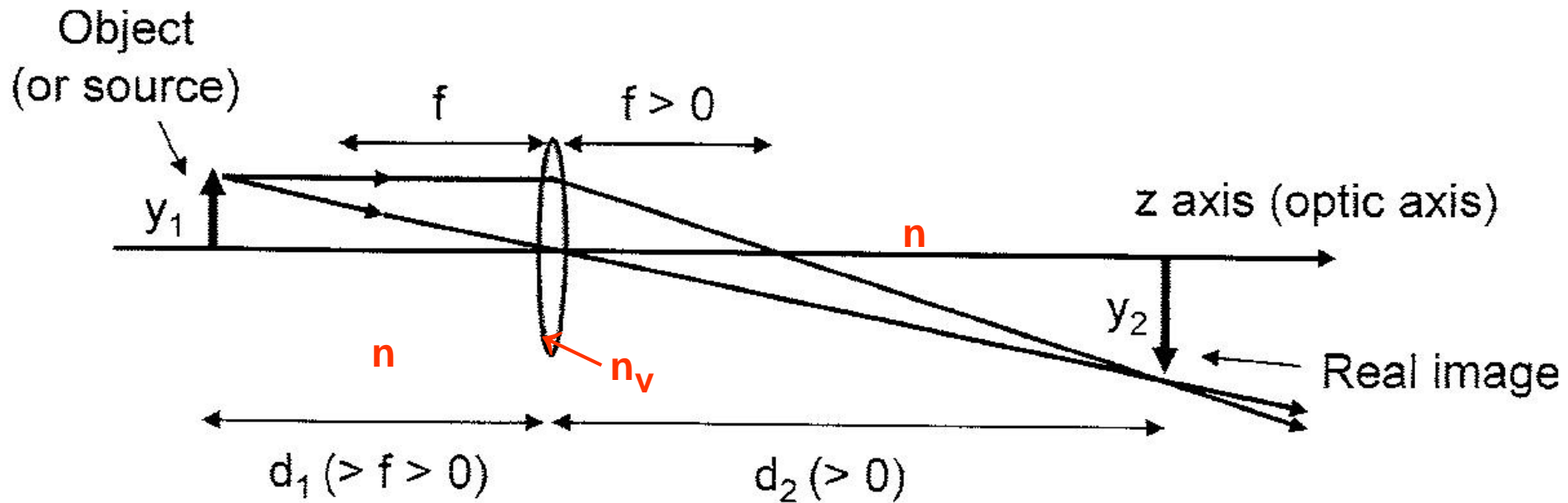
$$n_{C.Ecuador} = 1,375$$

$$n_{H.V.} = 1,337$$

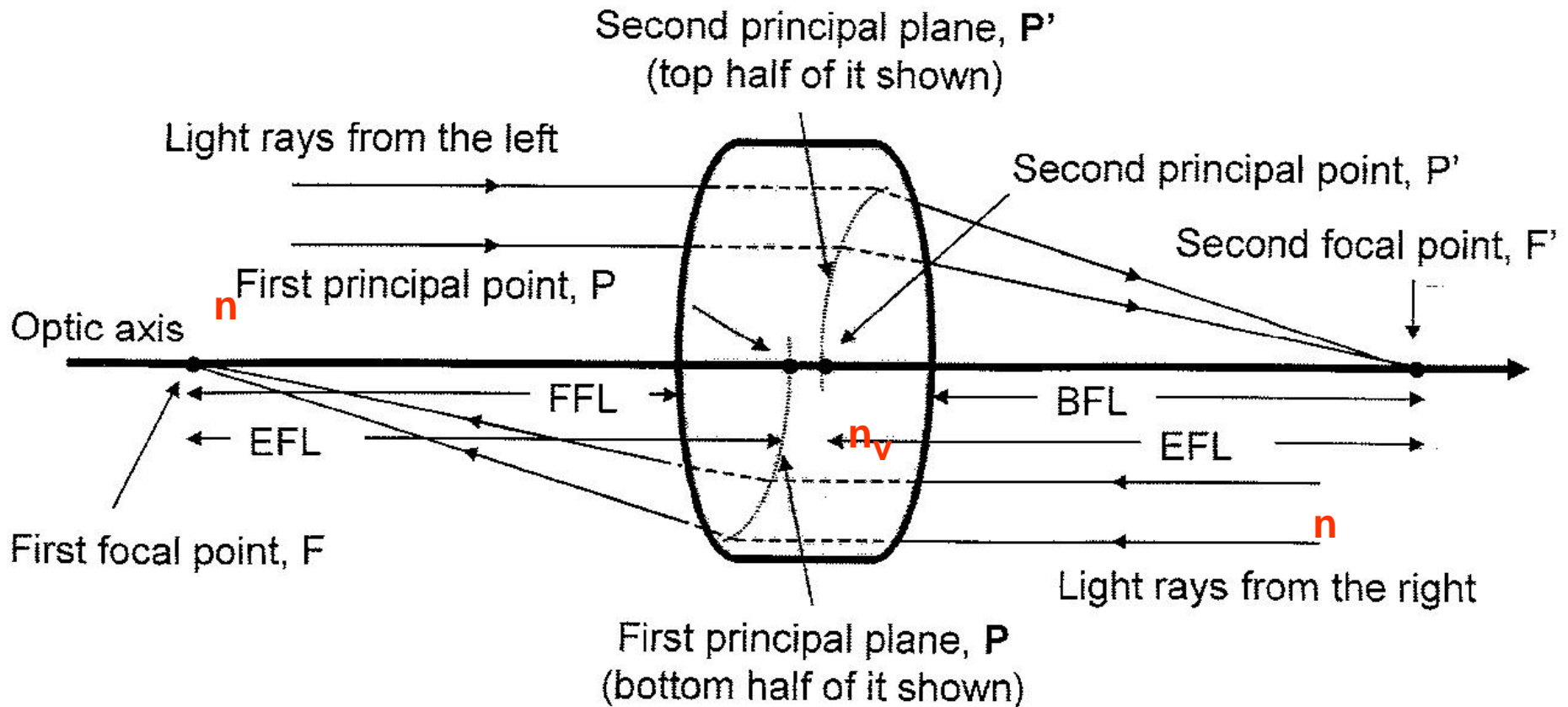
$$n_{agua} = 1,333$$

Figure B-1. Optical Constants For A "Standard Right Eye." Adapted from "Optical Design," MIL-HDBK-141, US Defense Department, 5 October 1962.

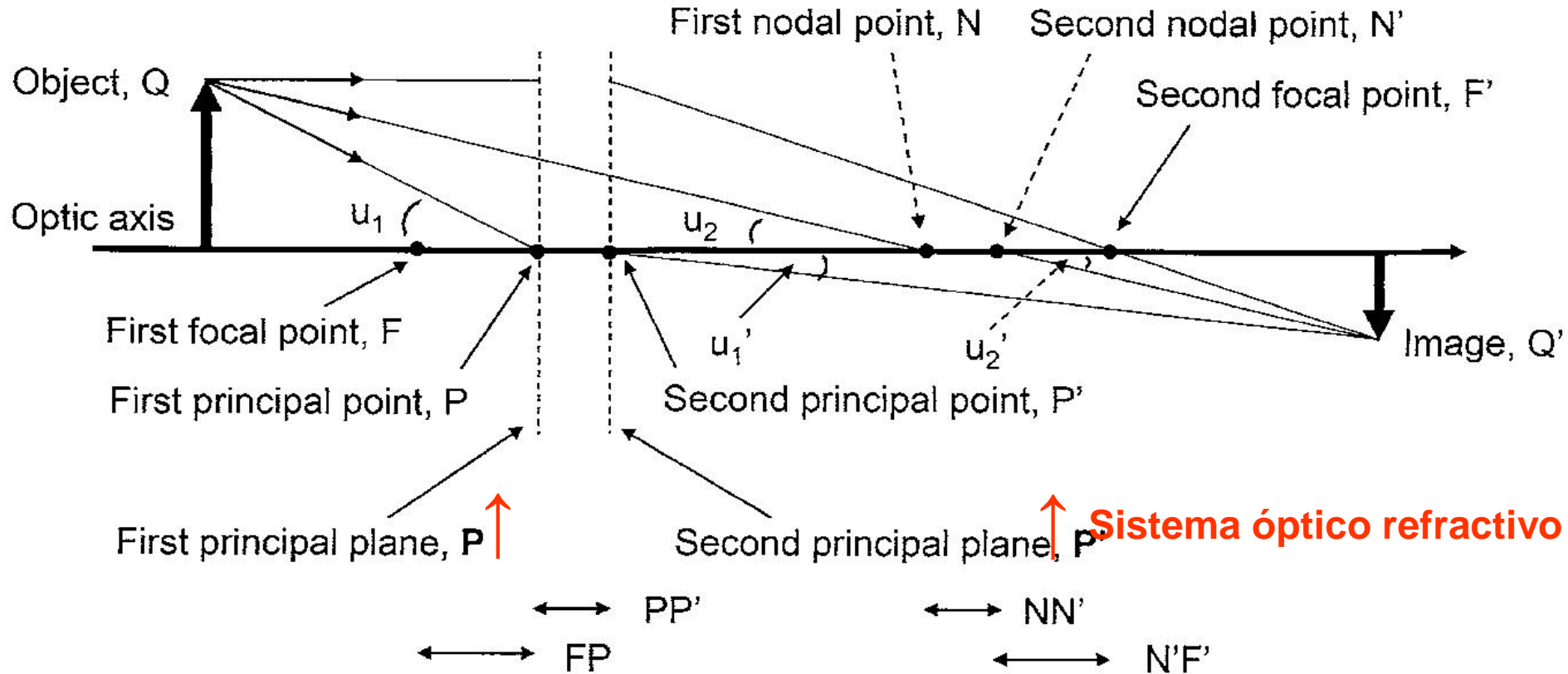
# ESQUEMA DE LENTE DELGADA



# ESQUEMA DE LENTE GRUESA



# ESQUEMA DE SISTEMA OPTICO REFRACTIVO

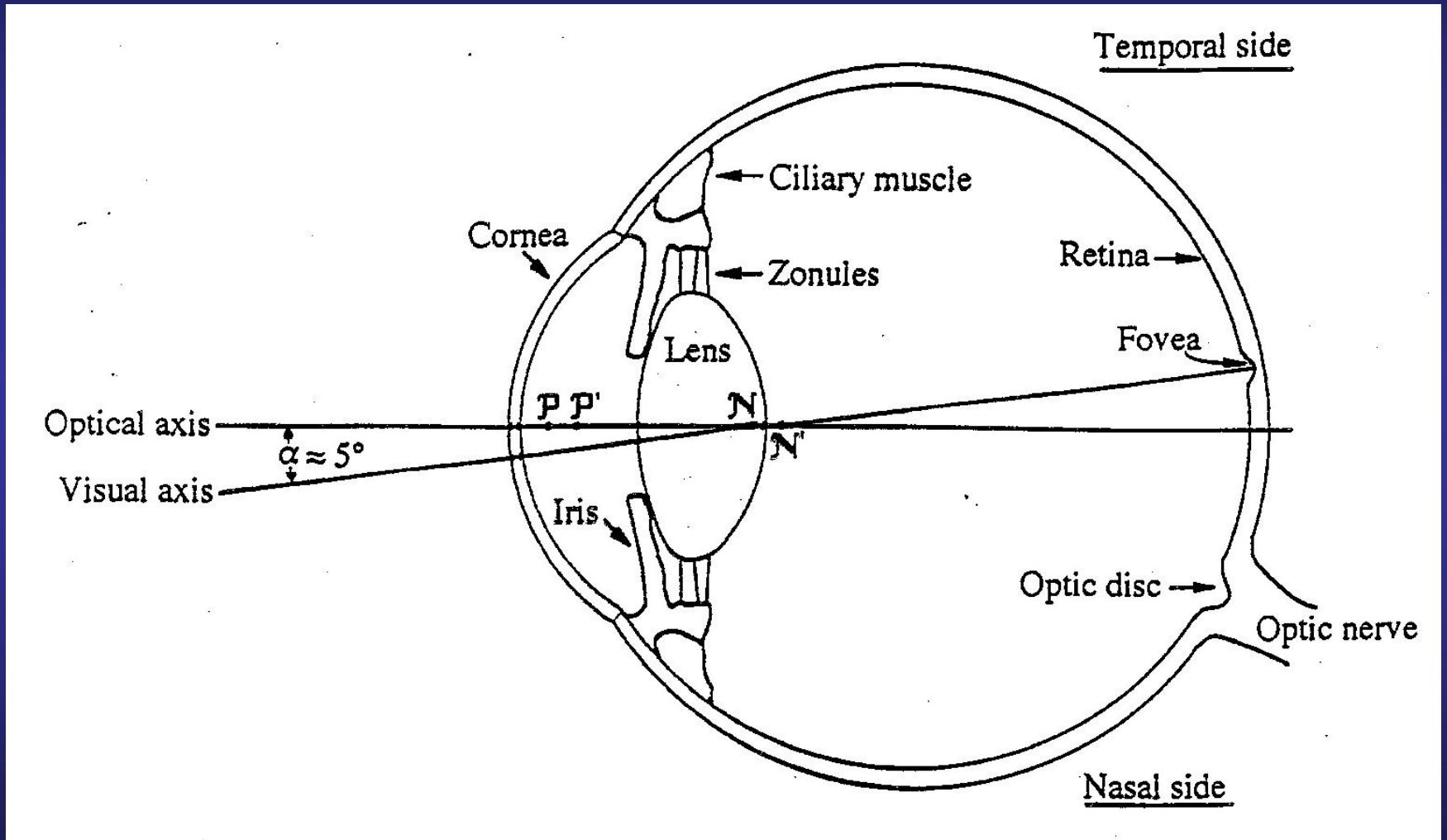


$$P_{\text{eff}} = P_a + P_b - \delta P_a P_b$$

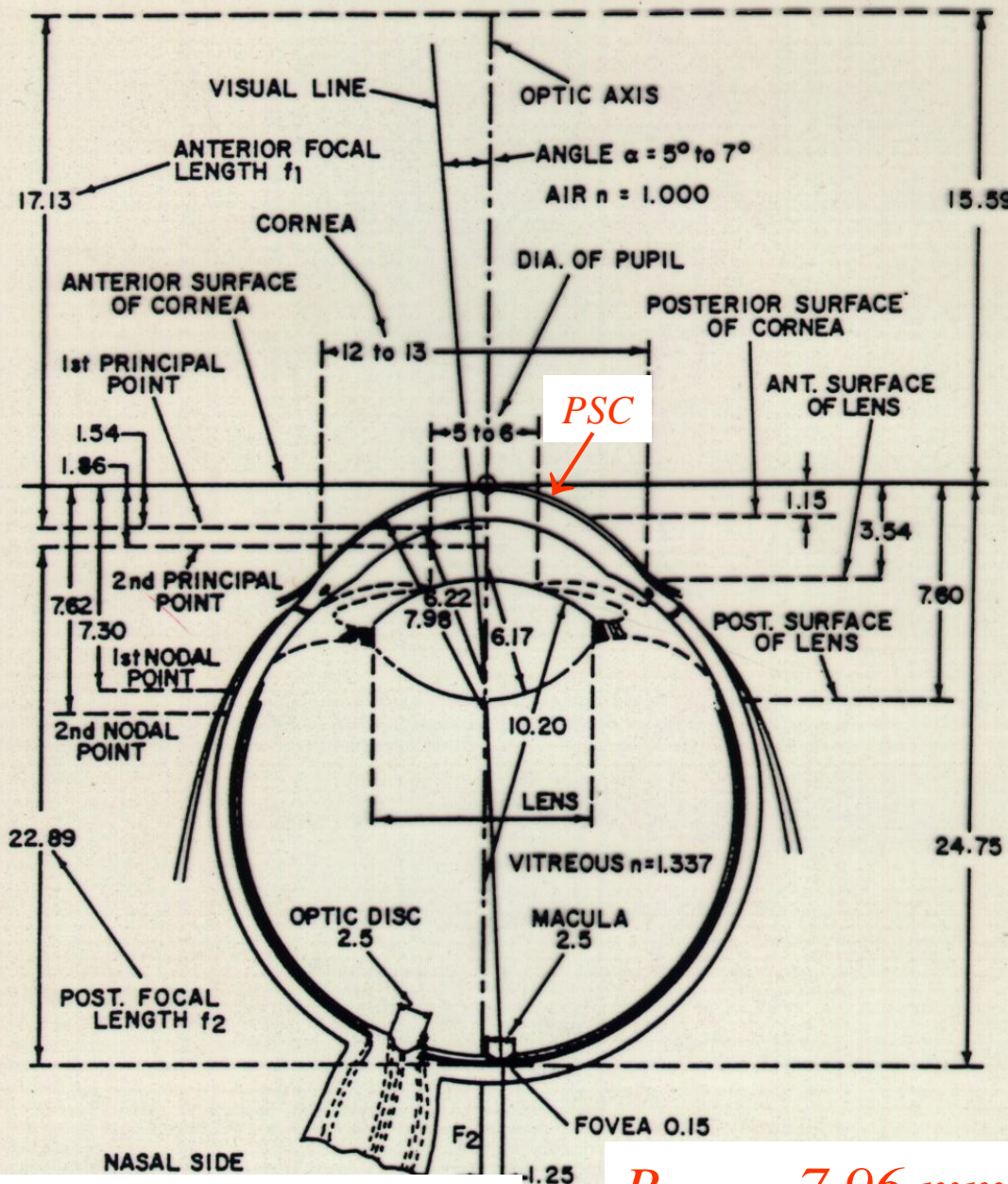
$$\delta = \frac{t}{n_v}$$



# ESQUEMA DE SISTEMA OPTICO OCULAR



# Ojo Derecho Standard



$$n_{Aire} = 1,000$$

$$n_{Córnea} = 1,376$$

$$n_{H.A.} = 1,336$$

$$n_{C.Núcleo} = 1,406$$

$$n_{C.Polos} = 1,386$$

$$n_{C.Ecuador} = 1,375$$

$$n_{C.Cápsula} = 1,360$$

$$n_{H.V.} = 1,337$$

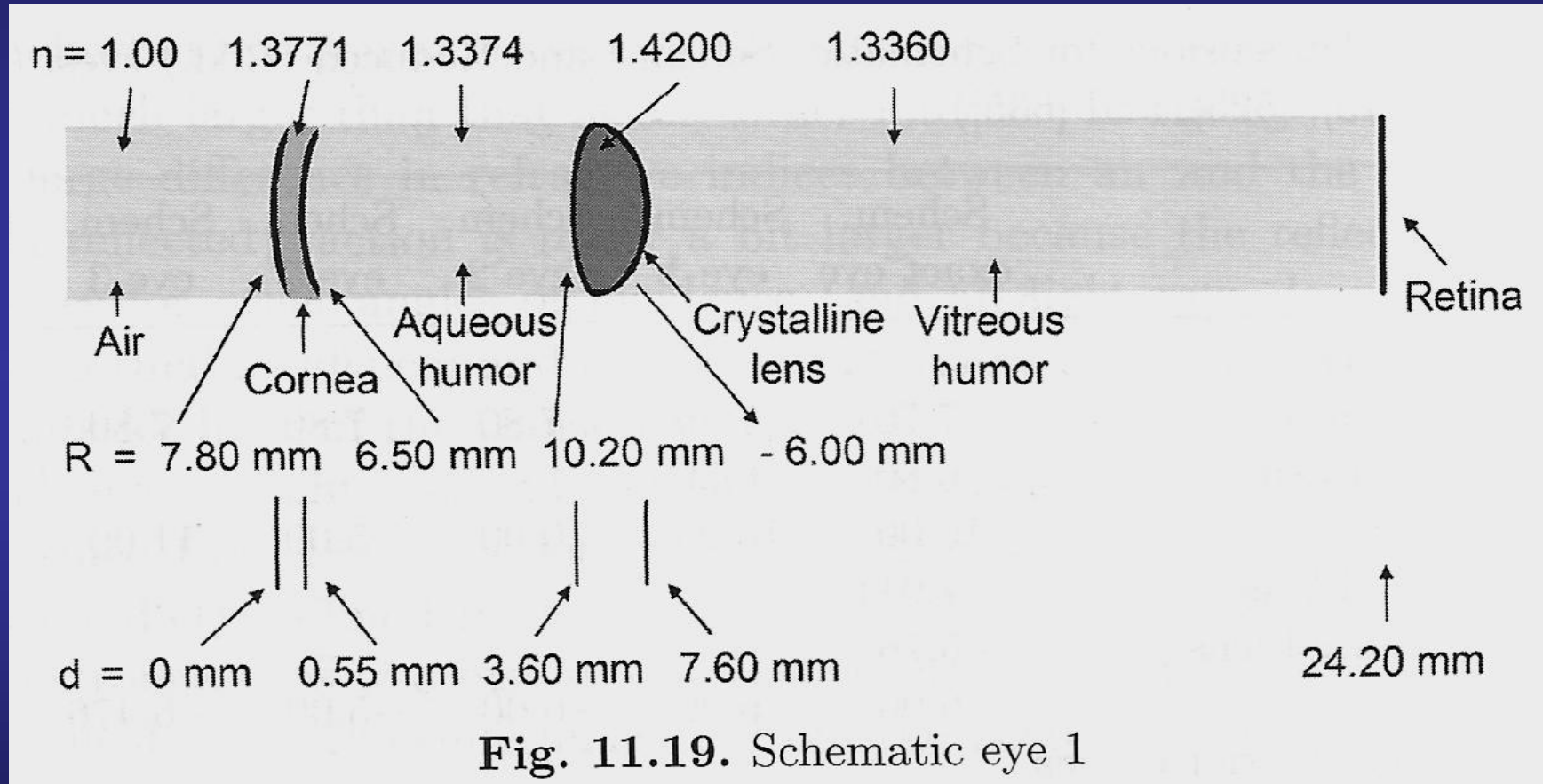
$$n_{agua} = 1,333$$

*PSC : Primera Superficie de la Cornea*

$$R_{PSC} = 7,96 \text{ mm}$$

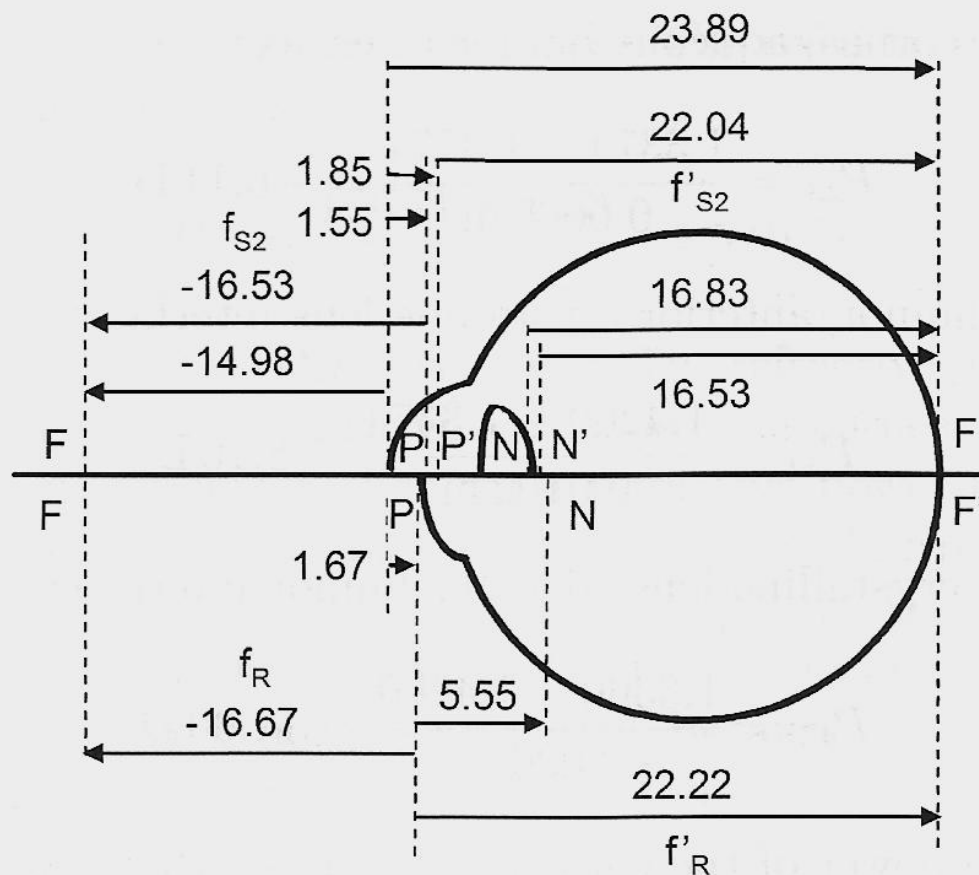
Figure B-1. Optical Constants For A "Standard Right Eye." Adapted from "Optical Design," MIL-HDBK-141, US Defense Department, 5 October 1962.

# MODELO ESQUEMATICO DE OJO 1 DE ALVAR GULLSTRAND



Alvar Gullstrand fue galardonado con el Premio Nobel de Medicina o Fisiología en 1911.

# MODELO ESQUEMATICO DE OJO 2 (*Arriba*) Y OJO REDUCIDO (*Abajo*)



**Fig. 11.20.** Comparison of the cardinal points of the three-surface, relaxed Gullstrand–Emsley Schematic eye 2 in the *top* half and the Reduced eye in the *bottom* half. Distances are in mm. (Based on [513])

**Table 11.1.** Dimensions for Schematic (Schem.) and Reduced (Red.) eyes. (Using data from [513], [525], and [535])

	Schem. exact eye	Schem. eye 1	Schem. eye 2	Schem. eye 2'	Schem. eye 3	Red. eye
radii of surfaces						
anterior cornea	7.70	7.80	7.80	7.80	7.80	5.55
posterior cornea	6.80	6.50	–	–	–	–
anterior lens	10.00	10.20	10.00	5.00	11.00	–
first internal lens	7.911	–	–	–	–	–
second internal lens	–5.76	–	–	–	–	–
posterior lens	–6.00	–6.00	–6.00	–5.00	–6.476	–
distance from anterior cornea						
posterior cornea	0.50	0.55	–	–	–	–
anterior lens	3.60	3.60	3.60	3.20	3.60	–
first internal lens	4.146					
second internal lens	6.565					
posterior lens	7.20	7.60	7.20	7.20	7.30	–
retina	23.9	24.20	23.89	23.89	24.09	–
first principal point P	1.348	1.59	1.55	1.78	1.51	0
second principal point P'	1.602	1.91	1.85	2.13	1.82	0
first nodal point N	7.078	7.20	7.06	6.56	7.11	5.55
second nodal point N'	7.332	7.51	7.36	6.91	7.42	5.55
first focal point F	–15.707	–15.09	–14.98	–12.56	–15.16	–16.67
second focal point F'	24.387	24.20	23.89	21.25	24.09	22.22 <sup>a</sup>
refractive indices						
cornea	1.376	1.3771	–	–	–	4/3
aqueous humor	1.336	1.3374	1.3333	1.3333	1.336	4/3
crystalline lens – anterior	1.386	1.4200	1.4160	1.4160	1.422	4/3
crystalline lens – nucleus	1.406					
crystalline lens – posterior	1.386					
vitreous humor	1.336	1.3360	1.3333	1.3333	1.336	4/3

All eyes are accommodated for distant vision (unaccommodated), except Schematic eye 2', which accounts for accommodation in Schematic eye 2 for near vision (accommodated). Distances are in mm.

<sup>a</sup>For the Reduced eye, the second focal point is 1.67 mm + 22.22 mm = 23.9 mm after the real anterior surface of the cornea.

# DIMENSIONES DE LOS MODELOS ESQUEMATICOS Y REDUCIDO

# CORRECCIONES DE DEFECTOS VISUALES

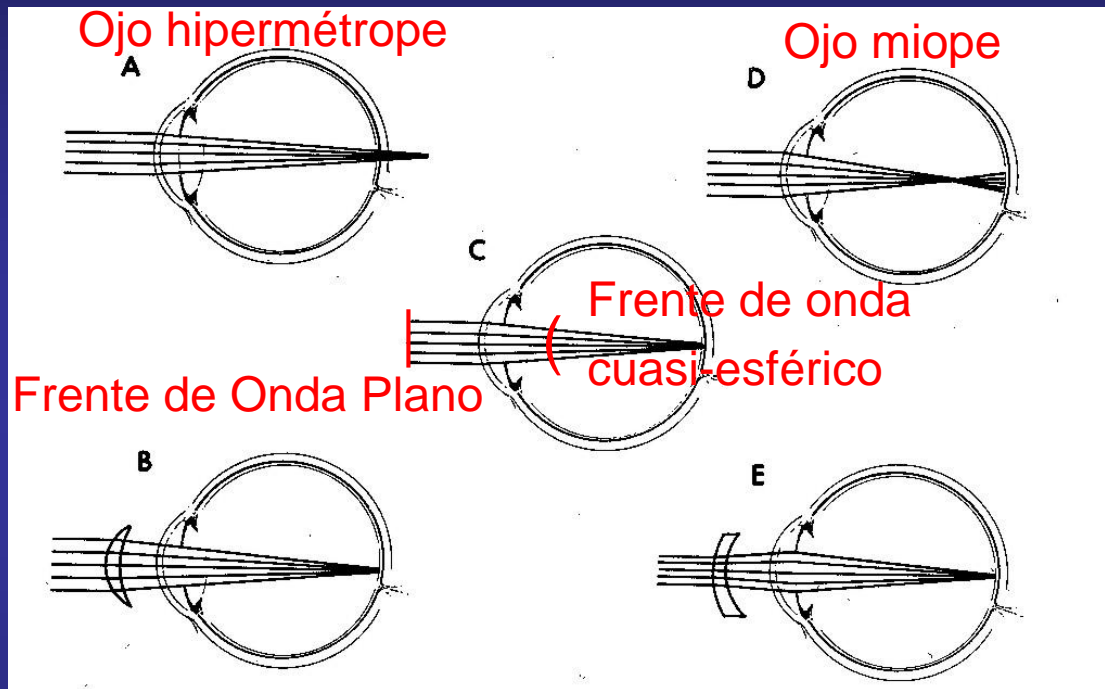
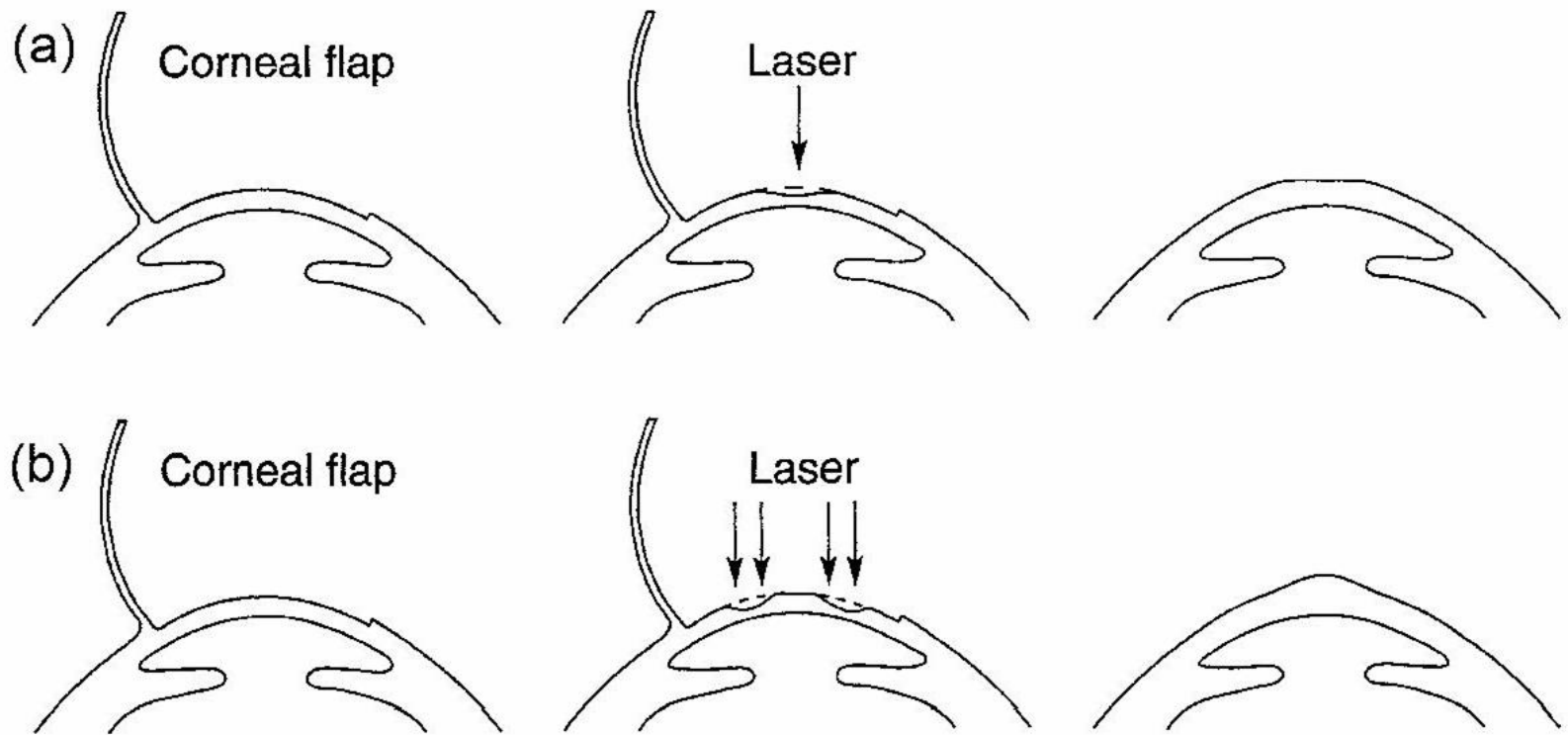


Figure 3-8. Illustration of optical defects of the human eye and the corresponding spectacle lens corrections. The simple ray diagrams illustrate how the rays from a collimated point source at infinity would be imaged at the retina. In hyperopia shown in panel A (farsightedness), the rays are imaged behind the retina. Panel B shows how a positive lens is used to correct this problem. The middle panel, C, illustrates emmetropia, the normal eye. Panel D shows myopia, or nearsightedness, where the rays are imaged in front of the retina. Panel E illustrates how a negative lens corrects this problem.

Así no se corrigen todos los defectos visuales, ni se mejora la Audeza Visual, porque el Frente de Onda Cuasi-esférico puede haber sido aberrado por el propio ojo.

# CIRUGIA FOTORREFRACTIVA LASIK (LASER ASSISTED IN SITU KERATOMILEUSIS)



**Fig. 11.43.** In LASIK surgery the central cornea is made (a) more flat to correct for myopia and (b) more curved to correct for hyperopia. (From [553]. Reprinted with permission of McGraw-Hill)

# EL ESPECTRO ELECTROMAGNETICO III

Velocidad de la luz  
en el vacío

$$c = \nu \times \lambda$$

$$c = 299\,792\,458 \text{ m/s}$$

Energía de un fotón

$$E = h \times \nu$$

Constante de Planck

$$h = 6,6256 \times 10^{-34} \text{ Js}$$

**EJEMPLO:**

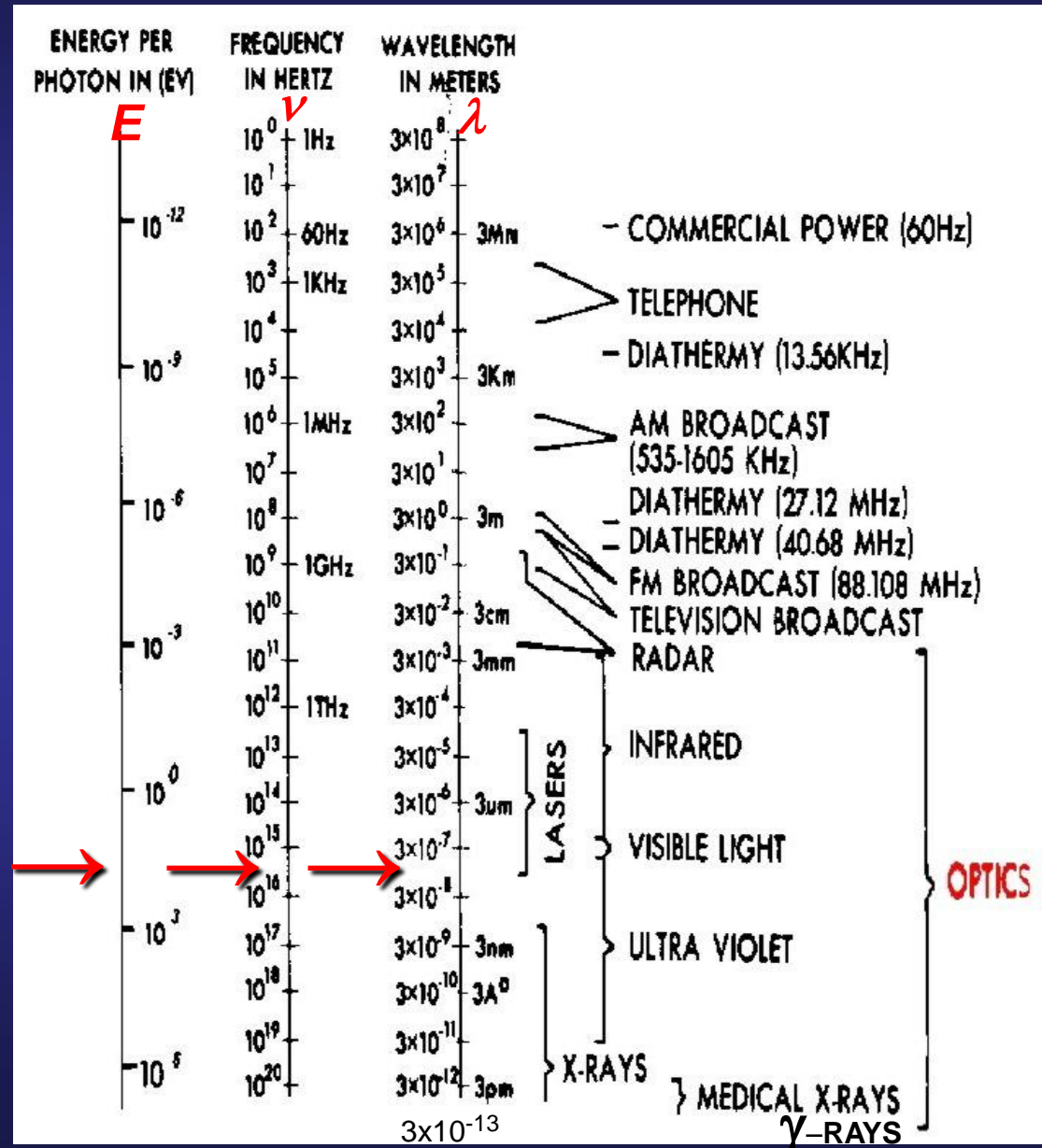
**Láser de EXCIMERO (Ar-F).**

$$\lambda = 193 \text{ nm}$$

$$\nu = 1,5 \times 10^{15} \text{ Hz} = 1,5 \text{ PHz}$$

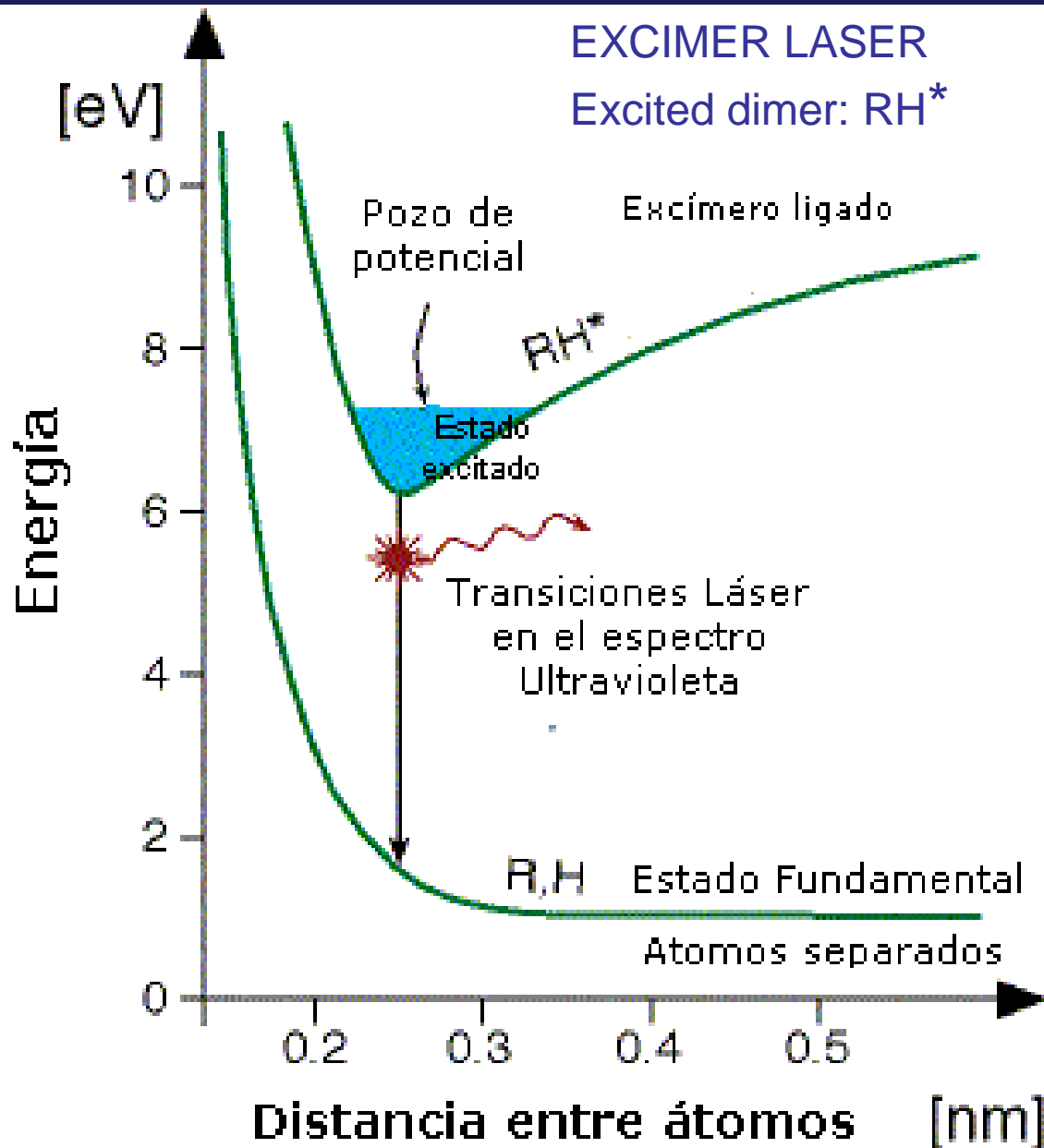
$$E_{\nu} = 1,03 \times 10^{-15} \text{ mJ} = 1,03 \text{ aJ}$$

P se lee Peta (5), y el a, atto (18).





# FISICA DE LOS LASERES DE EXCIMEROS



$R \equiv$  Gases Raros o Nobles

$H \equiv$  Halógenos

\*  $\equiv$  Excitados

## LASERES

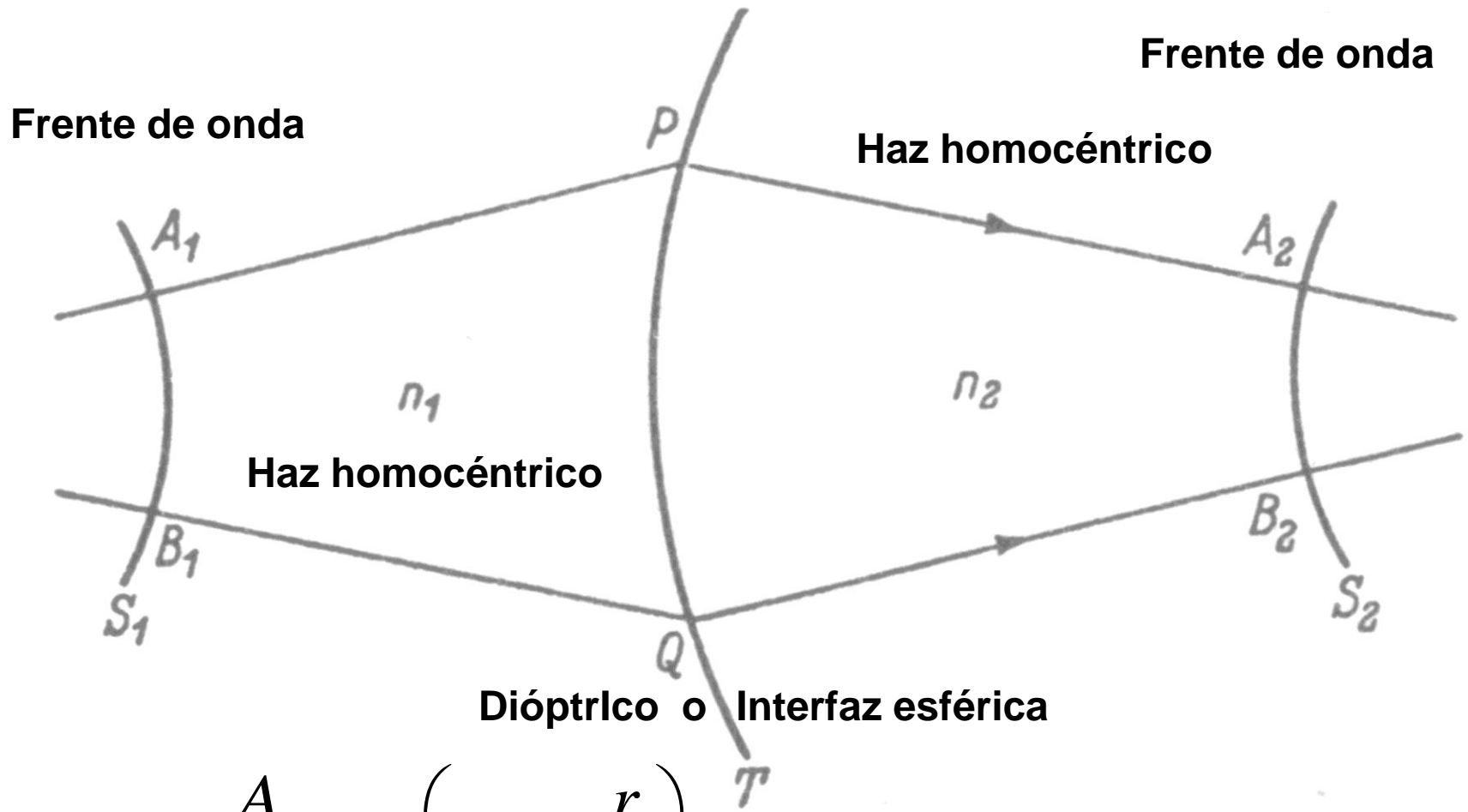
$XeF$   $\lambda = 353$  nm

$XeCl$   $\lambda = 308$  nm

$KrF$   $\lambda = 248$  nm

$ArF$   $\lambda = 193$  nm

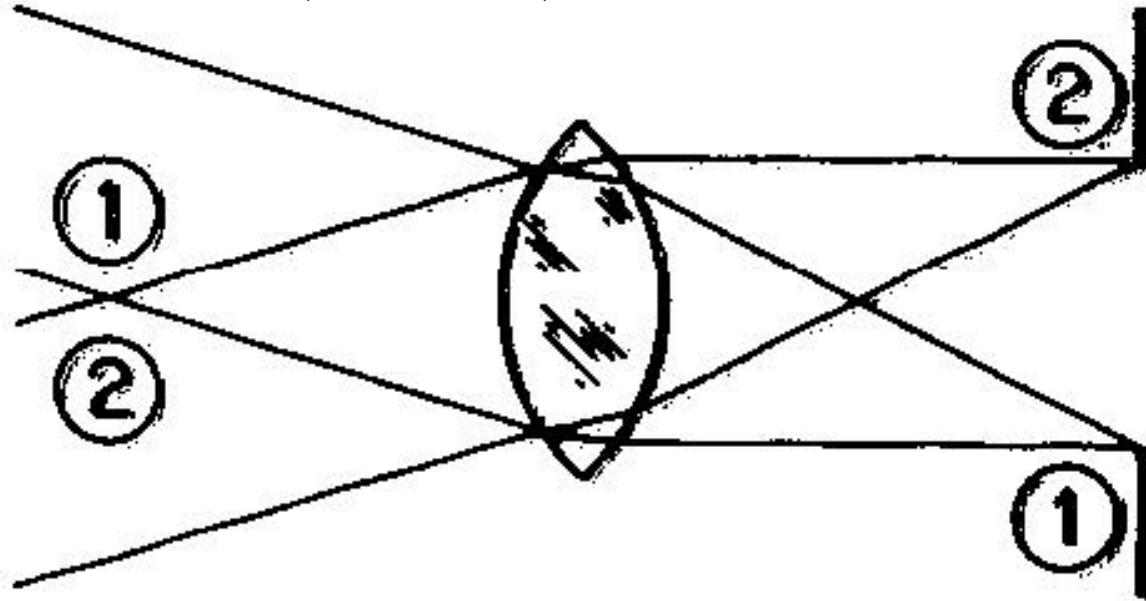
# TEOREMA DE MALUS (1808) Y DUPIN (1816)



$$A_{\text{Esférica}} = \frac{A_0}{r} \exp\left(\pm 2\pi i \frac{r}{\lambda}\right)$$

# LAS LENTES SON TRANSFORMADORES DE LAS FASES DE LAS ONDAS

$$A_{Plana} = A_0 \exp\left(\pm 2\pi i \frac{r}{\lambda}\right) \quad A_{Esférica} = \frac{A_0}{r} \exp\left(\pm 2\pi i \frac{r}{\lambda}\right)$$

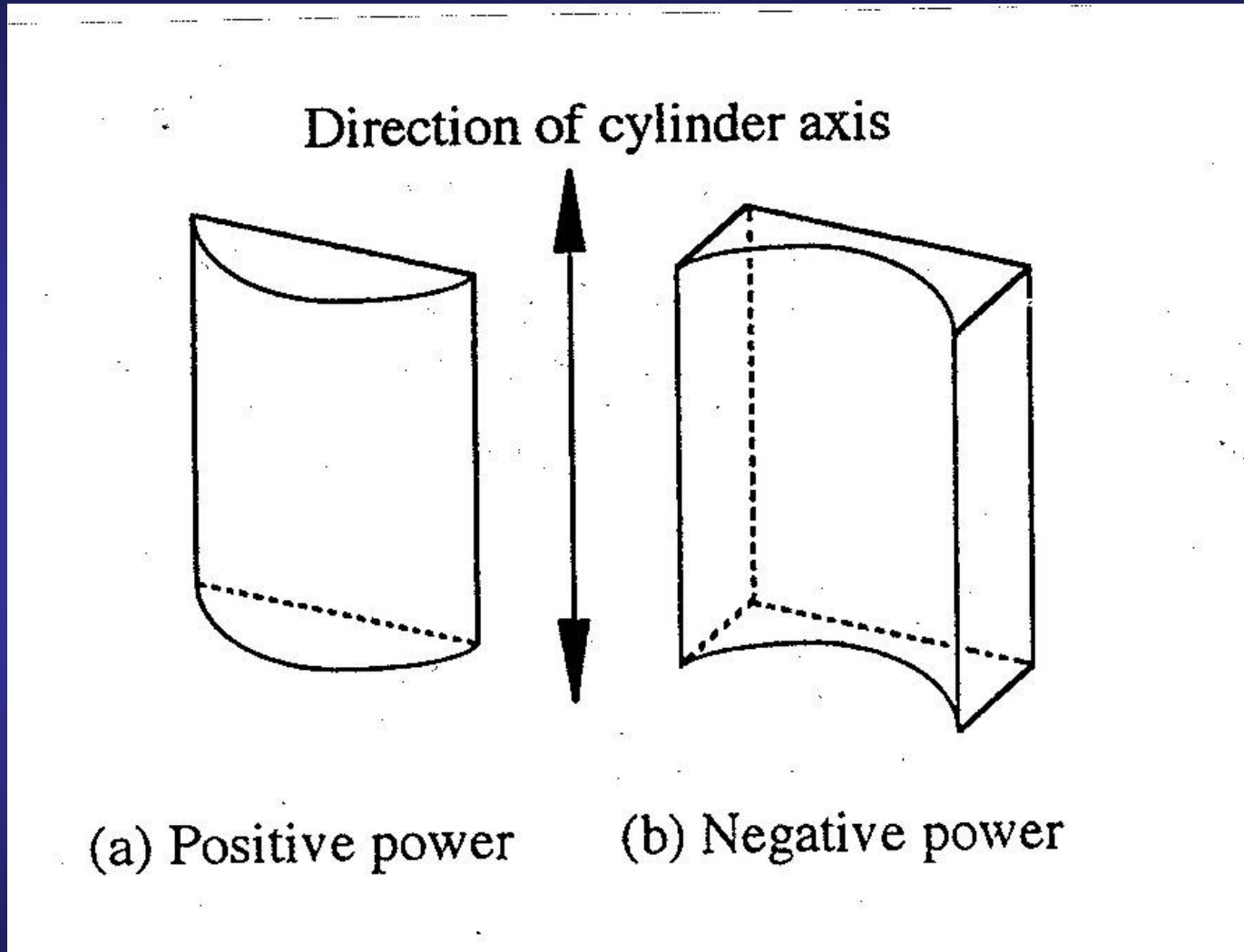


**Directional  
differences**



**Spatial  
differences**

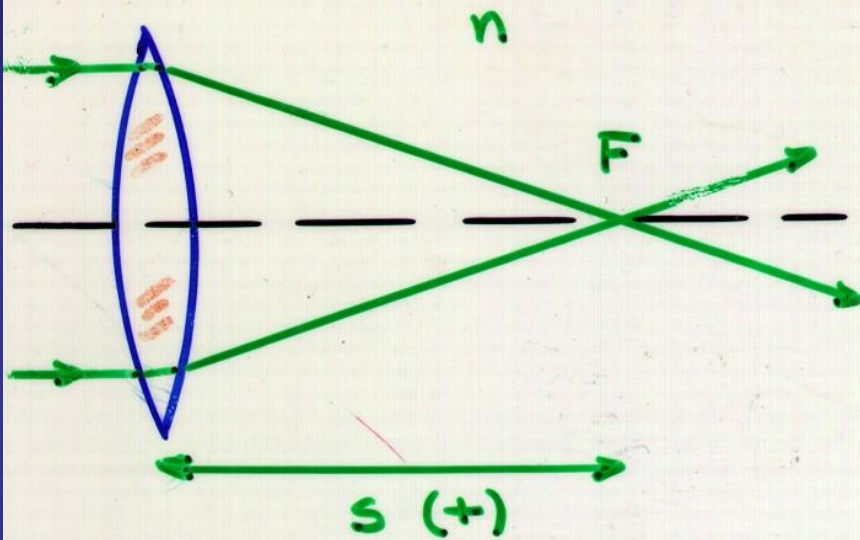
# LENTES CILINDRICAS



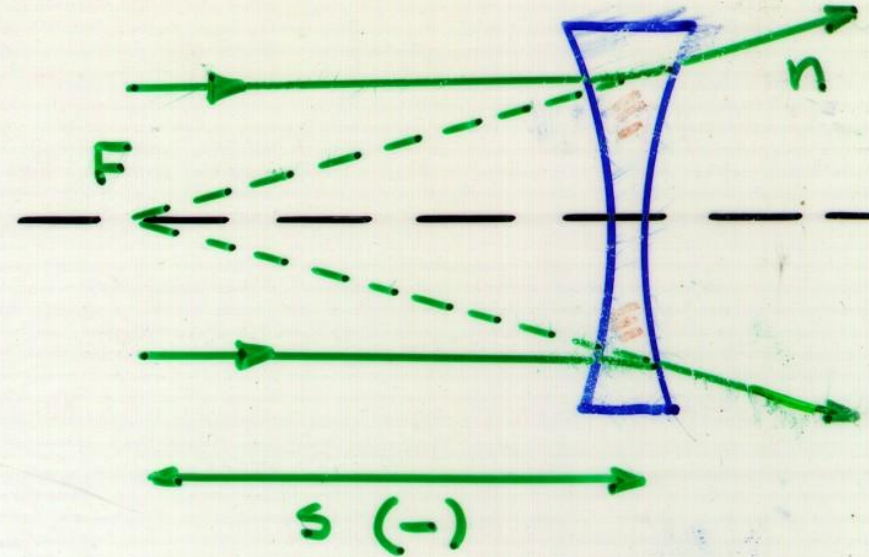
Lentes cilíndricas para mitigar el astigmatismo en un eje

# POTENCIA Y VERGENCIA

## Vergencia



$$V = \frac{n}{s}$$



$$V = -\frac{n}{s}$$

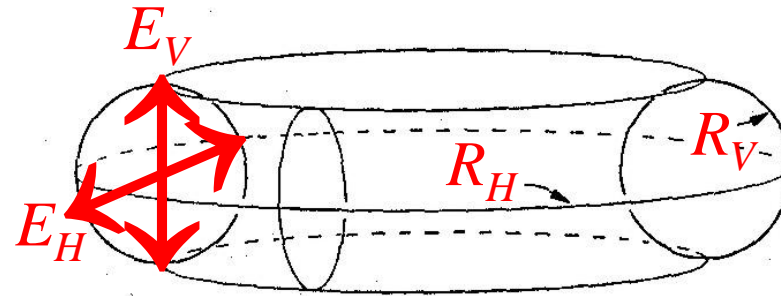
$$\frac{1}{f_{PSC}} = P_{PSC} = (n_{Aire} - n_{Córnea}) \frac{1}{R_{PSC}} =$$

$$= (1,000 - 1,376) \frac{1}{-0,00796m} = 47,24D$$

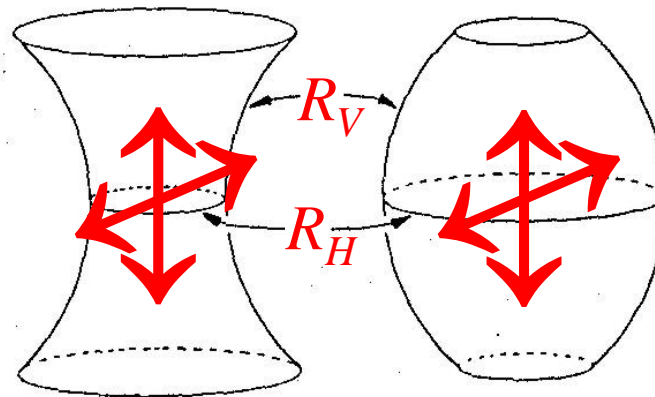
$$\frac{1}{f_{SSC}} = P_{SSC} = (n_{Córnea} - n_{Acuoso}) \frac{1}{R_{SSC}} =$$

$$= (1,376 - 1,336) \frac{1}{-0,00622m} = -6,43D$$

# LENTES TORICAS



Toroide



Cabrestante

Barril

Lentes tóricas para mitigar el astigmatismo en dos ejes

# LENTES DE FOCO VARIABLE I

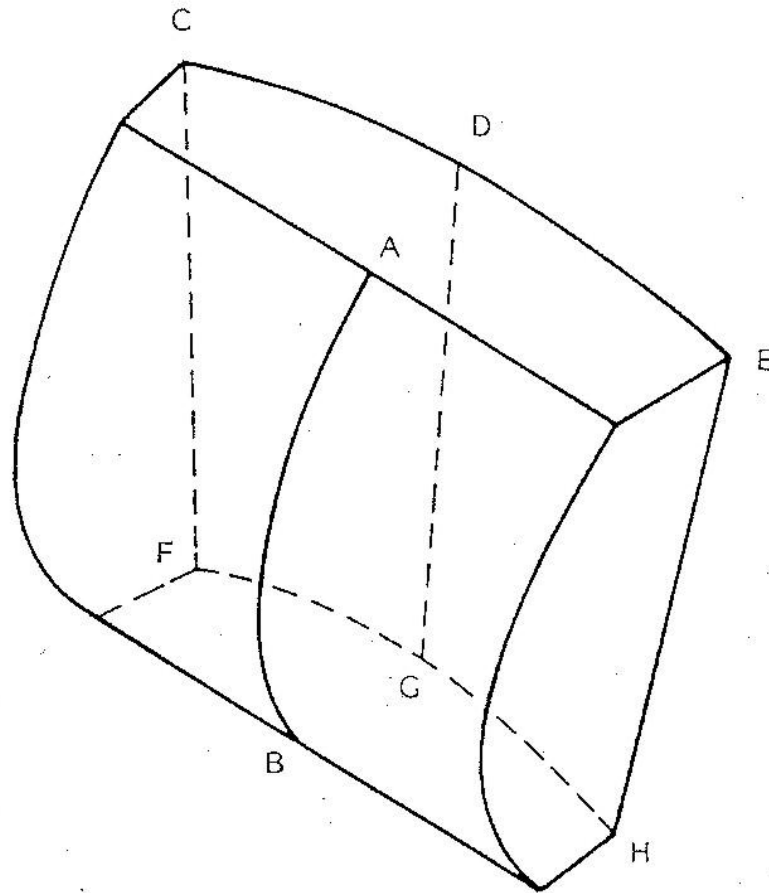


Figure 1 A schematic illustration (after Bennett, 1970) showing the Aves (1907) lens. One surface is a horizontally orientated cylinder in which the power increases continuously from A to B. The second surface of the lens consists of a portion of a conical section with a vertical axis and an inferior apex. The curvature of arc FGH is greater than CDE.

# LENTES DE FOCO VARIABLE II

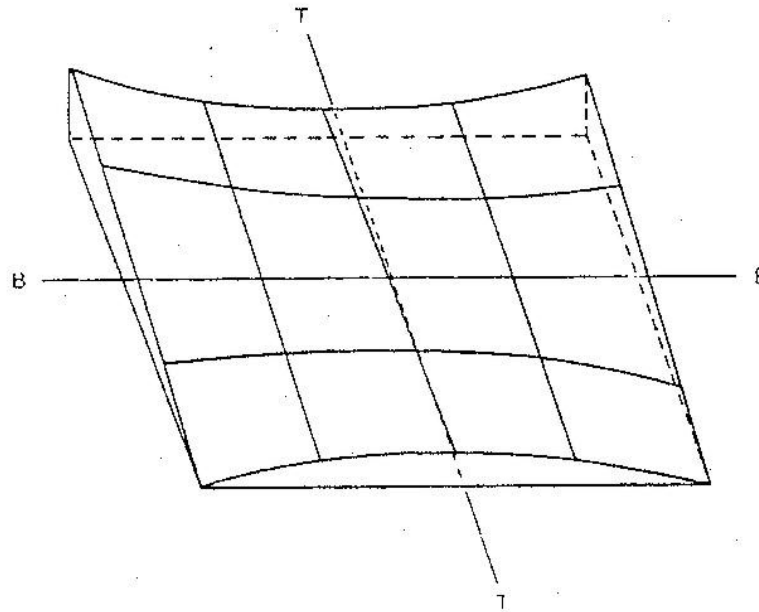
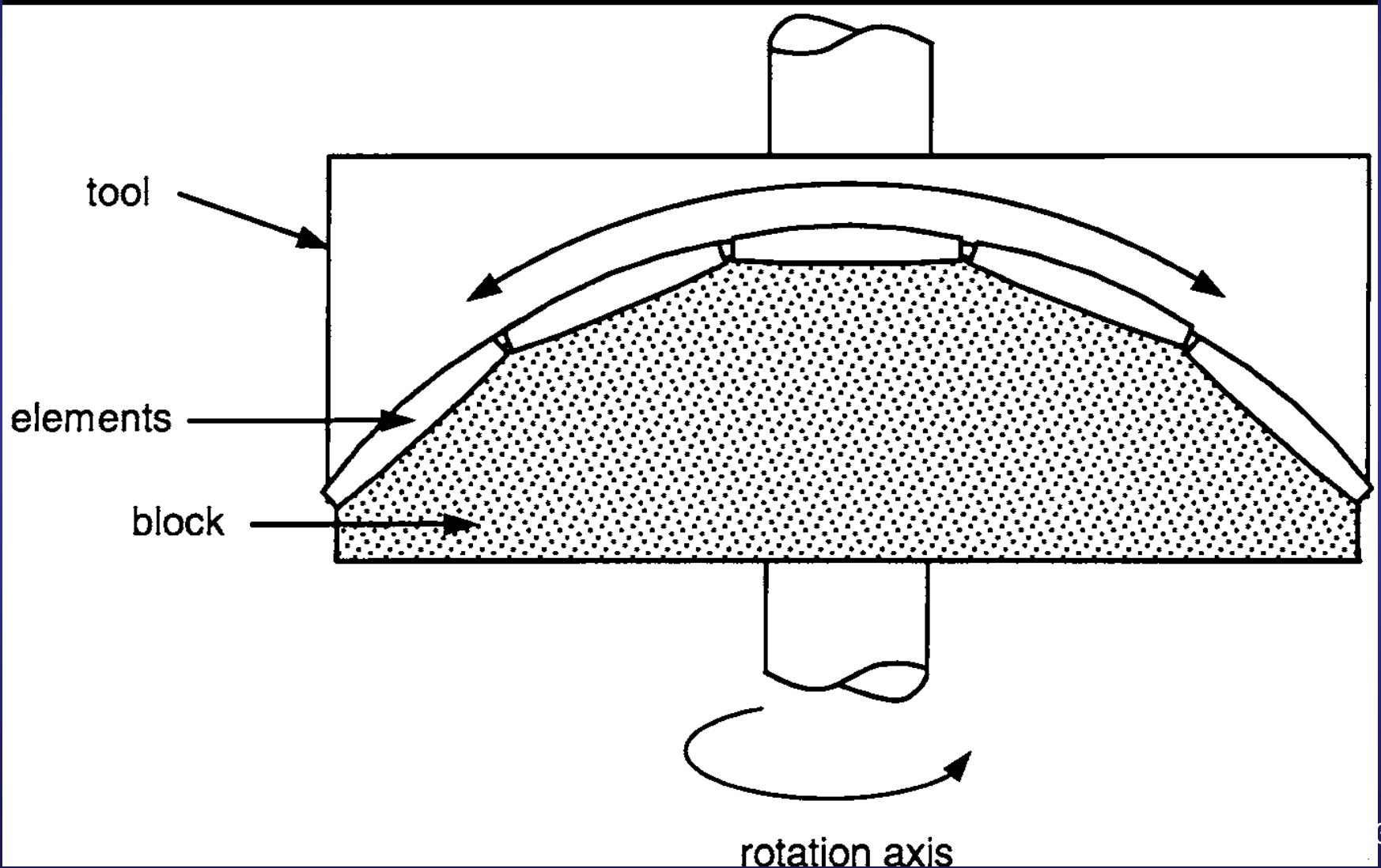


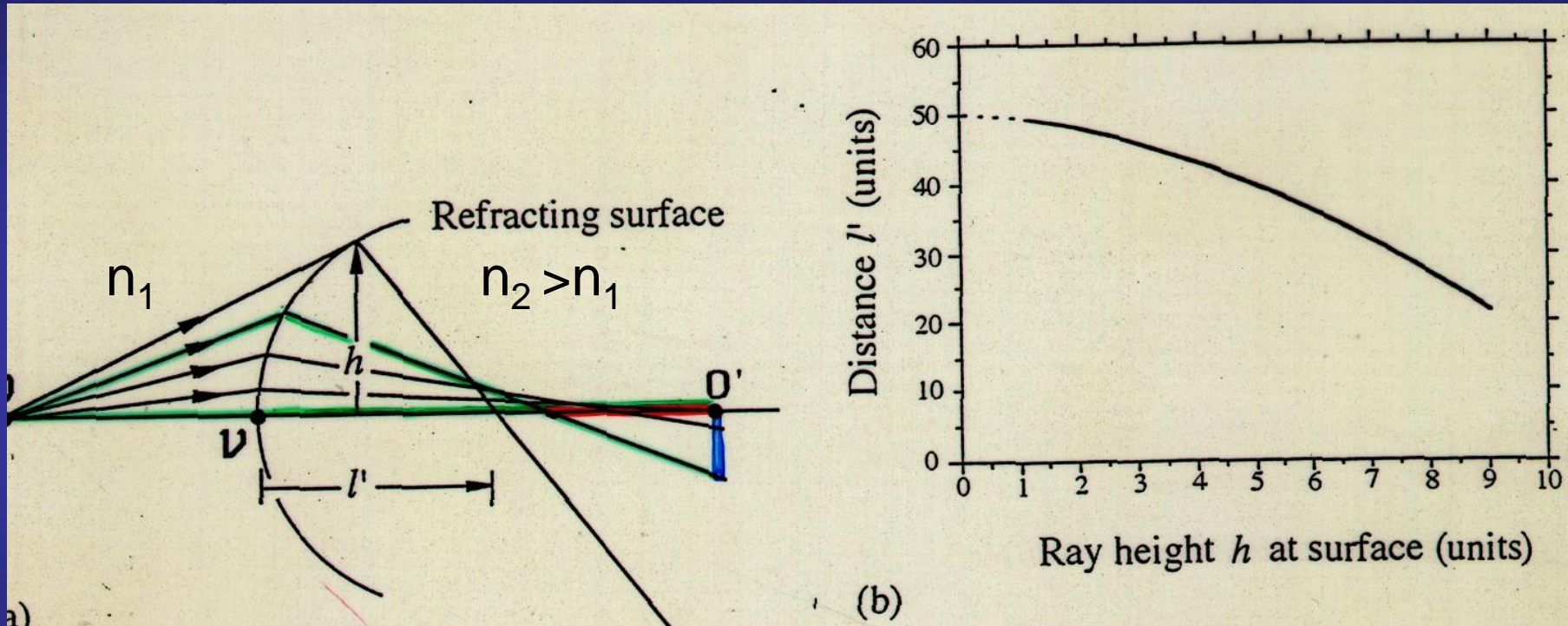
Figure 19 A schematic diagram re-drawn from Plummer's (1974) design showing the posterior (progressive) surface of the 'azygous' ophthalmic lens. The power along median line TT increases continuously from the top of the lens to the bottom. The surface power of the rear surface along line BB is zero. The lens surface shown in this diagram combined with an anterior toric surface to produce the patented polyfocal spectacle lens



# PRODUCCIÓN DE SUPERFICIES ÓPTICAS ESFÉRICAS



# ABERRACION DE UN CASQUETE ESFERICO O DIOPTRO



- Aberración longitudinal  
- Aberración transversal

# ABERRACIONES DE LAS LENTES I

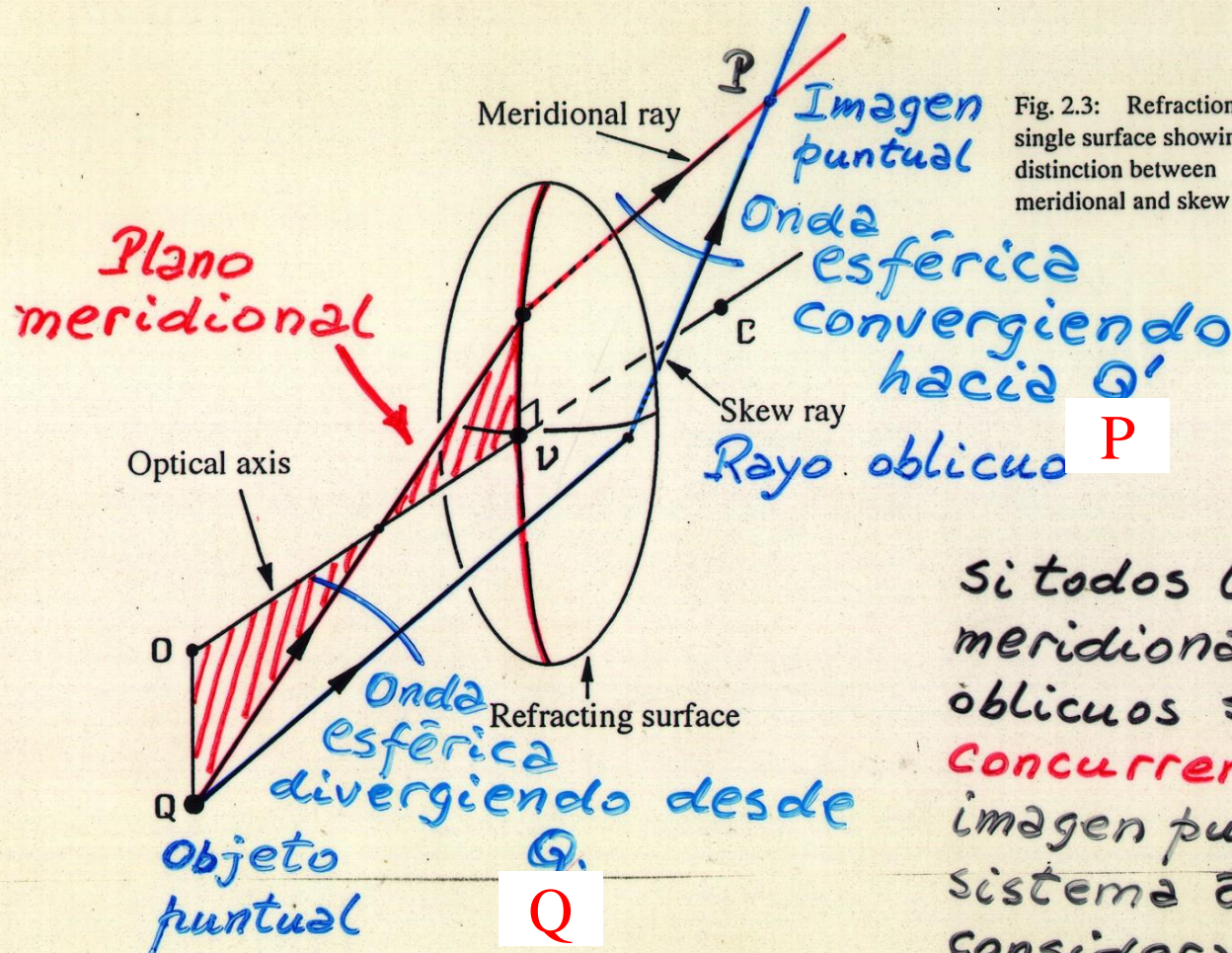


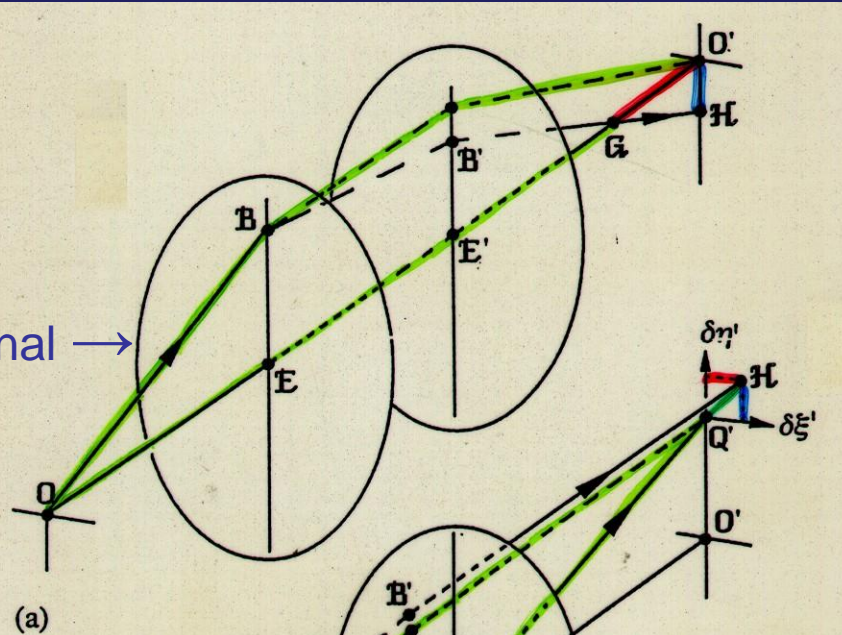
Fig. 2.3: Refraction at a single surface showing the distinction between meridional and skew rays.

Si todos los rayos meridionales y oblicuos son **concurrentes** en la imagen puntual, el sistema óptico se considera **libre de aberraciones**

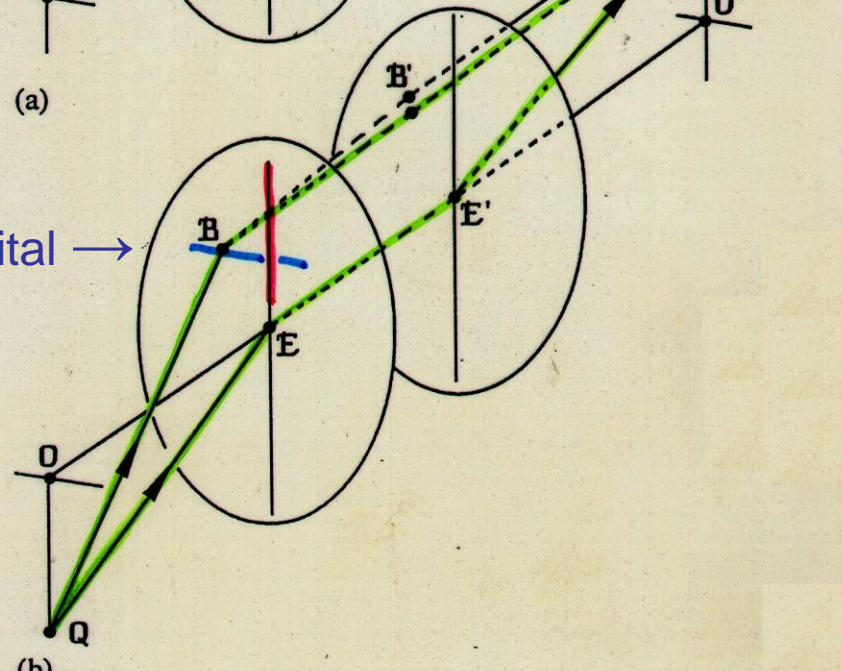
**Q y P son puntos conjugados**

# ABERRACIONES DE LAS LENTES II

Plano Meridional →

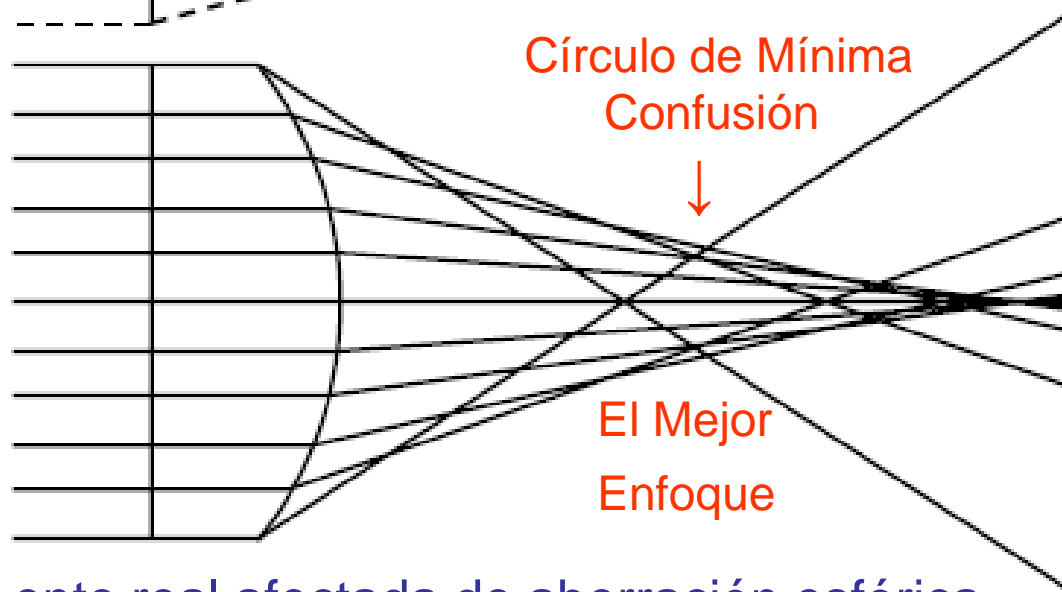
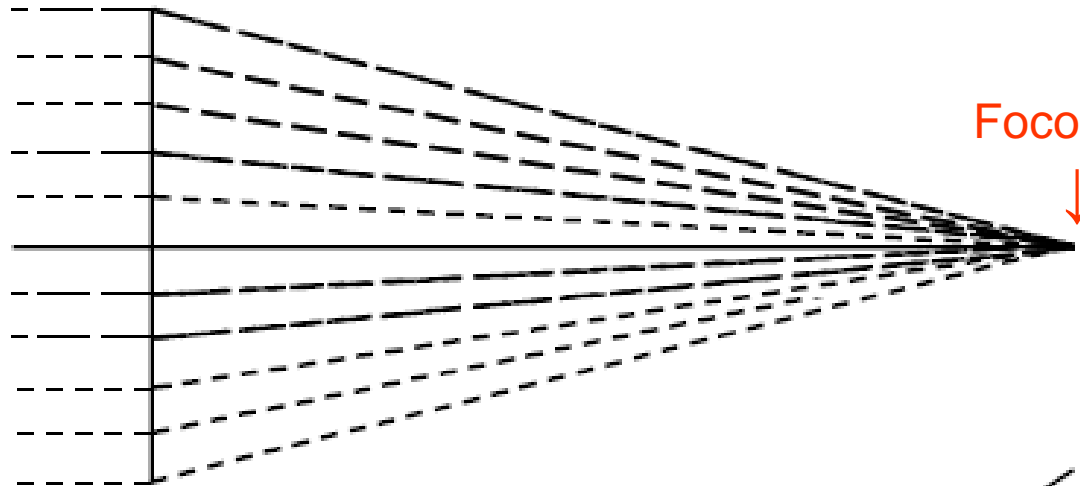


Plano Sagital →



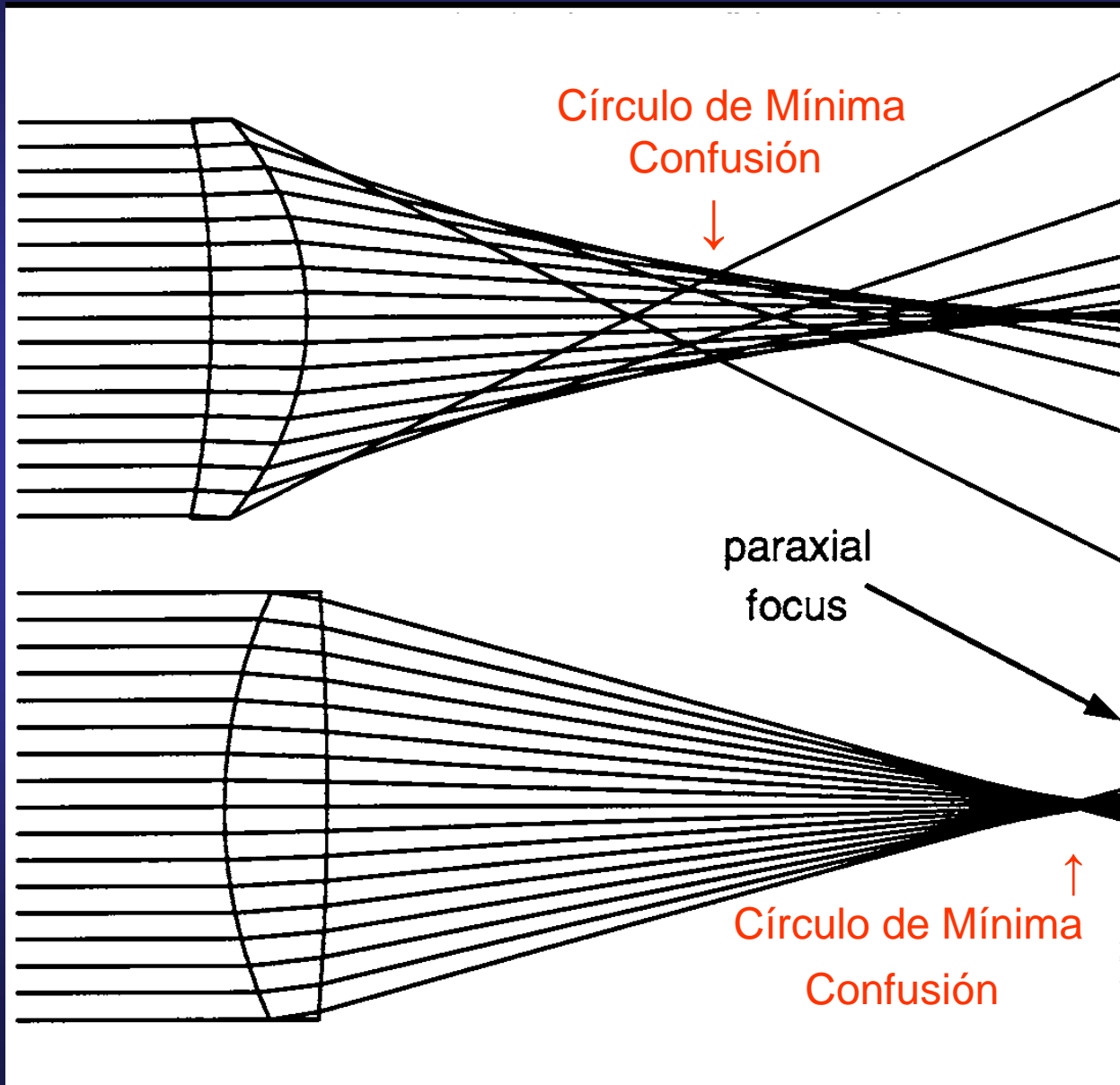
# ABERRACION ESFERICA I

Lente perfecta



Lente real afectada de aberración esférica

# ABERRACION ESFERICA II



# ABERRACION ESFERICA III

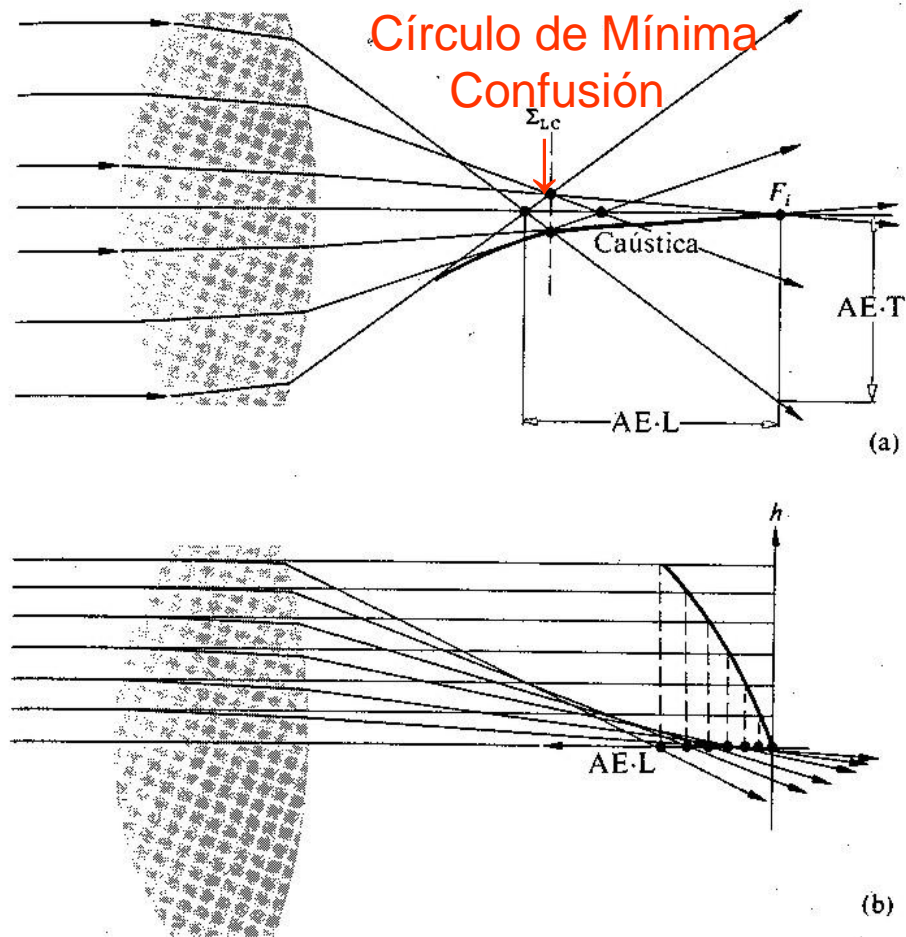


Fig. 6.13 Aberración esférica para una sola lente. La envolvente de los rayos refractados es llamada la cáustica. La intersección de los rayos marginales y la cáustica localiza el plano  $\Sigma_{LC}$ .

# ABERRACION POR COMA

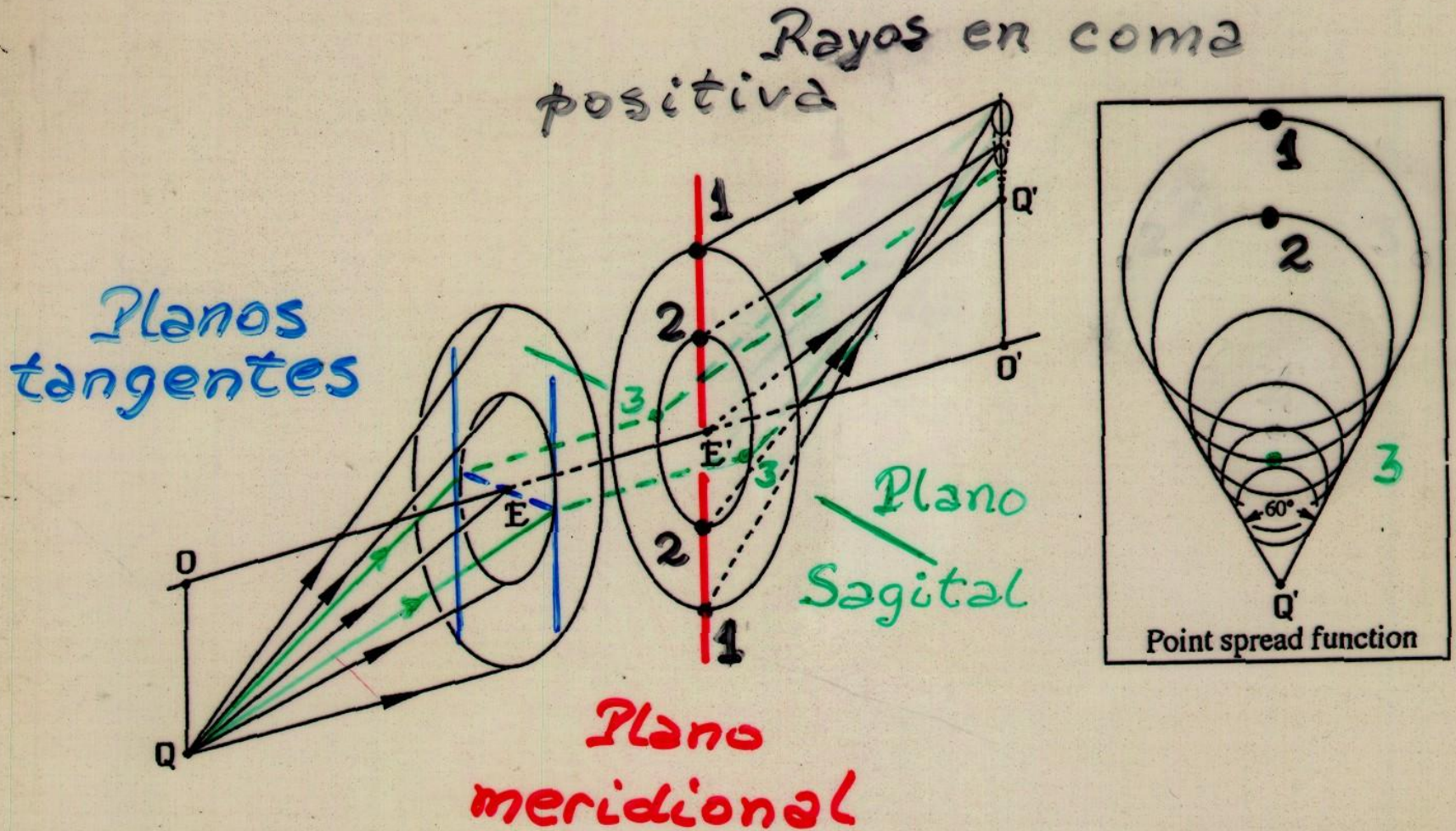
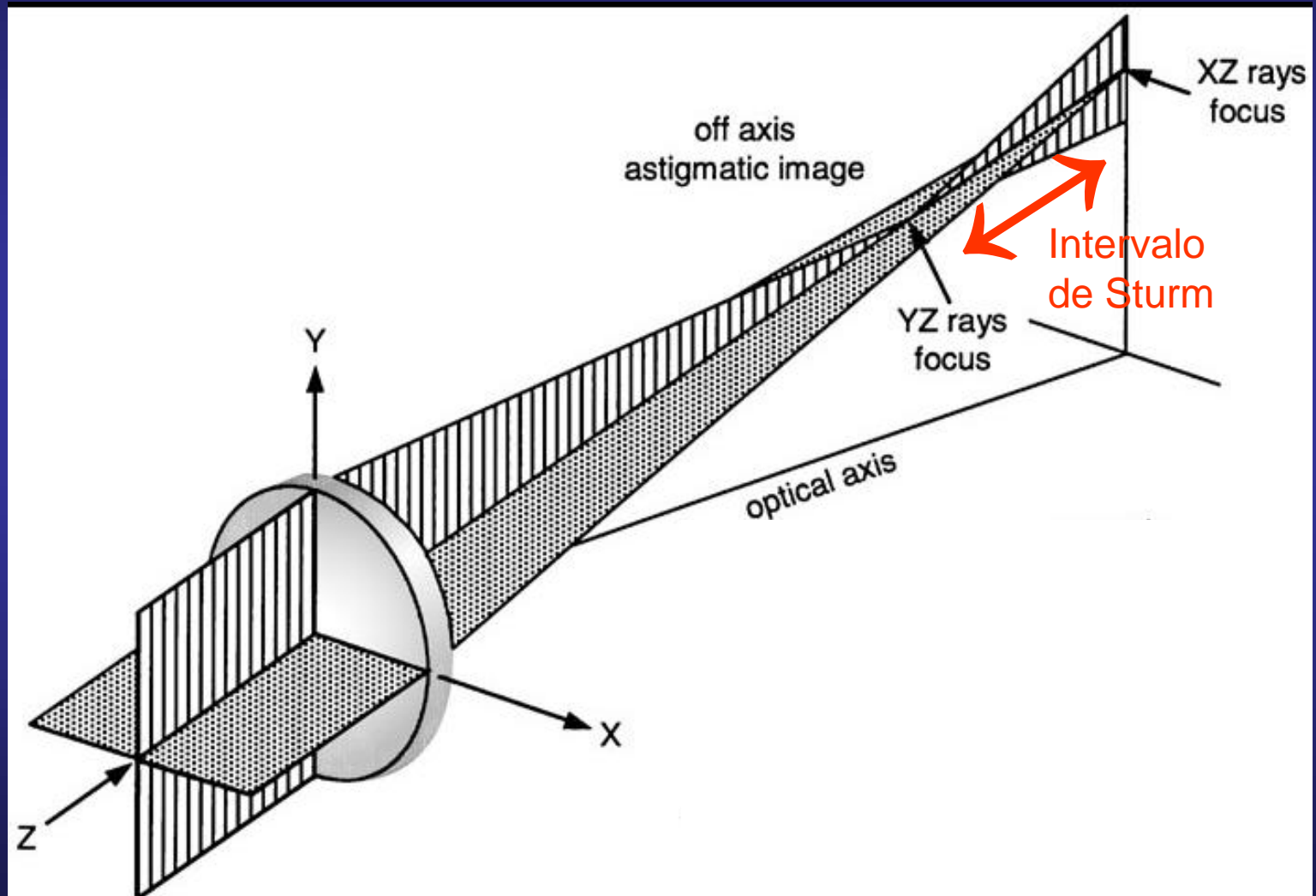


Fig. 5.3: Coma aberration.



# ABERRACION POR ASTIGMATISMO I



# ABERRACION POR ASTIGMATISMO II

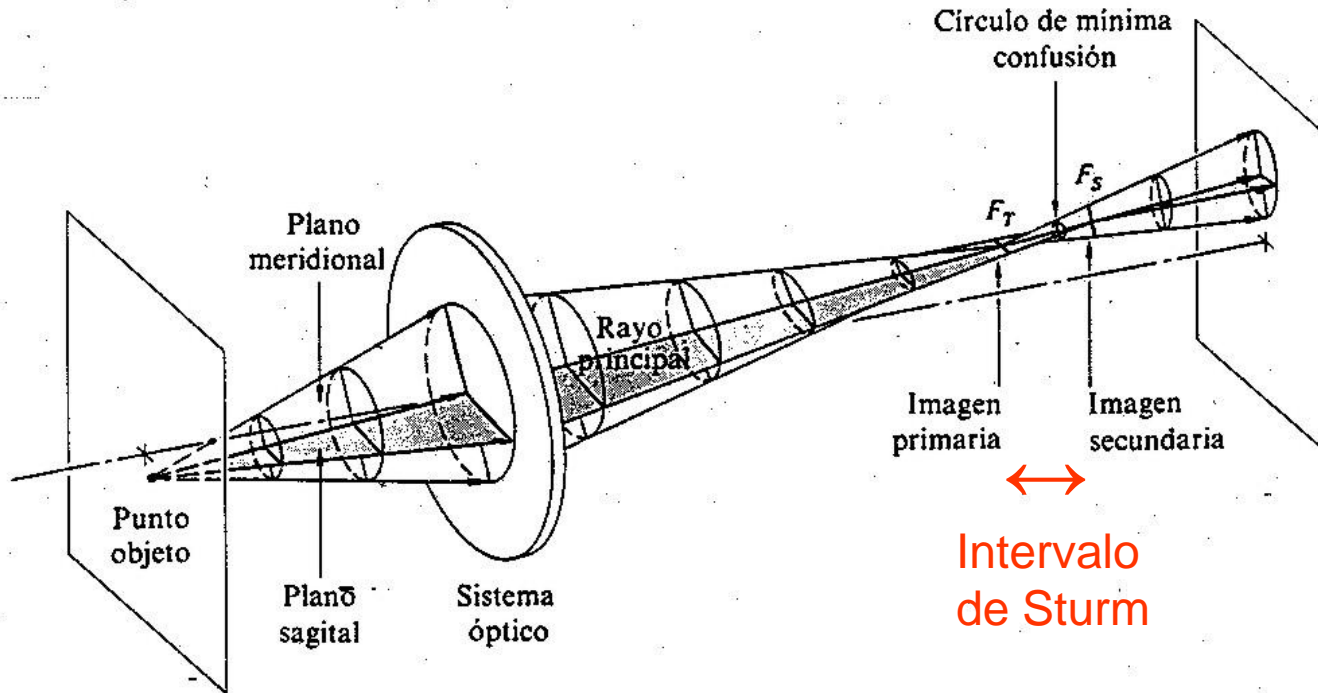


Fig. 6.23 Astigmatismo.

# ABERRACIONES POR ASTIGMATISMO III

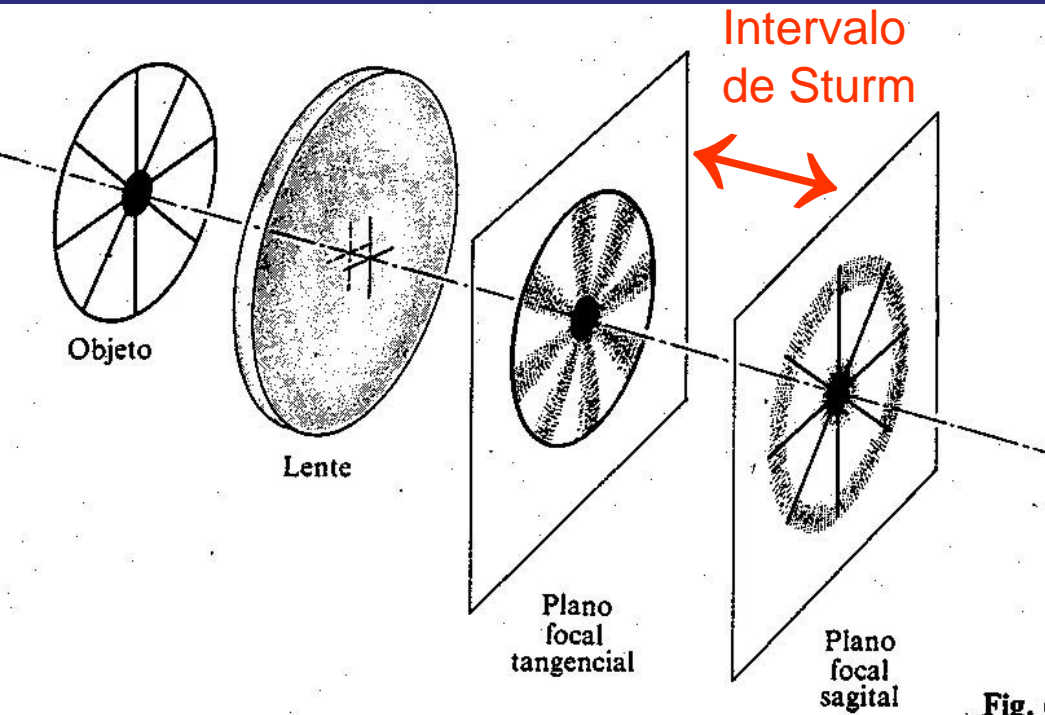
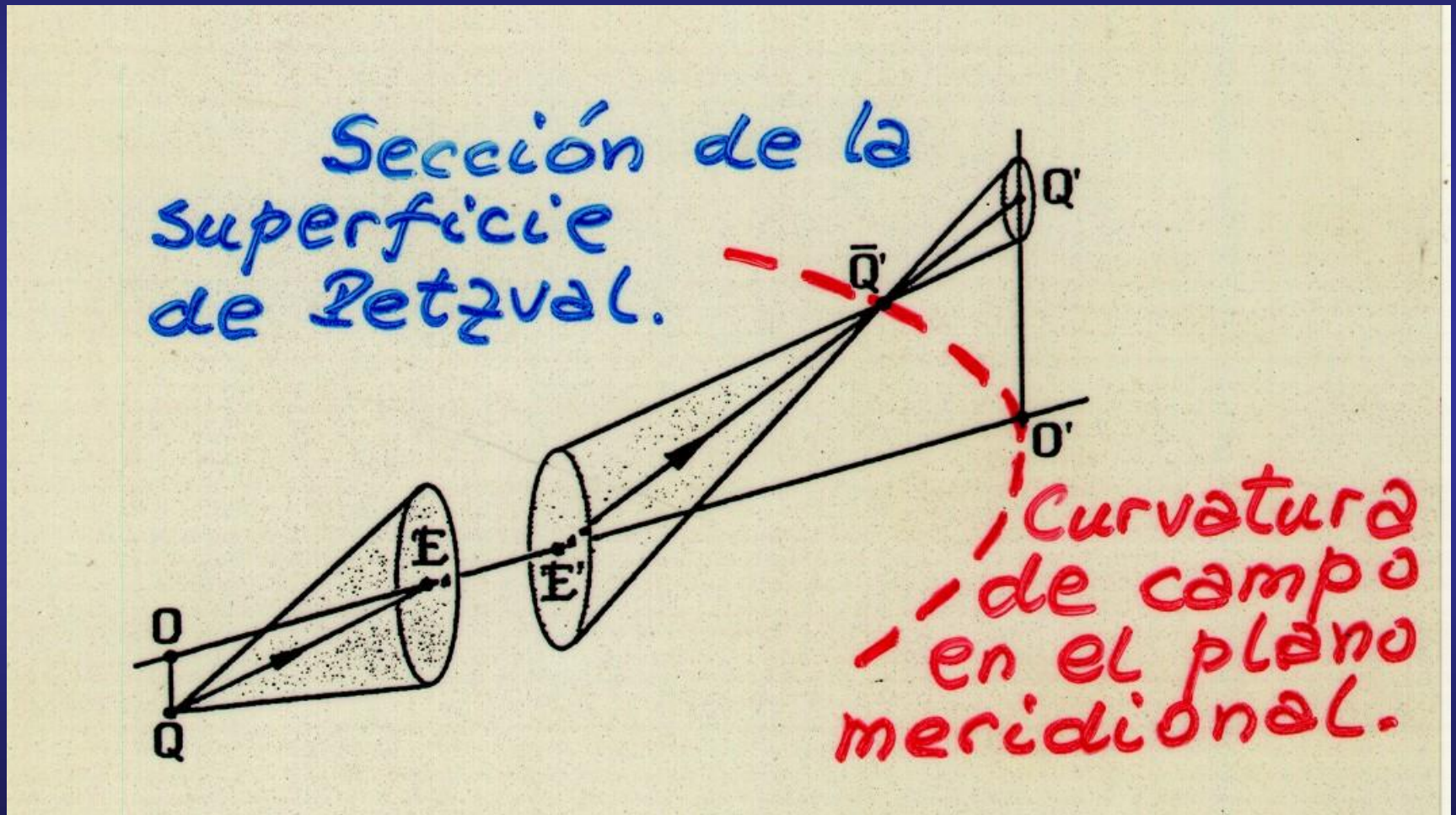
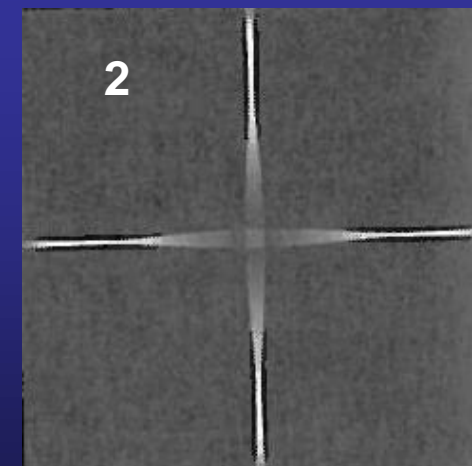
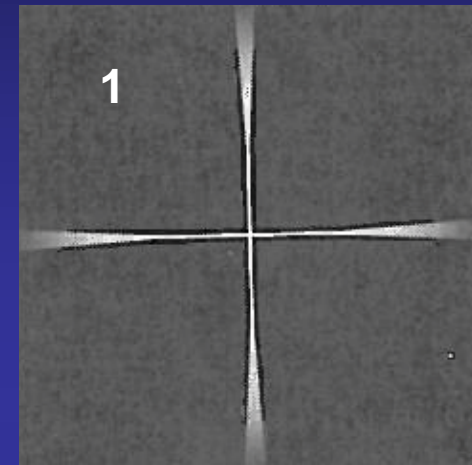
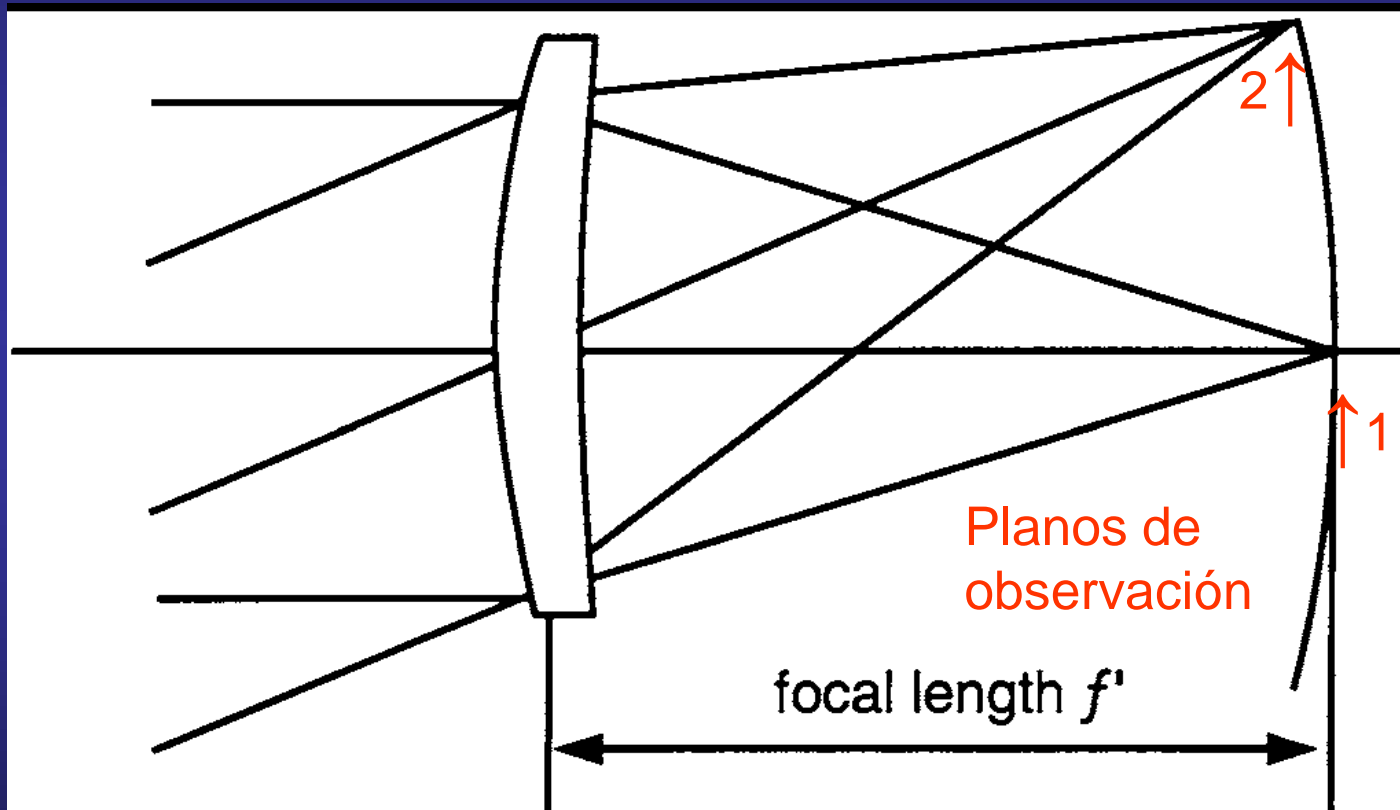


Fig. 6.24 Imágenes en los planos focal, tangencial y sagital.

# ABERRACION POR CURVATURA DE CAMPO O DE PETZVAL I



# ABERRACION POR CURVATURA DE CAMPO O DE PETZVAL II



# ABERRACION POR DISTORSION

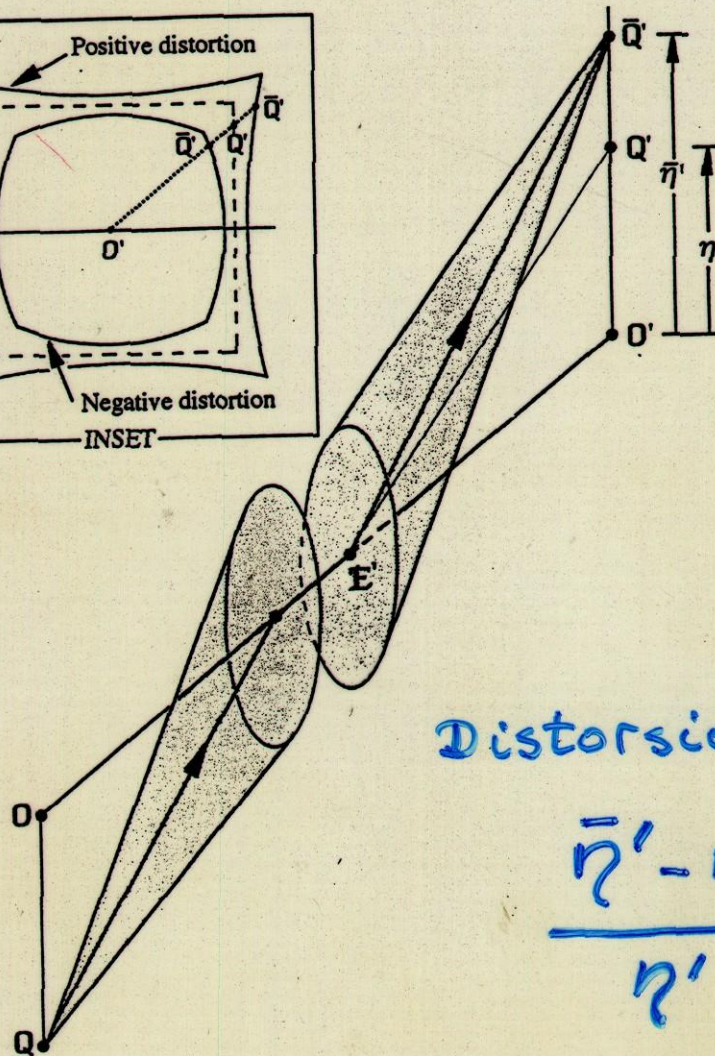
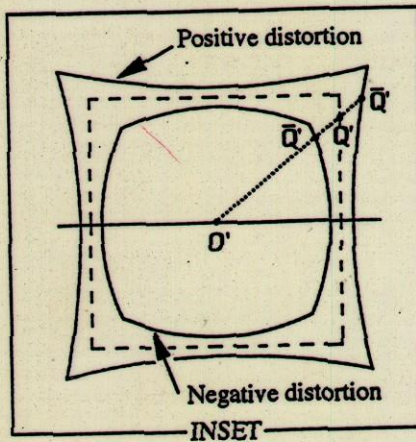
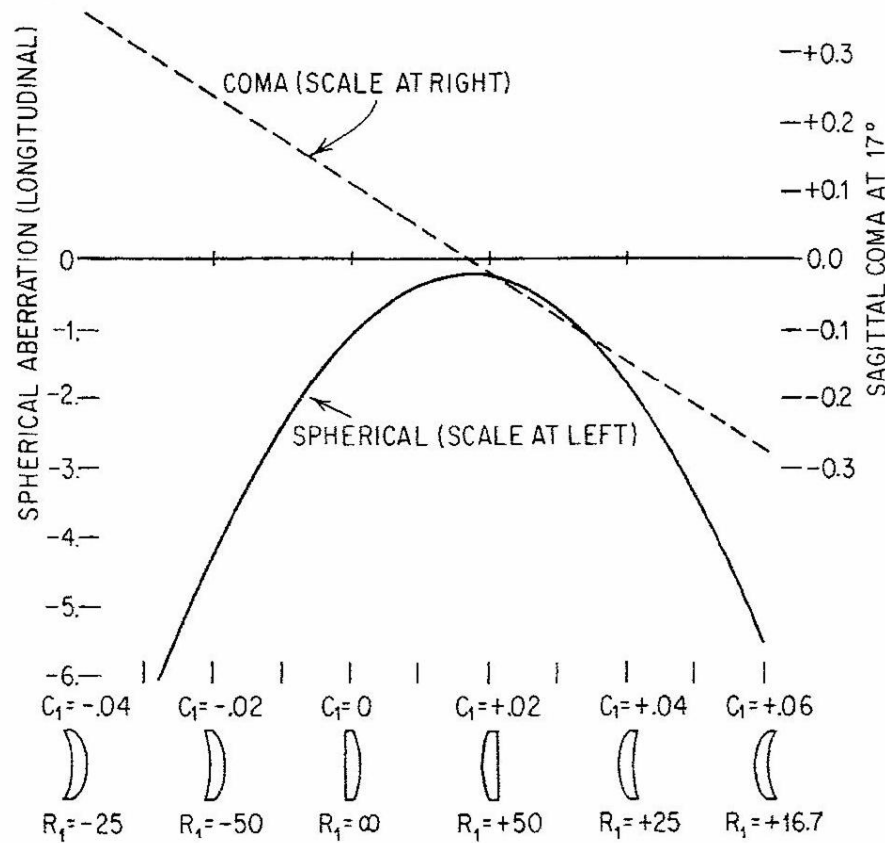


Fig. 5.8: Distortion aberration and, in the inset, the effect of distortion on the image of a square. The dashed line is the Gaussian image of the square.

Distorsión relativa:

$$\frac{\bar{\eta}' - \eta'}{\eta'} \approx 0$$

# LAS ABERRACIONES ESFERICAS Y POR COMA Y EL DISEÑO DE LAS LENTES



Factor de Forma  
o de Coddington

$$\Gamma = \frac{R_2 + R_1}{R_2 - R_1}$$

**Fig. 11.27.** Spherical aberration and coma as a function of lens shape for a 100-mm focal length lens (with a stop at the  $f/10$  lens, covering a  $\pm 17^\circ$  field). The radius of curvature of the left interface in mm is labeled as  $R_1$  – which is given in the text as  $R_{12}$ , and its reciprocal is shown as  $C_1 = 1/R_1$ . (From [555]. Reprinted with permission of McGraw-Hill)

# ABERRACION CROMATICA I

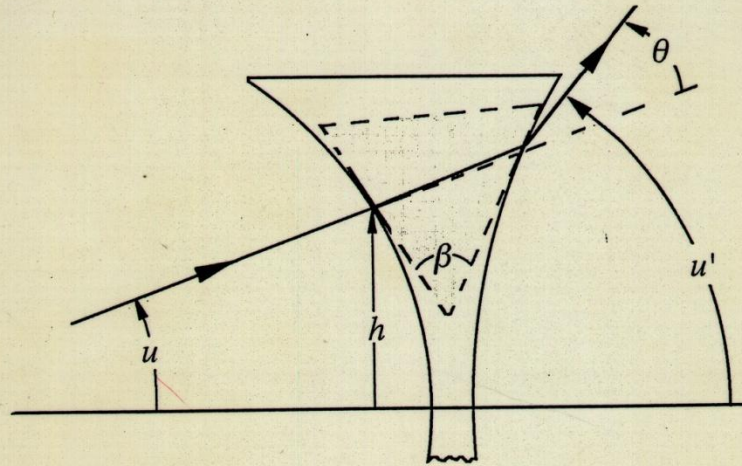
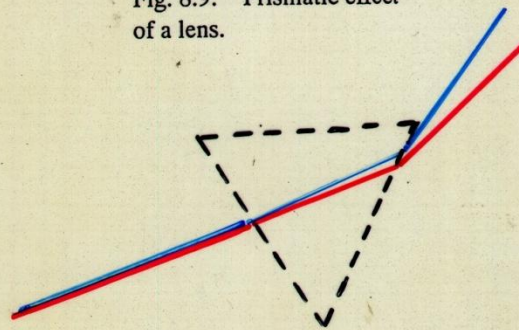


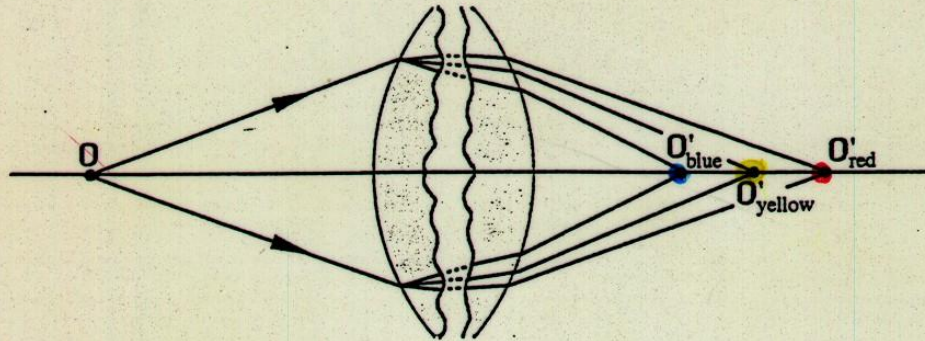
Fig. 8.9: Prismatic effect of a lens.



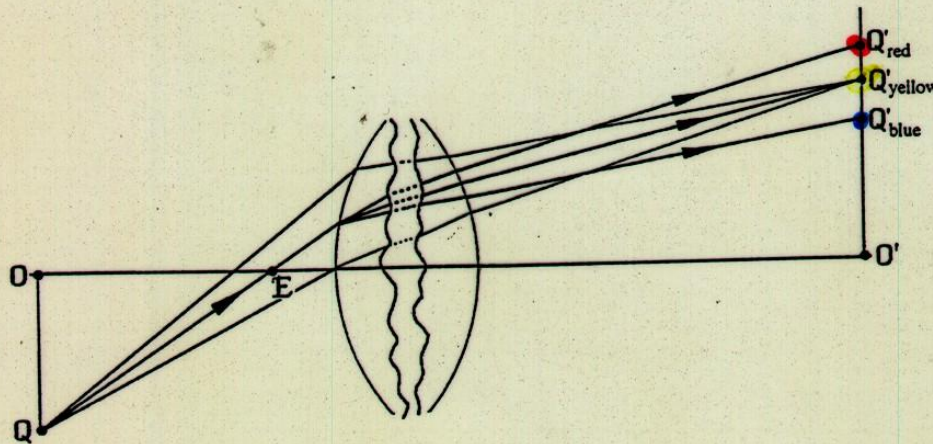
Efecto prismático y aberración cromática



# ABERRACION CROMATICA II



Aberración cromática longitudinal



Aberración cromática transversal

# DISPERSION CROMATICA DEL OJO I

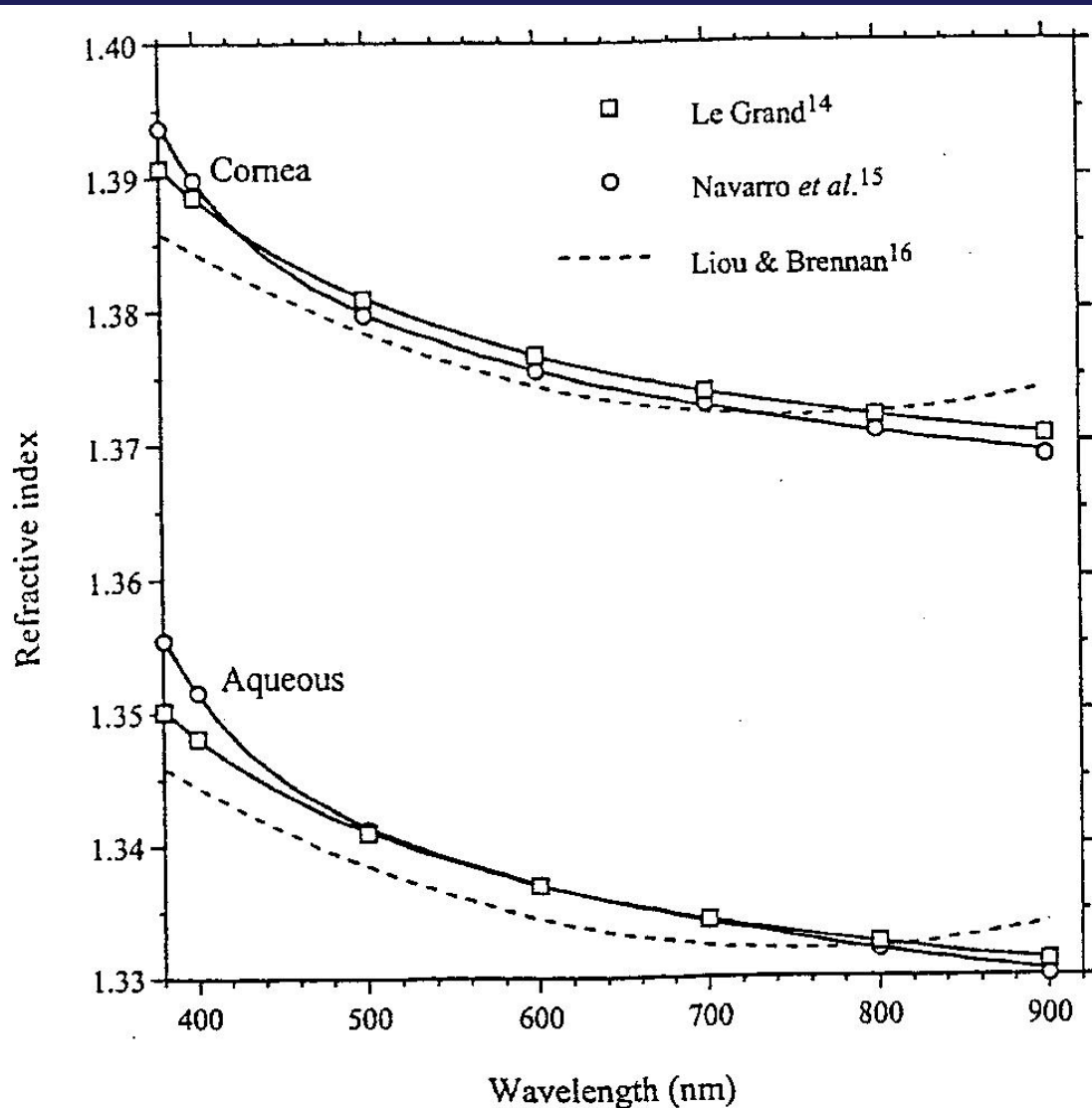


Fig. 2. Chromatic dispersions for the cornea and aqueous from studies of Le Grand,<sup>14</sup> Navarro et al.,<sup>15</sup> and Liou and Brennan.<sup>16</sup>

# DISPERSION CROMATICA DEL OJO II

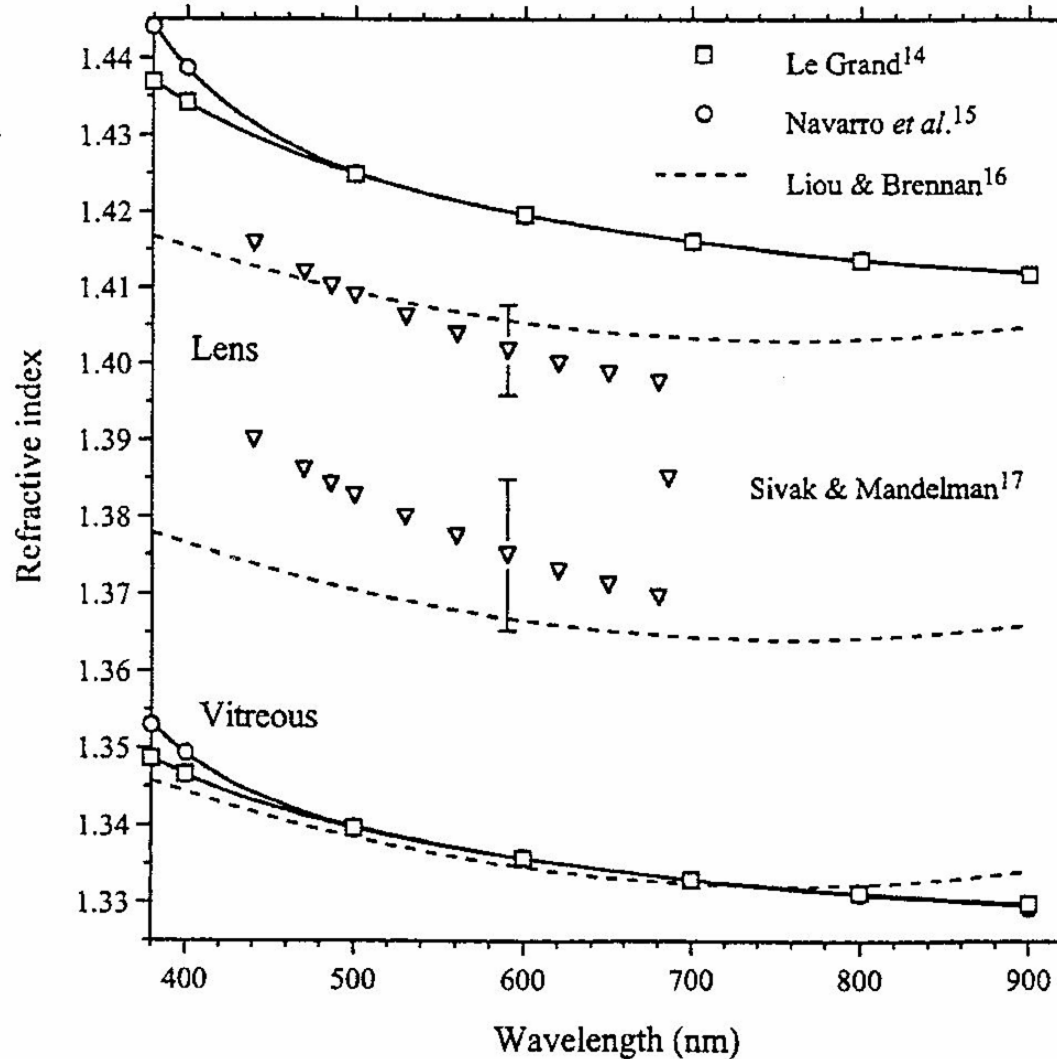
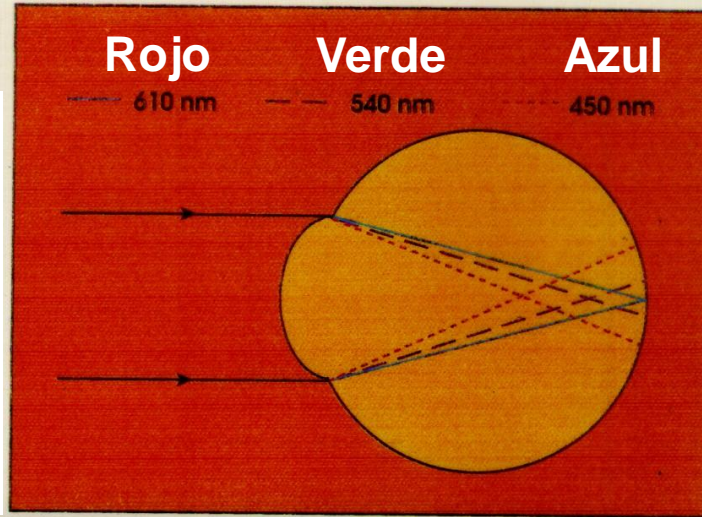


Fig. 3. Chromatic dispersions for the lens and vitreous from studies of Le Grand,<sup>14</sup> Navarro *et al.*,<sup>15</sup> and Liou and Brennan<sup>16</sup> and for the "high" and "low" lens from Sivak and Mandelbaum.<sup>17</sup>

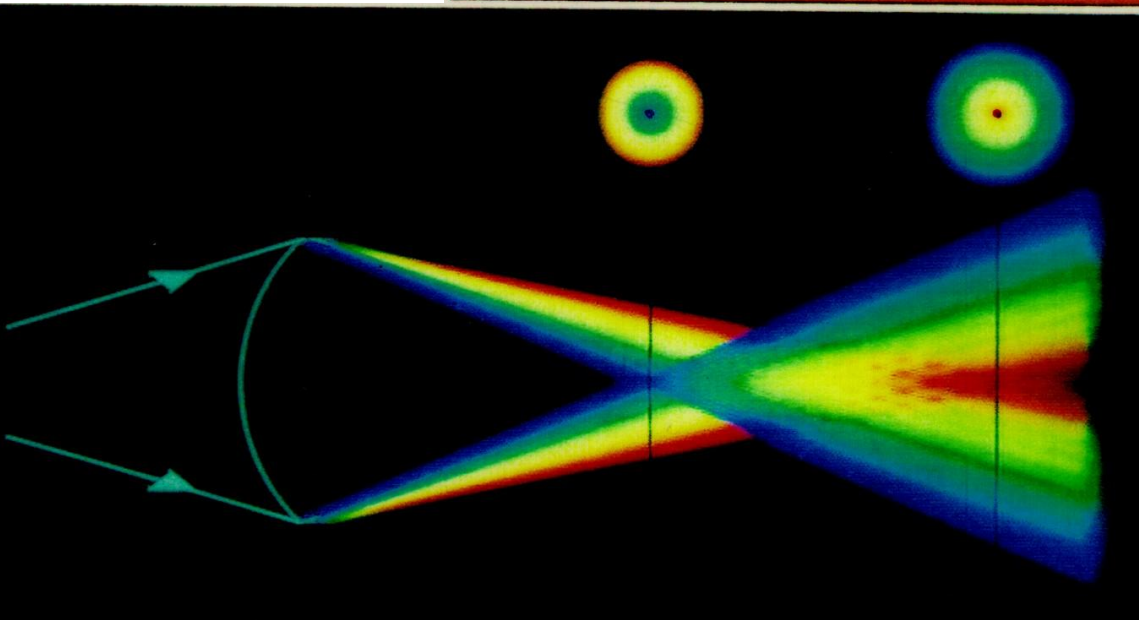
# Aberración cromática del ojo humano

> 2,5 D

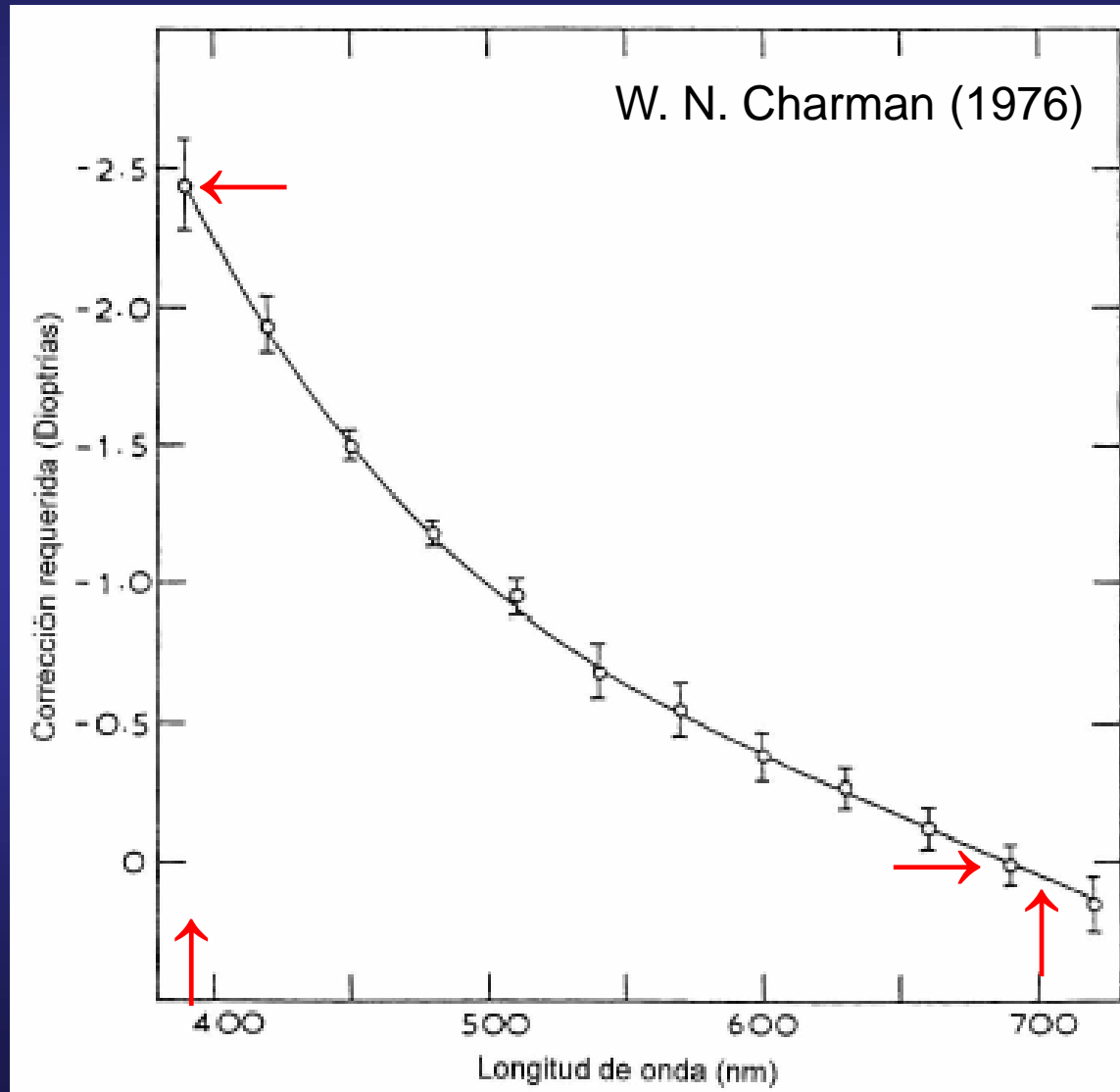
Aberración cromática longitudinal y PSF antes y después del foco verde



# ABERRACION CROMATICA DEL OJO HUMANO I



# ABERRACION CROMATICA DEL OJO HUMANO II



# IMAGENES DE PURKINJE Y ACOMODACION

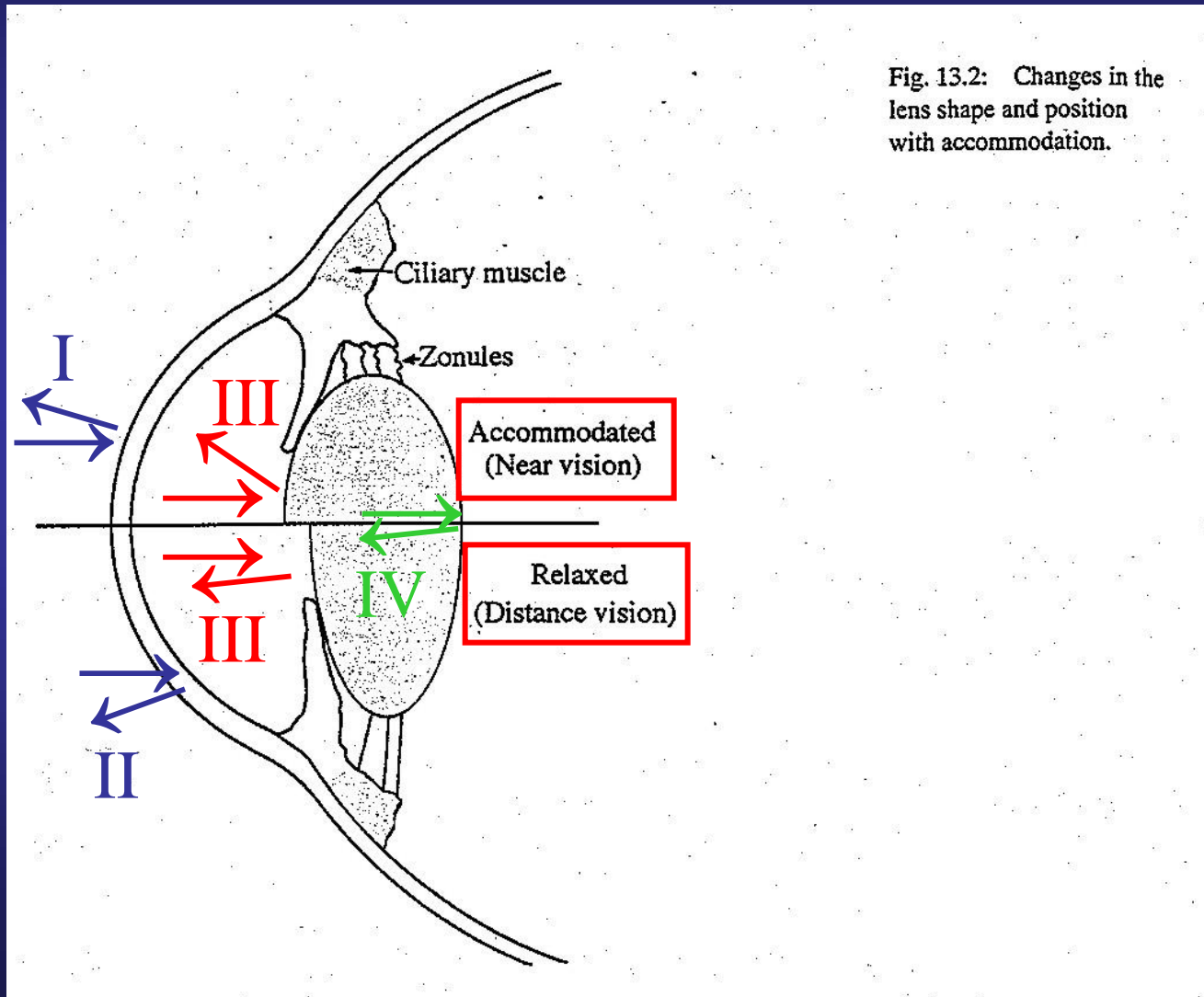
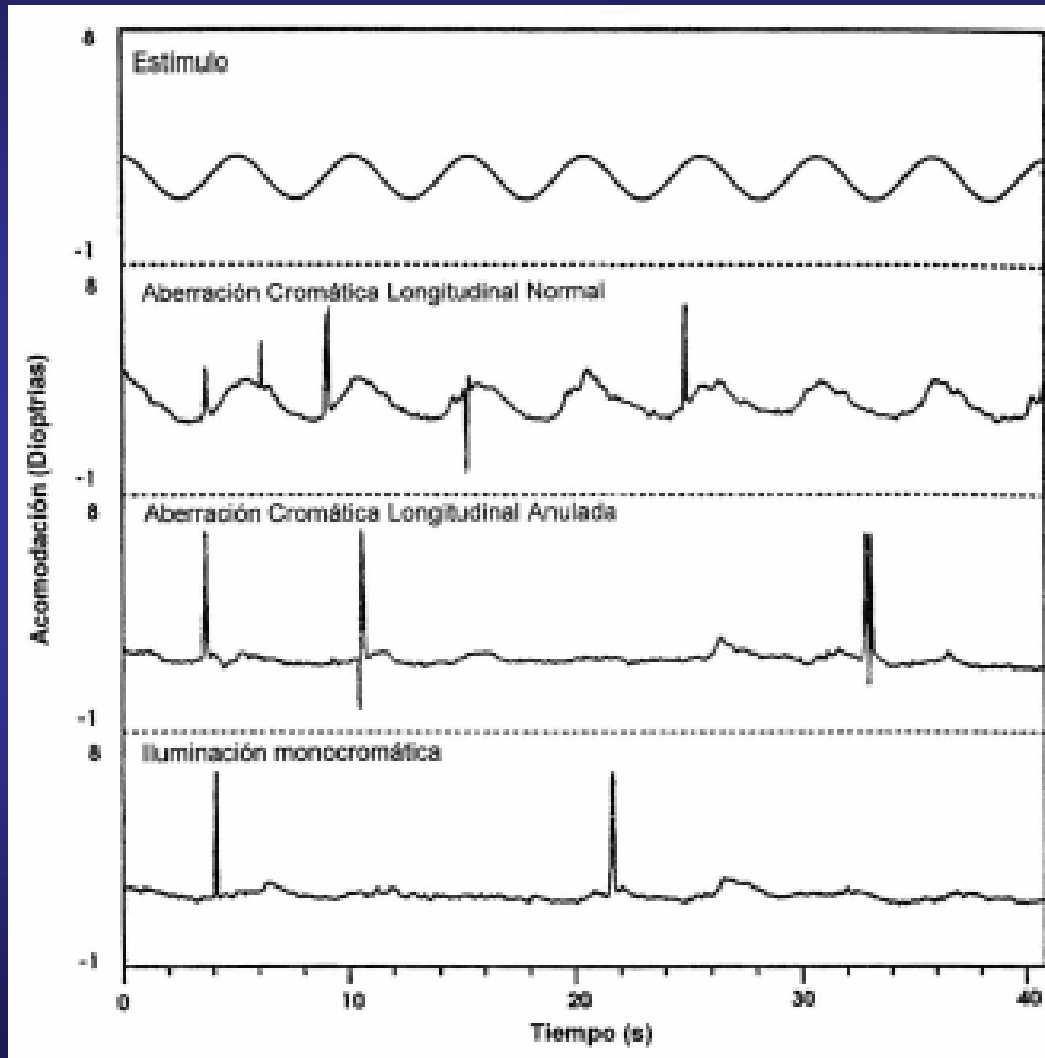


Fig. 13.2: Changes in the lens shape and position with accommodation.

# ABERRACION CROMATICA DEL OJO HUMANO IV



A. van Meeteren, *Optica Acta* 21, 395-412 (1974)

# LENTES ASFERICAS CON SIMETRIA ROTACIONAL Y DE FOCO VARIABLE

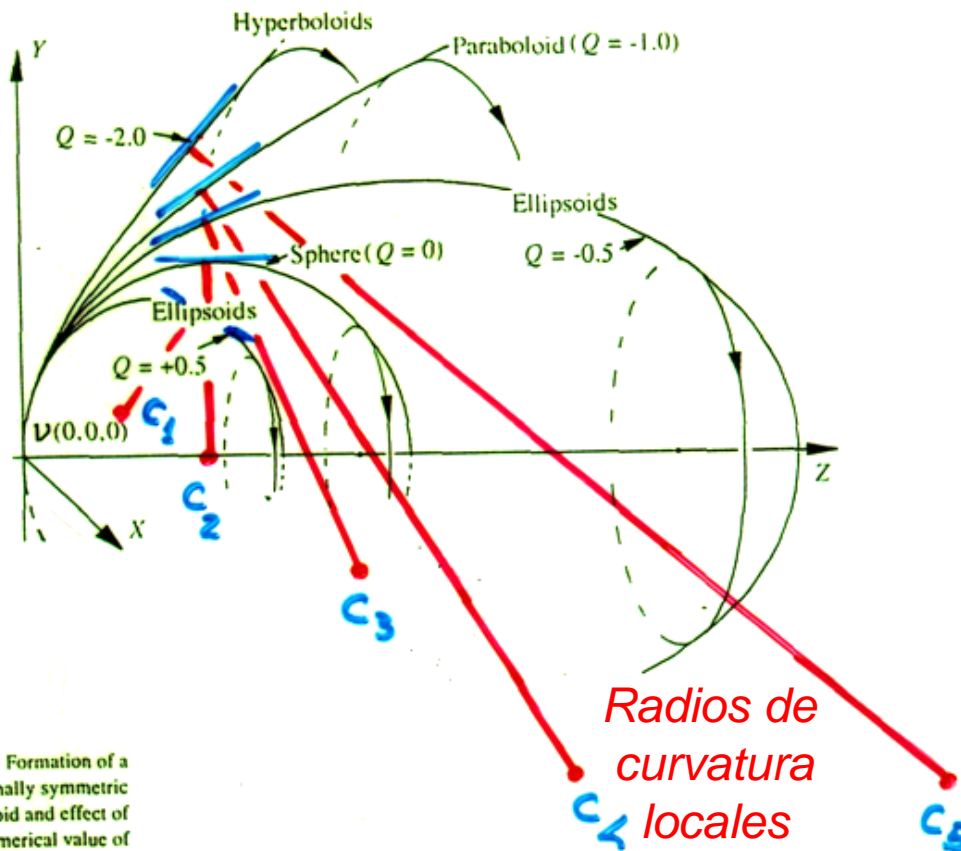
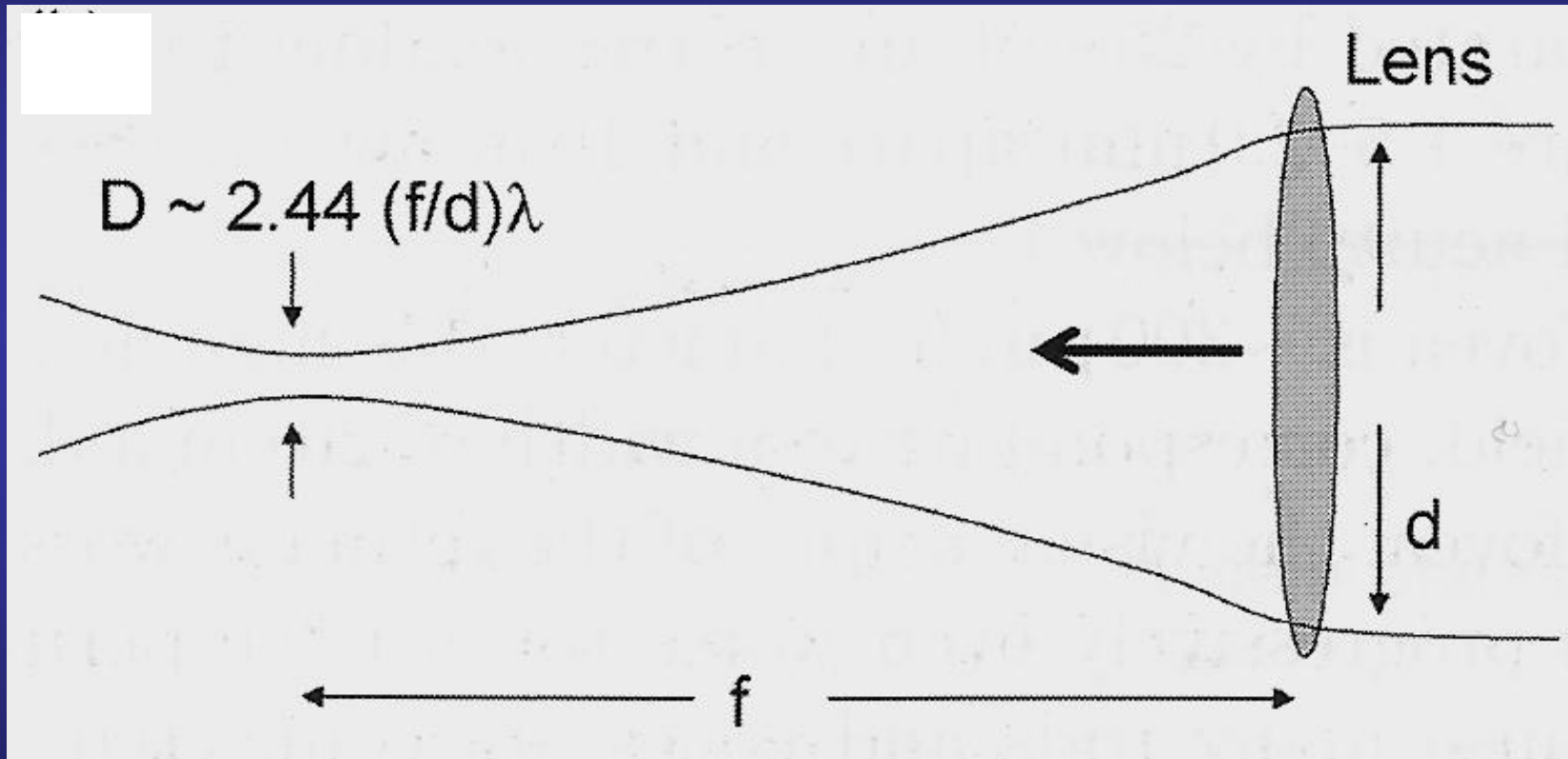


Fig. 5.14: Formation of a rotationally symmetric conicoid and effect of numerical value of asphericity  $Q$  on the shape of a conic. All curves have same curvature at vertex  $v$ .

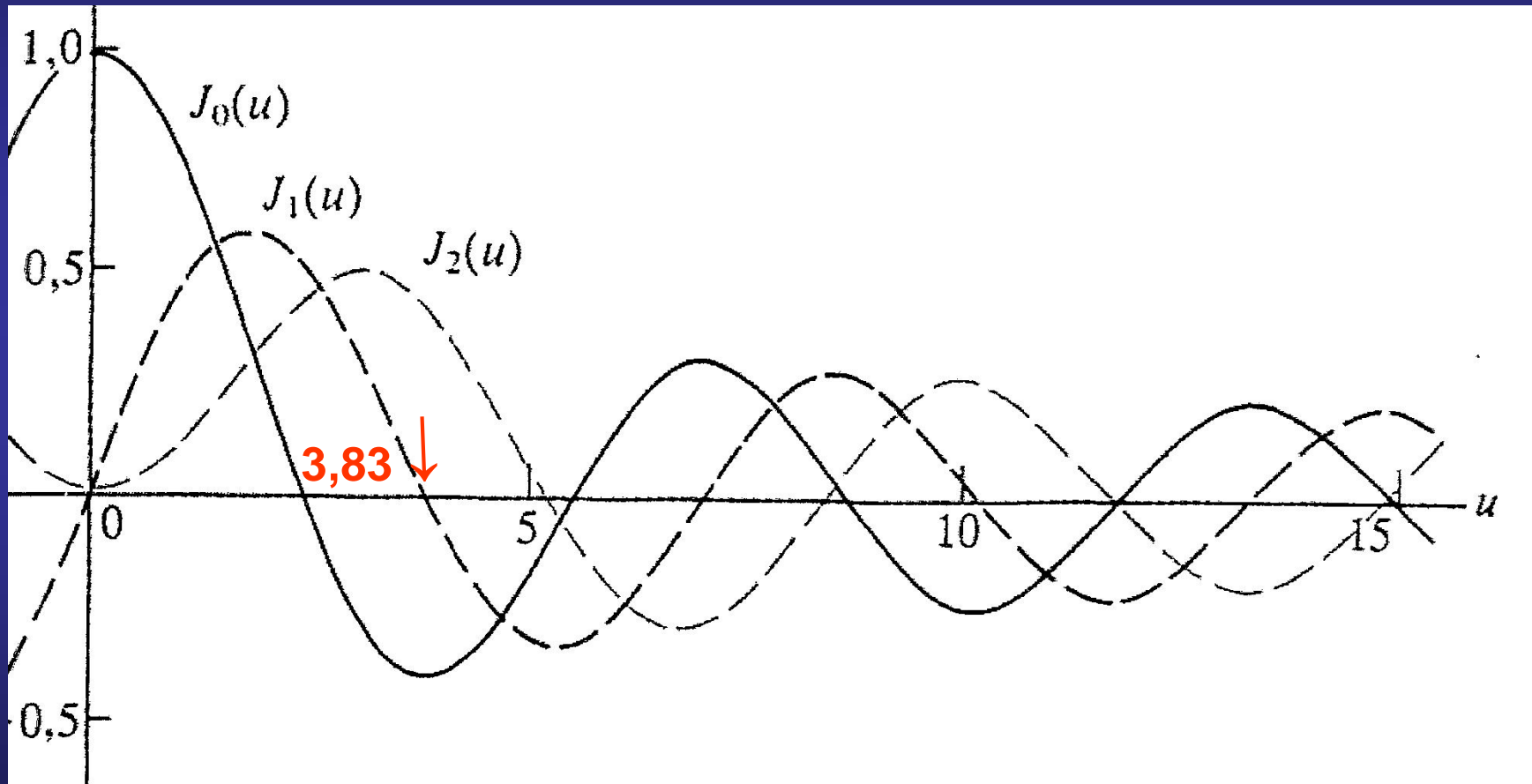
- $C_1$ : Centros de curvatura locales
- $C_1$ : Elipsoide Prolado
- $C_2$ : Esfera
- $C_3$ : Elipsoide Oblado
- $C_4$ : Paraboloide
- $C_5$ : Hiperboloide



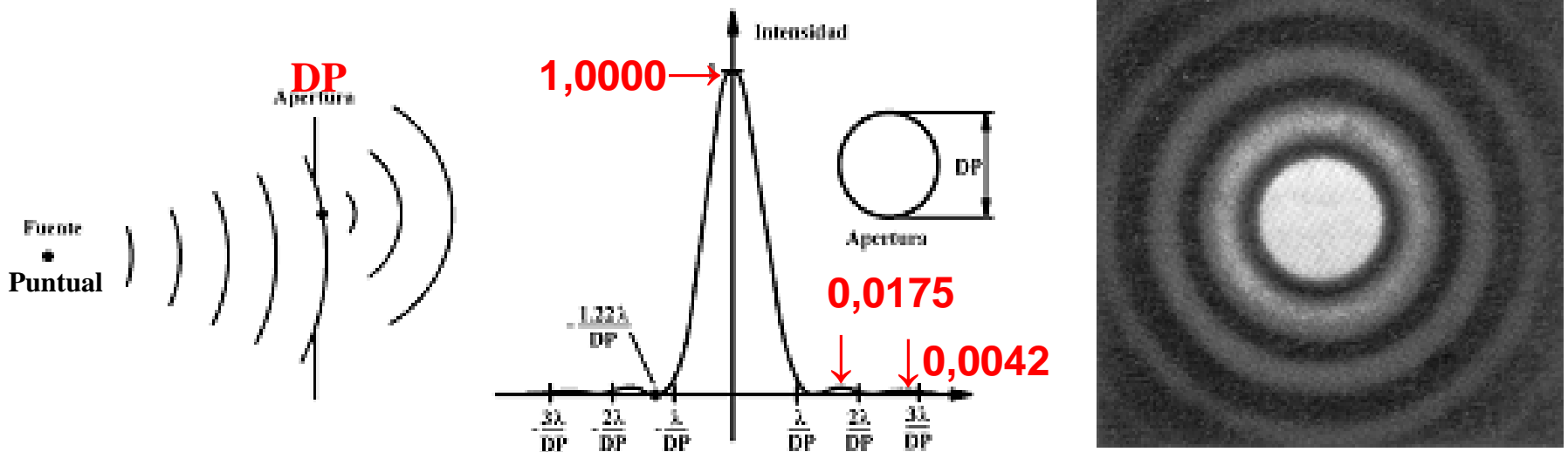
# DIFRACCION POR LA APERTURA CIRCULAR DE UNALENTE



# DIFRACCION POR LA APERTURA CIRCULAR DE UNA LENTE Y LA FUNCION DE BESSEL $J_1$



# DIFRACCION POR UNA PUPILA CIRCULAR

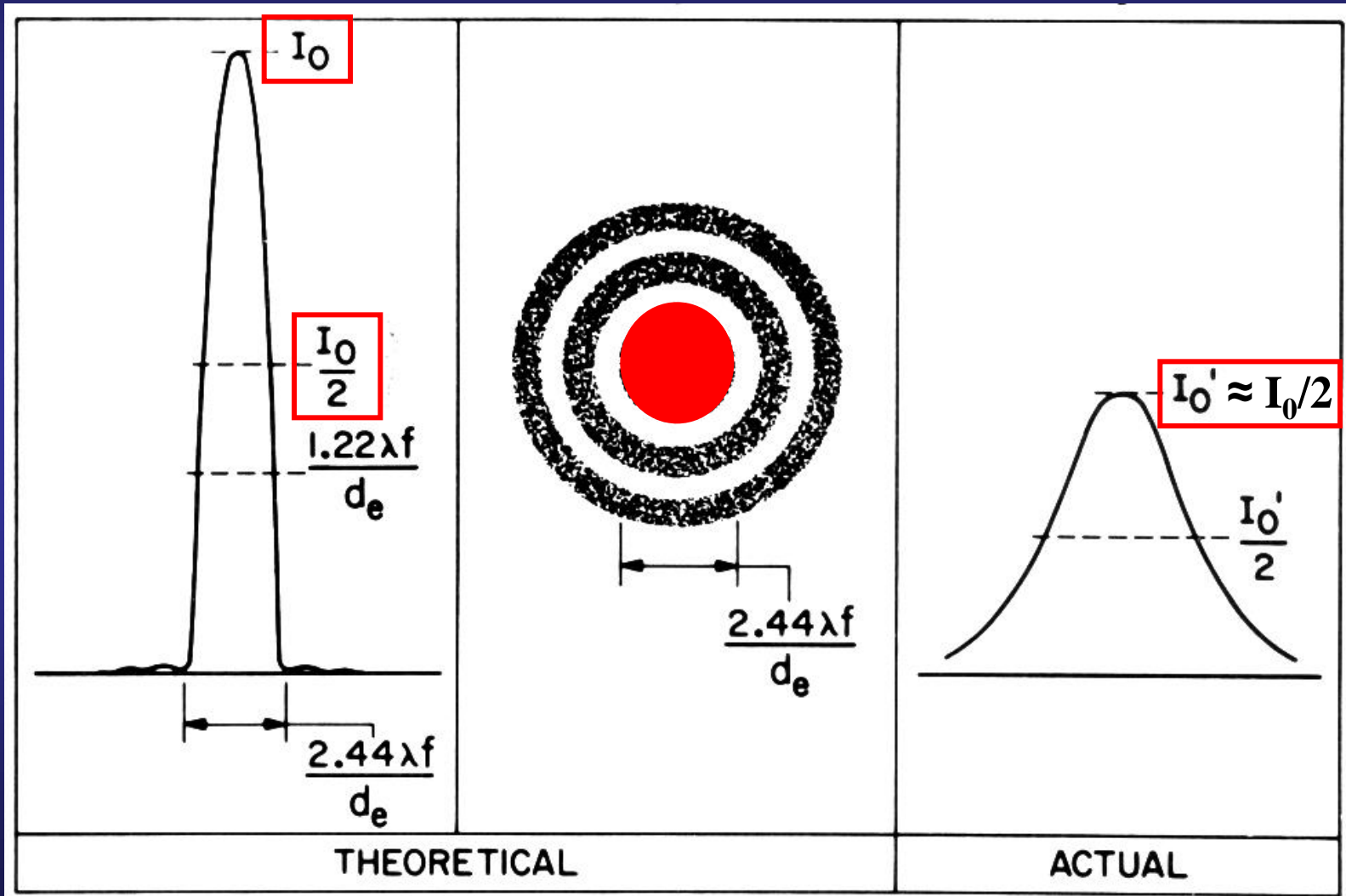


Difracción de la luz en una pupila circular de diametro DP para ángulos de incidencia nulo.

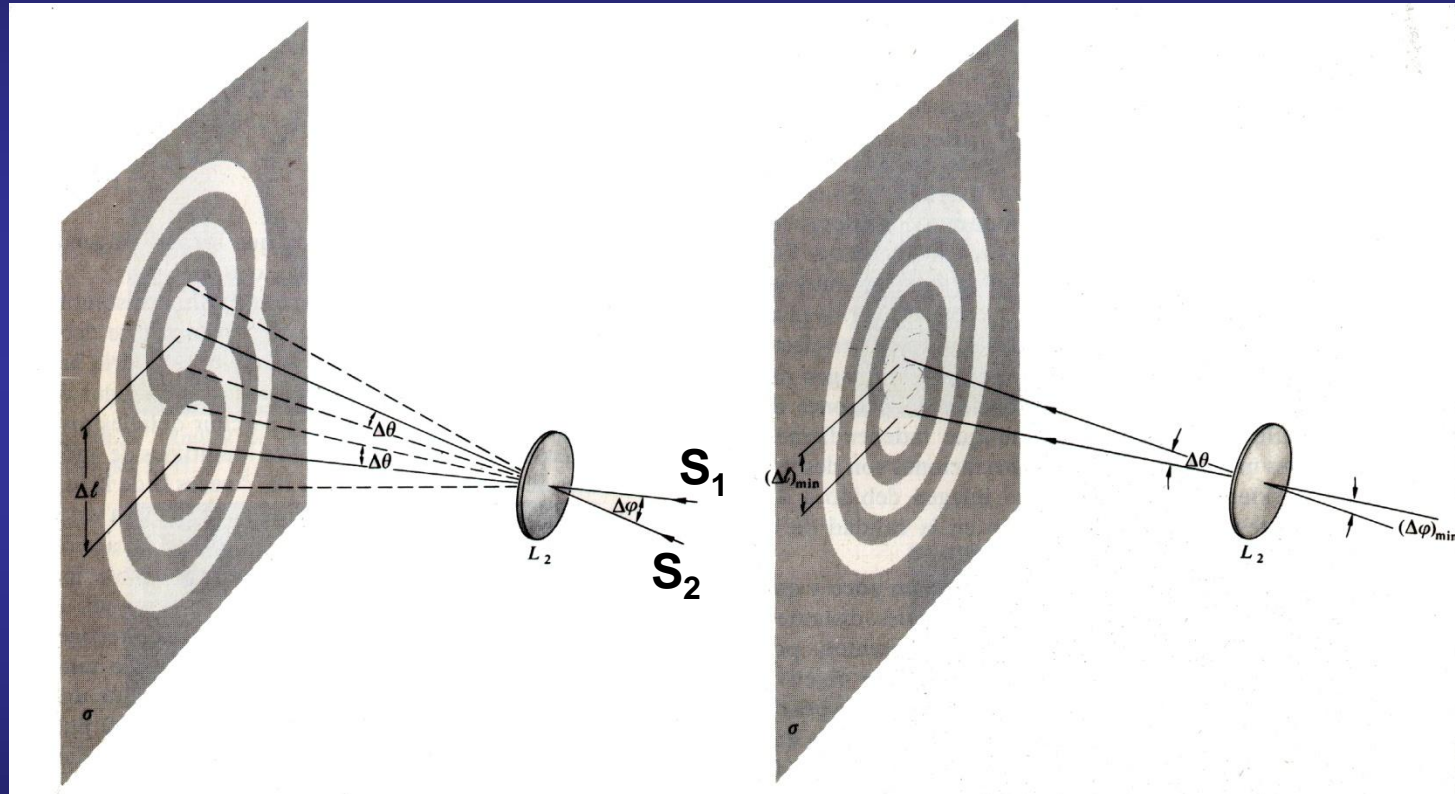
**Distribución de Airy o *Point Spread Function* (PSF)**

**o Función de Punto Difractado**

# IMAGEN DE LA PSF EN LA RETINA

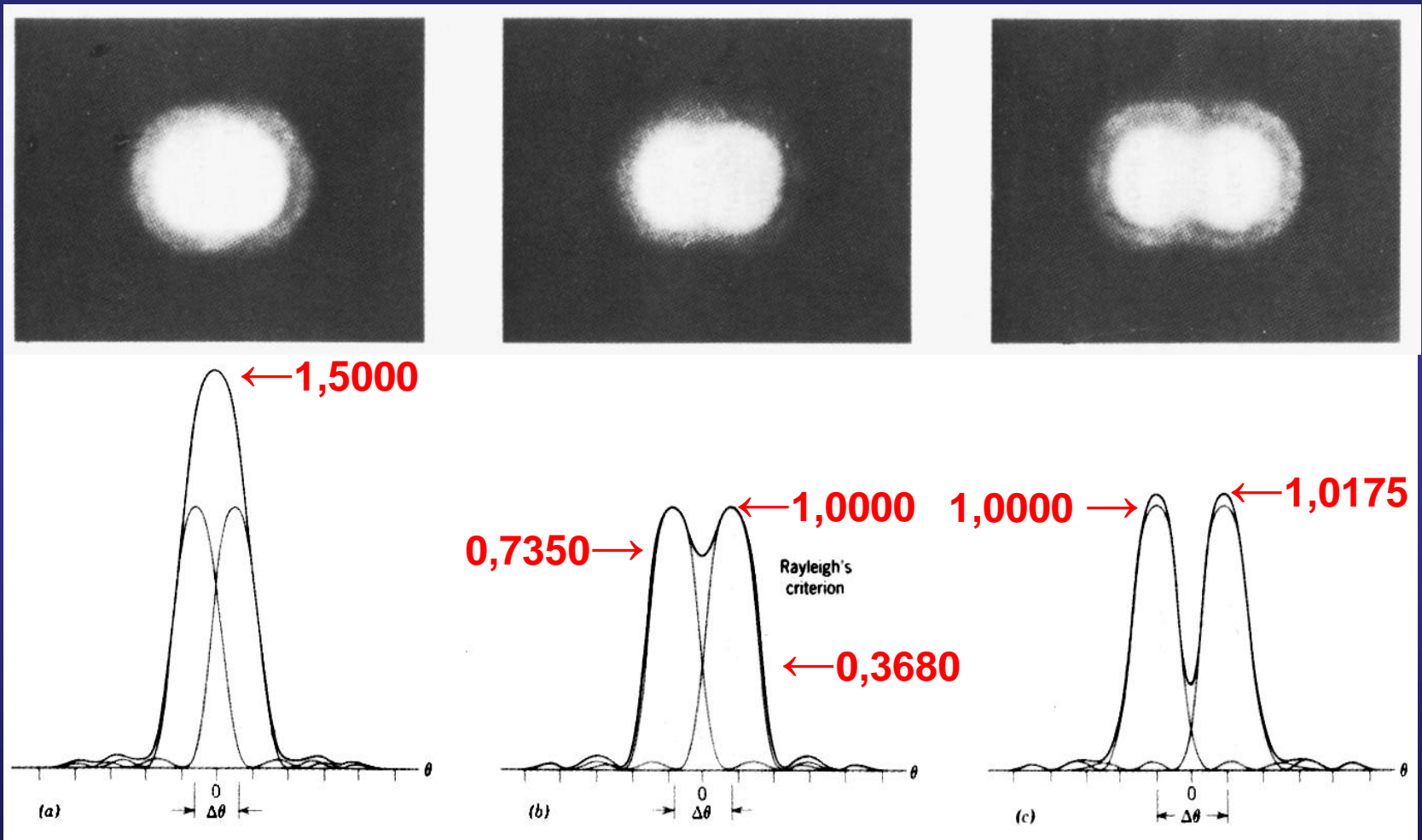


# CRITERIO DE RESOLUCION DE Lord RAYLEIGH I



Superposición de dos Funciones de Airy o dos PSF producidas por dos fuentes luminosas  $S_1$  y  $S_2$  con diferentes separaciones angulares.

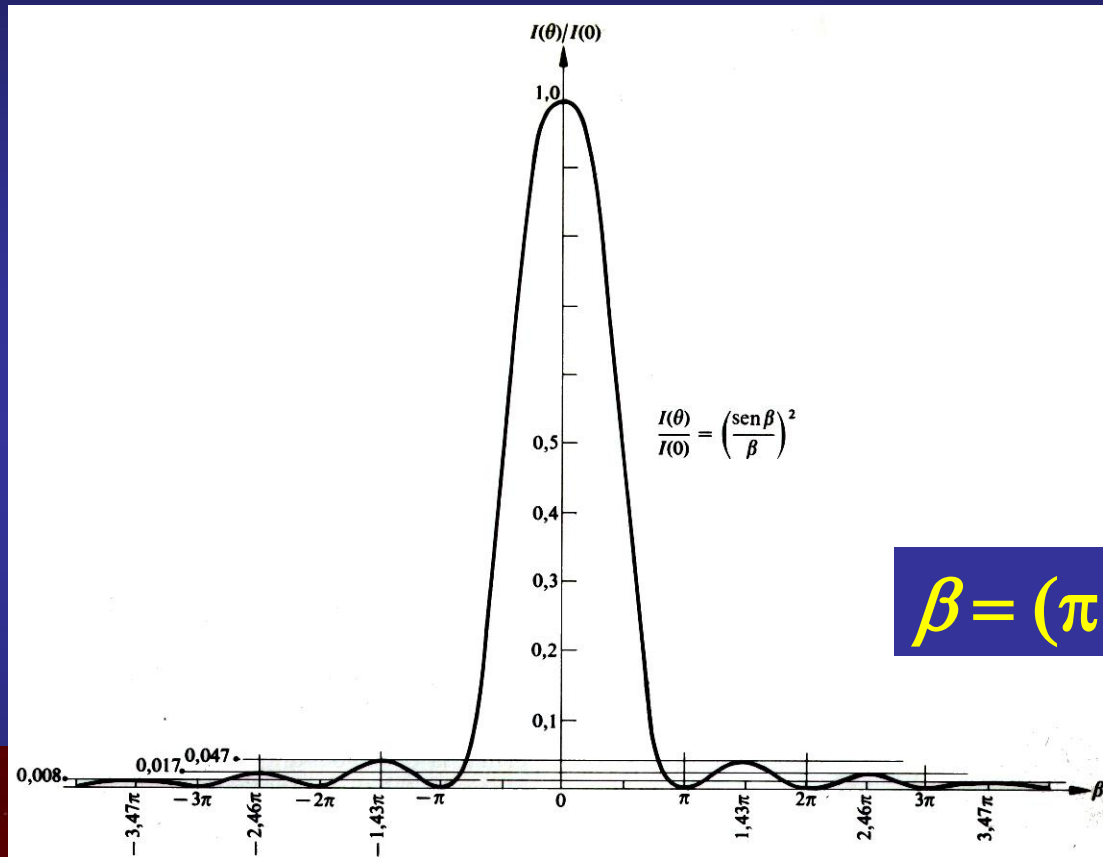
# CRITERIO DE RESOLUCION DE Lord RAYLEIGH II



# CRITERIO DE RAYLEIGH



# DIFRACCION DE FRAUNHOFER POR UNA RANURA DE ANCHO $d$ SEGUN $(\text{senc } \beta)^2$

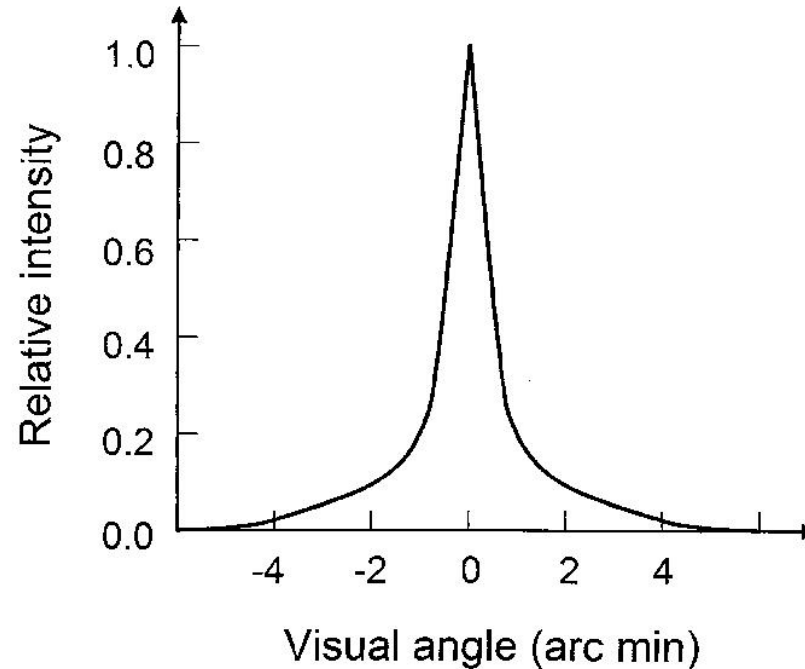


$$n = \dots -2 \quad -1 \quad 0 \quad +1 \quad +2 \dots$$

$\theta_n$  es el ángulo de cada orden de difracción  $n = 0, \pm 1, \pm 2, \dots$

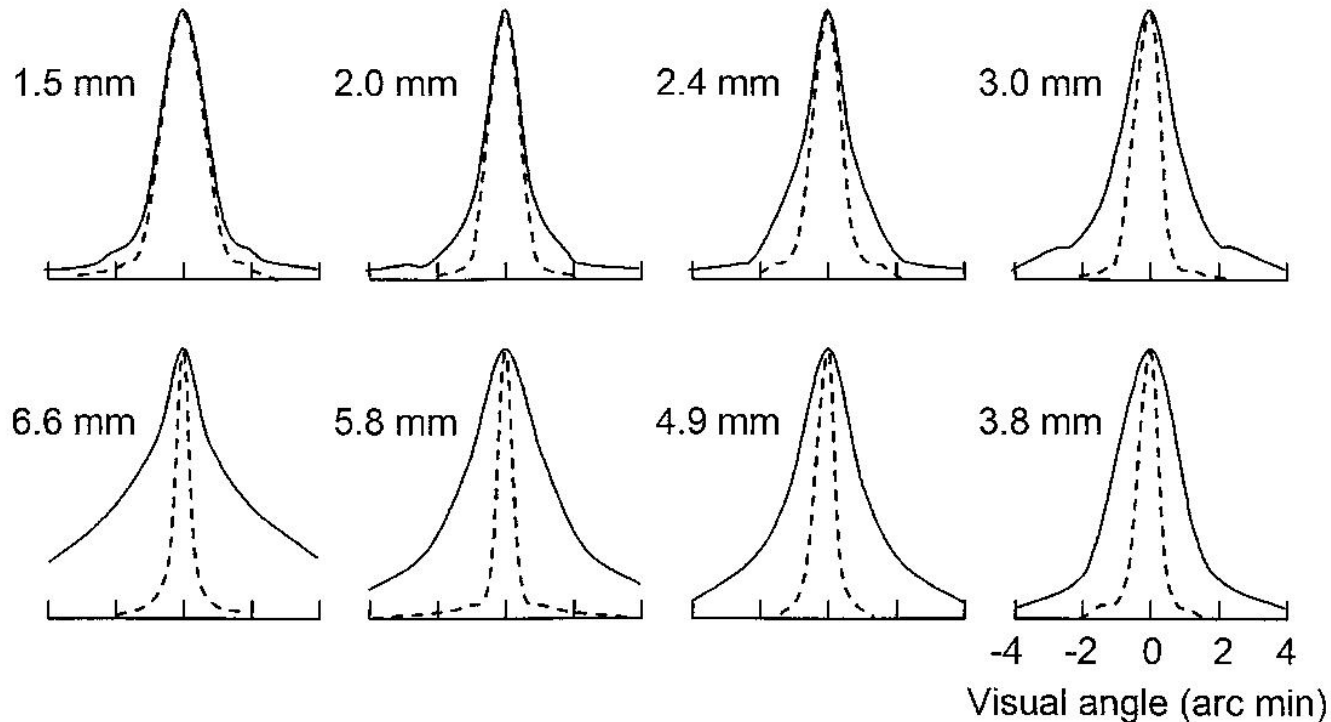


# FUNCION DE LINEA DIFRACTADA (LSF) EN LA RETINA HUMANA I



**Fig. 11.30.** The human line spread function for an eye with 3.0 mm pupil diameter, using a model in [561] (see Problem 11.30) that is based on experiment. (Based on [560] and [561])

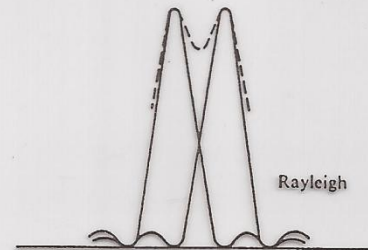
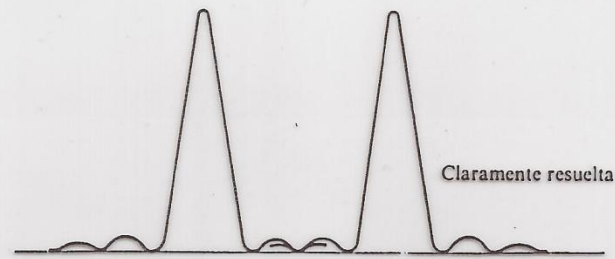
# FUNCION DE LINEA DIFRACTADA (LSF) EN LA RETINA HUMANA II



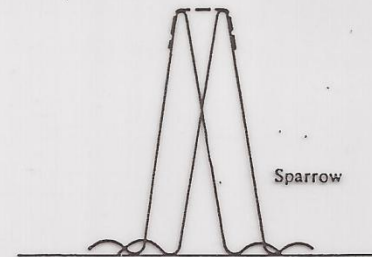
**Fig. 11.33.** Line spread function for the human eye for different pupil diameters. The *solid curves* are the total functions. The *dashed curves* are the line spread functions for those apertures assuming diffraction-limited conditions. (Based on [517] and [560])

# CRITERIO DE RAYLEIGH

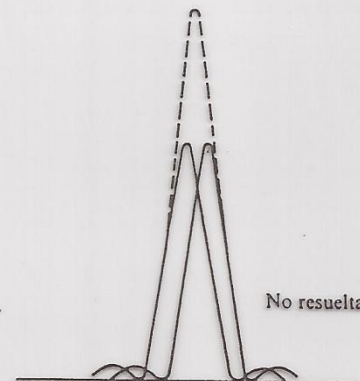
# CRITERIO DE SPARROW



Derivada  
primera  
nula.



Derivada  
segunda  
nula.



Imágenes puntuales superpuestas.

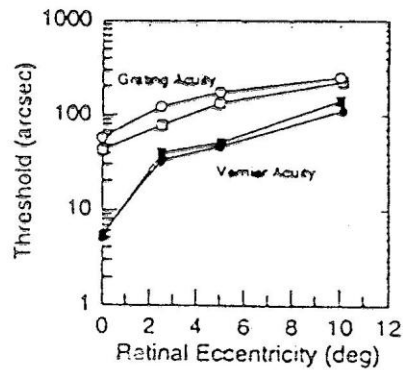
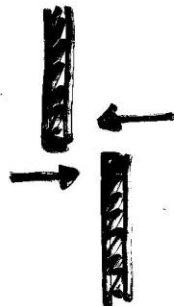


FIGURE 20 Grating and vernier acuity as a function of retinal eccentricity. The open symbols represent the smallest detectable bar widths for a high-contrast grating. The filled symbols represent the smallest detectable offset of one line segment with respect to another. Circles and squares are the data from two different observers. (Adapted from Ref. 110.)

# AGUDEZA VISUAL PARA REDES DE PERFIL CUADRADO Y TIPO VERNIER



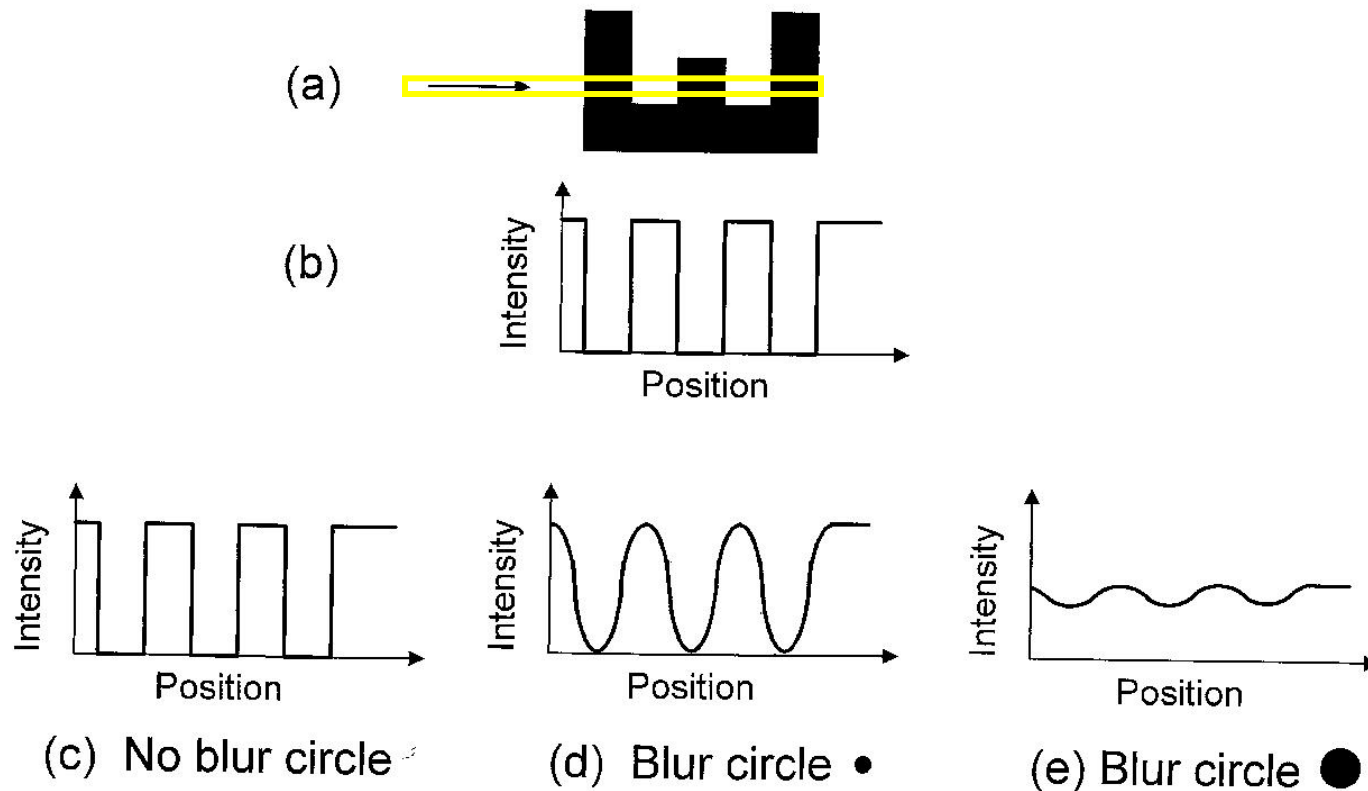
→ | ← Ancho de la barra



→ ← Separación

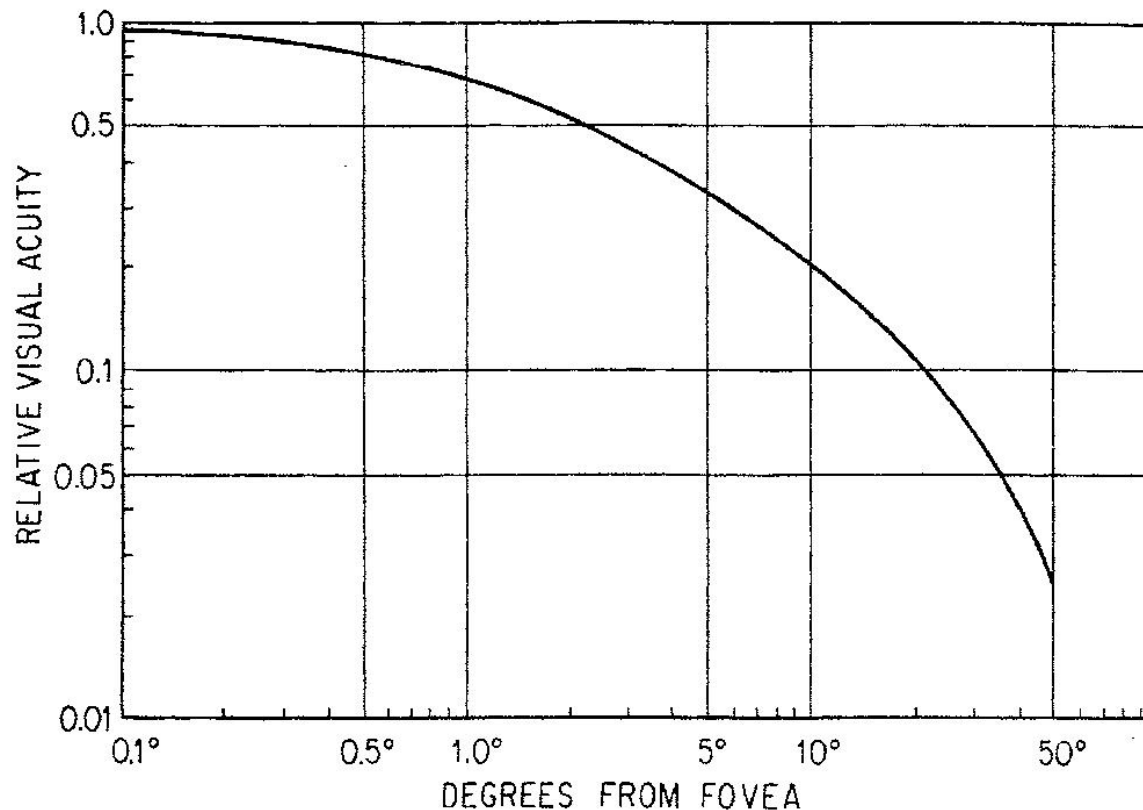


# AGUDEZA VISUAL Y BORRONEO



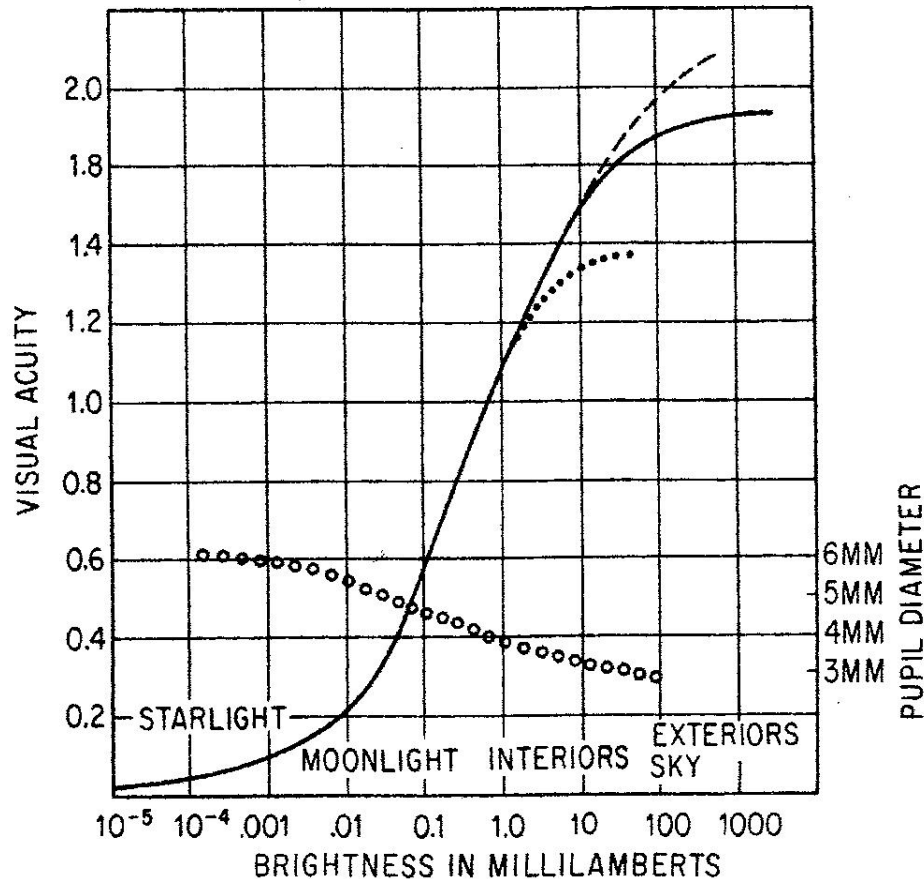
**Fig. 11.31.** (a) The horizontal letter E on its side, and (b) the light level in the direction of the *arrow* in (a) showing a periodic square wave object. This leads to potential images on the retina for (c) ideal imaging, (d) imaging with a small blur spot, and (e) imaging with a large blur spot

# AGUDEZA VISUAL vs DISTANCIA A LA FOVEA



**Fig. 11.25.** The variation of visual acuity with retinal position relative to the fovea. (From [555]. Reprinted with permission of McGraw-Hill)

# AGUDEZA VISUAL vs BRILLO



**Fig. 11.37.** Visual acuity (in 1/min) and pupil diameter (*circles*) as a function of object brightness. The *dashed* and *dotted* acuity lines are, respectively, for increased and decreased surround brightness of 1 milliLambert. (See Table 11.4: 1 milliLambert = 3.183 nit = 3.183 cd/m<sup>2</sup>). (From [555]. Reprinted with permission of McGraw-Hill)



# SENSITIVIDAD A LAS FRECUENCIAS ESPACIALES vs ORIENTACION

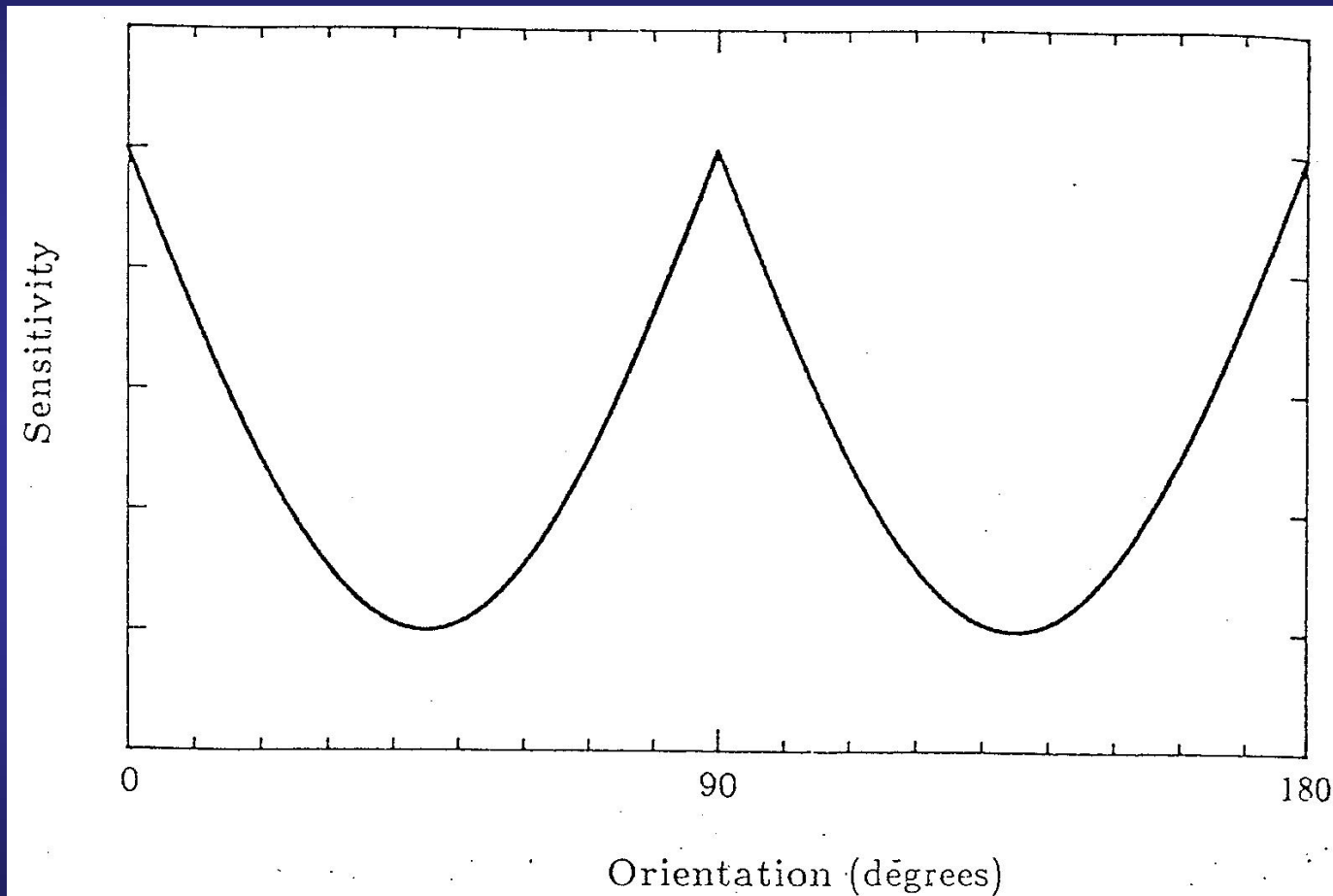


Figure 5.3: Spatial Frequency Sensitivity vs. Orientation.